

# International Nonproprietary Names for Pharmaceutical Substances (INN)

Notice is hereby given that, in accordance with article 3 of the Procedure for the Selection of Recommended International Nonproprietary Names for Pharmaceutical Substances, the names given in the list on the following pages are under consideration by the World Health Organization as Proposed International Nonproprietary Names. The inclusion of a name in the lists of Proposed International Nonproprietary Names does not imply any recommendation of the use of the substance in medicine or pharmacy.

Lists of Proposed (1–117) and Recommended (1–78) International Nonproprietary Names can be found in *Cumulative List No. 17, 2017* (available in CD-ROM only). The statements indicating action and use are based largely on information supplied by the manufacturer. **This information is merely meant to provide an indication of the potential use of new substances at the time they are accorded Proposed International Nonproprietary Names.** WHO is not in a position either to uphold these statements or to comment on the efficacy of the action claimed. Because of their provisional nature, these descriptors will neither be revised **nor included in the Cumulative Lists of INNs.**

## Dénominations communes internationales des Substances pharmaceutiques (DCI)

Il est notifié que, conformément aux dispositions de l'article 3 de la Procédure à suivre en vue du choix de Dénominations communes internationales recommandées pour les Substances pharmaceutiques les dénominations ci-dessous sont mises à l'étude par l'Organisation mondiale de la Santé en tant que dénominations communes internationales proposées. L'inclusion d'une dénomination dans les listes de DCI proposées n'implique aucune recommandation en vue de l'utilisation de la substance correspondante en médecine ou en pharmacie.

On trouvera d'autres listes de Dénominations communes internationales proposées (1–117) et recommandées (1–78) dans la *Liste récapitulative No. 17, 2017* (disponible sur CD-ROM seulement). Les mentions indiquant les propriétés et les indications des substances sont fondées sur les renseignements communiqués par le fabricant. **Elles ne visent qu'à donner une idée de l'utilisation potentielle des nouvelles substances au moment où elles sont l'objet de propositions de DCI.** L'OMS n'est pas en mesure de confirmer ces déclarations ni de faire de commentaires sur l'efficacité du mode d'action ainsi décrit. En raison de leur caractère provisoire, ces informations **ne figureront pas dans les listes récapitulatives de DCI.**

## Denominaciones Comunes Internacionales para las Sustancias Farmacéuticas (DCI)

De conformidad con lo que dispone el párrafo 3 del "Procedimiento de Selección de Denominaciones Comunes Internacionales Recomendadas para las Sustancias Farmacéuticas", se comunica por el presente anuncio que las denominaciones detalladas en las páginas siguientes están sometidas a estudio por la Organización Mundial de La Salud

como Denominaciones Comunes Internacionales Propuestas. La inclusión de una denominación en las listas de las DCI Propuestas no supone recomendación alguna en favor del empleo de la sustancia respectiva en medicina o en farmacia.

Las listas de Denominaciones Comunes Internacionales Propuestas (1–117) y Recomendadas (1–78) se encuentran reunidas en *Cumulative List No. 17, 2017* (disponible sólo en CD-ROM). Las indicaciones sobre acción y uso que aparecen se basan principalmente en la información facilitada por los fabricantes. **Esta información tiene por objeto dar una idea únicamente de las posibilidades de aplicación de las nuevas sustancias a las que se asigna una DCI Propuesta.** La OMS no está facultada para respaldar esas indicaciones ni para formular comentarios sobre la eficacia de la acción que se atribuye al producto. Debido a su carácter provisional, esos datos descriptivos **no deben incluirse en las listas recapitulativas de DCI.**

## Proposed International Nonproprietary Names: List 122

Comments on, or formal objections to, the proposed names may be forwarded by any person to the INN Programme of the World Health Organization within four months of the date of their publication in *WHO Drug Information*, i.e., for **List 122 Proposed INN not later than 19 May 2020.**

**Publication date: 20/01/2020**

## Dénominations communes internationales proposées: Liste 122

Des observations ou des objections formelles à l'égard des dénominations proposées peuvent être adressées par toute personne au Programme des Dénominations communes internationales de l'Organisation mondiale de la Santé dans un délai de quatre mois à compter de la date de leur publication dans *WHO Drug Information*, c'est à dire pour la **Liste 122 de DCI Proposées le 19 mai 2020 au plus tard.**

**Date de publication : 20/01/2020**

## Denominaciones Comunes Internacionales Propuestas: Lista 121

Cualquier persona puede dirigir observaciones u objeciones respecto de las denominaciones propuestas, al Programa de Denominaciones Comunes Internacionales de la Organización Mundial de la Salud, en un plazo de cuatro meses, contados desde la fecha de su publicación en *WHO Drug Information*, es decir, para la **Lista 122 de DCI Propuestas el 19 de mayo de 2020 a más tardar.**

**Fecha de publicación: 20/01/2020**

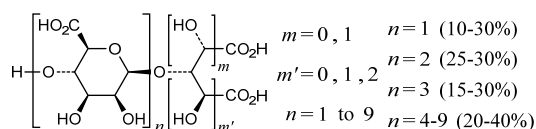
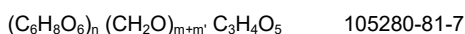
<i>Proposed INN</i> (Latin, English, French, Spanish)	<i>Chemical name or description: Action and use: Molecular formula</i> <i>Chemical Abstracts Service (CAS) registry number: Graphic formula</i>
<i>DCI Proposée</i>	<i>Nom chimique ou description: Propriétés et indications: Formule brute : Numéro dans le registre du CAS: Formule développée</i>
<i>DCI Propuesta</i>	<i>Nombre químico o descripción: Acción y uso: Fórmula molecular</i> <i>Número de registro del CAS: Fórmula desarrollada</i>

### **acidum aligomanuxicum** aligomanuxic acid

O-[oligo-(1→4)-β-D-mannopyranuronan-β-*osyl*]- (1→3)-D-mannaric, -(1→2)-D-arabinaric, -(1→3)-D-arabinaric, (1→2)-D-erythreric, -(1→2)-D-threeric, and -(1→2)-glyceraric acids, produced from alginates of brown seaweeds by acid-catalysed partial hydrolysis, isolation of oligomannuronans and oxidation of the reducing end group  
*inhibitor of amyloid fibril deposition*

acide aligomanuxique  
 acides O-[oligo-(1→4)-β-D-mannopyranuronan-β-osyl]-  
 (1→3)-D-mannarique, -(1→2)-D-arabinarique, -(1→3)-  
 D-arabinarique, (1→2)-D-érythrarique, -(1→2)-D-  
 thréarique, et -(1→2)-glycérarique, produits à partir  
 d'algues brunes par hydrolyse partielle par catalyse  
 acide, isolation des oligomannuronanes et oxydation  
 du groupe réducteur terminal  
*inhibiteur du dépôt de fibrilles amyloïdes*

ácido aligomanúxico  
 ácidos O-[oligo-(1→4)-β-D-manopirauronon-β-osil]-  
 (1→3)-D-manárico, -(1→2)-D-arabinárico, -(1→3)-D-  
 arabinárico, (1→2)-D-eritrárico, -(1→2)-D-treárico, y -  
 (1→2)-glicerárico, producido a partir de algas pardas  
 por hidrólisis parcialmente por catálisis ácida,  
 aislamiento de los oligomanuronanos y oxidación del  
 grupo reductor terminal  
*inhibidor del depósito de fibrillas de amiloides*



**acidum norucholicum**  
 norucholic acid

3α,7β-dihydroxy-24-nor-5β-cholan-23-oic acid  
*semisynthetic bile acid, antifibrotic*

acide norucholique

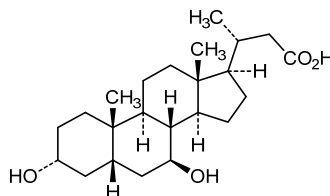
acide 3α,7β-dihydroxy-24-nor-5β-cholan-23-oïque  
*acide biliaire semisynthétique, antifibrotique*

ácido norucólico

ácido 3α,7β-dihidroxi-24-nor-5β-colan-23-oico  
*ácido biliar semisintético, antifibrótico*



99697-24-2



**acoramidisum**  
 acoramidis

3-[3-(3,5-dimethyl-1H-pyrazol-4-yl)propoxy]-4-  
 fluorobenzoic acid  
*inhibitor of amyloid fibril deposition*

acoramidis

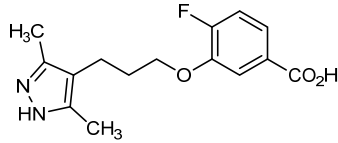
acide 3-[3-(3,5-diméthyl-1H-pyrazol-4-yl)propoxy]-4-  
 fluorobenzoïque  
*inhibiteur du dépôt de fibrilles amyloïdes*

acoramidis

ácido 3-[3-(3,5-dimetil-1H-pirazol-4-il)propoxi]-4-fluorobenzoico  
*inhibidor del depósito de fibrillas de amiloides*

C<sub>15</sub>H<sub>17</sub>FN<sub>2</sub>O<sub>3</sub>

1446711-81-4



**adebrelimabum #**  
 adebrelimab

immunoglobulin G4-kappa, anti-[*Homo sapiens* CD274 (programmed death ligand 1, PDL1, PD-L1, B7 homolog 1, B7H1)], monoclonal antibody;  
 gamma4 heavy chain (1-446) [VH (*Homo sapiens* IGHV1-46\*01 (89.8%) -(IGHD) -IGHJ4\*01 (93.3%)) CDR-IMGT [8.8.12] (26-33.51-58.97-108) (1-119) -*Homo sapiens* IGHG4\*01, G4v5 h P10, G4v4 CH2 A1.3, A1.2 (CH1 (120-217), hinge 1-12 S10>P (227) (218-229), CH2 F1.3>A (233), L1.2>A (234) (230-339), CH3 (340-444), CHS (445-446)) (120-446)], (133-218')-disulfide with kappa light chain (1'-218') [V-KAPPA (*Mus musculus* IGKV3-5\*01 (84.8%) -IGKJ2\*03 (90.9%)/*Homo sapiens* IGKV4-1\*01 (68.3%) -IGKJ2\*01 (100%)) CDR-IMGT [10.3.9] (27-36.54-56.93-101) (1'-111') -*Homo sapiens* IGKC\*01 (100%) Km3 A45.1 (157), V101 (195) (112'-218')];  
 dimer (225-225":228-228")-bisdisulfide, produced in Chinese hamster ovary (CHO) cells, glycoform alfa  
*immunomodulator, antineoplastic*

adébrélimab

immunoglobuline G4-kappa, anti-[*Homo sapiens* CD274 (ligand 1 de mort programmée, PDL1, PD-L1, homologue 1 de B7, B7H1)], anticorps monoclonal;  
 chaîne lourde gamma4 (1-446) [VH (*Homo sapiens* IGHV1-46\*01 (89.8%) -(IGHD) -IGHJ4\*01 (93.3%)) CDR-IMGT [8.8.12] (26-33.51-58.97-108) (1-119) -*Homo sapiens* IGHG4\*01, G4v5 h P10, G4v4 CH2 A1.3, A1.2 (CH1 (120-217), charnière 1-12 S10>P (227) (218-229), CH2 F1.3>A (233), L1.2>A (234) (230-339), CH3 (340-444), CHS (445-446)) (120-446)], (133-218')-disulfure avec la chaîne légère kappa (1'-218') [V-KAPPA (*Mus musculus* IGKV3-5\*01 (84.8%) -IGKJ2\*03 (90.9%)/*Homo sapiens* IGKV4-1\*01 (68.3%) -IGKJ2\*01 (100%)) CDR-IMGT [10.3.9] (27-36.54-56.93-101) (1'-111') -*Homo sapiens* IGKC\*01 (100%) Km3 A45.1 (157), V101 (195) (112'-218')];  
 dimère (225-225":228-228")-bisdisulfure, produit dans des cellules ovariennes de hamster chinois (CHO), glycoforme alfa  
*immunomodulateur, antinéoplasique*

adebrelimab

immunoglobulina G4-kappa, anti-[*Homo sapiens* CD274 (ligando 1 de muerte programada, PDL1, PD-L1, homólogo 1 de B7, B7H1)], anticuerpo monoclonal;

cadena pesada gamma4 (1-446) [VH (*Homo sapiens* IGHV1-46\*01 (89.8%) -(IGHD) -IGHJ4\*01 (93.3%)) CDR-IMGT [8.8.12] (26-33.51-58.97-108) (1-119) - *Homo sapiens* IGHG4\*01, G4v5 h P10, G4v4 CH2 A1.3, A1.2 (CH1 (120-217), bisagra 1-12 S10>P (227) (218-229), CH2 F1.3>A (233), L1.2>A (234) (230-339), CH3 (340-444), CHS (445-446)) (120-446)], (133-218')-disulfuro con la cadena ligera kappa (1'-218') [V-KAPPA (*Mus musculus* IGKV3-5\*01 (84.8%) - IGKJ2\*03 (90.9%)/*Homo sapiens* IGKV4-1\*01 (68.3%) -IGKJ2\*01 (100%)) CDR-IMGT [10.3.9] (27-36.54-56.93-101) (1'-111') -*Homo sapiens* IGKC\*01 (100%)) Km3 A45.1 (157), V101 (195) (112'-218'); dímero (225-225":228-228")-bisdisulfuro, producido por células ováricas de hamster chino (CHO), forma glicosilada alfa  
*inmunomodulador, antineoplásico*

2247114-85-6

Heavy chain / Chaîne lourde / Cadena pesada

QVQLVQSGAE VKKPGASVKV SCKASGYTFT SYMMHWVRQA PGQGLEWMGR 50  
 IGPNSGFTSY NEKFKNRVTM TRDTSSTVY MELSSLRSED TAVYYCARGG 100  
 SSYDYFDYWG QGTTVTVSSA STKGPSVFP L APCSRSSTES TAALGCLVKD 150  
 YFPEPVTWSW NSGALTSGVH TFFAVLQSSG LYSLSVTVV PSSLGTRKY 200  
 TCNVDRKPSN TKVDRVESHK YGPPCPPCPA PEAAGGFSVF LFPPKPKDTL 250  
 MISRTFEVTC VVVDSVQEDF EVQFNWYVDG VEVHNAKTKP REEQFNSTYR 300  
 VVSVLTVLHQ DWLNGKEYKC KVSINGLPSS IEKTIISKAKG QPREPQVYTL 350  
 PPSQEMTKN QVSLTCLVKG FYPDSIAVEW ESNQGPENNY KTTTPVLDSD 400  
 GSFFLYSRLT VDKSRWQEGN VFSCSVMEHA LHNHYTQKSL SLSLKG 446

Light chain / Chaîne légère / Cadena ligera

DIVLTQSPAS LAVSPGQRAT ITRCASESVS IHGTHLMHWY QQKPGQPCKL 50  
 LIYAASNLES GVPARFSGSG SGTDFTLTIN PVEAEDTANY YCQQSFEDPL 100  
 TFGQGTLEI KRTVAAPSVF IFPPSDEQLK SGTASVCLL NNFYFREAKV 150  
 QRWKVDNALQS GNSQESVTEQ DSRKSTYSL S LTLTSLKADY ERHKVYACEV 200  
 THQGLSSPVT KSFNRGEC 218

Post-translational modifications

Disulfide bridges location / Position des ponts disulfure / Posiciones de los puentes disulfuro

Intra-H (C23-C104) 22°-96 146°-202 260°-320 366°-424  
 22°-96" 146°-202" 260°-320" 366°-424"  
 Intra-L (C23-C104) 23°-92 138°-198"  
 23°-92" 138°-198"  
 Inter-H-L (CH1 10-CL 126) 133°-218' 133°-218"  
 Inter-H-H (h 8, h 11) 225°-225" 228°-228"

N-terminal glutaminyl cyclization to pyroglutamy (pE, 5-oxoprolyl)

H VH QI:  
 I, I"

N-glycosylation sites / Sites de N-glycosylation / Posiciones de N-glicosilación

H CH2 N84.4:  
 296, 296"

Fucosylated complex bi-antennary CHO-type glycans / glycanes de type CHO bi-antennaires complexes fucosylés / glicanos de tipo CHO biantenarijos complejos fucosilados

**afamitresgenum autoleucelum #**  
 afamitresgene autoleucel

Autologous CD4+ and CD8+ T cells obtained by leukapheresis, transduced with an HIV-derived self-inactivating (SIN) lentiviral vector, encoding an enhanced-affinity T cell receptor (TCR) specific for the human melanoma antigen A4 (MAGE family member A4, antigen MAGE A4) HLA-A\*02 peptide driven by the elongation factor 1 alpha (EF1α) promoter. Cells express lymphonode-homing markers CCR7 and CD62L, CD45 isoforms CD45RA and CD45R0, co-stimulatory markers CD27 and CD28, IL-7 receptor CD127, and chemokine receptor CXCR3. Cells secrete interleukin 2 (IL-2), tumor necrosis factor (TNF-alpha, TNFα), interferon gamma (interferon γ, IFN-gamma), granzyme, interleukin 4 (IL-4), interleukin 13 (IL-13) and interleukin 17 (IL-17) upon activation.  
*genetically modified cell (antineoplastic)*

afamitresgène autoleucel	Lymphocytes T CD4+ et CD8+ autologues obtenus par leucophérèse, transduits par un vecteur lentiviral auto-inactivant (SIN), dérivé du virus de l'immunodéficience humaine (VIH), codant pour un récepteur de lymphocytes T (TCR) à affinité augmentée spécifique du peptide HLA-A*02 de l'antigène du mélanome humain A4 (membre A4 de la famille MAGE, antigène MAGE-4), sous le contrôle d'un promoteur du facteur d'élongation alpha 1 (EF1α). Les cellules expriment les marqueurs de migration des ganglions lymphatiques CCR7 et CD62L, les isoformes CD45RA and CD45R0 du CD45, les marqueurs co-stimulateurs CD27 et CD28, le récepteur CD127 de l'interleukine 7 (IL-7) et les récepteurs de chimiokines CXCR3. Les cellules secrètent de l'interleukine 2 (IL-2), facteur de nécrose tumorale (TNF-alpha, TNFα), interféron gamma (interféron γ, IFN-gamma), granzyme, interleukine 4 (IL-4), interleukine 13 (IL-13) et l'interleukine 17 (IL-17) au moment de leur activation. <i>cellule génétiquement modifiée (antineoplasique)</i>
afamitresgén autoleucel	Linfocitos T CD4+ y CD8+ autólogos obtenidos por leucoaféresis, transducidos con un vector lentiviral auto inactivante derivado del HIV, que codifica para un receptor de linfocitos T (TCR) con afinidad aumentada, específico para el péptido del antígeno de melanoma humano A4 (MAGE A4) presentado por HLA-A*02, dirigido por un promotor del factor de elongación 1 alfa (EF1α). Las células expresan los marcadores de migración a ganglios linfáticos CCR7 y CD62L, las isoformas CD45RA y CD45R0 de CD45, los marcadores coestimuladores CD27 y CD28, el receptor de IL-7 CD127, y el receptor de quimoquinas CXCR3. Las células secretan interleukina 2 (IL-2), factor de necrosis tumoral (TNF-alfa, TNFα), interferón gamma (interferón γ, IFN-gamma), granzima, interleukina 4 (IL-4), interleukina 13 (IL-13) e interleukina 17 (IL-17) tras su activación. <i>célula genéticamente modificada (antineoplásico)</i>
<b>alsevalimabum #</b> alsevalimab	immunoglobulin G1-kappa, anti-[ <i>Homo sapiens</i> VTCN1 (V-set domain containing T cell activation inhibitor 1, B7-H4, B7H4)], <i>Homo sapiens</i> monoclonal antibody; gamma1 heavy chain <i>Homo sapiens</i> (1-450) [VH ( <i>Homo sapiens</i> IGHV4-39*01 (96.0%) -(IGHD) -IGHJ5*02 (93.8%)) CDR-IMGT [10.7.12] (26-35.53-59.98-109) (1-120) - <i>Homo sapiens</i> IGHG1*01 (100%) G1m17,1 (CH1 K120 (217) (121-218), hinge 1-15 (219-233), CH2 (234-343), CH3 D12 (359), L14 (361) (344-448), CHS (449-450)) (121-450)], (223-214')-disulfide with kappa light chain <i>Homo sapiens</i> (1'-214') [V-KAPPA ( <i>Homo sapiens</i> IGKV3-15*01 (96.8%) -IGKJ4*01 (91.7%)) CDR-IMGT [6.3.9] (27-32.50-52.89-97) (1'-107') - <i>Homo sapiens</i> IGKC*01 (100%), Km3 A45.1 (153), V101 (191) (108'-214')]; dimer (229-229":232-232")-bisdisulfide, produced in Chinese hamster ovary (CHO-FUT8 <sup>-/-</sup> ) cells, glycoform alfa <i>immunomodulator, antineoplastic</i>
alsévalimab	immunoglobuline G1-kappa, anti-[ <i>Homo sapiens</i> VTCN1 (inhibiteur 1 de l'activation des cellules T contenant un V-set domain, B7-H4, B7H4)], anticorps monoclonal <i>Homo sapiens</i> ;

alsevalimab

chaîne lourde gamma1 *Homo sapiens* (1-450) [VH (*Homo sapiens* IGHV4-39\*01 (96.0%) -(IGHD) - IGHJ5\*02 (93.8%)) CDR-IMGT [10.7.12] (26-35.53-59.98-109) (1-120) -*Homo sapiens* IGHG1\*01 (100%) G1m17,1 (CH1 K120 (217) (121-218), charnière 1-15 (219-233), CH2 (234-343), CH3 D12 (359), L14 (361) (344-448), CHS (449-450)) (121-450)], (223-214')-disulfure avec la chaîne légère kappa *Homo sapiens* (1'-214') [V-KAPPA (*Homo sapiens* IGKV3-15\*01 (96.8%) - IGKJ4\*01 (91.7%)) CDR-IMGT [6.3.9] (27-32.50-52.89-97) (1'-107') -*Homo sapiens* IGKC\*01 (100%), Km3 A45.1 (153), V101 (191) (108'-214')]; dimère (229-229":232-232")-bisdisulfure, produit dans des cellules ovariennes de hamster chinois (CHO-FUT8<sup>-/-</sup>), glycoforme alfa  
*immunomodulateur, antinéoplasique*

immunoglobulina G1-kappa, anti-[ *Homo sapiens* VTCN1 (inhibidor 1 de la activación de las células T que contiene un dominio V-set, B7-H4, B7H4)], anticuerpo monoclonal *Homo sapiens*;  
cadena pesada gamma1 *Homo sapiens* (1-450) [VH (*Homo sapiens* IGHV4-39\*01 (96.0%) -(IGHD) - IGHJ5\*02 (93.8%)) CDR-IMGT [10.7.12] (26-35.53-59.98-109) (1-120) -*Homo sapiens* IGHG1\*01 (100%) G1m17,1 (CH1 K120 (217) (121-218), bisagra 1-15 (219-233), CH2 (234-343), CH3 D12 (359), L14 (361) (344-448), CHS (449-450)) (121-450)], (223-214')-disulfuro con la cadena ligera kappa *Homo sapiens* (1'-214') [V-KAPPA (*Homo sapiens* IGKV3-15\*01 (96.8%) - IGKJ4\*01 (91.7%)) CDR-IMGT [6.3.9] (27-32.50-52.89-97) (1'-107') -*Homo sapiens* IGKC\*01 (100%), Km3 A45.1 (153), V101 (191) (108'-214')]; dímero (229-229":232-232")-bisdisulfuro, producido por células ováricas de hamster chino (CHO-FUT8<sup>-/-</sup>), forma glicosilada alfa  
*immunomodulador, antineoplásico*

2254029-91-7

Heavy chain / Chaîne lourde / Cadena pesada

QLQLQESGPG LVKPSSETLSL TCTVSGSGSIK SGSYYWGWR PFPKGLLEWI 50  
 GNIYYSGSTY YNPSLRSRVT ISVDTSKNQF SLKLSSTVA DTAVYYCARE 100  
 GSYNPQFDPW GGQGLVTVSS ASTKGPSVFP LAPSSKSTSG GTAALGCLVK 150  
 DYFPEFVTVS WNSGALTSVG HTFFAVLQSS GLYLSLSVVT VPSSSLGTQT 200  
 YICNVNKKPS NTKVDKKVEP KSCDKTHTCP PCPAPPELLGG PSVFLFPPPKF 250  
 KDTLMSRTP EVTCVVVDVS HEDPEVKFNW YVDGVEVHNA KTKPREEQYN 300  
 STYRVVSVLT VHLQDMLNGK EYKCKVSNKA LPARIEKTIIS KAKGQPREPQ 350  
 VYTLPPSRDE LTKNQVSLTLC LVKGFPYPSDI AVEWESNGQP ENNYKTPPPV 400  
 LDSDGSPFLY SKLTVDKSRW QQGNVFPSCV MHEALHNHYT QKSLSLSPGK 450

Light chain / Chaîne légère / Cadena ligera

EIVMTQSPAT LSVSPGERAT LSCRASQGVSNLAWYQQKFP QAPRLLIYG 50  
 ASTRATGIPA RFSGSGSGTE PFLTISSLQS EDFAVYYCQQ YHSFPPTFGG 100  
 CTKVEIKRTV AAPSVEFIFPP SDEQLKSGTA SVVCLLNNEY PREAKVQWKV 150  
 DNALQSGNSQ ESVTEQDSKD STYLSLSSTLT LSKADYEKHK VYACEVTHQG 200  
 LSSPVTKSFN RGECC 214

Post-translational modifications

Disulfide bridges location / Position des ponts disulfure / Posiciones de los puentes disulfuro

Intra-H (C23-C104) 22-97 147-203 264-324 370-428  
 22"-97" 147"-203" 264"-324" 370"-428"

Intra-L (C23-C104) 23"-88" 134"-194"  
 23"-88" 134"-194"

Inter-H-L (h 5-CL 126) 223-214' 223"-214"

Inter-H-H (h 11, h 14) 229-229" 232-232"

N-glycosylation sites / Sites de N-glycosylation / Posiciones de N-glicosilación

H CH2 N84.4:

300, 300"

Afucosylated complex bi-antennary CHO-type glycans / glycanes de type CHO bi-antennaires complexes afucosylés / glicanos de tipo CHO biantennarios complejos afucosilados

C-terminal lysine clipping

H CHS K2:

450, 450"

**amcenestrantum**

amcenestrant

8-(2,4-dichlorophenyl)-9-(4-[[[(3S)-1-(3-fluoropropyl)pyrrolidin-3-yl]oxy]phenyl]-6,7-dihydro-5H-benzo[7]annulene-3-carboxylic acid  
*antiestrogen*

amcénéstrant

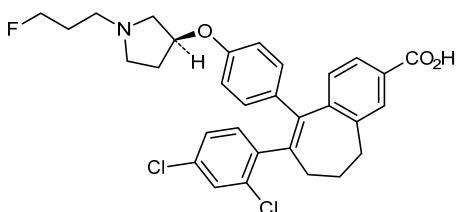
acide 8-(2,4-dichlorophényl)-9-(4-[[[(3S)-1-(3-fluoropropyl)pyrrolidin-3-yl]oxy]phényl]-6,7-dihydro-5H-benzo[7]annuléne-3-carboxylique  
*antiœstrogène*

amcenestrant

ácido 8-(2,4-diclorofenil)-9-(4-[[[(3S)-1-(3-fluoropropil)pirrolidin-3-il]oxi]fenil]-6,7-dihidro-5H-benzo[7]anuleno-3-carboxílico  
*antiestrógeno*

C<sub>31</sub>H<sub>30</sub>Cl<sub>2</sub>FNO<sub>3</sub>

2114339-57-8

**amdakefalinum**

amdakefalin

[6-(D-phenylalanyl-D-phenylalanyl-D-leucyl-D-lysyl)-3,6-diazabicyclo[3.1.1]heptan-3-yl]acetic acid  
*μ and δ opioid receptors agonist, analgesic*

amdakéfaline

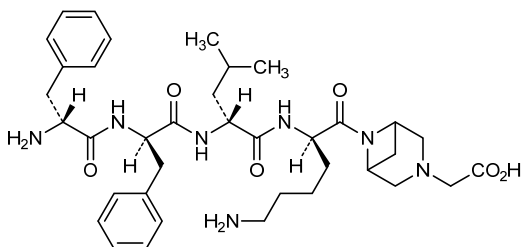
acide [6-(D-phénylalanyl-D-phénylalanyl-D-leucyl-D-lysyl)-3,6-diazabicyclo[3.1.1]heptan-3-yl]acétique  
*agoniste des récepteurs opioïdes μ et δ, analgésique*

amdakefalina

ácido [6-(D-fenilalanil-D-fenilalanil-D-leucil-D-lisil)-3,6-diazabicyclo[3.1.1]heptan-3-il]acético  
*agonista de los receptores opioïdes μ y δ, analgésico*

C<sub>37</sub>H<sub>53</sub>N<sub>7</sub>O<sub>6</sub>

2253747-71-4

**aramisulpridum**

aramisulpride

4-amino-5-(ethanesulfonyl)-N-[(2R)-1-ethylpyrrolidin-2-yl]methyl-2-methoxybenzamide  
*dopamine D<sub>2</sub> and serotonin receptors antagonist*

- aramisulpride 4-amino-5-(éthanesulfonyl)-N-[[*(2R)*-1-éthylpyrrolidin-2-yl]méthyl]-2-méthoxybenzamide  
*antagoniste des récepteurs dopaminergiques D<sub>2</sub> et sérotoninergiques*
- aramisulprida 4-amino-5-(etanosulfonyl)-N-[[*(2R)*-1-etilpirrolidin-2-il]metil]-2-metoxibenzamida  
*antagonista de los receptores D<sub>2</sub> de la dopamina y de los receptores de la serotonina*

C<sub>17</sub>H<sub>27</sub>N<sub>3</sub>O<sub>4</sub>S

71675-90-6

**autogenum cevumeranum #**

autogene cevumeran

A 5'-capped single-stranded messenger RNA (mRNA) construct for the expression of patient-specific tumour neoantigens comprising a 5'-cap, a 5'-untranslated region derived from human alpha-globin mRNA, an optimised Kozak sequence, sequences encoding a secretory signal peptide (sec<sub>2.0</sub>), transmembrane and cytoplasmic domains of a major histocompatibility complex (MHC) Class I molecule (MITD), a 3'-untranslated region (FI) and a poly(A)-tail; sequences encoding patient specific antigens are inserted between the secretory signal peptide and the transmembrane/cytoplasmic encoding domains.  
*immunological agent for active immunization (antineoplastic)*

autogène cévuméran

ARN messenger (ARNm) de simple brin coiffé en 5' construit pour l'expression de néoantigènes tumoraux spécifiques du patient comprenant une coiffe en 5', une région en 5' non-traduite dérivée de l'ARNm de la globine alpha humaine, une séquence optimisée Kozak, et les séquences codant pour un peptide signal (sec<sub>2.0</sub>), les domaines transmembranaire et cytoplasmique du complexe majeur d'histocompatibilité de groupe I (CMH1) (MITD), une région non traduite en 3' (FI) et une queue poly(A) ; Les séquences codant les antigènes spécifiques du patient sont insérées entre celles codant le peptide signal et les domaines transmembranaire et cytoplasmique.  
*agent immunologique d'immunisation active (antineoplasique)*

autogén cevumerán

Un constructo de RNA mensajero (mRNA) de cadena sencilla y caperuza en 5', para la expresión de neoantígenos tumorales específicos de cada paciente, que contiene una caperuza 5' (5'-cap), una región 5' no traducida derivada del mRNA de la globina alfa humana, una secuencia optimizada Kozak, y las secuencias codificantes para el péptido señal (sec<sub>2.0</sub>), los dominios transmembrana y citoplásmico de complejo mayor de histocompatibilidad de grupo I (CMH1) (MITD), una región no-traducida en 3' (FI) y una cola poly(A); las secuencias que codifican los antígenos específicos del paciente se insertan entre las del péptido señal y de los dominios transmembrana y citoplásmico.  
*agente inmunológico para inmunización activa (antineoplásico)*

2365453-34-3

Sequence / Séquence / Secuencia

GGGGCGAACU	AGUAUUCUUC	UGGUCCCCAC	AGACUCAGAG	AGAACCCGCC	50
ACCAUGAGAG	UGAUGGCCCC	CAGAACCUCG	AUCCUGCUGC	UGCUGGGCGC	100
CCUGGCCUCG	ACAGAGACAU	GGGCCGGAAG	CNAUCGUGGG	AAUUGUGGCA	150
GGACUGGCAG	UGCUGGCCGU	GGUGGUGAUC	GGAGCCGUGG	UGGCUACCGU	200
GAUGUGCAGA	CGGAAGUCCA	GCGGAGGCAA	GGGCGGCAGC	UACAGCCAGG	250
CCGCCAGCUC	UGAUGCGGCC	CAGGGCAGCG	ACGUGUCACU	GACAGCCUAG	300
UAACUCGAGC	UGGUACUGCA	UGCACGCAAU	GCUAGCUGCC	CCUUUCCCGU	350
CCUGGGUACC	CCGAGUCUCC	CCCAGCCUCG	GGUCCAGGCU	AUGCUCACCAC	400
CUCCACCUGC	CCCACUCACC	ACCUCUGCUA	GUUCCAGACA	CCUCCCAAGC	450
ACGCAGCAAU	GCAGCUCAAA	ACGCUUAGCC	UAGCCACACC	CCCACGGGAA	500
ACAGCAGUGA	UUAACCUUUA	GCAAUAAACG	AAAGUUUAAC	UAAGCUUAUC	550
UAACCCAGG	GUUGGUCAAU	UUCGUGCCAG	CCACACCGAG	ACCUUGUCCA	600
GAGUCGCUAG	CCGCGUCGCU	AAAAAAAAAA	AAAAAAAAAA	AAAAAAAAAA	650
AAAAAAAAAA	AAAAAAAAAA	AAAAAAAAAA	AAAAAAAAAA	AAAAAAAAAA	700
AAAAAAAAAA	AAAAAAAAAA	AAAAAAAAAA	AAAAAAAAAA	AAAAAAAAAA	740

Feature		Position
Capping structure :	phosphorothioate stabilized cap analogue	1-2
hAG-Kozak :	human $\alpha$ -globin - Kozak region	3-53
sec <sub>2</sub> 0 :	secretion signal sequence	54-131
N :	indicates location of insertion of patient-specific sequences	132
MITD :	transmembrane and cytoplasmic domains of MHC class I molecule	133-303
FI :	sequence element derived of the amino terminal enhancer of split RNA (F) and from the mitochondrially encoded 12S RNA (I)	304-620
A120 :	poly(A) tail of 120 nucleotides	621-740

**azemiglitazonum**  
azemiglitazone

*rac*-(5*R*)-5-({4-[2-(3-methoxyphenyl)-2-oxoethoxy]phenyl)methyl}-1,3-thiazolidine-2,4-dione *metabolic disorders*

azémiglitazone

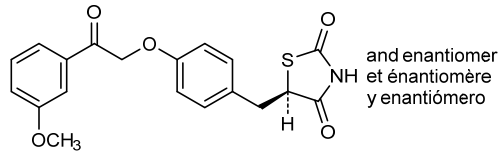
*rac*-(5*R*)-5-({4-[2-(3-méthoxyphényl)-2-oxoéthoxy]phényl)méthyl}-1,3-thiazolidine-2,4-dione *désordres métaboliques*

azemiglitazona

*rac*-(5*R*)-5-({4-[2-(3-metoxifenil)-2-oxoetoxi]fenil}metil)-1,3-tiazolidina-2,4-diona *trastornos metabólicos*

C<sub>19</sub>H<sub>17</sub>NO<sub>5</sub>S

1133819-87-0



**belzupacapum sarotalocanum #**  
belzupacap sarotalocan

a modified human papillomavirus (HPV) type 16-derived empty nanoparticle, 55 nm in diameter conjugated to approximately 200 molecules of a phthalocyanine-based photosensitizer (*sarotalocan* group). Each nanoparticle is comprised of 72 capsomeres, made of 5 molecules of modified viral capsid protein L1 [P<sup>78</sup>>R, T<sup>176</sup>>N, D<sup>273</sup>>T, N<sup>285</sup>>T, S<sup>288</sup>>N, T<sup>353</sup>>P, T<sup>389</sup>>S] and one molecule of viral capsid protein L2;

	<p>human papilloma virus type 16 (HPV16) capsid, a spherical shell of 72 self-assembling pentagonal (L1)<sub>5</sub>(L2)<sub>1</sub> capsomere units comprising the recombinant viral capsid proteins L1 ([P<sup>78</sup>&gt;R, T<sup>176</sup>&gt;N, D<sup>273</sup>&gt;T, N<sup>285</sup>&gt;T, S<sup>288</sup>&gt;N, T<sup>353</sup>&gt;P, T<sup>389</sup>&gt;S]-modified) and L2, conjugated to approximately 200 <i>sarotalocan</i> groups (near infrared absorbing dye) at N<sup>6</sup> of lysine residues; produced by human embryonic kidney 293 (HEK293) cells <i>antineoplastic</i></p>
<p>belzupacap sarotalocan</p>	<p>nanoparticule vide dérivée du virus du papillomavirus humain 16 (HPV) modifié, 55nm de diamètre, conjuguée à approximativement 200 molécules d'un photosensibilisant à base de phthalocyanine (groupe <i>sarotalocan</i>). Chaque particule est composée de 72 capsomères, faits de 5 molécules de protéine de capsid virale L1 modifiée [P<sup>78</sup>&gt;R, T<sup>176</sup>&gt;N, D<sup>273</sup>&gt;T, N<sup>285</sup>&gt;T, S<sup>288</sup>&gt;N, T<sup>353</sup>&gt;P, T<sup>389</sup>&gt;S] et d'une molécule de protéine de capsid virale L2; capsid du virus du papillomavirus humain 16 (HPV16), une coquille sphérique de 72 unités de capsomère pentagonal (L1)<sub>5</sub>(L2)<sub>1</sub>, s'auto-assemblant comprenant les protéines recombinantes de capsid virale L1 ([P<sup>78</sup>&gt;R, T<sup>176</sup>&gt;N, D<sup>273</sup>&gt;T, N<sup>285</sup>&gt;T, S<sup>288</sup>&gt;N, T<sup>353</sup>&gt;P, T<sup>389</sup>&gt;S]-modifiée) et L2, conjuguées à environ 200 groupes <i>sarotalocan</i> (colorant absorbant les proches infra-rouges) en N<sup>6</sup> des résidus lysine ; produite par des cellules rénales embryonnaires humaines (HEK293) <i>antinéoplasique</i></p>
<p>belzupacap sarotalocán</p>	<p>nanopartícula vacía derivada del virus del papilomavirus humano 16 (HPV) modificado, 55nm de diámetro, conjugado con aproximadamente 200 moléculas de un fotosensibilizante a base de ftalocianina (grupo <i>sarotalocán</i>). Cada partícula se compone de 72 capsómeros, hechos de 5 moléculas de proteína de cápsid viral L1 modificada [P<sup>78</sup>&gt;R, T<sup>176</sup>&gt;N, D<sup>273</sup>&gt;T, N<sup>285</sup>&gt;T, S<sup>288</sup>&gt;N, T<sup>353</sup>&gt;P, T<sup>389</sup>&gt;S] y de una molécula de proteína de cápsid viral L2; cápsid del virus del papilomavirus humano 16 (HPV16), una cavidad esférica de 72 unidades de capsómero pentagonal (L1)<sub>5</sub>(L2)<sub>1</sub> que se autoensamblan abarcando las proteínas recombinantes de cápsid viral L1 ([P<sup>78</sup>&gt;R, T<sup>176</sup>&gt;N, D<sup>273</sup>&gt;T, N<sup>285</sup>&gt;T, S<sup>288</sup>&gt;N, T<sup>353</sup>&gt;P, T<sup>389</sup>&gt;S]-modificada) y L2, conjugadas aproximadamente a 200 grupos <i>sarotalocán</i> (colorante absorbente infrarrojo cercano) en N<sup>6</sup> de los residuos de lisina ; producido por las células renales embrionarias humanas (HEK293) <i>antineoplásico</i></p>

2390462-37-8

## Sequence / Séquence / Secuencia

## major capsid protein L1:

MSLWLPSEAT	VYLPVPVPSK	VVSTDEYVAR	TNIYYHAGTS	RL LAVGHPYF	50
PIKKPNNKI	LVPKVSGLQY	RVERIHLRDP	NKFGPDPSTF	YNDPTQLVW	100
ACVGVVEGRG	QPLGVGISGH	PLLNKLDDE	NASAYAANAG	VDNRECISMD	150
YKQPTQLCLIG	CKPPIGEHWG	KGSPCNNAV	NPDCPPLEL	INTVIQDGM	200
VDTGFGAMD	TTLQANKSEV	PLDICTSICK	YPDYKMWSE	PYGDSLFFYL	250
RREQMFVRLH	ENRAGAVGEN	VPTDLYIKGS	GSTATLANSN	YFPTPSGSMV	300
TSDAQIFNKP	YWLQRAQCHN	NGICWGNQLF	VTVDVTRST	NMSLCAAI	350
SEPTYKNTNF	KEYLRHGEY	DLQFIFQLCK	ITLTADVMSY	IHSMNSTILE	400
DWNFGLQPPP	GGTLEDTYRF	VTSQAIACQK	HTPPAPKEDP	LKKYTFWEVN	450
LKEKFSADLD	QFFLGRKFL	QAGLKAQKPK	TLGKRKATPT	TSSTSTAKR	500
KKRKL					505

cyclic pentamer (175-428',175'-428",175"-428""',175""-428)''-disulfide, with further intermolecular disulfide bridges of unknown position linking the 72 pentamers together

## minor capsid protein L2:

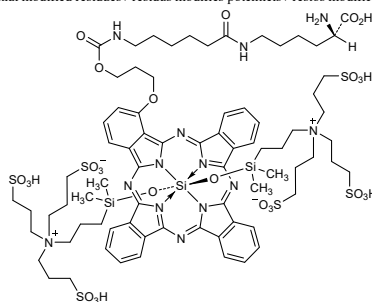
MRHKRSARKT	KRASATQLYK	TCKQAGTCPP	DIIPKVEGKT	IAEQILQYGS	50
MGVFFGGLGI	GTGSGTGRRT	GYIPLGTRPP	TATDTLAPVR	PPLTVDPVGP	100
SDPSIVSLVE	ETSFIDAGAP	TSVPSIPDPV	SGFSITTTSD	TPPAILDINN	150
TVTTVTTHNN	PTFTDPSVLQ	PPTPAETGGH	FTLSSSTIST	HNYEEIPMDT	200
FIVSTNPNTV	TSSTPIPGSR	PVARLGLYSR	TTQQVKVDDP	AFVITPTKLI	250
TYDNPAYEGI	DVDNTLYFSS	NDNSINIAPD	PDFLDIVALH	RFALTSRRTG	300
IRYSRIGNKQ	TLRTRSGKSI	GAKVHYIYDL	STIDPAEBIE	LQITPSTYT	350
TTSHAASPTS	INNGLYDIYA	DDFITDTSTT	PVPSVPSTSL	SGYIPANTTI	400
PFGGAYNIPL	VSGPDIPI	TDQAPSLIPI	VPGSPQYITII	ADAGDFYLHP	450
SYMYLRKRRK	RLPYFFSDVS	LAA			473

## intramolecular disulfide bridge: 22-28

## Glycosylation sites / Sites de glycosylation / Posiciones de glicosilación

None / aucune / ninguna

## Potential modified residues / résidus modifiés potentiels / restos modificados potenciales



**belzutifanum**  
belzutifan

3-[[[(1S,2S,3R)-2,3-difluoro-1-hydroxy-7-(methanesulfonyl)-2,3-dihydro-1H-inden-4-yl]oxy]-5-fluorobenzonitrile  
*hypoxia-inducible factor (HIF) inhibitor*

belzutifan

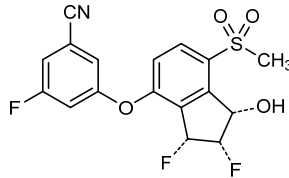
3-[[[(1S,2S,3R)-2,3-difluoro-1-hydroxy-7-(méthanesulfonyl)-2,3-dihydro-1H-indèn-4-yl]oxy]-5-fluorobenzonitrile  
*inhibiteur de facteur induit par l'hypoxie (HIF)*

belzutifán

3-[[[(1S,2S,3R)-2,3-difluoro-1-hidroxi-7-(metanosulfonyl)-2,3-dihidro-1H-indén-4-il]oxi]-5-fluorobenzonitrilo  
*inhibidor de factor inducible por hipoxia (HIF)*

C<sub>17</sub>H<sub>12</sub>F<sub>3</sub>NO<sub>4</sub>S

1672668-24-4



**bepranemabum #**  
bepranemab

immunoglobulin G4-kappa, anti-[*Homo sapiens* MAPT (microtubule-associated protein tau, tau)], humanized monoclonal antibody; gamma4 heavy chain humanized (1-445) [VH (*Homo sapiens* IGHV4-4\*08 (83.5%) -(IGHD) -IGHJ3\*01 (93.3%)) CDR-IMGT [8.7.12] (26-33.51-57.96-107) (1-118) -*Homo sapiens* IGHG4\*01, G4v5 h P10 (CH1 (119-216), hinge 1-12 S10>P (226) (217-228), CH2 (229-338), CH3 (339-443), CHS (444-445)) (119-445)], (132-219')-disulfide with kappa light chain humanized (1'-219') [V-KAPPA (*Homo sapiens* IGKV2-29\*02 (90.0%) -IGKJ2\*01 (100%)) CDR-IMGT [11.3.9] (27-37.55-57.94-102) (1'-112') -*Homo sapiens* IGKC\*01 (100%), Km3 A45.1 (158), V101 (196) (113'-219')]; dimer (224-224":227-227")-bisdisulfide, produced in Chinese hamster ovary (CHO) cells, glycoform alfa  
*tau protein inhibitor*

bépranéab

immunoglobuline G4-kappa, anti-[*Homo sapiens* MAPT (protéine tau associée aux microtubules, tau)], anticorps monoclonal humanisé; chaîne lourde gamma4 humanisée (1-445) [VH (*Homo sapiens* IGHV4-4\*08 (83.5%) -(IGHD) -IGHJ3\*01 (93.3%)) CDR-IMGT [8.7.12] (26-33.51-57.96-107) (1-118) -*Homo sapiens* IGHG4\*01, G4v5 h P10 (CH1 (119-216), charnière 1-12 S10>P (226) (217-228), CH2 (229-338), CH3 (339-443), CHS (444-445)) (119-445)], (132-219')-disulfure avec la chaîne légère kappa humanisée (1'-219') [V-KAPPA (*Homo sapiens* IGKV2-29\*02 (90.0%) -IGKJ2\*01 (100%)) CDR-IMGT [11.3.9] (27-37.55-57.94-102) (1'-112') -*Homo sapiens* IGKC\*01 (100%), Km3 A45.1 (158), V101 (196) (113'-219')]; dimère (224-224":227-227")-bisdisulfure, produite dans des cellules ovariennes de hamster chinois (CHO), glycoforme alfa  
*inhibiteur de la protéine tau*

bepranemab

inmunoglobulina G4-kappa, anti-[*Homo sapiens* MAPT (proteína tau asociada a los microtúbulos, tau)], anticuerpo monoclonal humanizado; cadena pesada gamma4 humanizada (1-445) [VH (*Homo sapiens* IGHV4-4\*08 (83.5%) -(IGHD) -IGHJ3\*01 (93.3%)) CDR-IMGT [8.7.12] (26-33.51-57.96-107) (1-118) -*Homo sapiens* IGHG4\*01, G4v5 h P10 (CH1 (119-216), bisagra 1-12 S10>P (226) (217-228), CH2 (229-338), CH3 (339-443), CHS (444-445)) (119-445)], (132-219')-disulfuro con la cadena ligera kappa humanizada (1'-219') [V-KAPPA (*Homo sapiens* IGKV2-29\*02 (90.0%) -IGKJ2\*01 (100%)) CDR-IMGT [11.3.9] (27-37.55-57.94-102) (1'-112') -*Homo sapiens* IGKC\*01 (100%), Km3 A45.1 (158), V101 (196) (113'-219')]; dímero (224-224":227-227")-bisdisulfuro, producida por células ováricas de hamster chino (CHO), forma glicosilada alfa  
*inhibidor de la proteína tau*

2244960-75-4

Heavy chain / Chaîne lourde / Cadena pesada  
 EVQLQESGPG LVKPSSETLSL TCTVSGFSLT SNDIAWIRQP PGKLEWMT 50  
 IWTDGSTNYN TAVQSRVTIS VDTSKNQFSL KLSVSTAADT AVYVCARHRL 100  
 YYGAFDYWGO GTMVTVSSAS TKGPSVFPLA PCSRSTSEST AALGLVKDY 150  
 FPEFVTVSWN SGALTSQVHT FPAVLQSSGL YLSLSSVTVF SSSLGKTYT 200  
 CNVDHKFSNT KVDKRVESKY GPCPPCPAP EPLGGPSVFL FPKPKDTLM 250  
 ISRTPEVTCV VVDVTSQEDPE VQFNWYVDGV EVHNAKTKER EEQPNSTYRV 300  
 VSVLTVLHQD NLANGKEYKCK VSNKGLPSSI ERTISKAKGO PREPQVYTLF 350  
 PSQEEMTKNQ VSLTCLVKGF YPSDIAVEWE SNGQPENNYK TTPPVLDSDG 400  
 SFFLYSRITV DKSRWQEGNV FSCSVMEAL HNHYTQKSLLS LSLGK 445

Light chain / Chaîne légère / Cadena ligera  
 DIVMTQTPLS LSVTFGQPAS ISCRSSSQLE YSDGYTYLEW YLQKPGQSPQ 50  
 LLIYEVSNR F SGVDFRFSGS GSGTDFTLKI SRVEALDVG V YYCFQATHNP 100  
 YTFGQGTKLE IKRTVAAPSV FIFPPSDEQL KSGTASVVC L LNNFYPREAK 150  
 VQWIKVDNALQ SGNSQESVTE QDSKSTYSL SSTLTLSKAD YEKHKVYACE 200  
 VTHQGLSSPV TKSFNRGEC 219

## Post-translational modifications

Disulfide bridges location / Position des ponts disulfure / Posiciones de los puentes disulfuro

Intra-H (C23-C104) 22-95 145-201 259-319 365-423  
 22"-95" 145"-201" 259"-319" 365"-423"  
 Intra-L (C23-C104) 23"-93" 139"-199"  
 23"-93" 139"-199"

Inter-H-L (CH1 10-CL 126) 132-219" 132"-219"

Inter-H-H (h 8, h 11) 224-224" 227-227"

N-glycosylation sites / Sites de N-glycosylation / Posiciones de N-glicosilación

H CH2 N84.4:

295, 295"

Fucosylated complex bi-antennary CHO-type glycans / glycanes de type CHO bi-antennaires complexes fucosylés / glicanos de tipo CHO biantennarios complejos fucosilados

**bersacapavirum**

bersacapavir

*N*-(3-cyano-4-fluorophenyl)-1-methyl-4-[[{(2*S*)-1,1,1-trifluoropropan-2-yl]sulfamoyl]-1*H*-pyrrole-2-carboxamide  
*antiviral*

bersacapavir

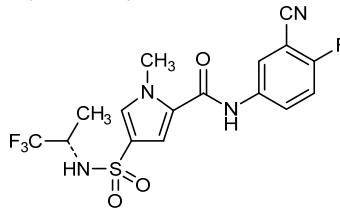
*N*-(3-cyano-4-fluorophényl)-1-méthyl-4-[[{(2*S*)-1,1,1-trifluoropropan-2-yl]sulfamoyl]-1*H*-pyrrole-2-carboxamide  
*antiviral*

bersacapavir

*N*-(3-ciano-4-fluorofenil)-1-metil-4-[[{(2*S*)-1,1,1-trifluoropropan-2-il]sulfamoil]-1*H*-pirrolo-2-carboxamida  
*antiviral*

C<sub>16</sub>H<sub>14</sub>F<sub>4</sub>N<sub>4</sub>O<sub>3</sub>S

1638266-40-6

**bexmarilimabum #**

bexmarilimab

immunoglobulin G4-kappa, anti-[*Homo sapiens* STAB1 (stabilin 1, STAB-1, CLEVER-1, FEEL-1, FELE-1, FEX1, SCARH2)], humanized monoclonal antibody; gamma4 heavy chain humanized (1-449) [VH (*Homo sapiens* IGHV2-5\*09 (91.8%) -(IGHD) -IGHJ4\*01 (100%))] [10.7.14] (1-122) -*Homo sapiens* IGHG4\*01, G4v5 h P10, G4v3 CH2 E1.2 (CH1 (123-220), hinge 1-12 S10>P (230)(221-232), CH2 L1.2>E (237) (233-342), CH3 (343-447), CHS (448-449)) (123-449)], (136-215')-disulfide with kappa light chain humanized

(1'-215') [V-KAPPA (*Homo sapiens* IGKV3-20\*01 (80.2%) -IGKJ2\*01 (100%)) [7.3.9] (1'-108') -*Homo sapiens* IGKC\*01 (100%), Km3 A45.1 (154), V101 (192) (109'-215')]; dimer (228-228":231-231")-bisdisulfide, produced in Chinese hamster ovary (CHO) cells, glycoform alfa immunomodulator, antineoplastic

bexmarilimab immunoglobuline G4-kappa, anti-[*Homo sapiens* STAB1 (stabilin 1, STAB-1, CLEVER-1, FEEL-1, FELE-1, FEX1, SCARH2)], anticorps monoclonal humanisé; chaîne lourde gamma4 humanisée (1-449) [VH (*Homo sapiens*IGHV2-5\*09 (91.8%) -(IGHD) - IGHJ4\*01 (100%)) [10.7.14] (1-122) -*Homo sapiens* IGHG4\*01, G4v5 h P10, G4v3 CH2 E1.2 (CH1 (123-220), charnière 1-12 S10>P (230) (221-232), CH2 L1.2>E (237) (233-342), CH3 (343-447), CHS (448-449)) (123-449)], (136-215')-disulfure avec la chaîne légère kappa humanisée (1'-215') [V-KAPPA (*Homo sapiens* IGKV3-20\*01 (80.2%) -IGKJ2\*01 (100%)) [7.3.9] (1'-108') -*Homo sapiens* IGKC\*01 (100%), Km3 A45.1 (154), V101 (192) (109'-215')]; dimère (228-228":231-231")-bisdisulfure, produit dans des cellules ovariennes de hamster chinois (CHO), glycoforme alfa immunomodulateur, antinéoplasique

bexmarilimab inmunoglobulina G4-kappa, anti-[*Homo sapiens* STAB1 (stabilin 1, STAB-1, CLEVER-1, FEEL-1, FELE-1, FEX1, SCARH2)], anticuerpo monoclonal humanizado; cadena pesada gamma4 humanizada (1-449) [VH (*Homo sapiens* IGHV2-5\*09 (91.8%) -(IGHD) - IGHJ4\*01 (100%)) [10.7.14] (1-122) - *Homo sapiens* IGHG4\*01, G4v5 h P10, G4v3 CH2 E1.2 (CH1 (123-220), bisagra 1-12 S10>P (230) (221-232), CH2 L1.2>E (237) (233-342), CH3 (343-447), CHS (448-449)) (123-449)], (136-215')-disulfuro con la cadena ligera kappa humanizada (1'-215') [V-KAPPA (*Homo sapiens* IGKV3-20\*01 (80.2%) -IGKJ2\*01 (100%)) [7.3.9] (1'-108') -*Homo sapiens* IGKC\*01 (100%), Km3 A45.1 (154), V101 (192) (109'-215')]; dímero (228-228":231-231")-bisdisulfuro, producido por células ováricas de hamster chino (CHO), forma glicosilada alfa immunomodulador, antineoplásico

2259301-27-2

Heavy chain / Chaîne lourde / Cadena pesada
QVTLKESGPT LVKPTQTLLT TCSFSGFSL S TSGMGIGWIR QPFGKALEWL 50
AHIWDDDKR YNPAKLSRLT ISKDTSKNQV VLZTMNDPV DTATYYCARH 100
YGYDFYYAMD YWGOCTLVTV SSASTKGPSV FPLAPCSRST SESTAALGCL 150
VKDYFPEPVT VSWNSGALTS GVHTFFPAVLQ SSGLYSLSSV VTVFSSSLGT 200
KTYTCNVDPK PSNTKVDKRV ESKYGFPCFP CPAPEFEGGP SVFLFPFKPK 250
DTLMSRTPF TVCVVVDVSO EDEEVQFNWY VDGVEVHNAK TKPREQFNS 300
TYRVVSVLTV LHQDNLNGKE YKCKVSNKGL FSSIETKISK AKGQPREPQV 350
YTLPPSQEEM TKNQVSLTCL VKGFYPSDIA VEWESNGQPE NNYKTTFFVL 400
DSDGSFFLYS RLTVDKSRWQ EGNVFCSCVM HEALHNHYTQ KSLSLSLGK 449

Light chain / Chaîne légère / Cadena ligera
EIVLTQSPGT LSLSPGERAT LSCTASSSV S SYLHWYQQK PGKAPKLLIY 50
RTSNLASGVP SRPFGSGSGT DYTLTISLQ PEDFATYYCH QYHRSPPTFG 100
QGTKLEIKRT VAAPSVFIFP PSDEQLKSGT ASVCLLNNF YPREAKVQWK 150
VDNALQSGNS QESVTEQDSK DSTYLSSTL TLSKADYERK KYACEVTHQ 200
GLSSPVTKSF NRGEK 215

Post-translational modifications
Disulfide bridges location / Position des ponts disulfure / Posiciones de los puentes disulfuro
Intra-H (C23-C104) 22"-97 149"-205 263"-323 369"-427
22"-97" 149"-205" 263"-323" 369"-427"
Intra-L (C23-C104) 23"-89" 135"-195"
23"-89" 135"-195"
Inter-H-L (CH1 10-CL 126) 136"-215" 136"-215"
Inter-H-H (h 8, h 11) 228-228" 231-231"

N-glycosylation sites / Sites de N-glycosylation / Posiciones de N-glicosilación
H CH2 N84.4:
299, 299"
Fucosylated complex bi-antennary CHO-type glycans / glycanes de type CHO bi-antennaires complexes fucosylés / glicanos de tipo CHO biantennarios complejos fucosilados

**bomedemstatum**

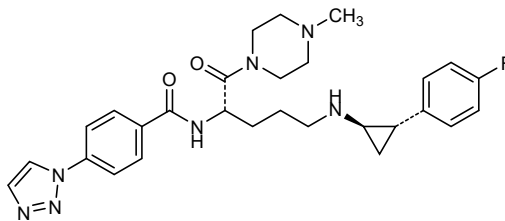
bomedemstat *N*-[(2*S*)-5-[[[(1*R*,2*S*)-2-(4-fluorophényl)cyclopropyl]amino]-1-(4-méthylpiperazin-1-yl)-1-oxopentan-2-yl]-4-(1*H*-1,2,3-triazol-1-yl)benzamide  
*lysine-specific histone demethylase 1 (LSD1) inhibitor, antineoplastic*

bomédemstat *N*-[(2*S*)-5-[[[(1*R*,2*S*)-2-(4-fluorophényl)cyclopropyl]amino]-1-(4-méthylpiperazin-1-yl)-1-oxopentan-2-yl]-4-(1*H*-1,2,3-triazol-1-yl)benzamide  
*inhibiteur de l'histone déméthylase-1 spécifique de la lysine (LSD1), antinéoplasique*

bomedemstat *N*-[(2*S*)-5-[[[(1*R*,2*S*)-2-(4-fluorofenil)ciclopropil]amino]-1-(4-metilpiperazin-1-il)-1-oxopentan-2-il]-4-(1*H*-1,2,3-triazol-1-il)benzamida  
*inhibidor de la histona demetilasa-1 específica de la lisina (LSD1), antineoplásico*

C<sub>28</sub>H<sub>34</sub>FN<sub>7</sub>O<sub>2</sub>

1990504-34-1

**cevastamabum #**

cevastamab

immunoglobulin G1-kappa, anti-[*Homo sapiens* FCRL5 (Fc receptor like 5, FCRH5, IRTA2, BXMAS1, CD307e)] and anti-[*Homo sapiens* CD3E (CD3 epsilon, Leu-4)], monoclonal antibody, bispecific tetravalent; gamma1 heavy chain anti-FCRL5 (1-450) [VH (*Mus musculus*IGHV2-4\*01 (77.1%) -(IGHD) -IGHJ3\*01 (90.9%)/*Homo sapiens* IGHV4-4\*08 (72.9%) -(IGHD) -IGHJ5\*01 (85.7%)] CDR-IMGT [8.7.14] (26-33.51-57.96-109) (1-120) -*Homo sapiens* IGHG1\*03v, G1m3>G1m17, nG1m1, G1v30 CH2 G84.4, G1v32 CH3 W22 (CH1 R120>K (217) (121-218), hinge 1-15 (219-233), CH2 N84.4>G (300) (234-343), CH3 E12 (359), M14 (361), T22>W (369) (344-448), CHS (449-450)) (121-450)], (223-214')-disulfide with kappa light chain anti-FCRL5 (1'-214') [V-KAPPA (*Homo sapiens* IGKV1-16\*01 (83.2%) -IGKJ1\*01 (91.7%)] CDR-IMGT [6.3.9] (27-32.50-52.89-97) (1'-107') -*Homo sapiens* IGKC\*01 (100%), Km3 A45.1 (153), V101 (191) (108'-214')]; gamma1 heavy chain anti-CD3 (1''-449'') [VH (*Homo sapiens* IGHV1-3\*01 (82.7%) -(IGHD) -IGHJ4\*01 (100%)] CDR-IMGT [8.8.12] (26-33.51-58.97-108) (1''-119'') -*Homo sapiens* IGHG1\*03v, G1m3>G1m17, nG1m1, G1v30 CH2 G84.4, G1v33 S22, A24, V86 (CH1 R120>K (216) (120-217), hinge 1-15 (218-232), CH2 N84.4>G (299) (233-342), CH3 E12 (358), M14 (360), T22>S (368), L24>A (370), Y86>V (409) (343-447), CHS (448-449)) (120''-449'')], (222''-219''')-disulfide with kappa light chain anti-CD3 (1'''-219''') [V-KAPPA (*Homo sapiens* IGKV4-1\*01 (88.8%) -IGKJ1\*01 (100%)] CDR-IMGT [12.3.8] (27-38.56-58.95-102) (1'''-112''') -*Homo sapiens* IGKC\*01 (100%), Km3 A45.1 (158), V101 (196) (113'''-219'''); dimer (229-228'':232-231'')-bisdisulfide, produced in Chinese hamster ovary (CHO) cells  
*immunomodulator, antineoplastic*

- cévestamab      immunoglobuline G1-kappa anti-[*Homo sapiens* FCRL5 (récepteur Fc like 5, FCRH5, IRTA2, BXMAS1, CD307e)] et anti-[*Homo sapiens* CD3E (CD3 epsilon, Leu-4)], anticorps monoclonal, bispécifique tétravalent; chaîne lourde gamma1 anti-FCRL5 (1-450) [VH (*Mus musculus*IGHV2-4\*01 (77.1%) -(IGHD) -IGHJ3\*01 (90.9%)/*Homo sapiens*IGHV4-4\*08 (72.9%) -(IGHD) -IGHJ5\*01 (85.7%)) CDR-IMGT [8.7.14] (26-33.51-57.96-109) (1-120) -*Homo sapiens*IGHG1\*03v,G1m3>G1m17, nG1m1, G1v30 CH2 G84.4, G1v32 CH3 W22 (CH1 R120>K (217) (121-218), charnière 1-15 (219-233), CH2 N84.4>G (300) (234-343), CH3 E12 (359), M14 (361), T22>W (369) (344-448), CHS (449-450)) (121-450)], (223-214')-disulfure avec la chaîne légère kappa anti-FCRL5 (1'-214') [V-KAPPA (*Homo sapiens*IGKV1-16\*01 (83.2%) -IGKJ1\*01 (91.7%)) CDR-IMGT [6.3.9] (27-32.50-52.89-97) (1'-107') -*Homo sapiens*IGKC\*01 (100%), Km3 A45.1 (153), V101 (191) (108'-214')]; chaîne lourde gamma1 anti-CD3 (1"-449") [VH (*Homo sapiens*IGHV1-3\*01 (82.7%) -(IGHD) -IGHJ4\*01 (100%)) CDR-IMGT [8.8.12] (26-33.51-58.97-108) (1"-119") -*Homo sapiens*IGHG1\*03v, G1m3>G1m17, nG1m1, G1v30 CH2 G84.4, G1v33 S22, A24, V86 (CH1 R120>K (216) (120-217), charnière 1-15 (218-232), CH2 N84.4>G (299) (233-342), CH3 E12 (358), M14 (360), T22>S (368), L24>A (370), Y86>V (409) (343-447), CHS (448-449)) (120"-449")], (222"-219'")-disulfure avec la chaîne légère kappa anti-CD3 (1'"-219'") [V-KAPPA (*Homo sapiens*IGKV4-1\*01 (88.8%) -IGKJ1\*01 (100%)) CDR-IMGT [12.3.8] (27-38.56-58.95-102) (1'"-112'") -*Homo sapiens*IGKC\*01 (100%), Km3 A45.1 (158), V101 (196) (113'"-219'")]; dimère (229-228":232-231'")-bisdisulfure, produit dans des cellules ovariennes de hamster chinois (CHO)  
*immunomodulateur, antinéoplasique*
- cevostamab      inmunoglobulina G1-kappa anti-[*Homo sapiens* FCRL5 (receptor Fc like 5, FCRH5, IRTA2, BXMAS1, CD307e)] y anti-[*Homo sapiens* CD3E (CD3 epsilon, Leu-4)], anticuerpo monoclonal, biespecifico tetraavalente; cadena pesada gamma1 anti-FCRL5 (1-450) [VH (*Mus musculus*IGHV2-4\*01 (77.1%) -(IGHD) -IGHJ3\*01 (90.9%)/*Homo sapiens*IGHV4-4\*08 (72.9%) -(IGHD) -IGHJ5\*01 (85.7%)) CDR-IMGT [8.7.14] (26-33.51-57.96-109) (1-120) -*Homo sapiens*IGHG1\*03v,G1m3>G1m17, nG1m1, G1v30 CH2 G84.4, G1v32 CH3 W22 (CH1 R120>K (217) (121-218), bisagra 1-15 (219-233), CH2 N84.4>G (300) (234-343), CH3 E12 (359), M14 (361), T22>W (369) (344-448), CHS (449-450)) (121-450)], (223-214')-disulfuro con la cadena ligera kappa anti-FCRL5 (1'-214') [V-KAPPA (*Homo sapiens*IGKV1-16\*01 (83.2%) -IGKJ1\*01 (91.7%)) CDR-IMGT [6.3.9] (27-32.50-52.89-97) (1'-107') -*Homo sapiens*IGKC\*01 (100%), Km3 A45.1 (153), V101 (191) (108'-214')]; cadena pesada gamma1 anti-CD3 (1"-449") [VH (*Homo sapiens*IGHV1-3\*01 (82.7%) -(IGHD) -IGHJ4\*01 (100%)) CDR-IMGT [8.8.12] (26-33.51-58.97-108) (1"-119") -*Homo sapiens*IGHG1\*03v, G1m3>G1m17, nG1m1, G1v30 CH2 G84.4, G1v33 S22, A24, V86 (CH1 R120>K (216) (120-217), bisagra 1-15 (218-232), CH2 N84.4>G (299) (233-342), CH3 E12 (358), M14 (360), T22>S (368), L24>A (370), Y86>V (409) (343-447), CHS (448-449)) (120"-449")], (222"-219'")-disulfuro con la cadena ligera kappa anti-CD3 (1'"-219'") [V-KAPPA (*Homo sapiens*IGKV4-1\*01 (88.8%) -IGKJ1\*01 (100%)) CDR-IMGT [12.3.8] (27-38.56-58.95-102) (1'"-112'") -*Homo sapiens*IGKC\*01 (100%), Km3 A45.1 (158), V101 (196) (113'"-219'")]; dímero (229-228":232-231'")-bisdisulfuro, producido por células ováricas de hamster chino (CHO)  
*inmunomodulador, antineoplásico*

2249888-53-5

Heavy chain / Chaîne lourde / Cadena pesada (anti-FCRL5)

EVQLVESGPG	LVKPSETLSL	TCTVSGFSLT	RFVHVVRRQP	PGKLEWLVG	50
IWRGGS TDYN	AAFVSR L TIS	KDNSKNQVSL	KLSSVTAADT	AVYYCSNHYY	100
GSSDYALDNW	GQGLT LVT VSS	ASTKGPSVFP	LAPSSKSTSG	GTAALGLVK	150
DYFPEPVTVS	WNSGALTSGV	HTFPAVLQSS	GLYSLSSVVT	VPSSSLGTQT	200
YICNVNHPKS	NTKVDKVEP	KSCDKTHTCP	PCPAPELLGG	PSVFLFPKPK	250
KDTLMI SRTP	EVTCVVDVDS	HEDPEVKFNW	YVDGVEVHNA	KTKPREQYGS	300
STYRVVSVLT	VLHQDWLNGK	EYKCKVSNKA	LPAPIEKTIS	KAKGQPREPQ	350
VYTLPPSREE	MTKNQVSLWC	LVKGFYPSDI	AVEWESNGQP	ENNYKTTTPV	400
LSDSGSFFLY	SKLTVDKSRW	QQGNVFSCSV	MHEALHNHYT	QKSLSLSPGK	450

Light chain / Chaîne légère / Cadena ligera (anti-FCRL5)

DIQMTQSPSS	LSASVGDVRT	ITCKASQDVR	NLVVWFQQPK	GKAPKLLIYS	50
GSYRYSQVPS	RFGSGSGSDT	FTLTISLQIP	EDFATYYCQQ	HYSPPYTFGQ	100
GTKVEIKRVT	AAPSVFIFPP	SDEQLKSGTA	SVVCLLNIFY	PREAKVQWKV	150
DNALQSGNSQ	ESVTEQDSKD	STYLSSTLT	LSKADYKHKH	VYACEVTHQG	200
LSSPVTKSFN	RGEC				214

Heavy chain / Chaîne lourde / Cadena pesada (anti-CD3)

EVQLVQSGAE	VKKPGASVKV	SCKASGFTFT	SYIHWVRRQA	PGQGLEWIGW	50
IYPENDNTKY	NEKFKDRTVI	TADTSTSTAY	LELSSLRSED	TAVYYCARDG	100
YSRYFDYWG	QGT LVT VSSA	STKGPSVFP	APSSKSTSGG	TAALGLVKD	150
YFPEPVTVSW	NSGALTSGVH	TFAVLQSSG	LYSLSSVVTV	PSSSLGTQTY	200
ICNVNHPKSN	TKVDKVEPK	SCDKTHTCPP	CPAPELLGGP	SVFLFPKPK	250
DTLMI SRTP	VTCVVDVSH	EDPEVKFNWY	VDGVEVHNAK	TKPREQYGS	300
TYRVVSVLTV	LHQDWLNGKE	YKCKVSNKAL	PAPIEKTISK	AKGQPREPQV	350
YTLPPSREEM	TKNQVSLSCA	VKGFYPSDIA	VEWESNGQPE	NNYKTTTPVL	400
DSGSGSFFLV	KLTVDKSRWQ	QQGNVFSCSV	HEALHNHYTQ	KSLSLSPGK	449

Light chain / Chaîne légère / Cadena ligera (anti-CD3)

DIVMTQSPDS	LAVSLGERAT	INCKSSQSL	NSRTRKNYLA	WYQQKPGQSP	50
KLLIYWTSTR	KSGVDFRFSG	SGSGTDFTLT	ISLQAEDVA	VYICKQSFIL	100
RTFGQGTQVE	IKRTVAAPSV	FIFPPSDEQL	KSGTASVCL	LNIFYPREAK	150
VQWQVDNALQ	SGNSQESVTE	QDSKDYSTYSL	SSTLTLSKAD	YEKHKVYACE	200
VTHQGLSSPV	TKSFNRGEC				219

## Post-translational modifications

Disulfide bridges location / Position des ponts disulfure / Posiciones de los puentes disulfuro

Intra-H (C23-C104) 22-95 147-203 264-324 370-428  
 22"-96" 146"-202" 263"-323" 369"-427"

Intra-L (C23-C104) 23"-88" 134"-194"  
 23"-94" 139"-199"

Inter-H-L (h 5-CL 126) 223-214" 222"-219"

Inter-H-H (h 11, h 14) 229-228" 232-231"

No N-glycosylation sites / pas de sites de N-glycosylation / ningún posición de N-glicosilación:  
 H CH2 N84.4-G:  
 300, 299"

**ciltacabtagenium autoleucelum #**  
 ciltacabtagene autoleucel

autologous peripheral blood mononuclear cell (PBMC)-derived T lymphocytes transduced *ex vivo* with a non-replicating, self-inactivating (SIN) lentiviral vector encoding a chimeric antigen receptor (CAR) targeting two epitopes of the human B cell maturation antigen (BCMA) under the control of a human elongation factor 1 alpha (EF1α) promoter

The coding sequence comprises a human CD8 alpha signal peptide (CD8α SP), a BCMA targeting domain consisting of two variable heavy chain-only antibodies (VHH1 and VHH2) targeting two distinct BCMA epitopes, a human CD8 alpha hinge and transmembrane domain (CD8α hinge + TM), a human CD137 cytoplasmic domain (4-1BB) and a human CD3 zeta cytoplasmic domain (CD3ζ).

The vector genome contains a chimeric Rous sarcoma virus (RSV)/truncated 5'LTR and a self-inactivating 3'LTR-SIN (Δ-U3).

*genetically modified cell (antineoplastic)*

## ciltacabtagène autoleucel

lymphocytes T autologues dérivés de cellules mononuclées du sang périphérique (PBMC) transduits *ex vivo* avec un vecteur lentiviral non-répliquant, auto-inactif (SIN) codant pour un récepteur d'antigène chimérique (CAR) ciblant deux épitopes de l'antigène de maturation des lymphocytes B (BCMA) humains sous le contrôle d'un promoteur du facteur d'élongation 1-alpha humain (EF1α)

	<p>La séquence code pour un peptide signal CD8 alpha humain (CD8<math>\alpha</math> SP), un domaine ciblant le BCMA consistant en seulement la partie variable des chaînes lourdes (VHH1 and VHH2) de deux anticorps dirigés contre deux épitopes du BCMA, une charnière et un domaine transmembranaire du CD8 alpha humain, un domaine cytoplasmique du CD 137 humain (4-1BB) et un domaine cytoplasmique du CD3 zêta humain (CD3<math>\zeta</math>).</p> <p>Le génome du vecteur contient en 5', une séquence LTR (terminale longue répétée) tronquée d'un virus du sarcome de Rous (RSV) chimérique et en 3', une séquence LTR-SIN (<math>\Delta</math>-U3) auto-inactivante.</p> <p><i>cellule génétiquement modifiée (antineoplasique)</i></p>
ciltacabtagén autoleucel	<p>linfocitos T autólogos derivados de células mononucleares de sangre periférica (PBMC) transducidos <i>ex vivo</i> con un vector lentiviral no replicativo, auto inactivante (SIN), que codifica para un receptor de antígenos quimérico (CAR) dirigido a dos épitopos del antígeno de maduración de linfocitos B (BCMA) humano bajo el control de un promotor del factor de elongación 1 alfa humano (promotor EF1<math>\alpha</math>)</p> <p>La secuencia codificante consta de un péptido señal del CD8 alfa humano, un dominio dirigido a BCMA consistente en sólo la parte variable de las cadenas pesadas (VHH1 y VHH2) de dos anticuerpos dirigidos a dos épitopos de BCMA, una bisagra y un dominio transmembrana del CD8 alfa humano, un dominio citoplásmico del CD137 humano (4-1BB) y un dominio citoplásmico del CD3 zeta humano (CD3<math>\zeta</math>).</p> <p>El genoma del vector contiene un LTR 5' truncado/RSV (virus del sarcoma de Rous) quimérico y un LTR 3'-SIN auto inactivante (<math>\Delta</math>-U3).</p> <p><i>célula genéticamente modificada (antineoplásico)</i></p>
<b>conendostatinum #</b> conendostatin	<p>L-methionyl-human endostatin [human collagen type XVIII <math>\alpha</math>-1 (COL18A1) C-terminal (1572-1754)-fragment (1-183)], canonical D<sup>104</sup>, R<sup>110</sup>, S<sup>150</sup> form, produced in <i>Escherichia coli</i></p> <p><i>angiogenesis inhibitor, antineoplastic</i></p>
conendostatine	<p>L-méthionyl-endostatine humaine [fragment C-terminal (1572-1754) du collagène humain de type XVIII <math>\alpha</math>-1 (COL18A1) (1-183)], forme canonique D<sup>104</sup>, R<sup>110</sup>, S<sup>150</sup>, produit dans <i>Escherichia coli</i></p> <p><i>inhibiteur de l'angiogénèse, antineoplasique</i></p>
conendostatina	<p>L-metionil-endostatina humana [fragmento C-terminal (1572-1754) del colágeno humano de tipo XVIII <math>\alpha</math>-1 (COL18A1) (1-183)], forma canónica D<sup>104</sup>, R<sup>110</sup>, S<sup>150</sup>, producido en <i>Escherichia coli</i></p> <p><i>inhibidor de la angiogenesis, antineoplásico</i></p>

2202745-12-6

Sequence / Séquence / Secuencia  
 M  
 HSHRDFQPVV HLVVALNSPLS GMMRGIRGAD FQCFQOARAV GLAGTFFRAFL 50  
 SSRLLQDIYSI VRRADRAAVP IVNLKDELLF PSWEALFSGS EGPLKFGARI 100  
 FSDFGKDLVR HPTWPQKSVW HGSDPNGRRL TESYCETWRT EAPSATGQAS 150  
 SLLGGRLGQ SAASCHHAYI VLCTIENSFMT ASK 183

Post-translational modifications / Modifications post-traduccionnelles / Modificaciones postraduccionales

Disulfide bridges location / Position des ponts disulfure / Posiciones de los puentes disulfuro  
 intra-chain 33-165 135-173

Glycosylation sites / Sites de glycosylation / Posiciones de glicosilación  
 None / aucune / ninguna

**cudarolimabum #**  
 cudarolimab

immunoglobulin G1-kappa, anti-[*Homo sapiens* TNFRSF4 (tumor necrosis factor receptor (TNFR) superfamily member 4, ACT35, OX40, CD134)], *Homo sapiens* monoclonal antibody;  
 gamma1 heavy chain *Homo sapiens* (1-453) [VH (*Homo sapiens* IGHV3-30\*03 (100%) -(IGHD) - IGHJ3\*02 (100%)) CDR-IMGT [8.8.17] (26-33.51-58.97-113) (1-124) -*Homo sapiens* IGHG1\*01 (100%) G1m17,1 (CH1 K120 (221) (125-222), hinge 1-15 (223-237), CH2 (238-347), CH3 D12 (363), L14 (365) (348-452), CHS K>del (453)) (125-453)], (227-213')-disulfide with kappa light chain *Homo sapiens* (1'-213') [V-KAPPA (*Homo sapiens* IGKV1-33\*01 (96.8%) - IGKJ4\*01 (100%)) CDR-IMGT [6.3.8] (27-32.50-52.89-96) (1'-106') -*Homo sapiens* IGKC\*01 (100%), Km3 A45.1 (152), V101 (190) (107'-213')];  
 dimer (233-233":236-236")-bisdisulfide, produced in Chinese hamster ovary (CHO) cells, glycoform alfa  
*immunomodulator, antineoplastic*

cudarolimab

immunoglobuline G1-kappa, anti-[*Homo sapiens* TNFRSF4 (membre 4 de la superfamille des récepteurs du facteur de nécrose tumorale, ACT35, OX40, CD134)], anticorps monoclonal *Homo sapiens*; chaîne lourde gamma1 *Homo sapiens* (1-453) [VH (*Homo sapiens* IGHV3-30\*03 (100%) -(IGHD) - IGHJ3\*02 (100%)) CDR-IMGT [8.8.17] (26-33.51-58.97-113) (1-124) -*Homo sapiens* IGHG1\*01 (100%) G1m17,1 (CH1 K120 (221) (125-222), charnière 1-15 (223-237), CH2 (238-347), CH3 D12 (363), L14 (365) (348-452), CHS K>del (453)) (125-453)], (227-213')-disulfure avec la chaîne légère kappa *Homo sapiens* (1'-213') [V-KAPPA (*Homo sapiens* IGKV1-33\*01 (96.8%) -IGKJ4\*01 (100%)) CDR-IMGT [6.3.8] (27-32.50-52.89-96) (1'-106') -*Homo sapiens* IGKC\*01 (100%), Km3 A45.1 (152), V101 (190) (107'-213')];  
 dimère (233-233":236-236")-bisdisulfure, produit dans des cellules ovariennes de hamster chinois (CHO), glycoforme alfa  
*immunomodulateur, antinéoplasique*

cudarolimab

inmunoglobulina G1-kappa, anti-[*Homo sapiens* TNFRSF4 (miembro 4 de la superfamilia de los receptores del factor de necrosis tumoral, ACT35, OX40, CD134)], anticuerpo monoclonal *Homo sapiens*;

cadena pesada gamma1 *Homo sapiens* (1-453) [VH (*Homo sapiens* IGHV3-30\*03 (100%) -(IGHD) - IGHJ3\*02 (100%)) CDR-IMGT [8.8.17] (26-33.51-58.97-113) (1-124) -*Homo sapiens* IGHG1\*01 (100%) G1m17.1 (CH1 K120 (221) (125-222), bisagra 1-15 (223-237), CH2 (238-347), CH3 D12 (363), L14 (365) (348-452), CHS K>del (453)) (125-453)], (227-213')-disulfuro con la cadena ligera kappa *Homo sapiens* (1'-213') [V-KAPPA (*Homo sapiens* IGKV1-33\*01 (96.8%) -IGKJ4\*01 (100%)) CDR-IMGT [6.3.8] (27-32.50-52.89-96) (1'-106') -*Homo sapiens* IGKC\*01 (100%), Km3 A45.1 (152), V101 (190) (107'-213')]; dímero (233-233":236-236")-bisdisulfuro, producido por células ováricas de hamster chino (CHO), forma glicosilada alfa  
*inmunomodulador, antineoplásico*

2244739-29-3

Heavy chain / Chaîne lourde / Cadena pesada  
 QVQLVESGGG VVQPGKSLRL SCAASGFTFS SYGMHWVRQA PGKLEWVAV 50  
 ISYDGSNKYY ADSVKGRFTI SRDNSKNTLY LQMNSLRAED TAVYYCARGR 100  
 PWYSETG TSA FDIWGQGTMV TVSSASTKGP SVFPLAPSSK STSGGTAALG 150  
 CLVKDYFPEP VTVSWNSGAL TSGVHTFPAV LQSSGLYSL SSVTVPSSSL 200  
 GTQTYICNVN HKPSNTRKVDK KVEPKSCDKT HTPPCFPAPE LLGGPSVFLF 250  
 PPKFKDTLMI SRTPEVTCVV VDVSHEDPEV KFNWYVDGVE VHNAKTKPRE 300  
 EQYNSTYRNV SVLTVLHQDW LNKKEYRCKV SNKALPAPIE KTIKAKGQP 350  
 REPQVYTLPP SRDELTKNQV SLTCLVKGFY PSDIAVEWES NGQPENNYKT 400  
 TFPVLDSDGS FFLYSKLTVD KSRWQQGNVF SCSVMHEALH NHYTQKSLSL 450  
 SPG 453

Light chain / Chaîne légère / Cadena ligera  
 DIQMTQSPSS LSASVGRVIT ITCAASQDIS NYLNWYQQPK GKAPKLLIYD 50  
 ASNLETGVPS RFGSGSGSDT FTFITISLQP EDIATYYCQQ SDHYPTFGGG 100  
 TKVEIKRTVA APSVFIFFPS DEQLKSGTAS VVCLLNNFYP REAKVQWKVD 150  
 NALQSGNSQE SVTEQDSKDS TYSLSLTTLT SKADYEKHKV YACEVTHQGL 200  
 SSPVTKSFNR GEC 213

Post-translational modifications  
 Disulfide bridges location / Position des ponts disulfure / Posiciones de los puentes disulfuro  
 Intra-H (C23-C104) 22-96 151-207 268-328 374-432  
 22"-96" 151"-207" 268"-328" 374"-432"  
 Intra-L (C23-C104) 23'-88' 133'-193'  
 23"'-88"' 133"'-193"  
 Inter-H-L (h 5-CL 126) 227'-213' 227"-213"  
 Inter-H-H (h 11, h 14) 233-233" 236-236"

N-glycosylation sites / Sites de N-glycosylation / Posiciones de N-glicosilación  
 H CH2 N84.4:  
 304, 304"  
 Fucosylated complex bi-antennary CHO-type glycans / glycanes de type CHO bi-antennaires complexes fucosylés / glicanos de tipo CHO biantennarios complejos fucosilados

**dapatifagenum navolactibacum #**  
 apatifagene navolactibac

A recombinant live attenuated *Lactococcus lactis*, subspecies *cremoris* (strain MG1363), expressing a fusion protein comprising lactococcal secretion leader SSusp45 and human trefoil factor protein 1 (hTFF1), driven by the promoter from the homologous *hIIA* gene (*PhIIA*); the transduced gene is located in the thymidylate synthase A (*thyA*) locus which has been deleted (930102-930469).  
*bacteria genetically modified*

dapatifagène navolactibac

*Lactococcus lactis*, sous-espèce *cremoris*, recombinante (souche MG1363), vivante atténuée exprimant une protéine de fusion consistant en le leader de sécrétion lactococcique SSusp45 et le facteur en tréfle-1 humain (hTFF1), sous le contrôle

	du promoteur du gène homologue <i>hIIA</i> ( <i>PhIIA</i> ); le gène transduit est localisé sur le locus de la thymidylate synthase A ( <i>thyA</i> ) qui a été supprimé (930102-930469). <i>bactérie génétiquement modifiée</i>
dapatifagén navolactibac	<i>Lactococcus lactis</i> , sous-espèce <i>cremoris</i> (cepa MG1363), recombinante, viva atenuada, que expresa una proteína de fusión consistente en el leader de secreción lactocócica SSusp45 y la proteína 1 del factor trébol humano (hTFF1), dirigida por el promotor del gen homólogo <i>hIIA</i> ( <i>PhIIA</i> ); el gen transducido se localiza en el locus de la timidilato sintasa A ( <i>thyA</i> ), que ha sido delecionado (930102-930469). <i>bacteria modificada genéticamente</i>
<b>datopotamabum #</b> datopotamab	immunoglobulin G1-kappa, anti-[ <i>Homo sapiens</i> TACSTD2 (tumor-associated calcium signal transducer 2, membrane component chromosome 1 surface marker 1, M1S1, gastrointestinal tumor-associated antigen GA7331, pancreatic carcinoma marker protein GA733-1, epithelial glycoprotein-1, EGP-1, trophoblast antigen-2, cell surface glycoprotein Trop-2, TROP2)], humanized monoclonal antibody; gamma1 heavy chain humanized (1-451) [VH ( <i>Homo sapiens</i> IGHV1-3*01 (79.6%) -(IGHD) -IGHJ4*01 (93.3%)) [8.8.14] (1-121) - <i>Homo sapiens</i> IGHG1*03 (100%) G1m3, nG1m1 (CH1 R120 (218) (122-219), hinge 1-15 (220-234), CH2 (235-344), CH3 E12 (360), M14 (362) (345-449), CHS (450-451)) (118-451)], (224-214')-disulfide with kappa light chain humanized (1'-214') [V-KAPPA ( <i>Homo sapiens</i> IGKV1-39*01 (84.2%) -IGKJ2*01 (100%)) [6.3.9] (1'-107') - <i>Homo sapiens</i> IGKC*01 (100%), Km3 A45.1 (153), V101 (191) (108'-214')]; dimer (230-230":233-233")-bisdisulfide, produced in Chinese hamster ovary (CHO) cells, glycoform alfa <i>immunomodulator, antineoplastic</i>
datopotamab	immunoglobuline G1-kappa, anti-[ <i>Homo sapiens</i> TACSTD2 (transducteur 2 de signaux calciques associé aux tumeurs, composant membranaire du chromosome 1 marqueur de surface 1, M1S1, antigène GA7331 associé aux tumeurs gastrointestinales, protéine GA733-1 marqueur de carcinomes pancréatiques, glycoprotéine épithéliale 1, EGP-1, antigène 2 du trophoblaste, glycoprotéine Trop-2 à la surface des cellules, TROP2)], anticorps monoclonal humanisé; chaîne lourde gamma1 humanisée (1-451) [VH ( <i>Homo sapiens</i> IGHV1-3*01 (79.6%) -(IGHD) -IGHJ4*01 (93.3%)) [8.8.14] (1-121) - <i>Homo sapiens</i> IGHG1*03 (100%) G1m3, nG1m1 (CH1 R120 (218) (122-219), charnière 1-15 (220-234), CH2 (235-344), CH3 E12 (360), M14 (362) (345-449), CHS (450-451)) (118-451)], (224-214')-disulfure avec la chaîne légère kappa humanisée (1'-214') [V-KAPPA ( <i>Homo sapiens</i> IGKV1-39*01 (84.2%) -IGKJ2*01 (100%)) [6.3.9] (1'-107') - <i>Homo sapiens</i> IGKC*01 (100%), Km3 A45.1 (153), V101 (191) (108'-214')]; dimère (230-230":233-233")-bisdisulfure, produit dans des cellules ovariennes de hamster chinois (CHO), glycoforme alfa <i>immunomodulateur, antinéoplasique</i>

datopotamab

inmunoglobulina G1-kappa, anti-[*Homo sapiens* TACSTD2 (transductor 2 de señales cálcicas asociado a los tumores, componente membranario del cromosoma 1 marcador de superficie 1, M1S1, antígeno GA7331 asociado a los tumores gastrointestinales, proteína GA733-1 marcador de carcinomas pancreáticos, glicoproteína epitelial 1, EGP-1, antígeno 2 del trofoblasto, glicoproteína Trop-2 en la superficie de las células, TROP2)], anticuerpo monoclonal humanizado; cadena pesada gamma1 humanizada (1-451) [VH (*Homo sapiens* IGHV1-3\*01 (79.6%) -(IGHD) -IGHJ4\*01 (93.3%)) [8.8.14] (1-121) - *Homo sapiens* IGHG1\*03 (100%) G1m3, nG1m1 (CH1 R120 (218) (122-219), bisagra 1-15 (220-234), CH2 (235-344), CH3 E12 (360), M14 (362) (345-449), CHS (450-451)) (118-451)], (224-214')-disulfuro con la cadena ligera kappa humanizada (1'-214') [V-KAPPA (*Homo sapiens* IGKV1-39\*01 (84.2%) -IGKJ2\*01 (100%)) [6.3.9] (1'-107') -*Homo sapiens* IGKC\*01 (100%), Km3 A45.1 (153), V101 (191) (108'-214')]; dímero (230-230":233-233")-bisdisulfuro, producido por células ováricas de hamster chino (CHO), forma glicosilada alfa *inmunomodulador, antineoplásico*

2267989-53-5

Heavy chain / Chaîne lourde / Cadena pesada  
 VQQLVQSGAE VKKFGASVKV SCKASGYFTT TAGMQWVRQA PGQGLEWMGW 50  
 INTHSGVPKY AEDFGKRVTI SADTSTSTAY LQLSSLKSED TAVYYCARSG 100  
 FGSSYWFYFDV WQGGTLVTVS SASTRGPVSF PLAPSSKSTS GGTAAALGCLV 150  
 KDYFPEPVTV SWNSGALTSV VHTFFPAVLQS SGLYSLSSVV TFPSSSLGTQ 200  
 TYICNVNHKP SNTKVDKRVE PKSCDKTHTC PFCPAPELLG GPSVFLFPPK 250  
 PKDTLMISRT PEVTCVVDV SHEDPEVKFN WYVDGVEVHN AKTKPFREEQY 300  
 NSTYRVVSVL TVLHQDWLNG KEYKCKVSNK ALPAPIEKTI SKARKQQPREP 350  
 QVYTLPPSRE EMTKNQVSLT CLVKGFPYPSD IAVEWESNGQ PENNYKTPP 400  
 VLDSGDSFFL YSKLTVDKSR WQQGNVFSCT VMHEALHNNHY TQKSLSLSPG 450  
 K 451

Light chain / Chaîne légère / Cadena ligera  
 DIQMTQSPSS LSASVGRVIT ITCKASQDVS TAVAWYQQKPK GKAPKLLIYS 50  
 ASYRYTGVPS RFSGSGSGTD FTLTISLQFP EDFAVYYCQQ HYITPLTFGQ 100  
 GTKLEIKRTV AAPSVFIFPP SDEQLKSGTA SVVCLLNIFY PREAKVQWQV 150  
 DNALQSGNSQ ESVTEQDSKD STYLSLSTLT LSKADYEKHK VYACEVTHQG 200  
 LSSPVTKSFN RGEK 214

Post-translational modifications  
 Disulfide bridges location / Position des ponts disulfure / Posiciones de los puentes disulfuro  
 Intra-H (C23-C104) 22"-96" 148"-204" 265"-325" 371"-429"  
 22"-96" 148"-204" 265"-325" 371"-429"  
 Intra-L (C23-C104) 23"-88" 134"-194"  
 23"-88" 134"-194"  
 Inter-H-L (h 5-CL 126) 224-214' 224"-214"  
 Inter-H-H (h 11, h 14) 230-230" 233-233"

N-glycosylation sites / Sites de N-glycosylation / Posiciones de N-glicosilación  
 H CH2 N84.4:  
 301, 301"  
 Fucosylated complex bi-antennary CHO-type glycans / glycanes de type CHO bi-antennaires  
 complexes fucosylés / glicanos de tipo CHO biantennarios complejos fucosilados

C-terminal lysine clipping:  
 H CHS K2:  
 451, 451"

**datopotamabum deruxtecanum #**

datopotamab deruxtecan

immunoglobulin G1-kappa, anti-[*Homo sapiens* TACSTD2 (tumor-associated calcium signal transducer 2, membrane component chromosome 1 surface marker 1, M1S1, gastrointestinal tumor-associated antigen GA7331, pancreatic carcinoma marker protein GA733-1, epithelial glycoprotein-1, EGP-1, trophoblast antigen-2, cell surface glycoprotein Trop-2, TROP2)], humanized monoclonal antibody conjugated to *deruxtecan*, comprising a linker and a camptothecin derivative;

	<p>gamma1 heavy chain humanized (1-451) [VH (<i>Homo sapiens</i> IGHV1-3*01(79.6%) -(IGHD) -IGHJ4*01 (93.3%)) CDR-IMGT [8.8.14] (26-33.51-58.97-110) (1-121) -<i>Homo sapiens</i> IGHG1*03 (100%) G1m3, nG1m1 (CH1 R120 (218) (122-219), hinge 1-15 (220-234), CH2 (235-344), CH3 E12 (360), M14 (362) (345-449), CHS (450-451)) (118-451)], (224-214')-disulfide with kappa light chain humanized (1'-214') [V-KAPPA (<i>Homo sapiens</i> IGKV1-39*01 (84.2%) -IGKJ2*01 (100%)) CDR-IMGT [6.3.9] (27-32.50-52.89-97) (1'-107') -<i>Homo sapiens</i> IGKC*01 (100%), Km3 A45.1 (153), V101 (191) (108'-214')];</p> <p>dimer (230-230":233-233")-bisdisulfide; produced in Chinese hamster ovary (CHO) cells, glycoform alfa, conjugated, on an average of 4 cysteinyl, to <i>deruxtecan</i>, comprising a linker and a camptothecin derivative</p> <p><i>immunomodulator, antineoplastic</i></p>
datopotamab déruxtécán	<p>immunoglobuline G1-kappa, anti-[<i>Homo sapiens</i> TACSTD2 (transducteur 2 de signaux calciques associé aux tumeurs, composant membranaire du chromosome 1 marqueur de surface 1, M1S1, antigène GA7331 associé aux tumeurs gastrointestinales, protéine GA733-1 marqueur de carcinomes pancréatiques, glycoprotéine épithéliale 1, EGP-1, antigène 2 du trophoblaste, glycoprotéine Trop-2 à la surface des cellules, TROP2)], anticorps monoclonal humanisé conjugué au <i>déruxtécán</i>, comprenant un linker et un dérivé de la camptothécine;</p> <p>chaîne lourde gamma1 humanisée (1-451) [VH (<i>Homo sapiens</i> IGHV1-3*01 (79.6%) -(IGHD) -IGHJ4*01 (93.3%)) CDR-IMGT [8.8.14] (26-33.51-58.97-110) (1-121) -<i>Homo sapiens</i> IGHG1*03 (100%) G1m3, nG1m1 (CH1 R120 (218) (122-219), charnière 1-15 (220-234), CH2 (235-344), CH3 E12 (360), M14 (362) (345-449), CHS (450-451)) (118-451)], (224-214')-disulfure avec la chaîne légère kappa humanisée (1'-214') [V-KAPPA (<i>Homo sapiens</i> IGKV1-39*01 (84.2%) -IGKJ2*01 (100%)) CDR-IMGT [6.3.9] (27-32.50-52.89-97) (1'-107') -<i>Homo sapiens</i> IGKC*01 (100%), Km3 A45.1 (153), V101 (191) (108'-214')];</p> <p>dimère (230-230":233-233")-bisdisulfure; produit dans des cellules ovariennes de hamster chinois (CHO), glycoforme alfa, conjugué sur une moyenne de 4 cystéines au <i>déruxtécán</i>, comprenant un linker et un dérivé de la camptothécine</p> <p><i>immunomodulateur, antinéoplasique</i></p>
datopotamab deruxtecán	<p>immunoglobulina G1-kappa, anti-[<i>Homo sapiens</i> TACSTD2 (transductor 2 de señales cálcicas asociado a los tumores, componente membrana del cromosoma 1 marcador de superficie 1, M1S1, antígeno GA7331 asociado a los tumores gastrointestinales, proteína GA733-1 marcador de carcinomas pancreáticos, glicoproteína epitelial 1, EGP-1, antígeno 2 del trofoblasto, glicoproteína Trop-2 en la superficie de las células, TROP2)], anticuerpo monoclonal humanizado conjugado con <i>deruxtecán</i>, que comprende un enlace y un derivado de la camptotecina;</p> <p>cadena pesada gamma1 humanizada (1-451) [VH (<i>Homo sapiens</i> IGHV1-3*01 (79.6%) -(IGHD) -IGHJ4*01 (93.3%)) CDR-IMGT [8.8.14] (26-33.51-58.97-110) (1-121) -<i>Homo sapiens</i> IGHG1*03 (100%) G1m3, nG1m1 (CH1 R120 (218) (122-219), bisagra 1-15 (220-234), CH2 (235-344), CH3 E12 (360), M14 (362) (345-449), CHS (450-451)) (118-451)], (224-214')-disulfuro con la cadena ligera kappa humanizada (1'-214') [V-KAPPA (<i>Homo sapiens</i> IGKV1-39*01 (84.2%) -IGKJ2*01 (100%)) CDR-IMGT [6.3.9] (27-32.50-52.89-97) (1'-107') -<i>Homo sapiens</i> IGKC*01 (100%), Km3 A45.1 (153), V101 (191) (108'-214')];</p>

dímero (230-230":233-233")-bisdisulfuro; producido por células ováricas de hamster chino (CHO), forma glicosilada alfa, conjugado con una media de 4 cisteínas al *deruxtecán*, que comprende un enlace y un derivado de la camptotecina. *inmunomodulador, antineoplásico*

2238831-60-0

## Heavy chain / Chaîne lourde / Cadena pesada

QVQLVQSGAE VVKPGASVKV SCKASGYTFT TAGMQWVRQA PGQGLEWMGW 50  
 INTHSGVPKY AEDFKGRVTI SADTSTSTAY LQLSSLKSED TAVVYCARSG 100  
 FGSSYWFYFDV WQGGLTVTVS SASTKGPSVF PLAPSSKSTS GGTAALGCLV 150  
 KYDFPEFVTV SWNSGALTSV VHTFFAVLQS SGLYSLSSVV TVPSSSLGTQ 200  
 TYICNVNHPK SNTKVDKRVK PKSCDKTHTC PPCPAPELLG GPSVFLFPFK 250  
 PKDTLMISRT PEVTCVVVDV SHEDPEVKFN WYVDGVEVHN AKTKPREEQY 300  
 NSTYRVVSVL TVLHQDWLNG KEYCKVSNK ALPAPIEKTI SKAKGQPREP 350  
 QVYTLPPSRE EMTKNQVSLT CLVKGFPYSD IAVWEWSNGQ PENNYKTFPP 400  
 VLDSGDSFFL YSKLTVDKSR WQQGNVFSKS VMHEALHNHY TQKSLSLSPG 450  
 K 451

## Light chain / Chaîne légère / Cadena ligera

DIQMTQSPFS LSAISVGRVT ITCASQDVV TAVANYQQKPK GKAPKLLIYS 50  
 ASRYTGVPS RFGSGSGTD FLTISSLQ EDAFVYCYQQ HYITPLTFQG 100  
 GTKLEIKRVT AAPSVPFIPP SDEQLKSGTA SVVCLLNIFY PREAKVQMKV 150  
 DNALQSGNSQ ESVTEQDSKD STYSLSSLT LSKADYKHK VYACEVTHQG 200  
 LSSPVTKSFN RGEK 214

## Post-translational modifications

Disulfide bridges location / Position des ponts disulfure / Posiciones de los puentes disulfuro

Intra-H (C23-C104) 22-96 148-204 265-325 371-429  
 22-96\* 148\*-204\* 265\*-325\* 371\*-429\*

Intra-L (C23-C104) 23"-88" 134"-194"  
 23"-88" 134"-194"

Inter-H-L (h 5-CL 126)\* 224-214\* 224"-214"

Inter-H-H (h 11, h 14)\* 230-230\* 233-233\*

\*The four inter-chain disulfide bridges are not present, an average of 4 cysteinyl being conjugated each via a thioether bond to a drug linker.

\*Les quatre ponts disulfures inter-chaînes ne sont pas présents, 4 cystéinyl en moyenne étant chacun conjugué via une liaison thioéther à un linker-principe actif.

\*Faltan los cuatro puentes disulfuro inter-catenarios, una media de 4 cisteinil está conjugada a conectores de principio activo.

## N-glycosylation sites / Sites de N-glycosylation / Posiciones de N-glicosilación

H CH2 N84.4:

301, 301\*

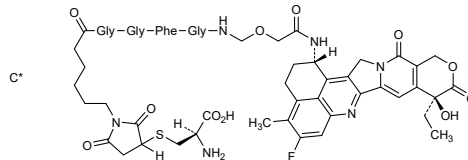
Fucosylated complex bi-antennary CHO-type glycans / glycanes de type CHO bi-antennaires complexes fucosylés / glicanos de tipo CHO biantenarios complejos fucosilados.

## C-terminal lysine clipping:

H CHS K2:

451, 451\*

## Potential modified residues / résidus modifiés potentiels / restos modificados potenciales



**demupitamabum #**  
 demupitamab

immunoglobulin G1-kappa, anti-[*Homo sapiens* EGFR (epidermal growth factor receptor, receptor tyrosine-protein kinase erbB-1, ERBB1, HER1, HER-1, ERBB)], *Homo sapiens* monoclonal antibody;

gamma1 heavy chain *Homo sapiens* (1-449) [VH (*Homo sapiens* IGHV4-61\*01 (89.9%) -(IGHD) -IGHJ3\*02 (100%)) CDR-IMGT [10.7.11] (26-35.53-59.98-108) (1-119) -*Homo sapiens* IGHG1\*01 (100%) G1m17,1 (CH1 K120 (216) (120-217), hinge 1-15 (218-232), CH2 (233-342), CH3 D12 (358), L14 (360) (343-447), CHS K (448-449)) (120-449)], (222-214')-disulfide with kappa light chain *Homo sapiens* (1'-214') [V-KAPPA (*Homo sapiens* IGKV1-33\*01 (94.7%) -IGKJ4\*01 (91.7%)) CDR-IMGT [6.3.9] (27-32.50-52.89-97) (1'-107') -*Homo sapiens* IGKC\*01 (100%), Km3 A45.1 (153), V101 (191) (108'-214')];

dimer (228-228":231-231")-bisdisulfide, produced in Chinese hamster ovary (CHO) cells, glycoform alfa  
*immunomodulator, antineoplastic*

## démupitamab

immunoglobuline G1-kappa, anti-[*Homo sapiens* EGFR (récepteur du facteur de croissance épidermique, récepteur tyrosine-protéine kinase erb-1, ERBB1, HER1, HER-1, ERBB)], anticorps monoclonal humanisé; chaîne lourde gamma1 *Homo sapiens* (1-449) [VH (*Homo sapiens* IGHV4-61\*01 (89.9%) -(IGHD) -IGHJ3\*02 (100%)) CDR-IMGT [10.7.11] (26-35.53-59.98-108) (1-119) -*Homo sapiens* IGHG1\*01 (100%) G1m17,1 (CH1 K120 (216) (120-217), charnière 1-15 (218-232), CH2 (233-342), CH3 D12 (358), L14 (360) (343-447), CHS K (448-449)) (120-449)], (222-214')-disulfure avec la chaîne légère kappa *Homo sapiens* (1'-214') [V-KAPPA (*Homo sapiens* IGKV1-33\*01 (94.7%) -IGKJ4\*01 (91.7%)) CDR-IMGT [6.3.9] (27-32.50-52.89-97) (1'-107') -*Homo sapiens* IGKC\*01 (100%), Km3 A45.1 (153), V101 (191) (108'-214')]; dimère (228-228":231-231")-bisdisulfure, produit dans des cellules ovariennes de hamster chinois (CHO), glycoforme alfa  
*immunomodulateur, antinéoplasique*

## demupitamab

inmunoglobulina G1-kappa, anti-[*Homo sapiens* EGFR (receptor del factor de crecimiento epidérmico, receptor tirosina-proteína kinasa erb-1, ERBB1, HER1, HER-1, ERBB)], anticuerpo monoclonal humanizado; cadena pesada gamma1 *Homo sapiens* (1-449) [VH (*Homo sapiens* IGHV4-61\*01 (89.9%) -(IGHD) -IGHJ3\*02 (100%)) CDR-IMGT [10.7.11] (26-35.53-59.98-108) (1-119) -*Homo sapiens* IGHG1\*01 (100%) G1m17,1 (CH1 K120 (216) (120-217), bisagra 1-15 (218-232), CH2 (233-342), CH3 D12 (358), L14 (360) (343-447), CHS K (448-449)) (120-449)], (222-214')-disulfuro con la cadena ligera kappa *Homo sapiens* (1'-214') [V-KAPPA (*Homo sapiens* IGKV1-33\*01 (94.7%) -IGKJ4\*01 (91.7%)) CDR-IMGT [6.3.9] (27-32.50-52.89-97) (1'-107') -*Homo sapiens* IGKC\*01 (100%), Km3 A45.1 (153), V101 (191) (108'-214')]; dímero (228-228":231-231")-bisdisulfuro, producido por células ováricas de hamster chino (CHO), forma glicosilada alfa  
*immunomodulador, antineoplásico*

2249926-74-5

## Heavy chain / Chaîne lourde / Cadena pesada

QVQLQESGPG LVKFSSETLSL TCTVSGGSVS SGDYYWTWIR QSPGKGLEWI 50  
GHIYYSGNTN YNPSLKSRLT ISIDTSKTF SLKLSVVTAA DTAIYYCVRD 100  
RVTGAFDIWG QGTMVTVSSA STRGPSVPEL APSKSTSGG TAALGCLVKD 150  
YFPEPVTSW NSGALTSGVH TFPVAVLQSSG LYSLSVVTV PSSSLGTQTY 200  
ICNVNHKPSN TKVDKKEVEK SCDKTHTCPE CPAPPELLGGP SVFLFPPKPK 250  
DTLMSRTPE VTCVVVDVSH EDPEVKFNWY VDGVEVHNAK TKPREQYNS 300  
TYRVVSLVLT LHQDNLNGKE YKCKVSNKAL PAPIEKTISK AKGQPREPQV 350  
YTLPPSRDEL TKNQVSLTCL VKGFYPSDIA VEWESNGQPE NNYKTTPEVL 400  
DSGDSFFLYS KLTVDKSRWQ QGNVFSCSVM HEALHNHYTQ KSLSLSPGK 449

## Light chain / Chaîne légère / Cadena ligera

DIQMTQSPST LSAISVGDRTV ITCQASQDIS NYLNWYQQKPK GKAPKLLIYD 50  
ASNLEIGVPS RFGSGSGSDT FTFITISLQPE EDIATYFCQH FDHLPFLAFGG 100  
GTKVEIKRTV AAPSVFIFPP SDEQLKSGTA SVVCLLNPFY PREAKVQWVK 150  
DNALQSGNSQ ESVTEQDSKD STYLSLSTLT LSKADYEKHK VYACEVTHQG 200  
LSSPVTKSFN RGEK 214

## Post-translational modifications

Disulfide bridges location / Position des ponts disulfure / Posiciones de los puentes disulfuro

Intra-H (C23-C104) 22'-97' 146'-202' 263'-323' 369'-427'  
22"-97" 146"-202" 263"-323" 369"-427"  
Intra-L (C23-C104) 23'-88' 134'-194'  
23"-88" 134"-194"

Inter-H-L (h 5-CL 126) 222'-214' 222"-214"  
Inter-H-H (h 11, h 14) 228-228" 231-231"

## N-glycosylation sites / Sites de N-glycosylation / Posiciones de N-glicosilación

H CH2 N84.4:

299, 299"

Fucosylated complex bi-antennary CHO-type glycans / glycanes de type CHO bi-antennaires complexes fucosylés / glicanos de tipo CHO biantennarios complejos fucosilados

**docaravimabum #**

docaravimab

immunoglobulin G2B-kappa, anti-[rabies virus strain ERA (Evelyn-Rockitniki-Abelseth)] glycoprotein ectodomain epitope G-III], *Mus musculus* monoclonal antibody;  
 gamma2b heavy chain *Mus musculus* (1-455) [VH (*Mus musculus* IGHV2-6-7\*01 (92.8%) -(IGHD) -IGHJ2\*01 (100%)) CDR-IMGT [8.7.13] (26-33.51-57.96-108) (1-119) -*Mus musculus* IGHG2B\*02 (CH1 (120-216), hinge 1-22 (217-238), CH2 (239-348), CH3 (349-453), CHS (454-455)) (120-455)], (134-214')-disulfide with kappa light chain *Mus musculus* (1'-214') [V-KAPPA (*Mus musculus* IGKV10-96\*01 (93.7%) -IGKJ1\*02 (100%)) CDR-IMGT [6.3.9] (27-32.50-52.99-107) (1'-106') -*Mus musculus* IGKC\*01 (100%) (108'-214')];  
 dimer (228-228":231-231":234-234":237-237")-tetrakisdisulfide, produced in mouse myeloma cell line SP2/0-Ag14, glycoform alfa  
*immunomodulator, antiviral*

docaravimab

immunoglobuline G2B-kappa, anti-[ectodomaine épitope G-III glycoprotéine du virus de la rage souche ERA (Evelyn-Rockitniki-Abelseth)], anticorps monoclonal *Mus musculus*;  
 chaîne lourde gamma2b *Mus musculus* (1-455) [VH (*Mus musculus* IGHV2-6-7\*01 (92.8%) -(IGHD) -IGHJ2\*01 (100%)) CDR-IMGT [8.7.13] (26-33.51-57.96-108) (1-119) -*Mus musculus* IGHG2B\*02 (CH1 (120-216), charnière 1-22 (217-238), CH2 (239-348), CH3 (349-453), CHS (454-455)) (120-455)], (134-214')-disulfure avec la chaîne légère kappa *Mus musculus* (1'-214') [V-KAPPA (*Mus musculus* IGKV10-96\*01 (93.7%) -IGKJ1\*02 (100%)) CDR-IMGT [6.3.9] (27-32.50-52.99-107) (1'-106') -*Mus musculus* IGKC\*01 (100%) (108'-214')];  
 dimère (228-228":231-231":234-234":237-237")-tétrakisdisulfure, produit dans la lignée cellulaire de myélome murin SP2/0-Ag14, glycoforme alfa  
*immunomodulateur, antiviral*

docaravimab

inmunoglobulina G2B-kappa, anti-[ectodominio epítoto G-III glicoproteína del virus de la rabia cepa ERA (Evelyn-Rockitniki-Abelseth)], anticuerpo monoclonal *Mus musculus*;  
 cadena pesada gamma2b *Mus musculus* (1-455) [VH (*Mus musculus* IGHV2-6-7\*01 (92.8%) -(IGHD) -IGHJ2\*01 (100%)) CDR-IMGT [8.7.13] (26-33.51-57.96-108) (1-119) -*Mus musculus* IGHG2B\*02 (CH1 (120-216), bisagra 1-22 (217-238), CH2 (239-348), CH3 (349-453), CHS (454-455)) (120-455)], (134-214')-disulfuro con la cadena ligera kappa *Mus musculus* (1'-214') [V-KAPPA (*Mus musculus* IGKV10-96\*01 (93.7%) -IGKJ1\*02 (100%)) CDR-IMGT [6.3.9] (27-32.50-52.99-107) (1'-106') -*Mus musculus* IGKC\*01 (100%) (108'-214')];  
 dímero (228-228":231-231":234-234":237-237")-tetrakisdisulfuro, producido en la línea celular de mieloma murino SP2/0-Ag14, glicofoma alfa  
*immunomodulador, antiviral*

2247196-23-0

Heavy chain / Chaîne lourde / Cadena pesada

QVQLKESGPG L L A P S Q S L S I T C T V S G F S L T G H G V N W V R Q P P G K G L E W L G I 50  
 I W A D G T T N Y N S A L K S R L S I S K D N S K S Q V F L K M N S L Q T D D T A S Y Y C A R E G D 100  
 I S G Y Y F D Y W G Q G T T L T V S S A K T P P S V Y P L A P G C G D T T G S S V T L G C L V K G 150  
 Y F P E S V T V T W N S G S L S S S V H T F P A L L Q S G L Y T M S S S V T V P S S T W P S Q T V T 200  
 C S V A H P A S S T T V D K K L E P S G P I S T I N P C P P C K E C H K C P A P N L E G G P S V F I 250  
 F F P N I K D V L M I S L T P K V T C V V D V S E D D P D V Q I S W F V N N V E V H T A G T Q T H 300  
 R E D Y N S T I R V V S T L P I Q H Q D W M S G K E F K C K V N N K D L P S P I E R T I S K I K G L 350  
 V R A P Q V Y I L P P P A E Q L S R K D V S L T C L V V G F N P G D I S V E W T S N G H T E E N Y K 400  
 D T A P V L D S D G S Y F I Y S K L N M K T S K W E R T D S F S C N V R H E G L K N Y L K K T I S 450  
 R S P G K 455

Light chain / Chaîne légère / Cadena ligera

D V Q M T Q T T S S L S A S L G D R V T I T C R P S Q D I N N Y L S W Y Q Q K P D G T V K L L I Y Y 50  
 T S R L H S G V P S R F S G S G S G T D Y S L T I S N L E Q E D F A T Y F C Q Q G N T L P P T F G G 100  
 G T K L E I K R A D A A P T V S I F P P S S E Q L T S G G A S V V C F L N N F Y P K D I N V K W K I 150  
 D G S E R Q N G V L N S W T D Q D S K D S T Y S M S S T L T L T K D E Y E R H N S Y T C E A T H K T 200  
 S T S P I V K S F N R N E C 214

Post-translational modifications

Disulfide bridges location / Position des ponts disulfure / Posiciones de los puentes disulfuro

Intra-H (C23-C104) 22°-95' 146°-201' 269°-329' 375°-433'  
 22°-95" 146°-201" 269°-329" 375°-433"

Intra-L (C23-C104) 23°-88' 134°-194'  
 23°-88" 134°-194"

Inter-H-L (CHI 11-CL 126) 134°-214' 134°-214"

Inter-H-H (h 12, h 15, h 18, h 21) 228°-228' 231°-231' 234°-234' 237°-237"

N-glycosylation sites / Sites de N-glycosylation / Posiciones de N-glicosilación

H CH2 N84.4:

305, 305<sup>a</sup>

Fucosylated complex bi-antennary Sp2/0-type glycans / glycanes de type Sp2/0 bi-antennaires complexes fucosylés / glicanos de tipo Sp2/0 biantennarios complejos fucosilados

**ebopirantum**

ebopirant

(3S)-3-[(2S)-3-([1,1'-biphenyl]-4-sulfonyl)-1,3-thiazolidine-2-carboxamido]-3-(4-fluorophenyl)propyl  
 L-valinate

*prostaglandin receptor antagonist*

ébobiprant

L-valinate de (3S)-3-[(2S)-3-([1,1'-biphényl]-4-sulfonyl)-1,3-thiazolidine-2-carboxamido]-3-(4-fluorophényl)propyle

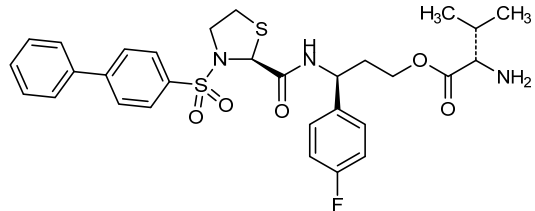
*antagoniste du récepteur des prostaglandines*

ebopirant

L-valinato de (3S)-3-[(2S)-3-([1,1'-bifenil]-4-sulfonyl)-1,3-tiazolidina-2-carboxamido]-3-(4-fluorofenil)propilo

*antagonista del receptor de las prostaglandinas*C<sub>30</sub>H<sub>34</sub>FN<sub>3</sub>O<sub>5</sub>S<sub>2</sub>

2005486-31-5

**efanesoctocogum alfa #**

efanesoctocog alfa

human coagulation factor VIII (FVIII, antihemophilic factor, AHF, procoagulant component) with replaced B-domain (746-1648)-sequence [FVIII domains A1-a1-A2-a2 (1-740) and N-terminal B-domain fragment (741-745), fused via a synthetic 291-peptide linker of 24 repeating 12-peptides (4 types) (746-1033) plus tripeptide ASS (1034-1036) to the FVIII C-terminal (1649-2332)-domains a3-A3-C1-C2 (1037-1720)],

	<p>fused to a human immunoglobulin G1 C-terminal K&gt;del Fc fragment (1721-1946), (1726-663':1729-666')-bisdisulfide with the TIL3-D3-TIL4 domain-containing fragment 742-1218 of the human von Willebrand factor (1'-477') [(C<sup>1077</sup>&gt;A<sup>336'</sup>, C<sup>1120</sup>&gt;A<sup>379'</sup>)-mutant] fused via a synthetic 148-peptide linker of 12 repeating 12-peptides (4 types) plus tetrapeptide GASS (478'-625') to a thrombin cleavable FVIII fragment 712-743 (626'-657') [thrombin-cleavable acidic region 2 plus B3 domain (1-3)-peptide] fused to a human immunoglobulin G1 C-terminal K&gt;del Fc fragment (658'-883'), produced in human embryonic kidney 293 (HEK293) cells, glycoform alfa <i>blood coagulation factor</i></p>
éfanésococog alfa	<p>facteur de coagulation VIII humain (FVIII, facteur antihémophilique, AHF, composant procoagulant) dont le domaine B a été remplacé (746-1648) [domaines A1-a1-A2-a2 du FVIII (1-740) et fragment N-terminal du domaine B (741-745), fusionné via un peptide synthétique de 291 acides aminés, fait de 24 peptides de 12 acides aminés chacun, se répétant (4 types) (746-1033), et d'un tripeptide ASS (1034-1036), à la partie C-terminale des domaines a3-A3-C1-C2 1649-2332 du FVIII (1037-1720)], fusionné au fragment Fc C-terminal K&gt;del de l'immunoglobuline G1 humaine (1721-1946), (1726-663':1729-666') lié par des ponts disulfure au fragment contenant le domaine TIL3-D3-TIL4 du facteur de von Willebrand humain 742-1218 (1'-477') [(C<sup>1077</sup>&gt;A<sup>336'</sup>, C<sup>1120</sup>&gt;A<sup>379'</sup>)-mutant] fusionné via un peptide synthétique de 148 acides aminés, fait de 12 peptides de 12 acides aminés chacun, se répétant (4 types), plus un tétrapeptide GASS (478'-625'), à un fragment du FVIII clivable par la thrombine 712-743 (626'-657') [région 2 acide clivable par la thrombine plus le (1-3)-peptide du domaine B3] fusionné au fragment Fc C-terminal K&gt;del de l'immunoglobuline G1 humaine (658'-883'), produit dans des cellules rénales embryonnaires humaines 293 (HEK293), glycoforme alfa <i>facteur de coagulation sanguine</i></p>
efanesococog alfa	<p>factor de coagulación VIII humano (FVIII, factor antihemofílico, AHF, componente procoagulante) en el dominio B reemplazado (746-1648) [dominios A1-a1-A2-a2 del FVIII (1-740) y fragmento N-terminal del dominio B (741-745), fusionado a través de un péptido sintético de 291 aminoácidos, hecho de 24 péptidos de 12 aminoácidos cada uno, que se repiten (4 tipos) (746-1033), y de un tripéptido ASS (1034-1036), con la parte C-terminal de los dominios a3-A3-C1-C2 1649-2332 del FVIII (1037-1720)], fusionado con el fragmento Fc C-terminal K&gt;del de la inmunoglobulina G1 humana (1721-1946), (1726-663':1729-666') unido por puentes disulfuro con el fragmento que contiene el dominio TIL3-D3-TIL4 del factor de von Willebrand humano 742-1218 (1'-477') [(C<sup>1077</sup>&gt;A<sup>336'</sup>, C<sup>1120</sup>&gt;A<sup>379'</sup>)-mutante] fusionado a través de un péptido sintético de 148 aminoácidos, hecho de 12 péptidos de 12 aminoácidos cada uno, que se repiten (4 tipos), además un tetrapéptido GASS (478'-625'), con un fragmento del FVIII escindible por la trombina 712-743 (626'-657') [región 2 ácido escindible por la trombina además el (1-3)-péptido del dominio B3] fusionado con el fragmento Fc C-terminal K&gt;del de la inmunoglobulina G1 humana (658'-883'), producido en las células renales embrionarias humanas 293 (HEK293), glicofoma alfa <i>factor de coagulación sanguínea</i></p>

2252477-42-0

## Sequence / Séquence / Secuencia

## (a) BddFVIII-Fc chain:

ATTRRYLGAV	ELSWDYMQSD	LGELPVDARF	PPRVPKSPFP	NTSVVYKTL	FVEFTDHLFN	IAKPRPPWMM	LLGFTIQAEV	80
YDTVVITLKN	MASHPVSLHA	VGVSYWKASE	GAEYDDQTSQ	REKEDDKVFP	GGSHTYVWVQ	LKENGPMASD	PLCLITYSYLS	160
HVDLVKDLNS	GLIGALLVCR	EGSLAKEKTQ	TLHKFILLFA	VFDEGKSWHS	ETKNSLMQDR	DAASARAWPK	MHTVNGYVNR	240
SLPLGLGCHR	KSVYWHVIGM	GTPPEVHSIF	LEGHTFLVRN	HRQASLEISF	ITFLTAQTL	MDLQGLFLFC	HISSHQHDGM	320
EAYYKVDSCF	EEOQLRMKN	EEAEDYDDL	TDSEMDVVRP	DDNSPSFIQ	IRSVAKKHPK	TWVHYIAAEE	EDWDYAPLVL	400
APFDRSYKSO	YLNNGPQRIG	RKYKRVRFMA	YTDFTFKTRE	AIQHESGILG	PLLYGVEGDT	LLIFPKNQAS	RPYNIYPHGI	480
TDVRLPYSRR	LPGKGVKHLK	FPILPGEIFK	YKWTVTVEDG	PTKSDPRCLT	RYSSSFVNME	RDLASGLIGP	LLICYKESVD	560
QRGNQIMSDK	RNVILFVSFD	ENRSWYLTEN	IQRFLPNPAG	VQLEDPEFQA	SNIMHSINGY	VPDSLQLSVC	LHEVAYWYIL	640
SIGAQTDFLS	VFFSGYTFKH	KMVEDTLTL	PPFSGETVFM	SMENPGLWL	GCNHSDFNRN	GMTALLKVVSS	CDKNTDGYYE	720
DSYEDISAYL	LSKNNAIEPR	SFSQNGTSES	ATPESGPGSE	PATSGSETPG	TSESATPESG	PGSEPATSGS	ETPGTSESAT	800
PESGPGTSTE	PSEGSAPGSP	AGSPTSTEEG	TSESATPESG	PGSEPATSGS	ETPGTSESAT	PESGPGSPAG	SPTSTEEGSP	880
AGSPTSTEEG	TSTEPSEGSA	PGTSESATPE	SGPGTSESAT	PESGPGTSES	ATPESGPGSE	PATSGSETPG	SEPATSGSET	960
PGSPAGSP	TEEGTSTPES	EGSAPGTSTE	PSEGSAPGSE	PATSGSETPG	TSESATPESG	PGTSTEPSEG	SAPASSEITR	1040
TTLQSDQEEI	DYDDTISVEM	KKEFDIYDE	ENQSPRSFQ	KKTRHYFIAA	VERLWDYGMS	SSPHVLRNRA	QSGSVQPFKK	1120
VVFQEFDTGS	FTQPLYRGE	NEHLGLLGPY	IRAEVEDNIM	VTFRNQASRP	YSFYSSLISY	EEDQRQGAEP	RKNFVKPNET	1200
KTYFWKQHH	MAPTKDEFDC	KAWAYFSDVD	LEKDVHSGLI	GPLLVCHTNT	LNPAGHRQVT	VQEFALFFTI	FDETKSWYFT	1280
EMMERNCRAP	CNIQMEDPTF	KENYRFAHAIN	GYIMDTLPLG	VMAQDQRIW	YLLSMGNSEN	IRSIHFSGHV	PTVVKKEEYK	1360
MALYNLYPGV	FETVEMLPSK	AGIWRVECLI	GEHLHAGMST	LFLVYSNKCQ	TPLGMASGHI	RDFQITASGQ	YQGWAPKLAR	1440
LHYSGSINAW	STKEPFSWIK	VDLLAPMIH	GIKTQGARQK	FSSLYISQFI	IMYSLDGKKW	QTYRGNSTGT	LMVFNGNVD	1520
SGIKHNI FNP	PIIARYIRLH	PTHYSIRSL	RMELMGCOLD	SCSMPLGMS	KAISDAQITA	SSYFTNFMAT	WSPSKARLHL	1600
QGRSNARWPK	VNNPKWEQLV	DFQKTMKVTG	VTTQGVKSL	TSMYVKEFLI	SSSQDGHQWT	LFQNGKVKV	FQGNQDSFTP	1680
VVNSLDPLL	TRYLRHPS	WVHGIARME	VLGCEAQDLY	DKTHTCPCPC	APPELLGGPSV	FLFPPKPGFT	LMISRTPEVT	1760
CVVVDVSHED	PEVKFNWVVD	GVEVHNAKTK	PREEQYNSTY	RVVSVLTVLH	QDWLNGKEYK	CKVSNKALPA	PIEKTISKAK	1840
GQPREPQVYT	LPPSRDELTK	NQVSLTCLVK	GFYPSDIAVE	WESNGQPENN	YKTTTPVLDS	DGSFFLYSKL	TVDKSRWQQG	1920
NVFSCSVME	ALHNHYTKQS	LSLSPG						1946

## (b) vWF fragment-FVIII a2-Fc chain:

SLSRCPMPVK	LVCPADNLRA	EGLECTKTCQ	NYDLECMSMG	CVSGCLCPPG	MVRHENRCAV	LERCCPFHQG	KEYAPGETVK	80
IGCNTVCVCR	RKWNCTDHVC	DATCSTIGMA	HYLTFDGLKY	LFPGEQYVL	VQDYCGSNFG	TRIRLVGNKG	CSHPVFKCKK	160
RVTILVEGGE	IELFDGVEVNV	KRPMKDETHF	EVVESGRYII	LLLGKALSIV	WRHLSISVIV	LKQTYQEKVC	GLCGNFDGIQ	240
NNDLTSNLIQ	VEEDVPDFGN	SKWVSSQCAD	TRKVPDLSPP	ATCHNNIMKQ	TMVDSSCRIL	TSDFVQCNK	LVDPEPYLDV	320
CITYDTCSECS	IGDCAAFCDT	IAAAHVCVQAQ	HGKVVWRTA	TLCQSCCEER	NLRENGYEA	WRVNSCAPAC	QVTCQHPEPL	400
ACPVCQVECG	HAHCPGKIL	DELLQTCVDP	EDCFVCEVAG	RRFASGKKVT	LNPSDEPHCQ	ICHCDVVNLT	CEACQEPGTS	480
ESATPESGPG	SEPATSGSET	PGTSESATPE	SGPSEPATSE	GSETPGTSES	ATPESGPGTS	TEPSEGSAPG	SPAGSPSTSE	560
EGTSESATPE	SGPSEPATSE	GSETPGTSES	ATPESGPGSP	AGSPTSTEEG	SPAGSPSTSE	EGASSDKNTG	DYVEDSYEDI	640
SAYLLSKNMA	IEPRSFSDKT	HTCPCPAPPE	LLGGPSVPLF	PKPKDITLMI	SRTPEVTCVV	VDVSHEDPEV	KFNWYVDGVE	720
VHNAKTKPRE	EQYNSTYRVV	SVLTVLHQDW	LNGKEYKCKV	SNKALPAPIE	KTISKAKGQP	RFPQVYTLPP	RDELTKNQV	800
SLTCLVKGFY	PSDIAVEWES	NGQPENNYKT	TPPVLDSDGS	FFLYSKLTV	KSRWQQGNVF	SCSVMEALH	NHYTKQSLSL	880
SPG								883

## Disulfide bridges location / Position des ponts disulfure / Posiciones de los puentes disulfuro

(a) 153-179, 248-329, 528-554, 630-711, 1220-1246, 1287-1291, 1409-1557, 1562-1714, 1761-1821, 1867-1925

(Cys-SH: 310, 692, 1388);

(b) 4'-45', 13'-41', 25'-36', 29'-64', 47'-58', 66'-88', 83'-100', 86'-95', 104'-233', 126'-268', 135'-230', 151'-158', 283'-326', 297'-321', 308'-348', 328'-334', 338'-363', 367'-410', 386'-406', 390'-402', 394'-433', 414'-427', 436'-464', 459'-474', 462'-471', 698'-758', 804'-862'

(a)-(b) intermolecular: 1726-663', 1729-666'

## N-glycosylation sites / Sites de N-glycosylation / Posiciones de N-glicosilación

N41, N239, N1198, N1506, N1797 and N94', N384', N734'

## O-glycosylation sites / Sites de O-glycosylation / Posiciones de O-glicosilación

potentially each Ser and Thr in the linker peptides

746-1036 and 478'-625'

## Tyr-sulfation sites / Sites de Tyr-sulfation / Posiciones de Tyr-sulfación

346, 718, 719, 723, 729, 1052, 1068 and 632', 633', 637', 643'

**eflepedocokinum alfa #**

## eflepedocokin alfa

human interleukin 22 (IL22, cytokine Zcyto18, IL10-related T-cell-derived inducible factor, IL-TIF) (1-146), fused via a GSG<sub>3</sub>S(G<sub>4</sub>S)<sub>2</sub> peptide linker GSG<sub>3</sub>S(G<sub>4</sub>S)<sub>2</sub> (147-162) to a human immunoglobulin G2 C-terminal Fc fragment (163-385), P<sup>269</sup>>S-mutant S<sup>316</sup>>A-variant, dimer (165-165':168-168')-bisdisulfide, produced in Chinese hamster ovary (CHO) cells, glycoform alfa  
*interleukin derivative*

eflépédockine alfa	interleukine 22 humaine (IL22, cytokine Zcyto18, facteur inductible dérivé des lymphocytes T lié à IL10, IL-TIF) (1-146), fusionnée via un peptide liant GSG <sub>3</sub> S(G <sub>4</sub> S) <sub>2</sub> (147-162) au fragment Fc C-terminal de l'immunoglobuline G2 humaine (163-385), P <sup>269</sup> >S-mutant S <sup>366</sup> >A-variant, dimère (165-165':168-168')-bisdisulfure, produit dans des cellules ovariennes de hamster chinois (CHO), glycoforme alfa <i>dérivé de l'interleukine</i>
eflepedocokina alfa	interleukina 22 humana (IL22, citoquina Zcyto18, factor inducible derivado de los linfocitos T relacionado con IL10, IL-TIF) (1-146), fusionado a través de un péptido que se une a GSG <sub>3</sub> S(G <sub>4</sub> S) <sub>2</sub> (147-162) con el fragmento Fc C-terminal de la inmunoglobulina G2 humana (163-385), P <sup>269</sup> >S-mutante S <sup>366</sup> >A-variante, dímero (165-165':168-168')-bisdisulfuro, producido en las células ováricas de hamster chino (CHO), glicoforma alfa <i>derivado de la interleukina</i>

2200269-84-5

Sequence / Séquence / Secuencia					
APISSHCRLD	KSNFQQPYIT	NRTFFMLAKEA	SLADNNTDVR	LIGEKLPHGV	50
SMSERCYLMK	QVLFNFTLEEV	LFPQSDRFQP	YMQEVVFFLA	RLSNRLSTCH	100
IEGDDLHIQR	NVQRLKDTVK	KLGESGEIKA	IGELDLLFMS	LRNACIGSGG	150
GSGGGGSGG	GSVECPPCPA	PPVAGPSVFL	FPFKPKDTLM	ISRTPEVTVC	200
VVDVSHEDPE	VQFNWYVDGV	EVHNAKTKPR	EEQFNSTFR	VSVLTVVHQD	250
WLNKEYKCK	VSNRGLPASI	EKTISKTKGQ	PREPQVYTLF	PSREEMTRNQ	300
VSLTCLVKGF	YPSDIAVEWE	SNGQENNYK	TTPMLDSDG	SFFLYSKLTV	350
DKSRWQQGNV	FSCSVMEAL	HNHYTQKSLG	LSPGK		385

Post-translational modifications / Modifications post-traduccionnelles / Modificaciones posttraduccionales

Disulfide bridges location / Position des ponts disulfure / Posiciones de los puentes disulfuro intramolecular:					
7-99'	56-145'	199-259'	305-363'		
7-99'	56'-145'	199'-259'	305'-363'		

intermolecular: 165-165' 168-168'

Glycosylation sites / Sites de glycosylation / Posiciones de glicosilación  
N21, N35, N64, N235 N21', N35', N64', N235'  
Fucosylated complex bi-antennary CHO-type glycans / Glycanes de type CHO bi-antennaires complexes fucosylés / Glicanos de tipo CHO biantennarios complejos fucosilados

C-terminal lysine clipping / Coupure de la lysine C-terminale / supresión de lisina C-terminal  
H CHS K2: 385, 385'

<b>efmarodocokinum alfa #</b> efmarodocokina alfa	human interleukin 22 (IL22, cytokine Zcyto18, IL10-related T-cell-derived inducible factor, IL-TIF) (1-146), fused to a human immunoglobulin G4 C-terminal Fc fragment (147-377), S <sup>158</sup> >P, N <sup>227</sup> >G-mutant; dimer (156-156':159-159')-bisdisulfide, produced in Chinese hamster ovary (CHO) cells, glycoform alfa <i>interleukin derivative</i>
efmarodocokine alfa	interleukine 22 humaine (IL22, cytokine Zcyto18, facteur inductible dérivé des lymphocytes lié à l'IL10, IL-TIF) (1-146), fusionnée au fragment Fc C-terminal de l'immunoglobuline G4 humaine (147-377), mutant S <sup>158</sup> >P, N <sup>227</sup> >G, dimère (156-156':159-159')-bisdisulfure, produit dans des cellules ovariennes de hamster chinois (CHO), glycoforme alfa <i>dérivé de l'interleukine</i>

efmarodocokina alfa

interleukina 22 humana (IL22, citoquina Zcyto18, IL10-relacionada factor inducible derivado de células T, IL-TIF) (1-146), fusionada con el fragmento Fc C-terminal de la inmunoglobulina G4 humana (147-377), mutante S<sup>158</sup>>P, N<sup>227</sup>>G, dímero (156-156':159-159')-bisdisulfuro, producido en las células ováricas de hamster chino (CHO), glicofoma alfa  
*derivado de la interleukina*

2247840-74-8

## Sequence / Séquence / Secuencia

APISSHCRLD	KSNFQQPYIT	NRTFMLAKEA	SLADNNTDVR	LIGEKLFHGV	50
SMSERCYLK	QVLNFTLEEV	LFPQSDRFQP	YMQEVVFFLA	RLSNRLSTCH	100
IEGDDLHIQR	NVQKLDKDTV	KLGESGEIKA	IGELDLLFMS	LRNACIRVES	150
KYGFPCPCFP	APEFLGGPSV	FLFPPKPKDT	LMISRTPEVT	CVVVVDSQED	200
PEVQFNWYVD	GVEVHNAKTK	PREEQFGSTY	RVVSVLTVLH	QDWLNGKEYK	250
CKVSNKGLPS	SIEKTIKSAK	GQPREPQVYT	LPPSQEEMTK	NQVSLTCLVK	300
GFYPSDIAVE	WESNGQPENN	YKTTTPVLDS	DGSFFLYSRL	TVDKSRWQEG	350
NVFSQSVMH	ALHNHYTQKS	LSLSLGLK			377

Post-translational modifications / Modifications post-traductionnelles / Modificaciones postraduccionales

Disulfide bridges location / Position des ponts disulfure / Posiciones de los puentes disulfuro  
intramolecular: 7-99 56-145 191-251 297-355  
7-99' 56'-145' 191'-251' 297'-355'  
intermolecular: 156-156' 159-159'

Glycosylation sites / Sites de glycosylation / Posiciones de glicosilación

N21, N35, N64, N143 N21', N35', N64', N143'

Fucosylated complex bi-antennary CHO-type glycans / Glycans de type CHO bi-antennaires complexes fucosylés / Glicanos de tipo CHO biantenarios complejos fucosilados

C-terminal lysine clipping / Coupeure de la lysine C-terminale / supresión de lisina C-terminal  
H CHS K2: 377, 377'

eliapixantum  
eliapixant

3-(5-methyl-1,3-thiazol-2-yl)-5-[(3*R*)-oxolan-3-yl]oxy-*N*-{(1*R*)-1-[2-(trifluoromethyl)pyrimidin-5-yl]ethyl}benzamide  
*purinoreceptor antagonist*

éliapixant

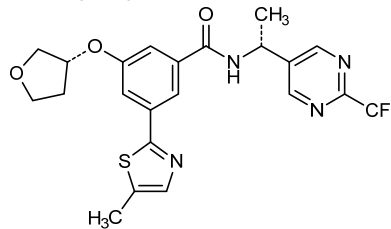
3-(5-méthyl-1,3-thiazol-2-yl)-5-[(3*R*)-oxolan-3-yl]oxy-*N*-{(1*R*)-1-[2-(trifluorométhyl)pyrimidin-5-yl]éthyl}benzamide  
*antagoniste des purinorécepteurs*

eliapixant

3-(5-metil-1,3-tiazol-2-il)-5-[(3*R*)-oxolan-3-il]oxi-*N*-{(1*R*)-1-[2-(trifluorometil)pirimidin-5-il]etil}benzamida  
*antagonista de los purinoreceptores*

C<sub>22</sub>H<sub>21</sub>F<sub>3</sub>N<sub>4</sub>O<sub>3</sub>S

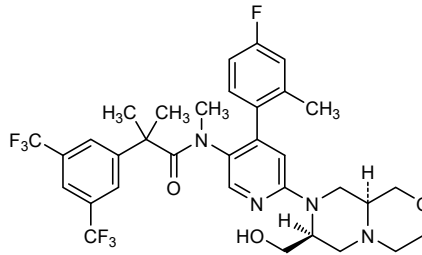
1948229-21-7

elinzanetantum  
elinzanetant

2-[3,5-bis(trifluoromethyl)phenyl]-*N*-[4-(4-fluoro-2-methylphenyl)-6-[(7*S*,9*aS*)-7-(hydroxymethyl)hexahydropyrazino[2,1-*c*][1,4]oxazin-8(1*H*)-yl]pyridin-3-yl]-*N*,2-dimethylpropanamide  
*neurokinin receptors antagonist*

élinzanétant  
 2-[3,5-bis(trifluorométhyl)phényl]-N-{4-(4-fluoro-2-méthylphényl)-6-[(7S,9aS)-7-(hydroxyméthyl)hexahidropirazino[2,1-c][1,4]oxazin-8(1H)-yl]pyridin-3-yl}-N,2-diméthylpropanamide  
*antagoniste des récepteurs de la neurokinine*

elinzanetant  
 2-[3,5-bis(trifluorometil)fenil]-N-{4-(4-fluoro-2-metilfenil)-6-[(7S,9aS)-7-(hidroximetil)hexahidropirazino[2,1-c][1,4]oxazin-8(1H)-il]piridin-3-il}-N,2-dimetilpropanamida  
*antagonista de los receptores de neurokinina*

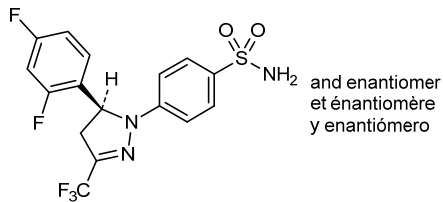
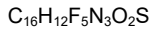


**enflicoxibum**  
 enflicoxib

*rac*-4-[(5*R*)-5-(2,4-difluorophényl)-3-(trifluorométhyl)-4,5-dihydro-1*H*-pyrazol-1-yl]benzène-1-sulfonamide  
*non-steroidal anti-inflammatory (veterinary use)*

enflicoxib  
*rac*-4-[(5*R*)-5-(2,4-difluorophényl)-3-(trifluorométhyl)-4,5-dihydro-1*H*-pyrazol-1-yl]benzène-1-sulfonamide  
*anti-inflammatoire non-stéroïdien (usage vétérinaire)*

enflicoxib  
*rac*-4-[(5*R*)-5-(2,4-difluorofenil)-3-(trifluorometil)-4,5-dihidro-1*H*-pirazol-1-il]benceno-1-sulfonamida  
*antiinflamatorio no esteroideo (uso veterinario)*



**esamisulpridum**  
 esamisulpride

4-amino-5-(ethanesulfonyl)-*N*-{[(2*S*)-1-éthylpyrrolidin-2-yl]méthyl}-2-méthoxybenzamide  
*dopamine D<sub>2</sub> and serotonin receptors antagonist*

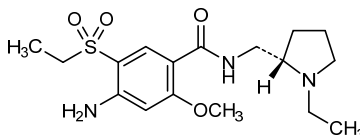
ésamisulpride  
 4-amino-5-(éthanesulfonyl)-*N*-{[(2*S*)-1-éthylpyrrolidin-2-yl]méthyl}-2-méthoxybenzamide  
*antagoniste des récepteurs dopaminergiques D<sub>2</sub> et sérotoninergiques*

esamisulprida

4-amino-5-(etanosulfonil)-*N*-[[(2*S*)-1-etilpirrolidin-2-il]metil]-2-metoxibenzamida  
*antagonista de los receptores D<sub>2</sub> de la dopamina y de los receptores de la serotonina*

C<sub>17</sub>H<sub>27</sub>N<sub>3</sub>O<sub>4</sub>S

71675-92-8

**exalurenum**

exaluren

4-*O*-(2-amino-2,7-dideoxy-*D*-glycero- $\alpha$ -*D*-glucoheptopyranosyl)-5-*O*-(5-amino-5,6-dideoxy- $\alpha$ -*L*-talofuranosyl)-2-deoxy-*D*-streptamine  
*translational read-through inducer*

exalurène

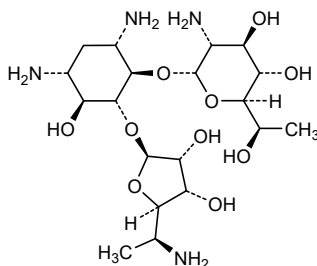
4-*O*-(2-amino-2,7-didésoxy-*D*-glycéro- $\alpha$ -*D*-glucoheptopyranosyl)-5-*O*-(5-amino-5,6-didésoxy- $\alpha$ -*L*-talofuranosyl)-2-désoxy-*D*-streptamine  
*inducteur de translecture traductionnelle*

exalureno

4-*O*-(2-amino-2,7-didesoxi-*D*-glicero- $\alpha$ -*D*-glucoheptopiranosil)-5-*O*-(5-amino-5,6-didesoxi- $\alpha$ -*L*-talofuranosil)-2-desoxi-*D*-estreptamina  
*inductor de lectura traslacional*

C<sub>19</sub>H<sub>38</sub>N<sub>4</sub>O<sub>10</sub>

1375073-93-0

**ezabenlimabum #**

ezabenlimab

immunoglobulin G4-kappa, anti-[*Homo sapiens* PDCD1 (programmed cell death 1, PD-1, PD1, CD279)], humanized monoclonal antibody; gamma4 heavy chain humanized (1-446) [VH (*Homo sapiens* IGHV3-23\*04 (86.7%) -(IGHD) -IGHJ4\*01 (100%))] [8.8.13] (1-120)-*Homo sapiens* IGHG4\*01, G4v5 h P10 (CH1 (121-218), hinge 1-12 S10>P (228) (219-230), CH2 (231-340), CH3 (341-445), CHS K2>del (446)) (121-446)], (134-218')-disulfide with kappa light chain humanized (1'-218') [V-KAPPA (*Homo sapiens* IGKV3D-11\*01 (79.8%) -IGKJ2\*02 (100%))] [10.3.9] (1'-111') -*Homo sapiens* IGKC\*01 (100%), Km3 A45.1 (157), V101 (195) (112'-218')]; dimer (226-226":229-229")-bisdisulfide, produced in Chinese hamster ovary (CHO) cells, glycoform alfa  
*immunomodulator, antineoplastic*

ézablenlimab

immunoglobuline G4-kappa, anti-[*Homo sapiens* PDCD1 (protéine 1 de mort cellulaire programmée, PD-1, PD1, CD279)], anticorps monoclonal humanisé; chaîne lourde gamma4 humanisée (1-446) [VH (*Homo sapiens* IGHV3-23\*04 (86.7%) -(IGHD) -IGHJ4\*01 (100%)) [8.8.13] (1-120) -*Homo sapiens* IGHG4\*01, G4v5 h P10 (CH1 (121-218), charnière 1-12 S10>P (228) (219-230), CH2 (231-340), CH3 (341-445), CHS K2>del (446)) (121-446)], (134-218')-disulfure avec la chaîne légère kappa humanisée (1'-218') [V-KAPPA (*Homo sapiens* IGKV3D-11\*01 (79.8%) -IGKJ2\*02 (100%)) [10.3.9] (1'-111') -*Homo sapiens* IGKC\*01 (100%), Km3 A45.1 (157), V101 (195) (112'-218')]; dimère (226-226":229-229")-bisdisulfure, produit dans des cellules ovariennes de hamster chinois (CHO), glycoforme alfa  
*immunomodulateur, antinéoplasique*

ezablenlimab

immunoglobulina G4-kappa, anti-[*Homo sapiens* PDCD1 (proteína 1 de muerte celular programada, PD-1, PD1, CD279)], anticuerpo monoclonal humanizado; cadena pesada gamma4 humanizada (1-446) [VH (*Homo sapiens* IGHV3-23\*04 (86.7%) -(IGHD) -IGHJ4\*01 (100%)) [8.8.13] (1-120) -*Homo sapiens* IGHG4\*01, G4v5 h P10 (CH1 (121-218), bisagra 1-12 S10>P (228) (219-230), CH2 (231-340), CH3 (341-445), CHS K2>del (446)) (121-446)], (134-218')-disulfuro con la cadena ligera kappa humanizada (1'-218') [V-KAPPA (*Homo sapiens* IGKV3D-11\*01 (79.8%) -IGKJ2\*02 (100%)) [10.3.9] (1'-111') -*Homo sapiens* IGKC\*01 (100%), Km3 A45.1 (157), V101 (195) (112'-218')]; dímero (226-226":229-229")-bisdisulfuro, producido por células ováricas de hamster chino (CHO), forma glicosilada alfa  
*immunomodulador, antineoplásico*

2249882-54-8

Heavy chain / Chaîne lourde / Cadena pesada

```

EVMILVESGGG LVQPGGSLRL SCTASGFTFS KSAMSWVROA PGKGLEWVAY 50
ISGGGGDTYY SSSVKGRETI SRDNAKNSLY LQMSLRAED TAVYYCARHS 100
NWNYYAMDYW CQCTLVTVSS ASTKGPSVFP LAPCSRSTSE STAALGLVK 150
DYFPEVTVS WNSGALTSQW HTFPAVLQSS GLYSLSSVVT VPSSSLGTKT 200
YTCNVDHKPS NTKVDKRVES KYGPRCPFCP APEFLGGPSV FLFPFKPKDT 250
LMISRTPEVT CVVVDVSDQED FEVQFNWYVD GVEVHNAKTK PREEQFNSTY 300
RVVSVLTVLH QDWLNGKEYK CKVSNKGLPS SIEKTISSAK GQPREPQVYT 350
LPFSQEEMTK NQVSLTCLVK GFYPSDIAVE WESNGQPENN YKTTTPVLDLS 400
DGSFFLYSRL TVDKSRWQEG NWFSCSVMEH ALHNHYTQKS LLSLSLG 446
    
```

Light chain / Chaîne légère / Cadena ligera

```

EIVLTQSPAT LSLSPGERAT MSCRAENID VSGISFMNMY QOKPGQAPKL 50
LIYVASNQGS GIPARFSGSG SGTDFTLTIS RLEPEDFAVY YCQQSKVEVPW 100
TFGQGTLEI KRTVAAPSVP IFFPSDEQLK SGTASVVCLL NNFYPREAKV 150
QWKVDNALQS GNSQESVTEQ DSKDSTYSLS STLTLISKADY ERHKVYACEV 200
THQGLSSPVT KSFNRGEC 218
    
```

Post-translational modifications

Disulfide bridges location / Position des ponts disulfure / Posiciones de los puentes disulfuro

Intra-H (C23-C104) 22-96 147-203 261-321 367-425  
 22"-96" 147"-203" 261"-321" 367"-425"  
 Intra-L (C23-C104) 23'-92" 138"-198"  
 23'''-92''' 138'''-198'''

Inter-H-L (CH1 10-CL 126) 134-218" 134"-218"  
 Inter-H-H (h 8, h 11) 226-226" 229-229"

N-glycosylation sites / Sites de N-glycosylation / Posiciones de N-glicosilación

HCH2 N84.4:  
 297, 297"

Fucosylated complex bi-antennary CHO-type glycans / glycanes de type CHO bi-antennaires complexes fucosylés / glicanos de tipo CHO biantennarios complejos fucosilados

**ezeprogindum**

ezeprogind

*N*-[3-(4-{3-[bis(2-methylpropyl)amino]propyl}piperazin-1-yl)propyl]-1*H*-benzimidazol-2-amine  
*neuroprotectant*

ézéprogind

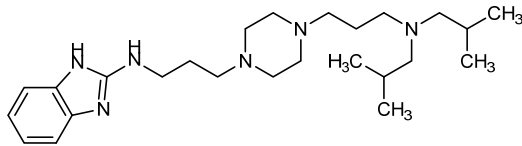
*N*-[3-(4-{3-[bis(2-méthylpropyl)amino]propyl}pipérazin-1-yl)propyl]-1*H*-benzimidazol-2-amine  
*neuroprotecteur*

ezeprogind

*N*-[3-(4-{3-[bis(2-metilpropil)amino]propil}piperazin-1-il)propil]-1*H*-benzimidazol-2-amino  
*neuroprotector*

C<sub>25</sub>H<sub>44</sub>N<sub>6</sub>

615539-20-3

**feladilimabum #**

feladilimab

immunoglobulin G4-kappa, anti-[*Homo sapiens* ICOS (inducible T-cell costimulator, activation-inducible lymphocyte immunomediatory molecule, AILIM, CD278)], humanized monoclonal antibody;  
gamma4 heavy chain humanized (1-448) [VH (*Homo sapiens*IGHV1-69\*04 (84.7%) -(IGHD) -IGHJ6\*01 (100%)) [8.8.14] (1-121) -*Homo sapiens*IGHG4\*01, G4v5 h P10, G4v3 CH2 E1.2 (CH1 (122-219), hinge 1-12 S10>P (229)(220-231), CH2 L1.2>E (236) (232-341), CH3 (342-446), CHS (447-448)) (122-448)], (135-213')-disulfide with kappa light chain humanized (1'-213') [V-KAPPA (*Homo sapiens*IGKV3-11\*01 (85.3%) -IGKJ2\*01 (100%)) [5.3.9] (1'-106') -*Homo sapiens*IGKC\*01 (100%), Km3 A45.1 (152), V101 (190) (107'-213')];  
dimer (227-227'':230-230'')-bisdisulfide, produced in Chinese hamster ovary (CHO) cells, glycoform alfa  
*immunomodulator, antineoplastic*

féladilimab

immunoglobuline G4-kappa, anti-[*Homo sapiens* ICOS (costimulateur inductible du lymphocyte T, molécule immunomédiateur lymphocytaire inductible par activation, AILIM, CD278)], anticorps monoclonal humanisé;  
chaîne lourde gamma4 humanisée (1-448) [VH (*Homo sapiens*IGHV1-69\*04 (84.7%) -(IGHD) -IGHJ6\*01 (100%)) [8.8.14] (1-121) -*Homo sapiens*IGHG4\*01, G4v5 h P10, G4v3 CH2 E1.2 (CH1 (122-219), charnière 1-12 S10>P (229) (220-231), CH2 L1.2>E (236) (232-341), CH3 (342-446), CHS (447-448)) (122-448)], (135-213')-disulfure avec la chaîne légère kappa humanisée (1'-213') [V-KAPPA (*Homo sapiens*IGKV3-11\*01 (85.3%) -IGKJ2\*01 (100%)) [5.3.9] (1'-106') -*Homo sapiens*IGKC\*01 (100%), Km3 A45.1 (152), V101 (190) (107'-213')];  
dimère (227-227'':230-230'')-bisdisulfure, produit dans des cellules ovariennes de hamster chinois (CHO), glycoforme alfa  
*immunomodulateur, antinéoplasique*

## feladilimab

inmunoglobulina G4-kappa, anti-[*Homo sapiens* ICOS (coestimulador inducible del linfocito T, molécula inmunomediadora linfocitaria inducible para activación, AILIM, CD278)], anticuerpo monoclonal humanizado; cadena pesada gamma4 humanizada (1-448) [VH (*Homo sapiens* IGHV1-69\*04 (84.7%) -(IGHD) - IGHJ6\*01 (100%)) [8.8.14] (1-121) -*Homo sapiens* IGHG4\*01, G4v5 h P10, G4v3 CH2 E1.2 (CH1 (122-219), bisagra 1-12 S10>P (229) (220-231), CH2 L1.2>E (236) (232-341), CH3 (342-446), CHS (447-448)) (122-448)], (135-213')-disulfuro con la cadena ligera kappa humanizada (1'-213') [V-KAPPA (*Homo sapiens* IGKV3-11\*01 (85.3%) -IGKJ2\*01 (100%)) [5.3.9] (1'-106') -*Homo sapiens* IGKC\*01 (100%), Km3 A45.1 (152), V101 (190) (107'-213')]; dímero (227-227":230-230")-bisdisulfuro, producido por células ováricas de hamster chino (CHO), forma glicosilada alfa *immunomodulador, antineoplásico*

2252518-85-5

## Heavy chain / Chaîne lourde / Cadena pesada

```

QVQLVQSGAE VKRFGSSVKV SCKASGYTTF DYAMHWVRQA PGQGLEWMMGL 50
ISLYSDHTNY NQRFQGRVTI TADKSTSTAY MELSSLRSED TAVYYCGRNN 100
YGNVWYFDV WQGGTTVTVS SASTKGPSVF FLAPCSRSTS ESTAALGCLV 150
KDYFPEPVTV SWNSGALTSV VHTFPAVLQS SGLYSLSSVV TVPSSSLGTK 200
TYTCNVDHKP SNTKVDKRVV SKYGPCCPCF PAPEFEGGPS VLFPPKPKD 250
TLMISRTPEV TCVVVDVDSQE DPEVQFNWYV DGVEVHNAKT KPREEQFNST 300
YRVVSVLTVL HQDWLNGKEY KCKVSNKGLP SSIEKTIKSA KGQPREPQVY 350
TLPFSQEEMT KNQVSLTCLV KGFYPSDIAV EWESNGQPEN NYKTTFPPLVD 400
SDGSFFLYSR LTVDKSRWQE GNVFSCSVMH EALHNHYTQK SLSLSLGLK 448

```

## Light chain / Chaîne légère / Cadena ligera

```

EIVLTQSPAT LSLSPGERAT LSCSASSSVS YMHVYQQKPG QAPRLLIYDT 50
SKLASGIPAR FSGSGSGTDY TLTISSELEP DFAVYYCFQG SGYPYTFGGQ 100
TKLEIKRIVA APSVFI FPPS DEQLKSGTAS VVCLLNNFYP REAKVQWKVD 150
NALQSGNSQE SVTEQDSKDS TYSLSSTLTL SKADYERKHKV YACEVTHQGL 200
SSPVTKSENR GEC 213

```

## Post-translational modifications

## Disulfide bridges location / Position des ponts disulfure / Posiciones de los puentes disulfuro

Intra-H (C23-C104)	22"-96"	148"-204"	262"-322"	368"-426"
	22"-96"	148"-204"	262"-322"	368"-426"
Intra-L (C23-C104)	23"-87"	133"-193"		
	23"-87"	133"-193"		
Inter-H-L (CH1 10-CL 126)	135-213'	135"-213"		
Inter-H-H (h 8, h 11)	227-227"	230-230"		

## N-glycosylation sites / Sites de N-glycosylation / Posiciones de N-glicosilación

H CH2 N84.4:

298, 298"

Fucosylated complex bi-antennary CHO-type glycans / glycanes de type CHO bi-antennaires complexes fucosylés / glicanos de tipo CHO biantenarios complejos fucosilados

## felzartamabum #

## felzartamab

inmunoglobulin G1-lambda, anti-[*Homo sapiens* CD38 (ADP-ribose) cyclase 1, cyclic ADP-ribose hydrolase 1, cADPr hydrolase 1, T10)], humanized monoclonal antibody; gamma1 heavy chain (1-450) [VH (*Homo sapiens* IGHV3-30\*01 (90.8%) -(IGHD) - IGHJ4\*01 (92.9%)) CDR-IMGT [8.8.13] (26-33.51-58.97-109) (1-120) -*Homo sapiens* IGHG1\*03 (100%) G1m3, nG1m1 (CH1 R120 (217) (121-218), hinge 1-15 (219-233), CH2 (234-343), CH3 E12 (359), M14 (361) (344-448), CHS (449-450)) (121-450)], (223-212')-disulfide with lambda light chain (1'-213') [V-LAMBDA (*Homo sapiens* IGLV3-1\*01 (84.1%) -IGLJ3\*02 (100%)) CDR-IMGT [6.3.10] (26-31.49-51.88-97) (1'-107') -*Homo sapiens* IGLC2\*01 (100%) (108'-213')]; dímero (229-229":232-232")-bisdisulfide, produced in human cell line PER.C6, glycoform alfa *immunomodulador, antineoplásico*

felzartamab

immunoglobuline G1-lambda, anti-[*Homo sapiens* CD38 (ADP-ribosyl cyclase 1, ADP-ribose cyclique hydrolase 1, cADPr hydrolase 1, T10)], anticorps monoclonal humanisé ; chaîne lourde gamma1 (1-450) [VH (*Homo sapiens* IGHV3-30\*01 (90.8%) -(IGHD) - IGHJ4\*01 (92.9%)) CDR-IMGT [8.8.13] (26-33.51-58.97-109) (1-120) -*Homo sapiens* IGHG1\*03 (100%) G1m3, nG1m1 (CH1 R120 (217) (121-218), charnière 1-15 (219-233), CH2 (234-343), CH3 E12 (359), M14 (361) (344-448), CHS (449-450)) (121-450)], (223-212')-disulfure avec la chaîne légère lambda (1'-213') [V-LAMBDA (*Homo sapiens* IGLV3-1\*01 (84.1%) -IGLJ3\*02 (100%)) CDR-IMGT [6.3.10] (26-31.49-51.88-97) (1'-107') - *Homo sapiens* IGLC2\*01 (100%) (108'-213')]; dimère (229-229":232-232")-bisdisulfure, produit dans des cellules humaines PER.C6, glycoforme alfa  
*immunomodulator, antineoplastic*

felzartamab

immunoglobulina G1-lambda, anti-[*Homo sapiens* CD38 (ADP-ribosil ciclasa 1, ADP-ribose cíclica hidrolasa 1, cADPr hidrolasa 1, T10)], anticuerpo monoclonal humanizado ; cadena pesada gamma1 (1-450) [VH (*Homo sapiens* IGHV3-30\*01 (90.8%) -(IGHD) - IGHJ4\*01 (92.9%)) CDR-IMGT [8.8.13] (26-33.51-58.97-109) (1-120) -*Homo sapiens* IGHG1\*03 (100%) G1m3, nG1m1 (CH1 R120 (217) (121-218), bisagra 1-15 (219-233), CH2 (234-343), CH3 E12 (359), M14 (361) (344-448), CHS (449-450)) (121-450)], (223-212')-disulfuro con la cadena ligera lambda (1'-213') [V-LAMBDA (*Homo sapiens* IGLV3-1\*01 (84.1%) -IGLJ3\*02 (100%)) CDR-IMGT [6.3.10] (26-31.49-51.88-97) (1'-107') - *Homo sapiens* IGLC2\*01 (100%) (108'-213')]; dímero (229-229":232-232")-bisdisulfuro, producido por células humanas PER.C6, glicofoma alfa  
*immunomodulador, antineoplásico*

2197112-39-1

Heavy chain / Chaîne lourde / Cadena pesada

QVQLVESGGG LVQPGGSLRL SCAASGFTFS SYMMNWRQA PGKLEWVSG 50  
ISGDPSTNTY ADSVKGRFTI SRDNSKNTLY LQMNLSRAED TAVYCARDL 100  
PLVYTGFAFY GQGLTLTVSS ASTKGPSVFP LAPSSKSTSG GTAALGLVK 150  
DYFPEPVTVS WNSGALTSVG HTFPAVLQSS GLYSLSSVVT VPSSSLGTQT 200  
YICNVNHKPS NTKVDRKVEP KSCDKHTHCP PCPAPELLGG PSVFLFPKP 250  
KDTLMISRTP EVTCVVVDVS HEDPEVKFNW YVDGVEVHNA KTKPREEQYN 300  
STYRVVSVLT VLGQDWLNGK EYKCKVSNKA LPAPIEKTIS KAKGQPREPQ 350  
VYTLPPSREE MTKNQVSLTC LVKGFYPSDI AVEWESNGQP ENNYKTTTPV 400  
LDSGDSFFLY SKLTVDKSRW QQGNVFSCSV MHEALHNYT QKSLSLSPGK 450

Light chain / Chaîne légère / Cadena ligera

DIELTQPPSV SVAPGQTARI SCSDNLRHY YVYVYQQKPG QAPVLIYGD 50  
SKRPSGIPER FSGNSNGNTA TLTISGTQAE DEADYYCQTY TGGASLVFGG 100  
GTKLTVLGGP KAAPSVTLPF PSSEELQANK ATLVLISDF YPGAVTVAWK 150  
ADSSPVKAGV ETTTPSKQSN NKYAASSYLS LTPAQWKSHR SYSQVTHEG 200  
STVEKTVAPT ECS 213

Post-translational modifications

Disulfide bridges location / Position des ponts disulfure / Posiciones de los puentes disulfuro

Intra-H (C23-C104) 22-96 147-203 264-324 370-428  
22"-96" 147"-203" 264"-324" 370"-428"  
Intra-L (C23-C104) 22'-87' 135'-194'  
22"-87" 135"-194"

Inter-H-L (h 5-CL 126) 223-212' 223"-212"

Inter-H-H (h 11, h 14) 229-229" 232-232"

N-glycosylation sites / Sites de N-glycosylation / Posiciones de N-glicosilación

H CH2 N84.4:

300, 300'

Fucosylated complex bi-antennary PER.C6-type glycans / glycanes de type PER.C6 bi-antennaires complexes fucosylés / glicanos de tipo PER.C6 biantenarios complejos fucosilados

**filapixantum**

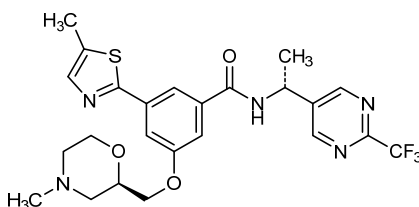
filapixant 3-[[*(2R)*-4-methylmorpholin-2-yl]methoxy]-5-(5-methyl-1,3-thiazol-2-yl)-*N*-{(1*R*)-1-[2-(trifluoromethyl)pyrimidin-5-yl]ethyl}benzamide  
*purinoreceptor antagonist*

filapixant 3-[[*(2R)*-4-méthylmorpholin-2-yl]méthoxy]-5-(5-méthyl-1,3-thiazol-2-yl)-*N*-{(1*R*)-1-[2-(trifluorométhyl)pyrimidin-5-yl]éthyl}benzamide  
*antagoniste des purinorécepteurs*

filapixant 3-[[*(2R)*-4-metilmorfolin-2-il]metoxi]-5-(5-metil-1,3-tiazol-2-il)-*N*-{(1*R*)-1-[2-(trifluorometil)pirimidin-5-il]etil}benzamida  
*antagonista de los purinoreceptores*

C<sub>24</sub>H<sub>26</sub>F<sub>3</sub>N<sub>5</sub>O<sub>3</sub>S

1948232-63-0

**fosciclopiroxum**

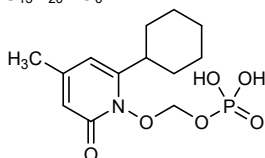
fosciclopirox [(6-cyclohexyl-4-methyl-2-oxypyridin-1(2*H*)-yl)oxy]methyl dihydrogen phosphate  
*antifungal, antineoplastic*

fosciclopirox dihydrogénophosphate de [(6-cyclohexyl-4-méthyl-2-oxopyridin-1(2*H*)-yl)oxy]méthyle  
*antifongique, antinéoplasique*

fosciclopirox dihidrogenofosfato de [(6-ciclohexil-4-metil-2-oxopiridin-1(2*H*)-il)oxi]metilo  
*antifúngico, antineoplásico*

C<sub>13</sub>H<sub>20</sub>NO<sub>6</sub>P

1380539-06-9

**fosfidancitinibum**

fosfidancitinib (5-[[2-(4-fluoro-3-methoxy-5-methylanilino)-5-methylpyrimidin-4-yl]amino]-2-oxo-1,3-benzoxazol-3(2*H*)-yl)methyl dihydrogen phosphate  
*Janus kinase inhibitor*

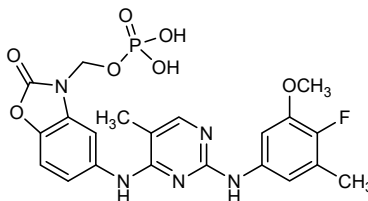
fosfidancitinib dihydrogénophosphate de (5-[[2-(4-fluoro-3-methoxy-5-methylanilino)-5-méthylpyrimidin-4-yl]amino]-2-oxo-1,3-benzoxazol-3(2*H*)-yl)méthyle  
*inhibiteur de la kinase de Janus*

fosfidancitinib

dihidrogenofosfato de (5-[[2-(4-fluoro-5-metilnilino-3-metoxi)-5-metilpirimidin-4-il]amino]-2-oxo-1,3-benzoxazol-3(2*H*)-il)metilo  
*inhibidor de la kinasa de Janus*

C<sub>21</sub>H<sub>21</sub>FN<sub>5</sub>O<sub>7</sub>P

1237168-58-9



**genisteinum**  
genistein

5,7-dihydroxy-3-(4-hydroxyphenyl)-4*H*-chromen-4-one  
*beta estrogen receptor agonist*

génistéine

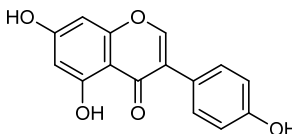
5,7-dihydroxy-3-(4-hydroxyphényl)-4*H*-chromén-4-one  
*agoniste des récepteurs bêta œstrogéniques*

genisteína

5,7-dihidroxi-3-(4-hidroxifenil)-4*H*-cromen-4-ona  
*agonista de los receptores beta de estrógeno*

C<sub>15</sub>H<sub>10</sub>O<sub>5</sub>

446-72-0



**giloralimabum #**  
giloralimab

immunoglobulin G1-kappa, anti-[*Homo sapiens* CD40 (tumor necrosis factor receptor superfamily member 5, TNFRSF5)], monoclonal antibody;  
gamma1 heavy chain (1-442) [VH (*Homo sapiens* IGHV4-59\*01 (88.8%) -(IGHD) -IGHJ4\*01 (85.7%)) CDR-IMGT [9.7.5] (26-34.52-58.97-101) (1-112) - *Homo sapiens* IGHG1\*03v, G1m3>G1m17, nG1m1 (CH1 R120>K (209) (113-210), hinge 1-15 (211-225), CH2 V37>E (268) (226-335), CH3 E12 (351), M14 (353) (336-440), CHS (441-442)) (113-442)], (215-219')-disulfide with kappa light chain (1'-219') [V-KAPPA (*Mus musculus* IGKV1-122\*01 (89.0%) - IGKJ4\*01 (91.7%))/*Homo sapiens* IGKV2-29\*02 (86.0%) -IGKJ2\*02 (100%)) CDR-IMGT [11.3.9] (27-37.55-57.94-102) (1'-112') -*Homo sapiens* IGKC\*01 (100%) Km3 A45.1 (158), V101 (196) (113'-219')]; dimer (221-221":224-224")-bisdisulfide, produced in Chinese hamster ovary (CHO) cells, glycoform alfa  
*immunomodulator, antineoplastic*

giloralimab

immunoglobuline G1-kappa, anti-[*Homo sapiens* CD40 (membre 5 de la superfamille des récepteurs du TNF, TNFRSF5)], anticorps monoclonal;

chaîne lourde gamma1 (1-442) [VH (*Homo sapiens* IGHV4-59\*01 (88.8%) -(IGHD) -IGHJ4\*01 (85.7%)) CDR-IMGT [9.7.5] (26-34.52-58.97-101) (1-112) -*Homo sapiens* IGHG1\*03v, G1m3>G1m17, nG1m1 (CH1 R120>K (209) (113-210), charnière 1-15 (211-225), CH2 V37>E (268) (226-335), CH3 E12 (351), M14 (353) (336-440), CHS (441-442)) (113-442)], (215-219')-disulfure avec la chaîne légère kappa (1'-219') [V-KAPPA (*Mus musculus* IGKV1-122\*01 (89.0% -IGKJ4\*01 (91.7%)/*Homo sapiens* IGKV2-29\*02 (86.0%) -IGKJ2\*02 (100%)) CDR-IMGT [11.3.9] (27-37.55-57.94-102) (1'-112') -*Homo sapiens* IGKC\*01 (100%) Km3 A45.1 (158), V101 (196) (113'-219')]; dimère (221-221":224-224")-bisdisulfure, produit dans des cellules ovariennes de hamster chinois (CHO), glycoforme alfa immunomodulateur, antinéoplasique

giloralimab

immunoglobulina G1-kappa, anti-[*Homo sapiens* CD40 (miembro 5 de la superfamilia de los receptores del TNF, TNFRSF5)], anticuerpo monoclonal; cadena pesada gamma1 (1-442) [VH (*Homo sapiens* IGHV4-59\*01 (88.8%) -(IGHD) -IGHJ4\*01 (85.7%)) CDR-IMGT [9.7.5] (26-34.52-58.97-101) (1-112) -*Homo sapiens* IGHG1\*03v, G1m3>G1m17, nG1m1 (CH1 R120>K (209) (113-210), bisagra 1-15 (211-225), CH2 V37>E (268) (226-335), CH3 E12 (351), M14 (353) (336-440), CHS (441-442)) (113-442)], (215-219')-disulfuro con la cadena ligera kappa (1'-219') [V-KAPPA (*Mus musculus* IGKV1-122\*01 (89.0% -IGKJ4\*01 (91.7%)/*Homo sapiens* IGKV2-29\*02 (86.0%) -IGKJ2\*02 (100%)) CDR-IMGT [11.3.9] (27-37.55-57.94-102) (1'-112') -*Homo sapiens* IGKC\*01 (100%) Km3 A45.1 (158), V101 (196) (113'-219')]; dímero (221-221":224-224")-bisdisulfuro, producido por células ováricas de hamster chino (CHO), forma glicosilada alfa immunomodulador, antineoplásico

2226292-20-0

Heavy chain / Chaîne lourde / Cadena pesada  
 EVQLQESGPG LVKPSSETLSL TCTVSGYSIT SNYYWNIRQ PPGKGLEWVG 50  
 YIRYDGSNNY NPSLKNRVTI SRDTSKNQFS LKLSSTVAAD TAVYYCARLD 100  
 YWGQGTITVY SSASTKGFVS FPLAPSSKST SGGTAALGCL VKDYFPEPVT 150  
 VSWNSGALTS GVHTFPAVLQ SGLYLSLSSV VTPVSSSLGT QTYICNVNHH 200  
 PSNTKVDKVKV EPKSCDRKTH CFPCEPELL GGPVFLFPP KFKDTLMISR 250  
 TFEVTCVVDV VSHEDPEEKF NNYVDGVEVH NAKTKPREEQ YNSTYRVVSV 300  
 LTVLHQDWLN GKEYKCKVSN KALPAPIEKT ISKAKGQPRE PQVYTLPEPSR 350  
 EEMTKNQVSL TCLVKGFYPS DIAVEWESNG QPENNYKTFP PVLSDSGSFF 400  
 LYSKLTVDKS RWQQGNVFSC SVMHEALHNN YTKSLSLSP GR 442

Light chain / Chaîne légère / Cadena ligera  
 DIVMTQTPLS LSVTEGQPAS ISCRSSQSLE NTNGNTFLNW YLQKPGQSPQ 50  
 LLIRYVSNRF SGVPDRFSGS GSGTDFTLKI SRVEAEDGVV YYCLQVTHVP 100  
 FTFGQGTKLE IKRTVAAPSV FIFPPSDEQL KSGTASVUCL LNNFYPREAK 150  
 VQWVKVDNALQ SGNSQESVTE QDSKSTYSL SSTLTLSKAD YEKHKVYACE 200  
 VTHQGLLSPV TKSFNREGC 219

Post-translational modifications  
 Disulfide bridges location / Position des ponts disulfure / Posiciones de los puentes disulfuro  
 Intra-H (C23-C104) 22-96 139-195 256-316 362-420  
 22"-96" 139"-195" 256"-316" 362"-420"  
 Intra-L (C23-C104) 23'-93' 139'-199"  
 23'''-93''' 139'''-199'''  
 Inter-H-L (h 5-CL 126) 215-219' 215"-219"  
 Inter-H-H (h 11, h 14) 221-221" 224-224"

N-glycosylation sites / Sites de N-glycosylation / Posiciones de N-glicosilación  
 H CH2 N84.4:  
 292, 292"

Fucosylated complex bi-antennary CHO-type glycans / glycanes de type CHO bi-antennaires complexes fucosylés / glicanos de tipo CHO biantenaricos complejos fucosilados

C-terminal lysine clipping:  
 H CHS K2:  
 442, 442"

**giredestrantum**

giredestrant

3-[(1*R*,3*R*)-1-(2,6-difluoro-4-[[1-(3-fluoropropyl)azetid-3-yl]amino]phényl)-3-méthyl-1,3,4,9-tétrahydro-2*H*-pyrido[3,4-*b*]indol-2-yl]-2,2-difluoropropan-1-ol  
*antiestroge*

girédestrant

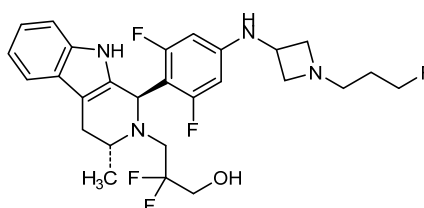
3-[(1*R*,3*R*)-1-(2,6-difluoro-4-[[1-(3-fluoropropyl)azétidin-3-yl]amino]phényl)-3-méthyl-1,3,4,9-tétrahydro-2*H*-pyrido[3,4-*b*]indol-2-yl]-2,2-difluoropropan-1-ol  
*antiestrogène*

giredestrant

3-[(1*R*,3*R*)-1-(2,6-difluoro-4-[[1-(3-fluoropropil)azetid-3-il]amino]fenil)-3-metil-1,3,4,9-tetrahydro-2*H*-pirido[3,4-*b*]indol-2-il]-2,2-difluoropropan-1-ol  
*antiestrógeno*

C<sub>27</sub>H<sub>31</sub>F<sub>5</sub>N<sub>4</sub>O

1953133-47-5

**icatolimabum #**

icatolimab

immunoglobulin G4-kappa, anti-[*Homo sapiens* BTLA (B and T lymphocyte associated, BTLA1, CD272)], chimeric monoclonal antibody;  
gamma4 heavy chain chimeric (1-446) [VH (*Mus musculus* IGHV14-3\*02 (82.3%) -IGHJ3\*01 (91.7%)/*Homo sapiens* IGHV1-3\*01 (77.1%) -(IGHD) -IGHJ4\*01 (92.9%)) CDR-IMGT [8.8.12] (26-33.51-58.97-108) (1-119) -*Homo sapiens* IGHG4\*01, G4v5 h P10 (CH1 (120-217), hinge 1-12 S10>P (227) (218-229), CH2 (230-339), CH3 (340-444), CHS (445-446)) (120-446)], (133-219')-disulfide with kappa light chain chimeric (1'-219') [V-KAPPA (*Mus musculus* IGKV1-135\*01 (92%) -IGKJ2\*03 (91.7%)/*Homo sapiens* IGKV2-30\*01 (87.0%) -IGKJ2\*01 (100%)) CDR-IMGT [11.3.9] (27-47.55-57.94-102) (1'-112') -*Homo sapiens* IGKC\*01 (100%) Km3 A45.1 (158), V101 (196) (113'-219')];  
dimer (225-225''-228-228'')-bisdisulfide, produced in Chinese hamster ovary (CHO) cells, glycoform alfa  
*immunomodulator*

icatolimab

immunoglobuline G4-kappa, anti-[*Homo sapiens* BTLA (atténuateur des lymphocytes B et T, BTLA1, CD272)], anticorps monoclonal chimérique;  
chaîne lourde gamma4 chimérique (1-446) [VH (*Mus musculus* IGHV14-3\*02 (82.3%) -IGHJ3\*01 (91.7%)/*Homo sapiens* IGHV1-3\*01 (77.1%) -(IGHD) -IGHJ4\*01 (92.9%)) CDR-IMGT [8.8.12] (26-33.51-58.97-108) (1-119) -*Homo sapiens* IGHG4\*01, G4v5 h P10 (CH1 (120-217), charnière 1-12 S10>P (227) (218-229), CH2 (230-339), CH3 (340-444), CHS (445-446)) (120-446)], (133-219')-disulfure avec la chaîne

icatolimab

légère kappa chimérique (1'-219') [V-KAPPA (*Mus musculus* IGKV1-135\*01 (92%) -IGKJ2\*03 (91.7%)/*Homo sapiens* IGKV2-30\*01 (87.0%) -IGKJ2\*01 (100%)) CDR-IMGT [11.3.9] (27-47.55-57.94-102) (1'-112') -*Homo sapiens* IGKC\*01 (100%) Km3 A45.1 (158), V101 (196) (113'-219')]; dimère (225-225":228-228")-bisdisulfure, produit dans des cellules ovariennes de hamster chinois (CHO), glycoforme alfa *immunomodulateur*

inmunoglobulina G4-kappa, anti-[*Homo sapiens* BTLA (atenuador de linfocitos B y T, BTLA1, CD272)], anticuerpo monoclonal quimérico; cadena pesada gamma4 quimérica (1-446) [VH (*Mus musculus* IGHV14-3\*02 (82.3%) -IGHJ3\*01 (91.7%)/*Homo sapiens* IGHV1-3\*01 (77.1%) -(IGHD) -IGHJ4\*01 (92.9%)) CDR-IMGT [8.8.12] (26-33.51-58.97-108) (1-119) -*Homo sapiens* IGHG4\*01, G4v5 h P10 (CH1 (120-217), bisagra 1-12 S10>P (227) (218-229), CH2 (230-339), CH3 (340-444), CHS (445-446)) (120-446)], (133-219')-disulfuro con la cadena ligera kappa quimérica (1'-219') [V-KAPPA (*Mus musculus* IGKV1-135\*01 (92%) -IGKJ2\*03 (91.7%)/*Homo sapiens* IGKV2-30\*01 (87.0%) -IGKJ2\*01 (100%)) CDR-IMGT [11.3.9] (27-47.55-57.94-102) (1'-112') -*Homo sapiens* IGKC\*01 (100%) Km3 A45.1 (158), V101 (196) (113'-219')]; dímero (225-225":228-228")-bisdisulfuro, producido por células ováricas de hamster chino (CHO), forma glicosilada alfa *immunomodulador*

2236068-83-8

Heavy chain / Chaîne lourde / Cadena pesada

```

QVQLVQSGAE VKKPGASVKL SCKASGYNFK HTYAHWVRQA PGQGLEWIGR 50
IDPANGNTKY DPKFQGRATM TADTASNTAY LELSSLRSED TAVYVCVADH 100
YGSLLDYGW QGTLVTVSSA STKGPSVFP L APCSRSSTSES TAALGCLVKD 150
YFPEPVTYSW NSGALTSGVH TFFAVLQSSG L YLSLSSVTV PSSLGTRKTY 200
TCNVDHKPSN TKVDKRVESK YGPPCPPCPA PEFLLGGPSVF LFPPKPKDTL 250
MISRTPEVTC VVVDVQSEDV EQFNWYVDG VEVHNAKTKP REEQFNSTYR 300
VVSVLTVLHQ DWLNGKEYKC KVSNGKLPSS IEKTIKSKAG QPREPQVYTL 350
PFSQEMETKN QVSLTCLVKG FYPSDIAVEW ESNQPEPNYI KTTFPVLDS 400
GSFFLYSRLT VDKSRWQEGN VFSCSVMHEA LHNHYTKQSL SLSLKG 446
    
```

Light chain / Chaîne légère / Cadena ligera

```

DYVMTQTPLS LSVTPGQPAS ISCKSSQSLD DSDGKTYINW FQGRFGQSPR 50
RLIYLVSCLD SGVDFDRFSGS GSGTDFTLKI SRVEAEDGVV YVYVQCTYFP 100
YTFGQGTKLE IKRTVAARSV FIFPPSDEQL KSGTASVIVCL LNNFYPREAK 150
VQWKVDNALQ SGNSSQESVTE QDSKDSYSTSL SSSLTTLKSKAD YEKHKVYACE 200
VTHQGLSSPV TKSFNRRGEC 219
    
```

Post-translational modifications

Disulfide bridges location / Position des ponts disulfure / Posiciones de los puentes disulfuro

Intra-H (C23-C104) 22-96 146-202 260-320 366-424  
 22"-96" 146"-202" 260"-320" 366"-424"

Intra-L (C23-C104) 23"-93" 139"-199"  
 23"-93" 139"-199"

Inter-H-L (CHI 10-CL 126) 133-219" 133"-219"

Inter-H-H (h 8, h 11) 225-225" 228-228"

N-glycosylation sites / Sites de N-glycosylation / Posiciones de N-glicosilación

H CH2 N84.4:

296, 296"

Fucosylated complex bi-antennary CHO-type glycans / glycanes de type CHO bi-antennaires complexes fucosylés / glicanos de tipo CHO biantennarios complejos fucosilados

icenticaftorum  
 icenticaftor

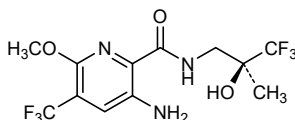
3-amino-6-methoxy-N-[(2S)-3,3,3-trifluoro-2-hydroxy-2-methylpropyl]-5-(trifluoromethyl)pyridine-2-carboxamide  
*cystic fibrosis transmembrane regulator (CFTR) protein modulator*

icenticaftor  
3-amino-6-méthoxy-*N*-[(2*S*)-3,3,3-trifluoro-2-hydroxy-2-méthylpropyl]-5-(trifluorométhyl)pyridine-2-carboxamide  
*modulateur de la protéine régulatrice de la perméabilité transmembranaire impliquée dans la mucoviscidose (CFTR)*

icenticaftor  
3-amino-6-metoxi-*N*-[(2*S*)-3,3,3-trifluoro-2-hidroxi-2-metilpropil]-5-(trifluorometil)piridina-2-carboxamida  
*modulador de la proteína reguladora de la conductancia transmembrana de la fibrosis quística (CFTR)*

C<sub>12</sub>H<sub>13</sub>F<sub>6</sub>N<sub>3</sub>O<sub>3</sub>

1334546-77-8



**icerguastatum**  
icerguastat

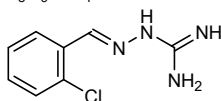
(2*E*)-2-[(2-chlorophényl)méthylidène]hydrazine-1-carboximidamide  
*protein phosphatase 1 inhibitor*

icerguastat  
(2*E*)-2-[(2-chlorophényl)méthylidène]hydrazine-1-carboximidamide  
*inhibiteur de la protéine phosphatase 1*

icerguastat  
(2*E*)-2-[(2-clorofenil)metilideno]hidrazina-1-carboximidamida  
*inhibidor de la proteína fosfatasa 1*

C<sub>8</sub>H<sub>9</sub>ClN<sub>4</sub>

951441-04-6



**idetrexedum**  
idetrexed

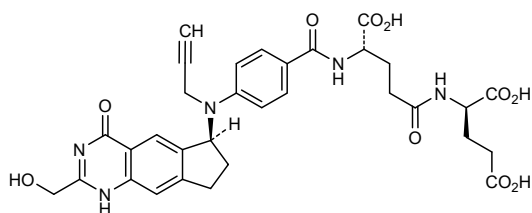
*N*-(4-[[[(6*S*)-2-(hydroxyméthyl)-4-oxo-4,6,7,8-tétrahydro-1*H*-cyclopenta[*g*]quinazolin-6-yl](prop-2-yn-1-yl)amino]benzoyl)-*L*- $\gamma$ -glutamyl-*D*-glutamic acid  
*antineoplastique*

idétrexed  
acide *N*-(4-[[[(6*S*)-2-(hydroxyméthyl)-4-oxo-4,6,7,8-tétrahydro-1*H*-cyclopenta[*g*]quinazolin-6-yl](prop-2-yn-1-yl)amino]benzoyl)-*L*- $\gamma$ -glutamyl-*D*-glutamique  
*antineoplasique*

idetrexed  
ácido *N*-(4-[[[(6*S*)-2-(hidroximetil)-4-oxo-4,6,7,8-tétrahidro-1*H*-ciclopenta[*g*]quinazolin-6-il](prop-2-in-1-il)amino]benzoil)-*L*- $\gamma$ -glutamil-*D*-glutámico  
*antineoplásico*

C<sub>32</sub>H<sub>33</sub>N<sub>5</sub>O<sub>10</sub>

501332-69-0

**ifidancitinibum**

ifidancitinib

5-{{[2-(4-fluoro-3-methoxy-5-methylanilino)-5-methylpyrimidin-4-yl]amino}-1,3-benzoxazol-2(3*H*)-one  
*Janus kinase inhibitor*

ifidancitinib

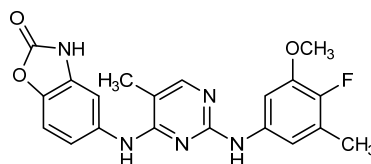
5-{{[2-(4-fluoro-3-méthoxy-5-méthylanilino)-5-méthylpyrimidin-4-yl]amino}-1,3-benzoxazol-2(3*H*)-one  
*inhibiteur de la kinase de Janus*

ifidancitinib

5-{{[2-(4-fluoro-5-metilanilino-3-metoxi)-5-metilpirimidin-4-il]amino}-1,3-benzoxazol-2(3*H*)-ona  
*inhibidor de la kinasa de Janus*

C<sub>20</sub>H<sub>18</sub>FN<sub>5</sub>O<sub>3</sub>

1236667-40-5

**imaradenantum**

imaradenant

6-(2-chloro-6-methylpyridin-4-yl)-5-(4-fluorophenyl)-1,2,4-triazin-3-amine  
*adenosine receptor antagonist*

imaradénant

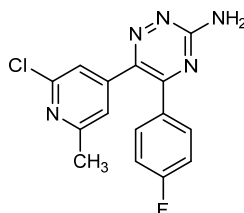
6-(2-chloro-6-méthylpyridin-4-yl)-5-(4-fluorophényl)-1,2,4-triazin-3-amine  
*antagoniste des récepteurs de l'adénosine*

imaradenant

6-(2-cloro-6-metilpiridin-4-il)-5-(4-fluorofenil)-1,2,4-triazin-3-amina  
*antagonista de los receptores de la adenosina*

C<sub>15</sub>H<sub>11</sub>ClFN<sub>5</sub>

1321514-06-0



**inavolisibum**

inavolisib

(2S)-2-({2-[(4S)-4-(difluoromethyl)-2-oxo-1,3-oxazolidin-3-yl]-5,6-dihydroimidazo[1,2-d][1,4]benzoxazepin-9-yl}amino)propanamide  
*phosphatidylinositol 3-kinase (PI3K) inhibitor, antineoplastic*

inavolisib

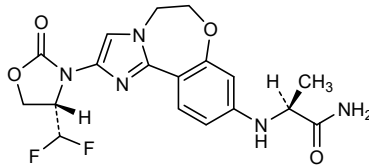
(2S)-2-({2-[(4S)-4-(difluorométhyl)-2-oxo-1,3-oxazolidin-3-yl]-5,6-dihydroimidazo[1,2-d][1,4]benzoxazépin-9-yl}amino)propanamide  
*inhibiteur de phosphatidylinositol 3-kinase (PI3K), antinéoplasique*

inavolisib

(2S)-2-({2-[(4S)-4-(difluorometil)-2-oxo-1,3-oxazolidin-3-il]-5,6-dihidroimidazo[1,2-d][1,4]benzoxazepin-9-il}amino)propanamida  
*inhibidor de fosfatidilinositol 3-kinasa (PI3K), antineoplásico*

C<sub>18</sub>H<sub>19</sub>F<sub>2</sub>N<sub>5</sub>O<sub>4</sub>

2060571-02-8

**insulinum efsitorum alfa #**

insulin efsitora alfa

human insulin B-chain (1-30) variant (Y<sup>16</sup>>E, F<sup>25</sup>>H, T<sup>27</sup>>G, P<sup>28</sup>>G, K<sup>29</sup>>G, T<sup>30</sup>>G) fused via a G<sub>2</sub>SG<sub>4</sub> peptide linker (31-37) to human insulin A-chain (38-58) variant (I<sup>10</sup>>T<sup>47</sup>, Y<sup>14</sup>>D<sup>51</sup>, N<sup>21</sup>>G<sup>58</sup>) and via a (G<sub>4</sub>Q)<sub>3</sub>G<sub>5</sub> peptide linker (59-78) to a human immunoglobulin G2 C-terminal K>del Fc fragment (79-299), dimer (80-80':83-83')-bisdisulfide, produced in Chinese hamster ovary (CHO) cells, glycoform alfa  
*antidiabetic*

insuline efsitora alfa

chaîne B de l'insuline humaine (1-30) variante (Y<sup>16</sup>>E, F<sup>25</sup>>H, T<sup>27</sup>>G, P<sup>28</sup>>G, K<sup>29</sup>>G, T<sup>30</sup>>G) fusionné via un peptide liant G<sub>2</sub>SG<sub>4</sub> (31-37) à la chaîne A de l'insuline humaine (38-58) variante (I<sup>10</sup>>T<sup>47</sup>, Y<sup>14</sup>>D<sup>51</sup>, N<sup>21</sup>>G<sup>58</sup>) et via un peptide liant (G<sub>4</sub>Q)<sub>3</sub>G<sub>5</sub> (59-78) au fragment Fc C-terminal K>del de l'immunoglobuline G2 humaine (IgG2) (79-299), dimère (80-80':83-83')-bisdisulfure, produit par des cellules ovariennes de hamster chinois (CHO), glycoforme alfa  
*hypoglycémiant*

insulina efsitora alfa

cadena B de la insulina humana (1-30) variante (Y<sup>16</sup>>E, F<sup>25</sup>>H, T<sup>27</sup>>G, P<sup>28</sup>>G, K<sup>29</sup>>G, T<sup>30</sup>>G) fusionada a través de un péptido que se une G<sub>2</sub>SG<sub>4</sub> (31-37) a la cadena A de la insulina humana (38-58) variante (I<sup>10</sup>>T<sup>47</sup>, Y<sup>14</sup>>D<sup>51</sup>, N<sup>21</sup>>G<sup>58</sup>) y a través de un péptido que se une (G<sub>4</sub>Q)<sub>3</sub>G<sub>5</sub> (59-78) al fragmento Fc C-terminal K>del de la inmunoglobulina G2 humana (IgG2) (79-299), dímero (80-80':83-83')-bisdisulfuro, producido por las células ováricas de hamster chino (CHO), glicofoma alfa  
*hipoglucemiante*

2131038-11-2

Sequence / Séquence / Secuencia  
 FVNQHLCGSH LVEALELVCG ERGFHYGGGG GSGGGGGIV EQCCTSTCSL 50  
 DQLENYCGGG GQGQGGGGGG GQGQGGGGGEC PFCPPAPVAG PSVFLFPPKP 100  
 KDTLMISRTP EVTCVVVDVSH HEDPEVQFNW YVDGVEVHNA KTKPREEQFN 150  
 STFRVSVLT VVHQDWLNGK EYKCKVSNKG LPAPIEKTIS KTKGQPREPQ 200  
 VYTLPPSREE MTKNQVSLTC LVKGFYPSDI AVEWESNGQF ENNYKTTPEM 250  
 LDSDGSFFLY SKLTVDKSRW QQGNVFSCSV MHEALHNYHT QKSLSLSPG 299

Post-translational modifications / Modifications post-traductionnelles / Modificaciones postraduccionales

Disulfide bridges location / Position des ponts disulfure / Posiciones de los puentes disulfuro  
 B-A 7-44 19-57 B'-A' 7'-44' 19'-57'  
 A-A 43-48 A'-A' 43'-48'  
 Intra-Fe 114-174 220-278 114'-174' 220'-278'  
 Inter-Fe 80-80' 83-83'

Glycosylation sites / Sites de glycosylation / Posiciones de glicosilación  
 N150, N150'  
 Fucosylated complex bi-antennary CHO-type glycans / Glycanes de type CHO bi-antennaires complexes fucosylés / Glicanos de tipo CHO biantennarios complejos fucosilados

**iptacopanum**  
 iptacopan

4-((2S,4S)-4-ethoxy-1-[(5-methoxy-7-methyl-1H-indol-4-yl)methyl]piperidin-2-yl)benzoic acid  
*complement factor B inhibitor*

iptacopan

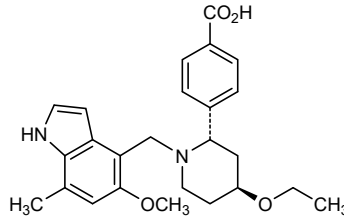
acide 4-((2S,4S)-4-éthoxy-1-[(5-méthoxy-7-méthyl-1H-indol-4-yl)méthyl]pipéridin-2-yl)benzoïque  
*inhibiteur du facteur B du complément*

iptacopán

ácido 4-((2S,4S)-4-etoxi-1-[(7-metil-5-metoxi-1H-indol-4-il)metil]piperidin-2-il)benzoico  
*inhibidor de factor B del complemento*

C<sub>25</sub>H<sub>30</sub>N<sub>2</sub>O<sub>4</sub>

1644670-37-0



**isecarosmabum #**  
 isecarosmab

immunoglobulin single chain VH-VH', anti-[*Homo sapiens* ADAMTSL5 (ADAMTS like 5, THSD6, thrombospondin type I domain 6)] and anti-[*Homo sapiens* ALB (albumin, human serum albumin, HSA)], *Lama glama* and humanized monoclonal antibody, bispecific bivalent; sc VH-VH'(1-275) [*Lama glama* VH anti-ADAMTSL5 (*Lama glama* IGHV3S1\*01 (81.4%) -(IGHD) -IGHJ2\*01 (100%)/*Homo sapiens* IGHV3-23\*04 (80.2%) -(IGHD) -IGHJ1\*01 (100%) [8.8.17] (1-124)] -35-mer (GGGG)7 linker (125-159)-humanized VH anti-ALB (*Homo sapiens* IGHV3-23\*04 (87.5%) -(IGHD) -IGHJ1\*01 (100%) [8.8.8] (160-275), produced in *Pichia pastoris* yeast, non-glycosylated  
*immunomodulator, antiosteoarthritis*

isécarosmab

immunoglobuline single chaîne VH-VH', anti-[*Homo sapiens* ADAMTSL5 (ADAMTS like 5, thrombospondine type I domaine 6)] et anti-[*Homo sapiens* ALB (albumine, sérum albumine humaine, SAH)], anticorps monoclonal *Lama glama* et humanisé, bispécifique bivalent;

isecarosmab

sc VH-VH' (1-275) [*Lama glama* VH anti-ADAMTSL5 (*Lama glama* IGHV3S1\*01 (81.4%) -(IGHD) -IGHJ2\*01 (100%)/*Homo sapiens* IGHV3-23\*04 (80.2%) -(IGHD) -IGHJ1\*01 (100%) [8.8.17] (1-124)) -35-mer (GGGGS)7 linker (125-159)-VH humanisé anti-ALB (*Homo sapiens* IGHV3-23\*04 (87.5%) -(IGHD) -IGHJ1\*01 (100%) [8.8.8] (160-275), produit dans la levure *Pichia pastoris*, non-glycosylé  
*immunomodulateur, antiostéoartrite*

inmunoglobulina cadena simple VH-VH', anti-[*Homo sapiens* ADAMTSL5 (ADAMTS like 5, trombospondina tipo I dominio 6)] y anti-[*Homo sapiens* ALB (albúmina, sero albúmina humana, SAH)], anticuerpo monoclonal *Lama glama* y humanizado, biespecífico bivalente; sc VH-VH' (1-275) [*Lama glama* VH anti-ADAMTSL5 (*Lama glama* IGHV3S1\*01 (81.4%) -(IGHD) -IGHJ2\*01 (100%)/*Homo sapiens* IGHV3-23\*04 (80.2%) -(IGHD) -IGHJ1\*01 (100%) [8.8.17] (1-124)) -linker 35-mer (GGGGS)7 (125-159)-VH humanizado anti-ALB (*Homo sapiens* IGHV3-23\*04 (87.5%) -(IGHD) -IGHJ1\*01 (100%) [8.8.8] (160-275), producido en la levadura *Pichia pastoris*, no glicosilado  
*immunomodulador, antiosteoartritis*

2254082-79-4

scVH-VH' chain / Chaîne scVH-VH' / Cadena scVH-VH'  
DVQLVESGGG VVQPGGSLRL SCAASGRIVS SYAMGWFRQA PPKEREFVAG 50  
ISRSAERTYY VDSLKGRFTI SRDMSKNTIVY LQMNSLRPEF TALYCAADL 100  
DNRIFSRRE YAYWQGQTLV TVSSGGGGSG GGGSGGGSG GGGSGGGSG 150  
GGSGGGGSE VQLVESGGG VQPGNSLRLS CAASGFTFS FGMWVVRQAP 200  
GKLEWVSSI SSGSDTLVA DSVKGRFTIS RDNKTTLYL QMNSLRPEF 250  
ALYYCTIGS LSRSSQTLV TVSSA 275

Post-translational modifications  
Disulfide bridges location / Position des ponts disulfure / Posiciones de los puentes disulfuro  
Intra-single chain (C23-C104) 22-96 181-255

No N-glycosylation sites / pas de sites de N-glycosylation / ningún posición de N-glicosilación

itacnosertibum  
itacnosertib

*N*<sup>4</sup>-([2,2'-bipyridin]-3-yl)-*N*<sup>2</sup>-[3-methoxy-4-(4-methylpiperazin-1-yl)phenyl]pyrimidine-2,4-diamine  
*serine/threonine kinase inhibitor*

itacnosertib

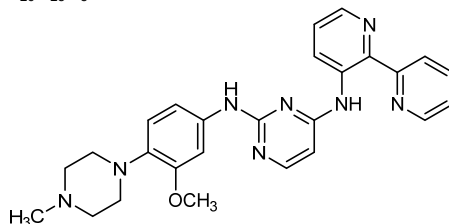
*N*<sup>4</sup>-([2,2'-bipyridin]-3-yl)-*N*<sup>2</sup>-[3-méthoxy-4-(4-méthylpipérazin-1-yl)phényl]pyrimidine-2,4-diamine  
*inhibiteur de la sérine/thréonine kinase*

itacnosertib

*N*<sup>4</sup>-([2,2'-bipiridin]-3-il)-*N*<sup>2</sup>-[4-(4-metilpiperazin-1-il)-3-metoxifenil]pirimidina-2,4-diamina  
*inhibidor de la serina/treonina kinase*

C<sub>26</sub>H<sub>28</sub>N<sub>8</sub>O

1628870-27-8



**itepekimabum #**

itepekimab

immunoglobulin G4-kappa, anti-[*Homo sapiens* IL33 (interleukin 33, interleukin-1 family member 11, IL1F11, nuclear factor for high endothelial venules, NF-HEV)], monoclonal antibody; gamma4 heavy chain (1-449) [VH (*Homo sapiens* IGHV3-23\*04 (88.8%) -(IGHD) -IGHJ6\*03 (91.0%)) [8.8.15] (1-122) -*Homo sapiens* IGHG4\*01, G4v5 h P10 (CH1 (123-220), hinge 1-12 S10>P (230)(221-232), CH2 (233-342), CH3 (343-447), CHS (448-449) (123-449)], (136-214')-disulfide with kappa light chain *Homo sapiens* (1'-214') [V-KAPPA (*Homo sapiens* IGKV1-12\*01 (96.8%) -IGKJ5\*01 (100%)) [6.3.9] (1'-107') -*Homo sapiens* IGKC\*01 (100%), Km3 A45.1 (153), V101 (191) (108'-214')]; dimer (228-228":231-231")-bisdisulfide, produced in Chinese hamster ovary (CHO) cells, glycoform alfa *immunomodulator*

itépékimab

immunoglobuline G4-kappa, anti-[*Homo sapiens* IL33 (interleukine 33, membre 11 de la famille 1 d'interleukines, IL1F11, facteur nucléaire des veinules à haut endothélium, NF-HEV)], anticorps monoclonal; chaîne lourde gamma4 (1-449) [VH (*Homo sapiens* IGHV3-23\*04 (88.8%) -(IGHD) -IGHJ6\*03 (91.0%)) [8.8.15] (1-122) -*Homo sapiens* IGHG4\*01, G4v5 h P10 (CH1 (123-220), charnière 1-12 S10>P (230)(221-232), CH2 (233-342), CH3 (343-447), CHS (448-449) (123-449)], (136-214')-disulfure avec la chaîne légère kappa (1'-214') [V-KAPPA (*Homo sapiens* IGKV1-12\*01 (96.8%) -IGKJ5\*01 (100%)) [6.3.9] (1'-107') -*Homo sapiens* IGKC\*01 (100%), Km3 A45.1 (153), V101 (191) (108'-214')]; dimère (228-228":231-231")-bisdisulfure, produit dans des cellules ovariennes de hamster chinois (CHO), glycoforme alfa *immunomodulateur*

itepekimab

immunoglobulina G4-kappa, anti-[*Homo sapiens* IL33 (interleukina 33, miembro 11 de la familia 1 de interleukinas, IL1F11, factor nuclear de las vénulas del endotelio alto, NF-HEV)], anticuerpo monoclonal; cadena pesada gamma4 (1-449) [VH (*Homo sapiens* IGHV3-23\*04 (88.8%) -(IGHD) -IGHJ6\*03 (91.0%)) [8.8.15] (1-122) -*Homo sapiens* IGHG4\*01, G4v5 h P10 (CH1 (123-220), bisagra 1-12 S10>P (230)(221-232), CH2 (233-342), CH3 (343-447), CHS (448-449) (123-449)], (136-214')-disulfuro con la cadena ligera kappa (1'-214') [V-KAPPA (*Homo sapiens* IGKV1-12\*01 (96.8%) -IGKJ5\*01 (100%)) [6.3.9] (1'-107') -*Homo sapiens* IGKC\*01 (100%), Km3 A45.1 (153), V101 (191) (108'-214')]; dímero (228-228":231-231")-bisdisulfuro producido por células ováricas de hamster chino (CHO), forma glicosilada alfa *immunomodulador*

2226742-52-3

Heavy chain / Chaîne lourde / Cadena pesada  
 EVQLVESGGN LEQPGGSLRL SCTASGFTFS RSAMNWVRRR PGKGLEWVSG 50  
 ISGSGGRTYY ADSVKGRTTI SRDNSKNITLY LQMNSLSAED TAAYYCAKDS 100  
 YTTSWYGGMD VMGHGTTVTV SSASTKGFVSV FPLAPCSRST SESTAALGCL 150  
 VKDYFPEPVT VSWNSGALTS GVHTFPAVLQ SSGLYSLSSV VTVFSSSLGT 200  
 KTYTCNVDPK PSNTKVDKRV ESKYGPFCPP CPAPEFLGGF SVLEFPKPK 250  
 DTLMTSRTEP VTCVVVDVQV EDPEVQFNWY VDGVEVHNAK TKRREEQFNS 300  
 TYRIVSVLTV LHQDNLNGKE YKCKVSNKGL PPSIEKTIK ARGQPREPQV 350  
 YTLPPSQEEM TKNQVSLTCL VKGFYPSDIA VEVESNGQPE NNYKTTFPVL 400  
 DSDGSEFFLYS RLTVDKSRWQ EGNVFCSCVM HEALTHHYTQ KSLSLSLGK 449

Light chain / Chaîne légère / Cadena ligera  
 DIQMTQSPSS VSASVGDRTV TCRASQGI F SWLAWYQQK F GKAPKLLIYA 50  
 ASSLQSGVPS RFGSGSGTD FTLTISLLQ F EDFAIYYCQ Q ANSVETTFGQ 100  
 GTRLEIKRTV AAPSVFIFPP SDEQLKSGT A SVVCLLNNEY PREAKVQWKV 150  
 DNALQSGNSQ ESVTEQDSK D STYLSLSTL LSKADYKHK VYACEVTHGQ 200  
 LSSPVTKSFN RGE C 214

## Post-translational modifications

Disulfide bridges location / Position des ponts disulfure / Posiciones de los puentes disulfuro

Intra-H (C23-C104) 22°-96° 149°-205° 263°-323° 369°-427°  
 22°-96° 149°-205° 263°-323° 369°-427°  
 Intra-L (C23-C104) 23°-88° 134°-194°  
 23°-88° 134°-194°  
 Inter-H-L (CHI 10-CL 126) 136°-214° 136°-214°  
 Inter-H-H (h 8, h 11) 228°-228° 231°-231°

N-glycosylation sites / Sites de N-glycosylation / Posiciones de N-glicosilación

HCH2 N84.4:

299, 299°

Fucosylated complex bi-antennary CHO-type glycans / glycanes de type CHO bi-antennaires complexes fucosylés / glicanos de tipo CHO biantennarios complejos fucosilados

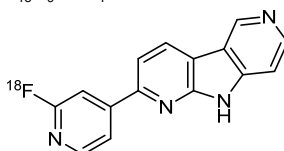
C-terminal lysine clipping:

HCHS K2:

449, 449°

**izafloortaucipirum (<sup>18</sup>F)**izafloortaucipir (<sup>18</sup>F)2-(2-(<sup>18</sup>F)fluoropyridin-4-yl)-9H-pyrrolo[2,3-b:4,5-c']dipyridine  
*radiodiagnostic agent*izafloortaucipir (<sup>18</sup>F)2-(2-(<sup>18</sup>F)fluoropyridin-4-yl)-9H-pyrrolo[2,3-b:4,5-c']dipyridine  
*agent de radiodiagnostic*izafloortaucipir (<sup>18</sup>F)2-(2-(<sup>18</sup>F)fluoropiridin-4-il)-9H-pirrolo[2,3-b:4,5-c']dipiridina  
*agente de radiodiagnóstico*C<sub>15</sub>H<sub>9</sub><sup>18</sup>FN<sub>4</sub>

2173353-61-0

**izokibepum #**

izokibep

fusion protein composed of 3 binding domains consisting of three- $\alpha$ -helix motifs, each derived from the immunoglobulin (Ig)-binding Z-domain of staphylococcal protein A (SpA), engineered for binding to two homodimer subunits of human interleukin 17A (IL17A) with the two identical N- and C-terminal domains (1-58, 116-173) and to the domain II of human serum albumin (HSA) with the central domain (59-110), connected via a G<sub>4</sub>S peptide linker (111-115);  
 [IL17A-binding engineered SpA peptide (1-58)]-[HSA-binding engineered SpA peptide (59-110)]-[G<sub>4</sub>S linker (111-115)]-[IL17A-binding engineered SpA peptide (116-173)] fusion protein;  
 produced in *Escherichia coli*  
*immunomodulator*

izokibep protéine de fusion composée de 3 domaines liants, chacun consistant en un motif à 3 hélices alpha dérivé du domaine Z de la protéine staphylococcique A (SpA) se liant à l'immunoglobuline (Ig), mis au point pour se lier aux deux homodimères des sous-unités de l'interleukine 17A humaine (IL17A) avec les deux domaines N- et C-terminaux identiques (1-58, 116-173), et au domaine II de l'albumine sérique humaine (ASH, HSA) avec le domaine central (59-110), connecté via un peptide liant G<sub>4</sub>S (111-115); protéine de fusion [peptide SpA mis au point pour se lier à l'IL17A (1-58)]-[peptide SpA mis au point pour se lier au HSA (59-110)]-[peptide liant G<sub>4</sub>S (111-115)]-[peptide SpA mis au point pour se lier à l'IL17A (116-173)]; produite par *Escherichia coli*  
*immunomodulateur*

izokibep proteína de fusión compuesta de 3 dominios de unión, cada uno consistente en un motivo con 3 hélices alfa derivado del dominio Z de la proteína estafilocócica A (SpA) que se une a la inmunoglobulina (Ig), diseñado para unirse a los dos homodímeros de las sub-unidades de la interleukina 17A humana (IL17A) con los dos dominios N- y C-terminal idénticos (1-58, 116-173), y con el dominio II de la albúmina sérica humana (ASH, HSA) con el dominio central (59-110), conectado a través de un péptido que se une a G<sub>4</sub>S (111-115); proteína de fusión [péptido SpA diseñado para unirse a la IL17A (1-58)]-[péptido SpA diseñado para unirse al HSA (59-110)]-[G<sub>4</sub>S linker (111-115)]-[péptido SpA diseñado para unirse a la IL17A (116-173)]; producida por *Escherichia coli*  
*immunomodulador*

2226130-02-3

Sequence / Séquence / Secuencia

AEAKYAKEAD	DAAVEIASLP	NLTWDQWYAF	IQKLRDDPSQ	SSELLSEAKK	50
LNDSQAPKAS	GSLAEAKEAA	NAELDSYGVV	DFYKRLIDKA	KTVEGVKAL	100
DAIILAALPCT	GGGSAEAKY	AKEADDAAVE	IASLPNLTWD	QWYAFIQKLR	150
DDPSQSSELL	SEAKKLNSDQ	APK			173

Post-translational modifications / Modifications post-traductionnelles / Modificaciones postraduccionales  
None / aucune / ninguna

**lazuvapagonum**

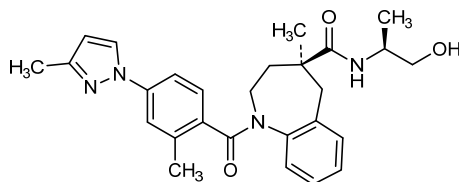
lazuvapagon (4S)-N-[(2S)-1-hydroxypropan-2-yl]-methyl-1-[2-methyl-4-(3-methyl-1H-pyrazol-1-yl)benzoyl]-2,3,4,5-tetrahydro-1H-1-benzazepine-4-carboxamide  
*vasopressin V<sub>2</sub> receptor agonist*

lazuvapagon (4S)-N-[(2S)-1-hydroxypropan-2-yl]-méthyl-1-[2-méthyl-4-(3-méthyl-1H-pyrazol-1-yl)benzoyl]-2,3,4,5-tétrahydro-1H-1-benzazépine-4-carboxamide  
*agoniste du récepteur V<sub>2</sub> de la vasopressine*

lazuvapagón (4S)-N-[(2S)-1-hidroxiopropan-2-il]-metil-1-[2-metil-4-(3-metil-1H-pirazol-1-il)benzoil]-2,3,4,5-tetrahidro-1H-1-benzazepina-4-carboxamida  
*agonista del receptor V<sub>2</sub> de la vasopresina*

C<sub>27</sub>H<sub>32</sub>N<sub>4</sub>O<sub>3</sub>

2379889-71-9



**lecanemabum #**  
lecanemab

immunoglobulin G1-kappa, anti-[*Homo sapiens* APP (amyloid beta A4 precursor protein) soluble beta-amyloid protofibril], monoclonal antibody;  
gamma1 heavy chain (1-454) [VH (*Homo sapiens* IGHV3-48\*01 (89.8%) -(IGHD) -IGHJ4\*01 (92.3%)) CDR-IMGT [8.8.17] (26-33.51-58.97-113) (1-124) -*Homo sapiens* IGHG1\*03 (100%) G1m3, nG1m1 (CH1 R120 (221) (125-222), hinge 1-15 (223-237), CH2 (238-347), CH3 E12 (363), M14 (365) (348-452), CHS (453-454)) (125-454)], (227-219')-disulfide with kappa light chain (1'-219') [V-KAPPA (*Mus musculus* IGKV1-117\*01 (91%) -IGKJ1\*02 (90.9%)]/*Homo sapiens* IGKV2-30\*02 (84.0%) -IGKJ2\*01 (90.9%)] CDR-IMGT [11.3.9] (27-37.55-57.94-102) (1'-112') -*Homo sapiens* IGKC\*01 (100%), Km3 A45.1 (158), V101 (196) (227'-219')];  
dimer (233-233":236-236")-bisdisulfide, produced in Chinese hamster ovary (CHO) cells, glycoform alfa  
*beta-amyloid protofibril inhibitor*

lécanémab

immunoglobuline G1-kappa, anti-[*Homo sapiens* APP (protéine précurseur amyloïde bêta A4) protofibrille bêta amyloïde soluble], anticorps monoclonal;  
chaîne lourde gamma1 (1-454) [VH (*Homo sapiens* IGHV3-48\*01 (89.8%) -(IGHD) -IGHJ4\*01 (92.3%)) CDR-IMGT [8.8.17] (26-33.51-58.97-113) (1-124) -*Homo sapiens* IGHG1\*03 (100%) G1m3, nG1m1 (CH1 R120 (221) (125-222), charnière 1-15 (223-237), CH2 (238-347), CH3 E12 (363), M14 (365) (348-452), CHS (453-454)) (125-454)], (227-219')-disulfure avec la chaîne légère kappa (1'-219') [V-KAPPA (*Mus musculus* IGKV1-117\*01 (91%) -IGKJ1\*02 (90.9%)]/*Homo sapiens* IGKV2-30\*02 (84.0%) -IGKJ2\*01 (90.9%)] CDR-IMGT [11.3.9] (27-37.55-57.94-102) (1'-112') -*Homo sapiens* IGKC\*01 (100%), Km3 A45.1 (158), V101 (196) (227'-219')];  
dimère (233-233":236-236")-bisdisulfure, produit dans des cellules ovariennes de hamster chinois (CHO), glycoforme alfa  
*inhibiteur des protofibrilles bêta-amyloïdes*

lecanemab

immunoglobulina G1-kappa, anti-[*Homo sapiens* APP (proteína precursor amiloide beta A4) protofibrilla beta amiloide soluble], anticuerpo monoclonal;  
cadena pesada gamma1 (1-454) [VH (*Homo sapiens* IGHV3-48\*01 (89.8%) -(IGHD) -IGHJ4\*01 (92.3%)) CDR-IMGT [8.8.17] (26-33.51-58.97-113) (1-124) -*Homo sapiens* IGHG1\*03 (100%) G1m3, nG1m1 (CH1 R120 (221) (125-222), bisagra 1-15 (223-237), CH2 (238-347), CH3 E12 (363), M14 (365) (348-452), CHS (453-454)) (125-454)], (227-219')-disulfuro con la cadena ligera kappa (1'-219') [V-KAPPA (*Mus musculus* IGKV1-117\*01 (91%) -IGKJ1\*02 (90.9%)]/*Homo sapiens* IGKV2-30\*02 (84.0%) -IGKJ2\*01 (90.9%)] CDR-IMGT [11.3.9] (27-37.55-57.94-102) (1'-112') -*Homo sapiens* IGKC\*01 (100%), Km3 A45.1 (158), V101 (196) (227'-219')];  
dímero (233-233":236-236")-bisdisulfuro, producido por células ováricas de hamster chino (CHO), forma glicosilada alfa  
*inhibidor de las protofibrillas beta-amiloïdes*

1260393-98-3

Heavy chain / Chaîne lourde / Cadena pesada  
 EVQLVESGGG LVQPGGSLRL SCSASGFTFS SFGMHWRQA PGKLEWVAY 50  
 ISSGSSITYY GDTVRGRFTI SRDNAKNSLF LQMSLRAED TAVYYCAREG 100  
 GYYGRSYT MDYWGQGTIV TVSSASTKGP SVFPLAPSSK STSGGTAALG 150  
 CLVKDYFPEP VTVSWNSGAL TSGVHTFPAV LQSSGLYSLS SVVTVPSSSL 200  
 GTQTYLNCVN HKPSNTRKVDK RVEPKSCDKT HTPPCPCAPE LLGGPSVFLF 250  
 PPKPKDTLMI SRTPEVTCVV VDVSHEDPEV KFNWYVDGVE VHNAKTKPRE 300  
 EQYNSTYRVV SVLTVLHQDW LNGKEYKCKV SNKALPAPIE KTISKAKGQP 350  
 REPQVYTLPP SREEMTRKQV SLTCLVKGFY PSDIAVEWES NGQPENNYKT 400  
 TTPVLDSDGS FFLYSKLTVD KSRWQQGNVF SCSVMHEALH NHYTQKLSLSL 450  
 SPGK 454

Light chain / Chaîne légère / Cadena ligera  
 DVVMTQSPLS LPVTPGAPAS ISCRSSQSVI HSGNNTYLEW YLQKPGQSPK 50  
 LLIIYKSNRF SGVPDRFSGS GSGDTFTLRI SRVEAEVGI YYCPQGSHPV 100  
 PTFGPGTKLE IKRTVAAPS VFIFFPSDEQL KSGTASVCL LNNFYPREAK 150  
 VQWKVDNALQ SGNSQESVTE QDSKDSITYSL SSTLTLSKAD YEKHKVYACE 200  
 VTHQGLSSPV TKSFNRGEC 219

Post-translational modifications  
 Disulfide bridges location / Position des ponts disulfure / Posiciones de los puentes disulfuro  
 Intra-H (C23-C104) 22-96 151-207 268-328 374-432  
 22"-96" 151"-207" 268"-328" 374"-432"  
 Intra-L (C23-C104) 23"-93" 139"-199"  
 23"-93" 139"-199"  
 Inter-H-L (h 5-CL 126) 227-219" 227"-219"  
 Inter-H-H (h 11, h 14) 233-233" 236-236"

N-glycosylation sites / Sites de N-glycosylation / Posiciones de N-glicosilación  
 H CH2 N84,4;  
 304, 304"  
 Fucosylated complex bi-antennary CHO-type glycans / glycanes de type CHO bi-antennaires complexes fucosylés / glicanos de tipo CHO biantenarios complejos fucosilados

C-terminal lysine clipping:  
 H CHS K2: 454, 454"

**lorpucitinibum**  
 lorpucitinib

2-{1-[*trans*-4-(cyanomethyl)cyclohexyl]-1,6-dihydroimidazo[4,5-*d*]pyrrolo[2,3-*b*]pyridin-2-yl]-*N*-(2-hydroxy-2-methylpropyl)acetamide  
*Janus kinase inhibitor*

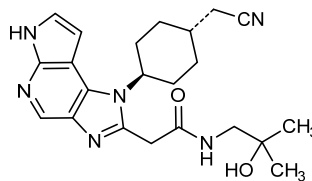
lorpucitinib

2-{1-[*trans*-4-(cyanométhy)cyclohexyl]-1,6-dihydroimidazo[4,5-*d*]pyrrolo[2,3-*b*]pyridin-2-yl]-*N*-(2-hydroxy-2-méthylpropyl)acétamide  
*inhibiteur de la kinase de Janus*

lorpucitinib

2-{1-[*trans*-4-(cianometil)ciclohexil]-1,6-dihidroimidazo[4,5-*d*]pirrolo[2,3-*b*]piridin-2-il]-*N*-(2-hidroxi-2-metilpropil)acetamida  
*inhibidor de la kinasa de Janus*

C<sub>22</sub>H<sub>28</sub>N<sub>6</sub>O<sub>2</sub> 2230282-02-5



**luvadaxistatum**  
 luvadaxistat

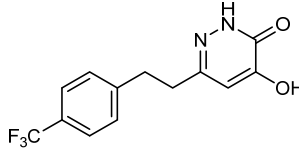
4-hydroxy-6-{2-[4-(trifluoromethyl)phenyl]ethyl}pyridazin-3(2*H*)-one  
*D-amino acid oxidase (DAAO) inhibitor*

luvadaxistat 4-hydroxy-6-{2-[4-(trifluorométhyl)phényl]éthyl}pyridazin-3(2H)-one  
*inhibiteur de la D-aminoacide oxydase (DAAO)*

luvadaxistat 4-hidroxi-6-{2-[4-(trifluorometil)fenil]etil}piridazin-3(2H)-ona  
*inhibidor de la D-aminoácido oxidasa (DAAO)*

C<sub>13</sub>H<sub>11</sub>F<sub>3</sub>N<sub>2</sub>O<sub>2</sub>

1425511-32-5



**miptenalimabum #**  
miptenalimab

immunoglobulin G4-kappa, anti-[*Homo sapiens* LAG3 (lymphocyte activating 3, lymphocyte-activation 3, CD223)], monoclonal antibody;  
gamma4 heavy chain (1-448) [VH (*Homo sapiens* IGHV3-33\*01 (77.0%) -(IGHD) -IGHJ4\*01 (93.3%)) [10.7.14] (1-122) -*Homo sapiens* IGHG4\*01, G4v5 h P10 (CH1 (123-220), hinge 1-12 S10>P (230) (221-232), CH2 (233-342), CH3 (343-447), CHS K2>del (448)) (123-448)], (136-214')-disulfide with kappa light chain (1'-214') [V-KAPPA (*Mus musculus* IGKV6-17 (85.3%) -IGKJ2\*03 (90.9%)/*Homo sapiens* IGKV1-39\*01 (82.1%) -IGKJ2\*01 (100%)) [6.3.9] (1'-107') -*Homo sapiens* IGKC\*01 (100%), Km3 A45.1 (153), V101 (191) (108'-214')];  
dimer (228-228":231-231")-bisdisulfide, produced in Chinese hamster ovary (CHO) cells, glycoform alfa  
*immunomodulator, antineoplastic*

mip ténalimab

immunoglobuline G4-kappa, anti-[*Homo sapiens* LAG3 (activateur 3 des lymphocytes, lymphocyte-activation 3, CD223)], anticorps monoclonal;  
chaîne lourde gamma4 (1-448) [VH (*Homo sapiens* IGHV3-33\*01 (77.0%) -(IGHD) -IGHJ4\*01 (93.3%)) [10.7.14] (1-122) -*Homo sapiens* IGHG4\*01, G4v5 h P10 (CH1 (123-220), charnière 1-12 S10>P (230) (221-232), CH2 (233-342), CH3 (343-447), CHS K2>del (448)) (123-448)], (136-214')-disulfure avec la chaîne légère kappa (1'-214') [V-KAPPA (*Mus musculus* IGKV6-17 (85.3%) -IGKJ2\*03 (90.9%)/*Homo sapiens* IGKV1-39\*01 (82.1%) -IGKJ2\*01 (100%)) [6.3.9] (1'-107') -*Homo sapiens* IGKC\*01 (100%), Km3 A45.1 (153), V101 (191) (108'-214')];  
dimère (228-228":231-231")-bisdisulfure, produit dans des cellules ovariennes de hamster chinois (CHO), glycoforme alfa  
*immunomodulateur, antinéoplasique*

mip tenalimab

immunoglobulina G4-kappa, anti-[*Homo sapiens* LAG3 (activador 3 de los linfocitos, linfocito-activación 3, CD223)], anticuerpo monoclonal;

cadena pesada gamma4 (1-448) [VH (*Homo sapiens* IGHV3-33\*01 (77.0%) -(IGHD) -IGHJ4\*01 (93.3%)] [10.7.14] (1-122) - *Homo sapiens* IGHG4\*01, G4v5 h P10 (CH1 (123-220), bisagra 1-12 S10>P (230) (221-232), CH2 (233-342), CH3 (343-447), CHS K2>del (448)) (123-448)], (136-214')-disulfuro con la cadena ligera kappa (1'-214') [V-KAPPA (*Mus musculus* IGKV6-17 (85.3%) -IGKJ2\*03 (90.9%)]/*Homo sapiens* IGKV1-39\*01 (82.1%) -IGKJ2\*01 (100%)] [6.3.9] (1'-107') -*Homo sapiens* IGKC\*01 (100%), Km3 A45.1 (153), V101 (191) (108'-214')]; dímero (228-228":231-231")-bisdisulfuro, producido por células ováricas de hamster chino (CHO), forma glicosilada alfa *immunomodulador, antineoplásico*

2249882-55-9

Heavy chain / Chaîne lourde / Cadena pesada

QVTLVESGGG VVQPRSLRL SCASFSGFSL TSDMGVWIR QAPGKLEWV 50  
 AHIWDDVKR YNPALKSRFT ISRDNKNTL YLQMNLSRAE DTAVYFCARI 100  
 EDYGVSYFDF YWQGGTTVTV SSASTKGPSV FFLAPCSRST SESTAALGCL 150  
 VKDYFPEPVT VSWNSGALTS GVHTFPAVLQ SSGLYSLSSV VTVFSSSLGT 200  
 KTYTCNVDRK PSNTKVDKRV ESKYPPCPP CPAPEFLGGP SVFLFPPKPK 250  
 DTLMSRTPE VTCVVVDVQ EDPEVQFNWY VDGVEVHNAK TKPREQFNS 300  
 TYRVVSLTV LHQDWLNGKE YKCKVSNRGL PSSIEKTISK AKGQPREPOV 350  
 YLPPSQEEM TKNQVSLTCL VKGFYPSDIA VEWESNGQPE NNYKTFPPVL 400  
 DSGSFFLYS RLTVDKSRWQ EGNVFCSSVM HEALHNYTQ KSLSLSLG 448

Light chain / Chaîne légère / Cadena ligera

DIQMTQSPSF LSASVGRDRV ITCKASQDVS TAVAWYQQKPK GKAPKLLIYS 50  
 ASYRYTGVFD RFGSGSGTD FTLTISSLQF EDFATYTCQQ HYSIPLTFQG 100  
 GFKLEIKRTV AAPSVFIFPP SDEQLKSGTA SVVCLLNIFY PREAKVQWKV 150  
 DNALQSGNSQ ESVTEQDSKDT STYLSLSTLT LSKADYERHK YVACEVTHQG 200  
 LSSPVTKSFN RGEK 214

Post-translational modifications

Disulfide bridges location / Position des ponts disulfure / Posiciones de los puentes disulfuro

Intra-H (C23-C104) 22-97 149-205 263-323 369-427  
 22"-97" 149"-205" 263"-323" 369"-427"  
 Intra-L (C23-C104) 23"-88" 134"-194"  
 23"-88" 134"-194"

Inter-H-L (CH1 10-CL 126) 136-214" 136"-214"

Inter-H-H (h 8, h 11) 228-228" 231-231"

N-terminal glutamyl cyclization to pyroglutamyl (pE, 5-oxoprolyl)

H VH Q1: 1, 1"

N-glycosylation sites / Sites de N-glycosylation / Posiciones de N-glicosilación

H CH2 N84.4:

299, 299"

Fucosylated complex bi-antennary CHO-type glycans / glycanes de type CHO bi-antennaires complexes fucosylés / glicanos de tipo CHO biantenariños complejos fucosilados

**mirdametininibum**

mirdametininib

*N*-[(2*R*)-2,3-dihydroxypropoxy]-3,4-difluoro-2-(2-fluoro-4-iodoanilino)benzamide  
*tyrosine kinase inhibitor, antineoplastic*

mirdamétininib

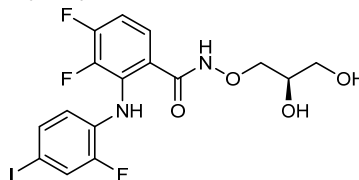
*N*-[(2*R*)-2,3-dihydroxypropoxy]-3,4-difluoro-2-(2-fluoro-4-iodoanilino)benzamide  
*inhibiteur de la tyrosine kinase, antinéoplasique*

mirdametininib

*N*-[(2*R*)-2,3-dihydroxypropoxi]-3,4-difluoro-2-(2-fluoro-4-iodoanilino)benzamidato  
*inhibidor de la tirosina kinasa, antineoplásico*

C<sub>16</sub>H<sub>14</sub>F<sub>3</sub>IN<sub>2</sub>O<sub>4</sub>

391210-10-9



**miromavimabum #**

miromavimab

immunoglobulin G1-kappa, anti-[rabies virus strain ERA (Evelyn-Rockitniki-Abelseth) glycoprotein ectodomain epitope G-II], *Mus musculus* monoclonal antibody; gamma1 heavy chain *Mus musculus* (1-445) [VH (*Mus musculus* IGHV1S130\*01 (93.9%) -(IGHD) -IGHJ1\*01 (88.2%)) CDR-IMGT [8.8.14] (26-33.51-58.97-110) (1-121) - *Mus musculus* IGHG1\*02 (CH1 Q100>E (199) (122-218), hinge 1-13 (219-231), CH2 K81>Q (288), I84.3>F (294) (232-338), CH3 N27>D (369) (339-443), CHS (444-445)) (122-445)], (223-214')-disulfide with kappa light chain *Mus musculus* (1'-214') [V-KAPPA (*Mus musculus* IGKV6-17\*01 (98.9%) -IGKJ1\*02 (100%)) CDR-IMGT [6.3.9] (27-32.50-52.89-97) (1'-107') -*Mus musculus* IGKC\*01 (100%) (108'-214')]; dimer (225-225":228-228":230-230")-trisdifulfide, produced in mouse myeloma cell line SP2/0-Ag14, glycoform alfa *immunomodulator, antiviral*

miromavimab

immunoglobuline G1-kappa, anti-[épitope G-II de l'ectodomaine de la glycoprotéine de la souche ERA (Evelyn-Rockitniki-Abelseth) du virus de la rage], anticorps monoclonal *Mus musculus*; chaîne lourde gamma1 *Mus musculus* (1-445) [VH (*Mus musculus* IGHV1S130\*01 (93.9%) -(IGHD) -IGHJ1\*01 (88.2%)) CDR-IMGT [8.8.14] (26-33.51-58.97-110) (1-121) - *Mus musculus* IGHG1\*02 (CH1 Q100>E (199) (122-218), charnière 1-13 (219-231), CH2 K81>Q (288), I84.3>F (294) (232-338), CH3 N27>D (369) (339-443), CHS (444-445)) (122-445)], (223-214')-disulfure avec la chaîne légère kappa *Mus musculus* (1'-214') [V-KAPPA (*Mus musculus* IGKV6-17\*01 (98.9%) -IGKJ1\*02 (100%)) CDR-IMGT [6.3.9] (27-32.50-52.89-97) (1'-107') -*Mus musculus* IGKC\*01 (100%) (108'-214')]; dimère (225-225":228-228":230-230")-trisdifulfure, produit dans la lignée cellulaire de myélome murin SP2/0-Ag14, glycoforme alfa *immunomodulateur, antiviral*

miromavimab

immunoglobulina G1-kappa, anti-[epítopo G-II del ectodominio de la glicoproteína de la cepa ERA (Evelyn-Rockitniki-Abelseth) del virus de la rabia], anticuerpo monoclonal *Mus musculus*; cadena pesada gamma1 *Mus musculus* (1-445) [VH (*Mus musculus* IGHV1S130\*01 (93.9%) -(IGHD) -IGHJ1\*01 (88.2%)) CDR-IMGT [8.8.14] (26-33.51-58.97-110) (1-121) - *Mus musculus* IGHG1\*02 (CH1 Q100>E (199) (122-218), bisagra 1-13 (219-231), CH2 K81>Q (288), I84.3>F (294) (232-338), CH3 N27>D (369) (339-443), CHS (444-445)) (122-445)], (223-214')-disulfuro con la cadena ligera kappa *Mus musculus* (1'-214') [V-KAPPA (*Mus musculus* IGKV6-17\*01 (98.9%) -IGKJ1\*02 (100%)) CDR-IMGT [6.3.9] (27-32.50-52.89-97) (1'-107') -*Mus musculus* IGKC\*01 (100%) (108'-214')]; dímero (225-225":228-228":230-230")-trisdifulfuro, producido en la línea celular de mieloma murino SP2/0-Ag14, glicofoma alfa *immunomodulador, antiviral*

2247163-73-9

Heavy chain / Chaîne lourde / Cadena pesada  
 QVQLQQPGSV LVRPGASVKL SCKTSGYFT SSWMHWAKQR PGQGLEWIGQ 50  
 THPNSGYTNY NEKFKGKATL TVDTSSSTAY VDLSSLTSED SAVVYCARES 100  
 GDGPHWYFDV WGAGTAVTVS SAKTTPPSVY FLAPGSAQT NSMVTLGCLV 150  
 KGYFPEPVTV TWNSGSLSSG VHTFPAVLQS DLYTLSSSVT VPSSTWPSST 200  
 VTCNVAHPAS STKVDKKIVP RDCGCKPCIC TVPEVSSVFI FFPKPKDVLV 250  
 ITLTKPVTCV VVDISKDDPE VQFSWPEVDDV EVHTAQTPQR EEQFNSTERS 300  
 VSELPIMHQD WLNKKEFKCR VNSAAFPARI EKTISKTKGR PKAPQVYVIP 350  
 PPKQMAKDK VSLTCLMITDF FFEIDITWERQ WNGQPAENYK NTQPIIMDTDG 400  
 SYFVYSKIANV QKSNWEAGNT FTCSVLH EGL HNHHTKLSLS HSPGK 445

Light chain / Chaîne légère / Cadena ligera  
 DIVMTQSHKF MSTISVGDVRS ITCKASQDVS TAVAWYQQKP GQSPKLLIYS 50  
 ASYRYTGVDP RFTGSGSGTD FTFTISSVQA EDLAVYICQQ HYSSPHTFG 100  
 GTKLETKRAD AAPTVSIFPP SSEQLTSGGA SVVCFLLNFI PKDINVKWKL 150  
 DGSERQNGVL NSWTDQDSKD STYSMSSTLT LTKDEYERHN SYTCEATHRKT 200  
 STSPITKSFN RNEC 214

Post-translational modifications  
 Disulfide bridges location / Position des ponts disulfure / Posiciones de los puentes disulfuro  
 Intra-H (C23-C104) 22-96 148-203 259-319 365-423  
 22"-96" 148"-203" 259"-319" 365"-423"  
 Intra-L (C23-C104) 23"-88" 134"-194"  
 23"-88" 134"-194"  
 Inter-H-L (h 5-CL 126) 223-214" 223"-214"  
 Inter-H-H (h 7, h 10, h 12) 225-225" 228-228" 230-230"

N-glycosylation sites / Sites de N-glycosylation / Posiciones de N-glicosilación  
 H CH2N84.4:  
 295, 295"  
 Fucosylated complex biantennary Sp2/0-type glycans / glycanes de type Sp2/0 bi-antennaires  
 complexes fucosylés / glicanos de tipo Sp2/0 biantennarios complejos fucosilados

**modakafuspum alfa #**  
 modakafusp alfa

immunoglobulin G4-kappa, anti-[human ADP-ribosyl cyclase/cyclic ADP-ribose hydrolase 1 (EC:3.2.2.6) (ADPRC 1/cADRP hydrolase 1, cell surface antigen CD38)], humanized monoclonal antibody, fused at each C-terminus of the heavy chains (1-447, 1"-447") to attenuated human interferon  $\alpha$ -2b (IFN $\alpha$ 2b) variant (K<sup>23</sup>>R<sup>470</sup>, T<sup>106</sup>>A<sup>553</sup>, A<sup>145</sup>>D<sup>592</sup>) (448-612, 448"-612");  
 gamma4 heavy chain humanized fused to IFN $\alpha$ 2b (1-612) [VH (*Homo sapiens*IGHV1-69-2\*01 (90.7%) -(IGHD)-IGHJ4\*01 (85.7%)) CDR-IMGT [8.8.13] (26-33.51-58.97-109) (1-120)-*Homo sapiens*IGHG4\*01, G4v5 h P10 (CH1 (121-218), hinge 1-12 S<sup>10</sup>>P (228) (219-230), CH2 (231-340), CH3 (341-445), CHS (446-447))(121-447), fused to IFN $\alpha$ 2b K<sup>23</sup>>R (470), T<sup>106</sup>>A (553), A<sup>145</sup>>D (592) (448-612)], (134-214')-disulfide with kappa light chain humanized (1'-214') [V-KAPPA (*Homo sapiens*IGKV1-33\*01 (83.2%) -IGKJ4\*01 (100%)) CDR-IMGT [6.3.9] (27-32.50-52.89-97) (1'-107') -*Homo sapiens*IGKC\*01 (100%), Km3 A45.1 (153), V<sup>101</sup> (191) (108'-214')]; dimer (226-226":229-229")-bisdisulfide; produced in Chinese hamster ovary (CHO) K1SV cells, glycoform alfa immunomodulator, antineoplastic

modakafusp alfa

immunoglobuline G4-kappa, anti-[ADP-ribosyl cyclase/ ADP cyclique - ribose hydrolase 1 humaine (EC:3.2.2.6) (ADPRC 1/cADRP hydrolase 1, antigène de surface cellulaire CD38)], anticorps monoclonal humain fusionné à chaque partie C-terminale des chaînes lourdes (1-447, 1"-447") à un variant (K<sup>23</sup>>R<sup>470</sup>, T<sup>106</sup>>A<sup>553</sup>, A<sup>145</sup>>D<sup>592</sup>) de l'interféron  $\alpha$ -2b humain (IFN $\alpha$ 2b) atténué, (448-612, 448"-612"); chaîne lourde gamma4 humanisée fusionnée à IFN $\alpha$ 2b (1-612) [VH (*Homo sapiens*IGHV1-69-2\*01 (90.7%) -(IGHD)-IGHJ4\*01 (85.7%)) CDR-IMGT [8.8.13] (26-33.51-58.97-109) (1-120)-*Homo sapiens*IGHG4\*01, G4v5 h P10 (CH1 (121-218), charnière 1-12 S<sup>10</sup>>P (228) (219-230), CH2 (231-340), CH3 (341-445), CHS (446-447))(121-447), fusionné à IFN $\alpha$ 2b K<sup>23</sup>>R (470), T<sup>106</sup>>A (553), A<sup>145</sup>>D (592) (448-612)], (134-214')-disulfure avec la chaîne légère kappa humanisée (1'-214') [V-KAPPA (*Homo sapiens*IGKV1-33\*01 (83.2%) -IGKJ4\*01 (100%)) CDR-IMGT [6.3.9] (27-32.50-52.89-97) (1'-107') -*Homo sapiens*IGKC\*01 (100%), Km3 A45.1 (153), V<sup>101</sup> (191) (108'-214')]; dimère (226-226":229-229")-bisdisulfure ;

modakafusp alfa

produit dans des cellules ovariennes de hamster chinois (CHO) K1SV, glycoforme alfa  
*immunomodulateur, antinéoplasique*

immunoglobulina G4-kappa, anti-[ADP-ribosil ciclasa/ADP cíclica -ribosa hidrolasa 1 humana (EC:3.2.2.6) (ADPRC 1/cADPr hidrolasa 1, antígeno de superficie celular CD38)], anticuerpo monoclonal humano fusionado a cada parte C-terminal de las cadenas pesadas (1-447, 1"-447") a una variante (K<sup>23</sup>>R<sup>470</sup>, T<sup>106</sup>>A<sup>553</sup>, A<sup>145</sup>>D<sup>592</sup>) del interferón α-2b humano (IFNα2b) atenuado, (448-612, 448"-612"); cadena pesada gamma4 humanizada fusionada al IFNα2b (1-612) [VH (*Homo sapiens* IGHV1-69-2\*01 (90.7%) -(IGHD)- IGHJ4\*01 (85.7%)) CDR-IMGT [8.8.13] (26-33.51-58.97-109) (1-120)-*Homo sapiens* IGHG4\*01, G4v5 h P10 (CH1 (121-218), bisagra 1-12 S<sup>10</sup>>P (228) (219-230), CH2 (231-340), CH3 (341-445), CHS (446-447))(121-447), fusionado con IFNα2b K<sup>23</sup>>R (470), T<sup>106</sup>>A (553), A<sup>145</sup>>D (592) (448-612)],(134-214')-disulfuro con la cadena ligera kappa humanizada (1'-214') [V-KAPPA (*Homo sapiens* IGKV1-33\*01 (83.2%) -IGKJ4\*01 (100%)) CDR-IMGT [6.3.9] (27-32.50-52.89-97) (1'-107') -*Homo sapiens* IGKC\*01 (100%), Km3 A45.1 (153), V<sup>101</sup> (191) (108'-214')]; dímero (226-226":229-229")-bisulfuro ; producido en las células ováricas de hamster chino (CHO) K1SV, glicofoma alfa  
*immunomodulador, antineoplásico*

2254522-19-3

Sequence / Séquence / Secuencia

Heavy chain / Chaîne lourde / Cadena pesada (anti-CD38 γ4-IFNα2b)

EVQLVQSGAE	VKKFGATVKI	SCKVSGYTFT	DSVMNWVQQA	PGKLEWNGW	50
IDPEYGRITDV	AEKFGQGRVTI	TADTSTDTAY	MELSSLRSE	TAVYYCARTK	100
YNSGYGFPFVW	GQGTITVTVSS	ASTKGPSVFP	LAPCSRSTSE	STAALGCLVK	150
DYFPEPVTVS	WNSGALTSGV	HTFPAVLQSS	GLYSLSSVVT	VPSSSLGTRK	200
YTCNVDRHKFS	NTKVDKRKVES	KYGPCCPCPC	APFELGGPVS	FLFPPKPKDT	250
LMISRTPEVT	CVVVDVSDQED	PEVQFNWYVD	GVEVHNAKTK	PREEQFNSTY	300
RVVSVTLVLH	QDWLNGKEYK	CKVSNKGLPS	SIEKTIKSAK	GQPREPQVYT	350
LPPSQEEMTK	NQVSLTCLVK	GFYPSDIAVE	WESNNGQPENN	YKTTTPVLDL	400
DGSFFLYSRL	TVDKSRWQEG	NVFSCSVME	ALHNHYTQKS	LSLSLGKCDL	450
PQTHSLGSR	TLMLLAQMRR	ISLFSCLKDR	HDFGFPQEEF	GNQFQKAETI	500
PVLHEMIQQI	FNLFSTKDS	AAWDETLLDK	FYTELYQQLN	DLEACVIQGV	550
GVAETPLMKE	DSLAVRKYF	QRITLYLKEK	KYSPCAWEVV	RDEIMRSFSL	600
STNLQESLRS	KE				612

Light chain / chaîne légère / cadena ligera

DIQMTQSPSS	LSASVGRDVT	ITCKASQNV	SDVDWYQQK	GKAPKLLIYK	50
ASNDYTGVP	RFSGSGSGTD	FTFTISSLQP	EDIATYYCMQ	SNTHPRTFGG	100
GTKVEIKRQV	AAPSVFI	SDEQLRSGTA	SVVCLLNMFY	PREAKVQMKV	150
DNALQSGNSQ	ESVTEQDSK	STYLSLSTLT	LSKADYKHK	HYACEVTHQG	200
LSSPVTKSFN	RGEC				214

Post-translational modifications

Disulfide bridges location / Position des ponts disulfure / Posiciones de los puentes disulfuro

Intra-H	22-96	147-203	261-321	367-425
	22"-96"	147"-203"	261"-321"	367"-425"
Intra-IFN	448-545	476-585	448"-545"	476"-585"
Intra-L	23'-88'	134'-194'	23"-88"	134"-194"
Inter-H-L	134-214'	134"-214"		
Inter-H-H	226-226"	229-229"		

Glycosylation sites / Sites de glycosylation / Posiciones de glicosilación  
H CH2 N84.4: N297, N297"  
Fucosylated complex bi-antennary CHO-type glycans / Glycanes de type CHO bi-antennaires complexes fucosylés / Glicanos de tipo CHO biantennarios complejos fucosilados

**murizatocloxum**

murizatoclox

(1<sup>3</sup>S,3<sup>1</sup>R,3<sup>2</sup>R,4R,5E,8S,9R)-6'-chloro-4-methoxy-8,9-dimethyl-4-[[[(9aR)-octahydro-2H-pyrido[1,2-a]pyrazin-2-yl]methyl]-3',4'-dihydro-1<sup>2</sup>H,1<sup>4</sup>H,2'<sup>1</sup>H-spiro[10λ<sup>6</sup>-thia-11-aza-1(5,7)-[1,5]benzoxazepina-3(1,2)-cyclobutanacyclododecaphan-5-ene-1<sup>3</sup>,1'-naphthalene]-10,10,12-trione  
*antineoplastica*

murizatoclox

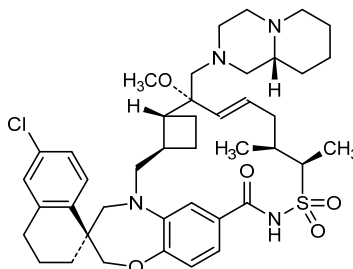
(1<sup>3</sup>S,3<sup>1</sup>R,3<sup>2</sup>R,4R,5E,8S,9R)-6'-chloro-4-méthoxy-8,9-diméthyl-4-[[[(9aR)-octahydro-2H-pyrido[1,2-a]pyrazin-2-yl]méthyl]-3',4'-dihydro-1<sup>2</sup>H,1<sup>4</sup>H,2'<sup>1</sup>H-spiro[10λ<sup>6</sup>-thia-11-aza-1(5,7)-[1,5]benzoxazépina-3(1,2)-cyclobutanacyclododécaphan-5-ène-1<sup>3</sup>,1'-naphtalène]-10,10,12-trione  
*antineoplasique*

murizatoclox

(1<sup>3</sup>S,3<sup>1</sup>R,3<sup>2</sup>R,4R,5E,8S,9R)-6'-cloro-4-metoxi-8,9-dimetil-4-[[[(9aR)-octahidro-2H-pirido[1,2-a]pirazin-2-il]metil]-3',4'-dihidro-1<sup>2</sup>H,1<sup>4</sup>H,2'<sup>1</sup>H-spiro[10λ<sup>6</sup>-thia-11-aza-1(5,7)-[1,5]benzoxazepina-3(1,2)-ciclobutanacyclododecaphan-5-eno-1<sup>3</sup>,1'-naftaleno]-10,10,12-triona  
*antineoplásico*

C<sub>42</sub>H<sub>57</sub>ClN<sub>4</sub>O<sub>5</sub>S

2245848-05-7

**nesolicaftorum**

nesolicaftor

*N*-(*trans*-3-[5-[(1*R*)-1-hydroxyéthyl]-1,3,4-oxadiazol-2-yl]cyclobutyl)-3-phenyl-1,2-oxazole-5-carboxamide  
*cystic fibrosis transmembrane regulator (CFTR)*  
*protein modulator*

nésolicaftor

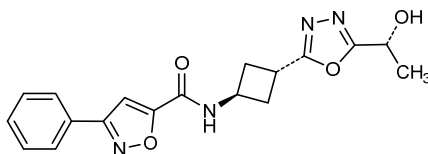
*N*-(*trans*-3-[5-[(1*R*)-1-hydroxyéthyl]-1,3,4-oxadiazol-2-yl]cyclobutyl)-3-phényl-1,2-oxazole-5-carboxamide  
*modulateur de la protéine régulatrice de la perméabilité transmembranaire impliquée dans la mucoviscidose (CFTR)*

nesolicaftor

3-fenil-*N*-(*trans*-3-[5-[(1*R*)-1-hidroxiétil]-1,3,4-oxadiazol-2-il]ciclobutil)-1,2-oxazolo-5-carboxamida  
*modulador de la proteína reguladora de la conductancia transmembrana de la fibrosis quística (CFTR)*

C<sub>18</sub>H<sub>18</sub>N<sub>4</sub>O<sub>4</sub>

1953130-87-4

**nipocalimabum #**

nipocalimab

immunoglobulin G1-lambda, anti-[*Homo sapiens* FCGRT (Fc fragment of IgG receptor and transporter, neonatal Fc receptor, FcRn, transmembrane alpha chain of the neonatal receptor)], *Homo sapiens* monoclonal antibody; gamma1 heavy chain *Homo sapiens* (1-445) [VH (*Homo sapiens*IGHV3-23\*01 (90.8%) -(IGHD) -IGHJ3\*01 (100%)) CDR-IMGT [8.8.9] (26-33.51-58.97-105) (1-116) -*Homo sapiens*IGHG1\*03 G1m3>G1m17, nG1m1, G1v29 CH2 A84.4 (CH1 R120>K (213) (117-214), hinge 1-15 (215-229), CH2 N84.4>A (296) (230-339), CH3 E12 (355), M14 (357) (340-444), CHS K2>del (445)) (117-445)], (219-215')-disulfide with lambda light chain *Homo sapiens* (1'-216') [V-LAMBDA (*Homo sapiens*IGLV2-23\*01 (94.8%) -IGLJ1\*01 (100%)) CDR-IMGT [9.3.10] (26-34.52-54.91-100) (1'-110') -*Homo sapiens*IGLC3\*03 (100%) (111'-216')]; dimer (225-225''-228-228'')-bisdisulfide, produced in Chinese hamster ovary (CHO) cells  
*immunomodulator*

nipocalimab

immunoglobuline G1-lambda, anti-[*Homo sapiens* FCGRT (transporteur et récepteur du fragment Fc des IgG, récepteur Fc néonatal, FcRn, chaîne alpha transmembranaire du récepteur néonatal)], anticorps monoclonal *Homo sapiens*; chaîne lourde gamma1 *Homo sapiens* (1-445) [VH (*Homo sapiens*IGHV3-23\*01 (90.8%) -(IGHD) -IGHJ3\*01 (100%)) CDR-IMGT [8.8.9] (26-33.51-58.97-105) (1-116) -*Homo sapiens*IGHG1\*03 G1m3>G1m17, nG1m1, G1v29 CH2 A84.4 (CH1 R120>K (213) (117-214), charnière 1-15 (215-229), CH2 N84.4>A (296) (230-339), CH3 E12 (355), M14 (357) (340-444), CHS K2>del (445)) (117-445)], (219-215')-disulfure avec la chaîne légère lambda *Homo sapiens* (1'-216') [V-LAMBDA (*Homo sapiens*IGLV2-23\*01 (94.8%) -IGLJ1\*01 (100%)) CDR-IMGT [9.3.10] (26-34.52-54.91-100) (1'-110') -*Homo sapiens*IGLC3\*03 (100%) (111'-216')]; dimère (225-225''-228-228'')-bisdisulfure, produit dans des cellules ovariennes de hamster chinois (CHO)  
*immunomodulateur*

nipocalimab

inmunoglobulina G1-lambda, anti-[*Homo sapiens* FCGRT (transportador y receptor del fragmento Fc de las IgG, receptor Fc neonatal, FcRn, cadena alfa transmembranaria del receptor neonatal)], anticuerpo monoclonal *Homo sapiens*;

cadena pesada gamma1 *Homo sapiens* (1-445) [VH (*Homo sapiens* IGHV3-23\*01 (90.8%) -(IGHD) - IGHJ3\*01 (100%)) CDR-IMGT [8.8.9] (26-33.51-58.97-105) (1-116) -*Homo sapiens* IGHG1\*03 G1m3>G1m17, nG1m1, G1v29 CH2 A84.4 (CH1 R120>K (213) (117-214), bisagra 1-15 (215-229), CH2 N84.4>A (296) (230-339), CH3 E12 (355), M14 (357) (340-444), CHS K2>del (445)) (117-445)], (219-215')-disulfuro con la cadena ligera lambda *Homo sapiens* (1'-216') [V-LAMBDA (*Homo sapiens* IGLV2-23\*01 (94.8%) -IGLJ1\*01 (100%)) CDR-IMGT [9.3.10] (26-34.52-54.91-100) (1'-110') -*Homo sapiens* IGLC3\*03 (100%) (111'-216')]; dímero (225-225":228-228")-bisdisulfuro, producido por células ováricas de hamster chino (CHO) *inmunomodulador*

2211985-36-1

Heavy chain / Chaîne lourde / Cadena pesada  
 EVQLLESGGG LVQPGGSLRL SCAASGFTFS TYAMGWVRQA PGKGLEWVSS 50  
 IGASGSQTRY ADSVKGRFTI SRDNRKNTLY LQMNSLRAED TAVYYCARLA 100  
 IGDSYWGQGT MVTVSSASTK GPSVFPLAPS SKSTSGGTAA LGCLVKDYFP 150  
 EPVTVSWNSG ALTSGVHTFP AVLQSSGLYS LSSVTVVPS SLGTQTYICN 200  
 VNHKPSNTKV DKKVEPKSCD KHTCCPPCPA PELLGGPSVF LFPKPKDTL 250  
 MISRTPEVTC VVVDVSHEDP EVKFNMYVDG VEVHNAKTKP REEQYASTYR 300  
 VVSVLTVLHQ DWLNGKEYKC KVSINKALPAP IEKTIKAKG QPREPQVYTL 350  
 PPSREEMTKN QVSLTCLVRG FYPSDIAVEW ESNQGPENNY KTTTPVLDSD 400  
 GSFFLYSKLT VDKSRWQQGN VFSCVMHEA LHNHYTQKSL SLSPG 445

Light chain / Chaîne légère / Cadena ligera  
 QSALTQPASV SGSPGQSITI SCTGTGSDVG SYNLSVWYQQ HPGKAPKLM 50  
 YGDSERPSGV SNRFGSGKSG NTASLTISGL QAEDEADYIC SSYAGSGIYV 100  
 FGTGTKVTVL GQPKAAPSVT LFPPSSEELQ ANKATLVCLI SDFYPGAVTV 150  
 AWKADSSPVK AGVETTPPSK QSNNKYAASS YLSLTPEQWR SHKSYSCQVT 200  
 HEGSTVEKTV APTTECS 216

Post-translational modifications  
 Disulfide bridges location / Position des ponts disulfure / Posiciones de los puentes disulfuro  
 Intra-H (C23-C104) 22-96 143-199 260-320 366-424  
 22"-96" 143"-199" 260"-320" 366"-424"  
 Intra-L (C23-C104) 22"-90" 138"-197"  
 22"-90" 138"-197"  
 Inter-H-L (h 5-CL 126) 219-215' 219"-215"  
 Inter-H-H (h 11, h 14) 225-225" 228-228"

No N-glycosylation sites / pas de sites de N-glycosylation / ningún posición de N-glicosilación  
 H CH2 N84.4>A:  
 296, 296"

**olverembatinibum**  
 olverembatinib

4-methyl-N-{4-[(4-methylpiperazin-1-yl)methyl]-3-(trifluoromethyl)phenyl}-3-[(1*H*-pyrazolo[3,4-*b*]pyridin-5-yl)ethynyl]benzamide  
*tyrosine kinase inhibitor, antineoplastic*

olvérembatinib

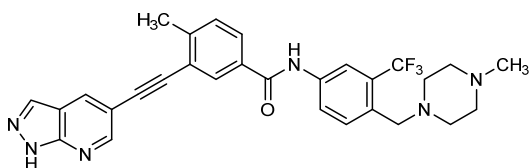
4-méthyl-N-{4-[(4-méthylpipérazin-1-yl)méthyl]-3-(trifluorométhyl)phényl}-3-[(1*H*-pyrazolo[3,4-*b*]pyridin-5-yl)éthynyl]benzamide  
*inhibiteur de la tyrosine kinase, antinéoplasique*

olverembatinib

4-metil-N-{4-[(4-metilpiperazin-1-il)metil]-3-(trifluorometil)fenil}-3-[(1*H*-pirazolo[3,4-*b*]piridin-5-il)etiniil]benzamid  
*inhibidor de la tirosina kinasa, antineoplásico*

C<sub>29</sub>H<sub>27</sub>F<sub>3</sub>N<sub>6</sub>O

1257628-77-5

**olvimulogenum nanivacirepvecum #**

olvimulogene nanivacirepvec

A recombinant replication-competent oncolytic vaccinia virus (strain L1VP) comprising the genes encoding a Renilla luciferase - green fluorescent protein fusion protein (ruc-gfp) and enzymes beta-galactosidase (lacZ) and beta-glucuronidase (gusA), inserted into the F14.5L, J2R (thymidine kinase) and A56R (hemagglutinin) loci, respectively. Expression of the three proteins is driven by a synthetic early/late promoter (pSEL), a vaccinia virus strain Western Reserve early/late p7.5 promoter and a vaccinia virus strain Western Reserve late p11 promoter, respectively. A human transferrin receptor gene has also been inserted in the J2R locus but is not expressed.  
*gene therapy (antineoplastic)*

olvimulogène nanivacirévec

virus de la vaccine recombinant répliquant oncolytique (souche L1VP) contenant les gènes codant pour une protéine de fusion luciférase de Renilla - protéine fluorescente verte (ruc-gfp) et des enzymes galactosidase bêta (lacZ) et glucuronidase bêta (gusA), insérés dans les loci F14.5L, J2R (thymidine kinase) and A56R (hémagglutinine), respectivement. L'expression des trois protéines est sous le contrôle d'un promoteur synthétique précoce/tardif (pSEL), d'un promoteur p7.5 précoce/tardif du virus de la vaccine souche Western Reserve et d'un promoteur p11 tardif du virus de la vaccine souche Western Reserve, respectivement. Un gène du récepteur de transférine humaine a aussi été inséré dans le locus J2R mais n'est pas exprimé.  
*thérapie génique (antineoplasique)*

olvimulogén nanivacirepvec

Un virus vaccinia recombinante (cepa L1VP) competente para replicación, oncolítico, que contiene los genes que codifican para una proteína de fusión de la luciferasa de Renilla y la proteína fluorescente verde (ruc-gfp) y para las enzimas beta-galactosidasa (LacZ) y beta-glucuronidasa (gusA), insertados en los loci F14.5L, J2R (timidina quinasea) y A56R (hemagglutina), respectivamente. La expresión de las tres proteínas está dirigida por un promotor temprano/tardío sintético (pSEL), un promotor p7.5 precoz/tardío de la cepa Western Reserve del virus vaccinia y un promotor p11 tardío de la cepa Western Reserve del virus vaccinia, respectivamente. Se ha insertado también un gen del receptor de transferrina humana en el locus J2R pero éste no se expresa.  
*terapia génica (antineoplásico)*

1473430-36-2

**omfiloctocogum alfa #**

omfiloctocog alfa

human coagulation factor VIII (FVIII, antihemophilic factor, AHF, procoagulant component) with deleted B-domain (746-1639)-sequence: single-chain recombinant FVIII composed of domains A1-a1-A2-a2 (1-740), the B-domain N- and C-terminal fragments (741-745) and 1640-1648 (746-754) and domains a3-A3-C1-C2 1649-2332 (755-1438), produced in Chinese hamster ovary (CHO) cells, glycoform alfa  
*blood coagulation factor*

omfiloctocog alfa

facteur de coagulation VIII humain (FVIII, facteur antihémophile, AHF, composant procoagulant) dont le domaine B a été supprimé (746-1639):  
chaîne unique du FVIII humain recombinant composé des domaines A1-a1-A2-a2 (1-740), des fragments N- et C-terminaux du domaine B (741-745) et 1640-1648 (746-754) et des domaines a3-A3-C1-C2 1649-2332 (755-1438), produit par des cellules ovariennes de hamster chinois (CHO), glycoforme alfa  
*facteur de coagulation sanguine*

omfiloctocog alfa

factor de coagulación VIII humano (FVIII, factor antihemofílico, AHF, componente procoagulante) con el dominio B que ha sido suprimido (746-1639):  
cadena única del FVIII humano recombinante compuesto de los dominios A1-a1-A2-a2 (1-740), de los fragmentos N- y C-terminal del dominio B (741-745) y 1640-1648 (746-754) y de los dominios a3-A3-C1-C2 1649-2332 (755-1438), producido por las células ováricas de hamster chino (CHO), glicofoma alfa  
*factor de coagulación sanguínea*

2249927-58-8

## Sequence / Séquence / Secuencia

ATRRYYLGAVAL	ELSDWYMQSD	LGELPVDARF	PPRVPKSFPF	NTSVVYKKTLL	50
FVEFTDHLFN	IAKPRPFWMG	LLGPTIQAEV	YDTVITLKN	MASHPVSLHA	100
VGVSYWKASE	GAEYDDQTSQ	REKEDDKVFP	GGSHTYVWQV	LKENGPMASD	150
PLCLTYSYLS	HVDLVKDLNS	GLIGALLVCR	EGSLAKEKTO	TLHKFILLFA	200
VFDEGKSWHS	ETKNSLMQDR	DAASARAWPK	MHTVNGYVNR	SLPGLIGCHR	250
KSVYWHVIGM	GTTPEVHSIF	LEIGHTFLVRN	HRQASLEISP	ITFLTAQTL	300
MDLGGQLLFC	HISSHQHDGM	EAYVKVDSCP	EHPQLRMKNN	EEAEDYDDL	350
TDSEMDVVRF	DDNSPSFPIQ	IRSVAKKHFK	TWVHYIAAEE	EDWDYAPLV	400
APDRSRYKSO	YLNNGPQRIG	RKYKVRVFMA	YDDETFKTR	AIQHESGILG	450
PLLYGEVGD	LLIFKNQAS	RFYNIYPHGI	TDVRLPYSRR	LPGVKHLKD	500
FPLPGEIFK	YKWTVTVEDG	PTKSDPRCLT	RYYSFVNME	RDLASGLIGP	550
LLICYKESVD	QRGNQIMSDK	RNVILFSVFD	ENRSWLTEN	IQRFLPNPAG	600
VQLEDEPEFOA	SNIMHSINGY	VFDSLQLSVC	LHEVAYWYIL	SIGAQTDFLS	650
VFGSYTFKH	KMVEEDTLTL	FFPSGETVFM	SMENPGLNIL	GCHNSDFENR	700
GMTALLKVS	CDKNTGDYVE	DSYEDISAYL	LSKNNAIIEPR	SFSQNPVPLK	750
RHQREITRPT	LQSDQEEIDY	DDTISVEMKK	EDFDIYDEDE	NQSPRSFQKK	800
TRHYFIAAVE	RLWDYGMSSS	PHVLRNRAQS	GSVPQKKVV	QSEFLDGSFT	850
QPLRYGELNE	HLGLLGPYIR	AEVEDNIMVT	FRNQASRPYS	FYSSLISYEE	900
DQRQGAEPK	NFVKNETKT	YFWKVQHMA	PTKDEFDCKA	WAYFSDVDLE	950
KDVHSGLIGP	LLVCHNTNLL	PAHGRQVTQV	EFALFFTTFD	ETKSWYPTEN	1000
MERNCRAPCN	IQMEDPTPKE	NYRFHAINGY	IMDTLPGLVN	AQDQIRRWYL	1050
LSMGSNENIH	SIHFSGHVFT	VRKKEEYKMA	LYNLYPGVFE	TVEMLPKAG	1100
IWRVECLIGE	HLHAGMSTLF	LVYSNKCQTP	LGMASGHIRD	FQITASGYG	1150
QWAPKLARLH	YSGSINAWST	KEPFSWIKVD	LLAFMIHGI	KTQGARQKFS	1200
SLYISQFIM	YSLDGGKQWT	YRGNSTGTLM	VFFGNVDSGG	TKHNIFNFP	1250
IARYIRLHPT	HYSIRSILRM	ELMGCDLNSC	SMPLGMESKA	ISDAQITASS	1300
YFTNMFATWS	PSKARLHLQG	RSNAWRPQVN	NPKEWLQVDF	QKTMKVGTVF	1350
TQGVKSLSTS	MYVKEFLISS	SQDGHQWTLF	FQNGKVKVQF	GNQDSFTFPV	1400
NSLDPPLLTR	YLRHHPQSWV	HQIALRMEVL	GCEAQDLY		1438

## Post-translational modifications

Disulfide bridges location / Position des ponts disulfure / Posiciones de los puentes disulfuro  
153-179, 248-329, 528-554, 630-711, 938-964, 1005-1009, 1127-1275, 1280-1432  
(Cys-SH: 310, 692, 1106)

Glycosylation sites / Sites de glycosylation / Posiciones de glicosilación  
N41, N239, N916, N1224

Fucosylated complex bi-antennary CHO-type glycans / Glycanes de type CHO bi-antennaires complexes fucosylés / Glicanos de tipo CHO biantenaricos complejos fucosilados

Tyr-sulfation sites / Sites de Tyr-sulfation / Posiciones de Tyr-sulfación  
346, 718, 719, 723, 770, 786

**onatasertibum**

onatasertib

7-[6-(2-hydroxypropan-2-yl)pyridin-3-yl]-1-(*trans*-4-methoxycyclohexyl)-3,4-dihydropyrazino[2,3-*b*]pyrazin-2(1*H*)-one  
*antineoplastica*

onatasertib

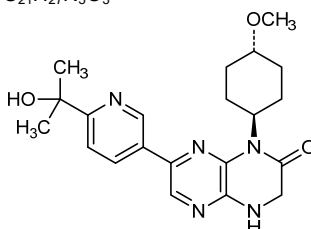
7-[6-(2-hydroxypropan-2-yl)pyridin-3-yl]-1-(*trans*-4-méthoxycyclohexyl)-3,4-dihydropyrazino[2,3-*b*]pyrazin-2(1*H*)-one  
*antinéoplasique*

onatasertib

7-[6-(2-hidroxiopropan-2-il)piridin-3-il]-1-(*trans*-4-metoxiciclohexil)-3,4-dihidropirazino[2,3-*b*]pirazin-2(1*H*)-ona  
*antineoplásico*

C<sub>21</sub>H<sub>27</sub>N<sub>5</sub>O<sub>3</sub>

1228013-30-6

**ongeriticimum #**

ongeriticimab

immunoglobulin G4-kappa, anti-[*Homo sapiens* PCSK9 (proprotein convertase subtilisin/kexin type 9, neural apoptosis-regulated convertase 1, NARC1, NARC-1, proprotein convertase 9, PC9)], humanized monoclonal antibody;  
gamma4 heavy chain (1-438) [VH (*Homo sapiens* IGHV4-59\*01 (79.2%) -(IGHD) - IGHJ1\*01 (100%)) CDR-IMGT [8.7.5] (26-33.51-57.96-100) (1-111) - *Homo sapiens* IGHG4\*01, G4v5 h P10 (CH1 (112-209), hinge 1-12 S10>P (219) (210-221), CH2 (222-331), CH3 (332-436), CHS (437-438)) (112-438)], (125-213')-disulfide with kappa light chain (1'-213') [V-KAPPA (*Homo sapiens* IGKV1-33\*01 (85.1%) - IGKJ1\*01 (100%)) CDR-IMGT [6.3.8] (27-32.50-52.89-96) (1'-106') - *Homo sapiens* IGKC\*01 (100%) Km3 A45.1 (152), V101 (190) (107'-213')];  
dimer (217-217":220-220")-bisdisulfide, produced in Chinese hamster ovary (CHO) cells, glycoform alfa  
*antihyperlipidaemic*

ongéricimab

immunoglobuline G4-kappa, anti-[*Homo sapiens* PCSK9 (proprotéine convertase subtilisine/kexine type 9, convertase 1 régulée par l'apoptose neuronale, NARC1, NARC-1, proprotéine convertase 9, PC9)], anticorps monoclonal humanisé;  
chaîne lourde gamma4 (1-438) [VH (*Homo sapiens* IGHV4-59\*01 (79.2%) -(IGHD) - IGHJ1\*01 (100%)) CDR-IMGT [8.7.5] (26-33.51-57.96-100) (1-111) - *Homo sapiens* IGHG4\*01, G4v5 h P10 (CH1 (112-209), charnière 1-12 S10>P (219) (210-221), CH2 (222-331), CH3 (332-436), CHS (437-438)) (112-438)], (125-213')-disulfure avec la chaîne légère kappa

(1'-213') [V-KAPPA (*Homo sapiens* IGKV1-33\*01 (85.1%) -IGKJ1\*01 (100%)) CDR-IMGT [6.3.8] (27-32.50-52.89-96) (1'-106') -*Homo sapiens* IGKC\*01 (100%) Km3 A45.1 (152), V101 (190) (107'-213')]; dimère (217-217":220-220")-bisdisulfure, produit dans des cellules ovariennes de hamster chinois (CHO), glycoforme alfa *antihyperlipidémiant*

ongeriticimab

inmunoglobulina G4-kappa, anti-[*Homo sapiens* PCSK9 (proteína convertasa subtilisina/kexina tipo 9, convertasa 1 regulada por la apoptosis neuronal, NARC1, NARC-1, proteína convertasa 9, PC9)], anticuerpo monoclonal humanizado; cadena pesada gamma4 (1-438) [VH (*Homo sapiens* IGHV4-59\*01 (79.2%) -(IGHD) - IGHJ1\*01 (100%)) CDR-IMGT [8.7.5] (26-33.51-57.96-100) (1-111) -*Homo sapiens* IGHG4\*01, G4v5 h P10 (CH1 (112-209), bisagra 1-12 S10>P (219) (210-221), CH2 (222-331), CH3 (332-436), CHS (437-438)) (112-438)], (125-213')-disulfuro con la cadena ligera kappa (1'-213') [V-KAPPA (*Homo sapiens* IGKV1-33\*01 (85.1%) -IGKJ1\*01 (100%)) CDR-IMGT [6.3.8] (27-32.50-52.89-96) (1'-106') -*Homo sapiens* IGKC\*01 (100%) Km3 A45.1 (152), V101 (190) (107'-213')]; dímero (217-217":220-220")-bisdisulfuro, producido por células ováricas de hamster chino (CHO), forma glicosilada alfa *antihyperlipidémico*

2145096-91-7

Heavy chain / Chaîne lourde / Cadena pesada

```

QVQLQESFG LKPKSQTLSL TCTVSGFSPIS SYGIHWIRQS PGKGLEWIGV 50
INRGGITDYN AFENSRVTIS KDNSKNQVWF KLSVTAADT AVYYCANHRD 100
WQCGTLTVTVS SASTKGPSVF PLAPCSRSTS ESTAALGCLV KDFPEPVTV 150
SNNSGALTSQ VHTFPAVLQS SGLYSLSSVY TVPSSSLGKT TYTCNVDRHKP 200
SNTKVDKRVK SKYGPCCPPC PAFELGGS VFLFPPKPKD TLMISRTPEV 250
TCVVDVDSQE DCKVSNKGLP SSEKTIKSKA KGPPEQVY TLPSPQEMT 300
HQDWLNGKEY RCKVSNKGLP SSEKTIKSKA KGPPEQVY TLPSPQEMT 350
KNQVSLTCLV KGFYPSDIAV EWESNGQFEN NYKTTPEVLD SDGSFFLYSR 400
LTVDKSRWQE GNVFSCVMH EALHNHYTQR SLSLSLGLK 438
    
```

Light chain / Chaîne légère / Cadena ligera

```

DIQMTQSPSS LSASVGRVIT ITCAASQDIN KYIDWYQHKP GKAPKLLIHY 50
ASTLQPGVPS RFSGSGSGRD YFTISSLQP EDIATYYCLQ YDDLWTFGGQ 100
TKVEIKRITVA AFSVFIPTPS DEQLKSGTAS VVCLLNNFYP REAKVQWKVD 150
NALQSGNSQE SVTEQDSKDS TYSLSSTLTL SKADYERHKV YACEVTHQGL 200
SSPVTKSFPNR GEC 213
    
```

Post-translational modifications

Disulfide bridges location / Position des ponts disulfure / Posiciones de los puentes disulfuro

Intra-H (C23-C104)	22 <sup>o</sup> -95"	138 <sup>o</sup> -194"	252 <sup>o</sup> -312"	358 <sup>o</sup> -416"
	22 <sup>o</sup> -95"	138 <sup>o</sup> -194"	252 <sup>o</sup> -312"	358 <sup>o</sup> -416"
Intra-L (C23-C104)	23 <sup>o</sup> -88"	133 <sup>o</sup> -193"		
	23 <sup>o</sup> -88"	133 <sup>o</sup> -193"		
Inter-H-L (CH1 10-CL 126)	125-213'	125 <sup>o</sup> -213"		
Inter-H-H (h 8, h 11)	217-217"	220-220"		

N-glycosylation sites / Sites de N-glycosylation / Posiciones de N-glicosilación

HCH2 N84.4:  
288, 288"

Fucosylated complex bi-antennary CHO-type glycans / glycanes de type CHO bi-antennaires complexes fucosylés / glicanos de tipo CHO biantennarios complejos fucosilados

**ontorpaceptum #**  
ontorpacept

human signal-regulatory protein alpha (SIRPα, tyrosine-protein phosphatase non-receptor type substrate 1, inhibitory receptor SHPS-1), (L<sup>14</sup>>S, T<sup>20</sup>>S, T<sup>22</sup>>I, R<sup>24</sup>>H, A<sup>27</sup>>V, G<sup>45</sup>>A, D<sup>65</sup>>E, L<sup>66</sup>>S, N<sup>70</sup>>E, R<sup>77</sup>>S, G<sup>79</sup>>S, D<sup>101</sup>>del, V<sup>102</sup>>T<sup>101</sup>)-variant, N-terminal (1-118)-fragment [binding domain for CD47 (inhibitor of phagocytosis by macrophages)], fused to a human immunoglobulin G1 C-terminal Fc fragment (119-345), dimer (124-124':127-127')-bisdisulfide, produced in Chinese hamster ovary (CHO) cells, glycoform alfa *antineoplastica*

ontorpacept

protéine régulatoire de signal alpha, humaine (SIRP $\alpha$ , substrat 1 de type non-récepteur de la tyrosine-protéine phosphatase, récepteur inhibitoire SHPS-1), (L<sup>14</sup>>S, T<sup>20</sup>>S, T<sup>22</sup>>I, R<sup>24</sup>>H, A<sup>27</sup>>V, G<sup>45</sup>>A, D<sup>65</sup>>E, L<sup>66</sup>>S, N<sup>70</sup>>E, R<sup>77</sup>>S, G<sup>79</sup>>S, D<sup>101</sup>>del, V<sup>102</sup>>T<sup>101</sup>)-variant, fragment N-terminal (1-118) [domaine se liant au CD47 (inhibiteur de la phagocytose par les macrophages)], fusionnée au fragment Fc C-terminal de l'immunoglobuline G1 (119-345), dimère (124-124':127-127')-bisdisulfure, produit dans des cellules ovariennes de hamster chinois (CHO), glycoforme alfa  
*antineoplasique*

ontorpacept

proteína reguladora de señal alfa, humana (SIRP $\alpha$ , sustrato 1 de tipo no-receptor de la tirosina-proteína fosfatasa, receptor inhibidor SHPS-1), (L<sup>14</sup>>S, T<sup>20</sup>>S, T<sup>22</sup>>I, R<sup>24</sup>>H, A<sup>27</sup>>V, G<sup>45</sup>>A, D<sup>65</sup>>E, L<sup>66</sup>>S, N<sup>70</sup>>E, R<sup>77</sup>>S, G<sup>79</sup>>S, D<sup>101</sup>>del, V<sup>102</sup>>T<sup>101</sup>)-variante, fragmento N-terminal (1-118) [dominio unido al CD47 (inhibidor de la fagocitosis por los macrófagos)], fusionado con el fragmento Fc C-terminal de la inmunoglobulina G1 (119-345), dímero (124-124':127-127')-bisdisulfuro, producido en las células ováricas de hamster chino (CHO), glicofoma alfa  
*antineoplásico*

2131089-46-6

## Sequence / Séquence / Secuencia

EEELQVIQPD KSVSVAAGES AILHCTVTSL IPVGPIQWFR GAGPARELIY	50
NQKEGHFFRV TTVSESTKRE NMDFSISISN ITPADAGTYI CVKFRKGS PD	100
TEFKSGAGTE LSVRAKPSDK THTCFPCPAP ELLGGPSVFL FPPKPKDTLM	150
ISRTPEVTCV VVDVSHEDPE VKFNWYVDGV EVHNARTKPR EEQYNSTYRV	200
VSVLTVLHQD WLNGKEYKCK VSNKALPAPI EKTISKAKGQ PREPQVYTLF	250
PSRDELTKNQ VSLTCLVKG F YPSDIAVEWE SNGQPENNYK TTPPVLDSDG	300
SFFLYSKLTV DKSRWQGGNV FSCSVMEAL HNHYTQKSL S LSPGK	345

## Post-translational modifications

Disulfide bridges location / Position des ponts disulfure / Posiciones de los puentes disulfuro  
intra-chain 25-91' 159-219' 265-323'  
25-91' 159-219' 265-323'  
inter-chain: 124-124' 127-127'

## Glycosylation sites / Sites de glycosylation / Posiciones de glicosilación

N80, N195, N80', N195'

Fucosylated complex bi-antennary CHO-type glycans / Glycanes de type CHO bi-antennaires complexes fucosylés / Glicanos de tipo CHO biantenarijos complejos fucosilados

C-terminal lysine clipping / Coupeure de la lysine C-terminale / supresión de lisina C-terminal  
H CHS K2: 345, 345'

**opocolimabum #**  
opocolimab

immunoglobulin G1-lambda, anti-[*Homo sapiens* CD274 (programmed death ligand 1, PDL1, PD-L1, B7 homolog 1, B7H1)], monoclonal antibody;  
gamma1 heavy chain (1-453) [VH (*Homo sapiens* IGHV3-21\*01 (94.9%) -(IGHD) -IGHJ3\*01 (93.3%))] [8.8.16] (1-123) -*Homo sapiens* IGHG1\*03v G1m3>G1m17, nG1m1 (CH1 R120>K (220) (124-221), hinge 1-15 (222-236), CH2 N84.4>A (303) (237-346), CH3 E12 (362), M14 (364) (347-451), CHS (452-453)) (124-453)], (226-214')-disulfide with lambda light chain humanized (1'-214') [V-LAMBDA (*Homo sapiens* IGLV1-51\*01 (82.3%) -IGLJ2\*01 (100%))] [8.3.10] (1'-109') -*Homo sapiens* IGLC3\*03 (98.1%) K119>R (207), P123>L (211) (110'-214')];  
dimer (232-232":235-235")-bisdisulfide, produced in Chinese hamster ovary (CHO) cells  
*immunomodulator, antineoplastic*

opucolimab

immunoglobuline G1-lambda, anti-[*Homo sapiens* CD274 (ligand 1 de mort programmée, PDL1, PD-L1, homologue 1 de B7, B7H1)], anticorps monoclonal; chaîne lourde gamma1 (1-453) [VH (*Homo sapiens* IGHV3-21\*01 (94.9%) -(IGHD) -IGHJ3\*01 (93.3%))] [8.8.16] (1-123) -*Homo sapiens* IGHG1\*03v G1m3>G1m17, nG1m1 (CH1 R120>K (220) (124-221), charnière 1-15 (222-236), CH2 N84.4>A (303) (237-346), CH3 E12 (362), M14 (364) (347-451), CHS (452-453)) (124-453)], (226-214')-disulfure avec la chaîne légère (1'-214') [V-LAMBDA (*Homo sapiens* IGLV1-51\*01 (82.3%) -IGLJ2\*01 (100%))] [8.3.10] (1'-109') -*Homo sapiens* IGLC3\*03 (98.1%) K119>R (207), P123>L (211) (110'-214')]; dimère (232-232":235-235")-bisdisulfure, produit dans des cellules ovariennes de hamster chinois (CHO) *immunomodulateur, antinéoplasique*

opucolimab

immunoglobulina G1-lambda, anti-[*Homo sapiens* CD274 (ligando 1 de muerte programada, PDL1, PD-L1, homólogo 1 de B7, B7H1)], anticuerpo monoclonal; cadena pesada gamma1 (1-453) [VH (*Homo sapiens* IGHV3-21\*01 (94.9%) -(IGHD) -IGHJ3\*01 (93.3%))] [8.8.16] (1-123) -*Homo sapiens* IGHG1\*03v G1m3>G1m17, nG1m1 (CH1 R120>K (220) (124-221), bisagra 1-15 (222-236), CH2 N84.4>A (303) (237-346), CH3 E12 (362), M14 (364) (347-451), CHS (452-453)) (124-453)], (226-214')-disulfuro con la cadena ligera lambda (1'-214') [V-LAMBDA (*Homo sapiens* IGLV1-51\*01 (82.3%) -IGLJ2\*01 (100%))] [8.3.10] (1'-109') -*Homo sapiens* IGLC3\*03 (98.1%) K119>R (207), P123>L (211) (110'-214')]; dímero (232-232":235-235")-bisdisulfuro, producido por células ováricas de hamster chino (CHO) *immunomodulador, antineoplásico*

2251771-79-4

Heavy chain / Chaîne lourde / Cadena pesada

```
EVQLVQSGGGG LVKPGGSLRL SCAASGFTFS SYTMNWVRQA PGKGLEWVSS 50
ISSGSDYLYY ADSVKGRTI SRDNAKNSLY LQMNSLRAED TAVYYCARNE 100
LRWYPOAGAF DRWGQGTMTV VSSASTKGPS VFPLAPSSKS TSGGTAALGC 150
LVKDYFPEPV TVSWNSGALT SGVHTFPAVL QSSGLYSLSL VVTVPSSSLG 200
TQTYICNVNH KPSNTKVDK VEPKSCDKTH TCPPCPAPEL LGGPSVFLFP 250
PKPKDTLMIS RTPEVTCVIV DVSHEDEPKV FNYVVDGVEV HNAKTKPREE 300
QYASTYRVVS VLTVLHQDWL NGKEYCKKVS NKALPAPIEK TISKAGQPR 350
EPQVYTLFPS REEMTKNQVS LTCLVKGFYP SDIAVEWESN GQFENNYKTT 400
PPVLDSDGSF FLYSKLTVDK SRWQQGNVFS CSVMHEALHN HYTQKLSLSL 450
PGK 453
```

Light chain / Chaîne légère / Cadena ligera

```
QSVVTPQPSM SAAPQRVTI SCSGSSSYIE SSVYGWYQQL PGTAPRLLIY 50
DDDMRPSGIP DRFSGSKSGT SATLAITGLQ TGDEADYVCE IWRSGLGGVF 100
GGGKTLTVLS QPKAAPSVTL FPPSSEELQA NKATLVCLIS DFYPGAIVTA 150
WKADSSPVKA GVETTTPSKQ SNNKYAASSY LSLTPEQWKS HKSYSCQVTH 200
EGSTVERTVA LTEC 214
```

Post-translational modifications

Disulfide bridges location / Position des ponts disulfure / Posiciones de los puentes disulfuro

Intra-H (C23-C104) 22-96 150-206 267-327 373-431  
 22"-96" 150"-206" 267"-327" 373"-431"  
 Intra-L (C23-C104) 22"-89" 137"-196"  
 22"-89" 137"-196"  
 Inter-H-L (h 5-CL 126) 226-214' 226"-214"  
 Inter-H-H (h 11, h 14) 232-232" 235-235"

No N-glycosylation sites / pas de sites de N-glycosylation / ningún posición de N-glicosilación:

H CH2 N84.4>A:  
 303, 303"

C-terminal lysine clipping:

H CHS K2:  
 453, 453"

**orelabrutinibum**

orelabrutinib

2-(4-phenoxyphenyl)-6-[1-(prop-2-enoyl)piperidin-4-yl]pyridine-3-carboxamide  
*Bruton tyrosine kinase inhibitor*

orélabrutinib

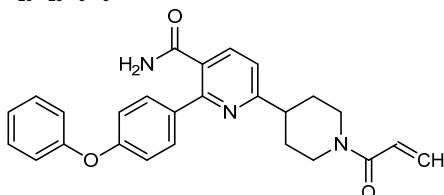
2-(4-phénoxyphényl)-6-[1-(prop-2-énoyl)pipéridin-4-yl]pyridine-3-carboxamide  
*inhibiteur de la tyrosine kinase de Bruton*

orelabrutinib

2-(4-fenoxifenil)-6-[1-(prop-2-enoil)piperidin-4-il]piridina-3-carboxamida  
*inhibidor de la tirosina kinasa de Bruton*

C<sub>26</sub>H<sub>25</sub>N<sub>3</sub>O<sub>3</sub>

1655504-04-3

**orvacabtagenum autoleucelum #**

orvacabtagene autoleucel

autologous CD4+ and CD8+ T lymphocytes obtained from peripheral blood mononuclear cells (PBMC), transduced *ex vivo* with a replication-incompetent, self-inactivating (SIN) lentiviral vector, encoding a chimeric antigen receptor (CAR) consisting of the human B cell maturation antigen (BCMA)-specific scFv, an IgG4-CH2-CH3 hinge region, CD28 transmembrane domain, CD137 (4-1BB) co-stimulatory domain and CD3 zeta signalling domain, under the control of a hybrid Elongation Factor 1 alpha (EF1 $\alpha$ ) / Human T cell Leukemia Virus (HTLV) R element promoter. The vector also encodes a truncated human epidermal growth factor receptor (EGFRt) that is expressed separately from the CAR on the cell surface.  
*genetically modified cell (antineoplastic)*

orvacabtagène autoleucel

lymphocytes T autologues CD4+ and CD8+ obtenus de cellules mononuclées du sang périphérique (PBMC), transduits *ex vivo* avec un vecteur lentiviral non-répliquant, auto-inactif (SIN) codant pour un récepteur d'antigène chimérique (CAR) ciblant l'antigène spécifique du scFv de maturation des lymphocytes B (BCMA) humain, une région charnière IgG4-CH2-CH3, un domaine transmembranaire du CD28, un domaine co-stimulateur du CD137 (4-1BB), et un domaine de signalisation CD3 zêta, sous le contrôle d'un promoteur hybride du facteur d'élongation 1-alpha humain (EF1 $\alpha$ ) / élément R du virus du lymphome humain à cellules T (HTLV). Le vecteur exprime un récepteur du facteur de croissance des cellules épidermiques humain tronqué (EGFRt) qui est exprimé séparément du CAR à la surface de la cellule  
*cellule génétiquement modifiée (antineoplasique)*

orvacabtagén autoleucel      linfocitos T CD4+ y CD8+ autólogos obtenidos de células mononucleares de sangre periférica, transducidos con un vector lentiviral auto inactivante e incompetente para replicación, que codifica un receptor para antígenos quimérico (CAR) consistente en un ssFv específico del antígeno de maduración de linfocitos B humano (BCMA), una región bisagra IgG4-CH2-CH3, un dominio transmembrana de CD28, un dominio coestimulador de CD137 (4-1BB) y un dominio de señalización de CD3 zeta, bajo el control de un promotor híbrido del Factor de Elongación 1 alfa (EF1α) / elemento R del virus de la leucemia de células T (HTLV) humana. El vector también codifica para una forma truncada del receptor del factor de crecimiento epidérmico (EGFRt) humano que se expresa separado del CAR en la superficie celular.  
*célula genéticamente modificada (antineoplásico)*

**osoresnontrinum**

osoresnontrine

1-(oxan-4-yl)-6-[(pyridin-2-yl)methyl]-1,5-dihydro-4H-pyrazolo[3,4-d]pyrimidin-4-one  
*phosphodiesterase 9 (PDE9) inhibitor*

osoresnontrine

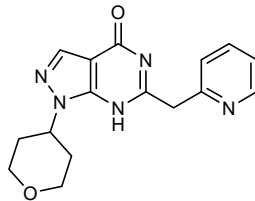
1-(oxan-4-yl)-6-[(pyridin-2-yl)méthyl]-1,5-dihydro-4H-pyrazolo[3,4-d]pyrimidin-4-one  
*inhibiteur de la phosphodiesterase 9 (PDE9)*

osoresnontrina

1-(oxan-4-il)-6-[(piridin-2-il)metil]-1,5-dihidro-4H-pirazolo[3,4-d]pirimidin-4-ona  
*inhibidor de la fosfodiesterasa 9 (PDE9)*

C<sub>16</sub>H<sub>17</sub>N<sub>5</sub>O<sub>2</sub>

1189767-28-9

**pelacarsenum**

pelacarsen

*all-P-ambo-5'-O-(28-[(2-acetamido-2-deoxy-β-D-galactopyranosyl)oxy]-16,16-bis{[3-({6-[(2-acetamido-2-deoxy-β-D-galactopyranosyl)oxy]hexyl)amino]-3-oxoproxy)methyl}-1-hydroxy-1,10,14,21-tetraoxo-2,18-dioxo-9,15,22-triaza-1λ<sup>5</sup>-phosphaoctacosan-1-yl)-2'-O-(2-methoxyethyl)-5-methyl-P-thiouridylyl-(3'→5')-2'-O-(2-methoxyethyl)guanylyl-(3'→5')-2'-O-(2-methoxyethyl)-5-methylcytidylyl-(3'→5')-2'-O-(2-methoxyethyl)-5-methylcytidylyl-(3'→5')-2'-O-(2-methoxyethyl)-5-methylcytidylyl-(3'→5')-2'-deoxy-5-methyl-P-thiocytidylyl-(3'→5')-2'-deoxy-P-thioguanilyl-(3'→5')-P-thiothymidylyl-(3'→5')-P-thiothymidylyl-(3'→5')-2'-deoxy-P-thioguanilyl-(3'→5')-2'-deoxy-P-thioguanilyl-(3'→5')-P-thiothymidylyl-(3'→5')-2'-deoxy-P-thioguanilyl-(3'→5')-2'-deoxy-5-methyl-P-thiocytidylyl-(3'→5')-P-thiothymidylyl-(3'→5')-2'-O-(2-methoxyethyl)-5-methyluridylyl-(3'→5')-2'-O-(2-methoxyethyl)guanylyl-(3'→5')-2'-O-(2-methoxyethyl)-5-methyl-P-thiouridylyl-(3'→5')-2'-O-(2-methoxyethyl)-5-methyl-P-thiouridylyl-(3'→5')-2'-O-(2-methoxyethyl)-5-methylcytidine*  
*hypolipidaemic*

pélacarsen

*tout-P-ambo-5'-O-(28-[(2-acétamido-2-désoxy-β-D-galactopyranosyl)oxy]-16,16-bis[[3-({6-[(2-acétamido-2-désoxy-β-D-galactopyranosyl)oxy]hexyl)amino]-3-oxopropoxy]méthyl]-1-hydroxy-1,10,14,21-tétraoxo-2,18-dioxa-9,15,22-triaza-1λ<sup>5</sup>-phosphaoctacosan-1-yl)-2'-O-(2-méthoxyéthyl)-5-méthyl-P-thiouridylyl-(3'→5')-2'-O-(2-méthoxyéthyl)guanylyl-(3'→5')-2'-O-(2-méthoxyéthyl)-5-méthylcytidylyl-(3'→5')-2'-O-(2-méthoxyéthyl)-5-méthyluridylyl-(3'→5')-2'-O-(2-méthoxyéthyl)-5-méthylcytidylyl-(3'→5')-2'-désoxy-5-méthyl-P-thiocydidylyl-(3'→5')-2'-désoxy-P-thioguanilyl-(3'→5')-P-thiothymidylyl-(3'→5')-P-thiothymidylyl-(3'→5')-2'-désoxy-P-thioguanilyl-(3'→5')-P-thiothymidylyl-(3'→5')-2'-désoxy-P-thioguanilyl-(3'→5')-P-thiothymidylyl-(3'→5')-2'-désoxy-P-thioguanilyl-(3'→5')-2'-désoxy-5-méthyl-P-thiocydidylyl-(3'→5')-P-thiothymidylyl-(3'→5')-2'-O-(2-méthoxyéthyl)-5-méthyluridylyl-(3'→5')-2'-O-(2-méthoxyéthyl)guanylyl-(3'→5')-2'-O-(2-méthoxyéthyl)-5-méthyl-P-thiouridylyl-(3'→5')-2'-O-(2-méthoxyéthyl)-5-méthyl-P-thiouridylyl-(3'→5')-2'-O-(2-méthoxyéthyl)-5-méthylcytidine*  
*hypolipémiant*

pelacarsén

*todo-P-ambo-5'-O-(28-[(2-acetamido-2-desoxi-β-D-galactopiranosil)oxi]-16,16-bis[[3-({6-[(2-acetamido-2-desoxi-β-D-galactopiranosil)oxi]hexil)amino]-3-oxopropoxi]metil]-1-hidroxi-1,10,14,21-tetraoxo-2,18-dioxa-9,15,22-triaza-1λ<sup>5</sup>-fosfaoctacosan-1-il)-2'-O-(2-metoxietil)-5-metil-P-tiouridilil-(3'→5')-2'-O-(2-metoxietil)guanilil-(3'→5')-2'-O-(2-metoxietil)-5-metilcitudilil-(3'→5')-2'-O-(2-metoxietil)-5-metiluridilil-(3'→5')-2'-O-(2-metoxietil)-5-metilcitudilil-(3'→5')-2'-desoxi-5-metil-P-tiocitidilil-(3'→5')-2'-desoxi-P-tioguanilil-(3'→5')-P-tiotimidilil-(3'→5')-P-tiotimidilil-(3'→5')-2'-desoxi-P-tioguanilil-(3'→5')-2'-desoxi-P-tioguanilil-(3'→5')-2'-desoxi-P-tioguanilil-(3'→5')-2'-desoxi-P-tioguanilil-(3'→5')-2'-desoxi-5-metil-P-tiocitidilil-(3'→5')-P-tiotimidilil-(3'→5')-2'-O-(2-metoxietil)-5-metiluridilil-(3'→5')-2'-O-(2-metoxietil)guanilil-(3'→5')-2'-O-(2-metoxietil)-5-metil-P-tiouridilil-(3'→5')-2'-O-(2-metoxietil)-5-metil-P-tiouridilil-(3'→5')-2'-O-(2-metoxietil)-5-metilcitudina*  
*hipolipédémico*

C<sub>296</sub>H<sub>439</sub>N<sub>71</sub>O<sub>163</sub>P<sub>20</sub>S<sub>13</sub>

1637637-70-7

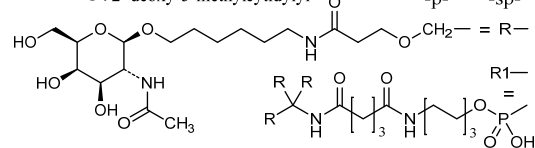
(3'→5') R1-U-G-C-U-C-d(C=G=T=T=G=G=T=G=C=T)U-G-U=C

**Legend:** C & U : 2'-O-(2-methoxyethyl)-5-methylnucleotide

A &amp; G : 2'-O-(2-methoxyethyl)nucleotide

A, G &amp; T : 2'-deoxynucleotide

C : 2'-deoxy-5-methylcytidylyl

**pelcitocloxum**

pelcitoclox

(3-[[[(10R)-1<sup>4</sup>-chloro-3<sup>5</sup>-fluoro-2<sup>4</sup>-(methanesulfonyl)-2<sup>5</sup>-methyl-7,7-dioxo-10-[(phenylsulfonyl)methyl]-2<sup>1</sup>-(propan-2-yl)-8<sup>3</sup>-(trifluoromethanesulfonyl)-2<sup>1</sup>H-7λ<sup>6</sup>-thia-6,9-diaza-4(1,4)-piperazina-13(1)-piperidina-2(2,3)-pyrrola-1(1),3(1,3),5,8(1,4)-tetrabenzatridecaphane-13<sup>4</sup>-carbonyl]oxy]propyl]phosphonic acid  
*antineoplastica*

pelcitoclax

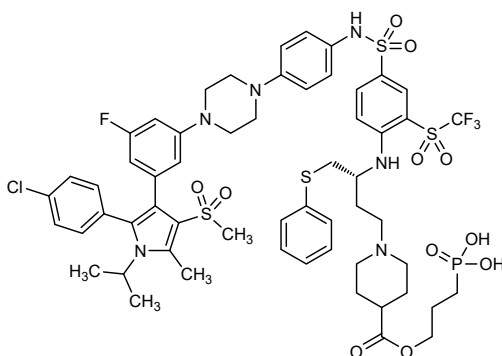
acide (3-[[[(10*R*)-1<sup>4</sup>-chloro-3<sup>5</sup>-fluoro-2<sup>4</sup>-(méthanesulfonyl)-2<sup>5</sup>-méthyl-7,7-dioxo-10-[(phénylsulfanyl)méthyl]-2<sup>1</sup>-(propan-2-yl)-8<sup>3</sup>-(trifluorométhanesulfonyl)-2<sup>1</sup>*H*-7<sup>6</sup>-thia-6,9-diaza-4(1,4)-pipérazina-13(1)-pipéridina-2(2,3)-pyrrola-1(1),3(1,3),5,8(1,4)-tétrabenzénatridécaphane-13<sup>4</sup>-carbonyl]oxy}propyl)phosphonique  
*antineoplasique*

pelcitoclax

ácido (3-[[[(10*R*)-1<sup>4</sup>-cloro-10-[(fenilsulfanil)metil]-3<sup>5</sup>-fluoro-2<sup>4</sup>-(metanosulfonyl)-2<sup>5</sup>-metil-7,7-dioxo-2<sup>1</sup>-(propan-2-il)-8<sup>3</sup>-(trifluorometanosulfonyl)-2<sup>1</sup>*H*-7<sup>6</sup>-tia-6,9-diaza-4(1,4)-piperazina-13(1)-piperidina-2(2,3)-pirrola-1(1),3(1,3),5,8(1,4)-tetrabencenatridecafano-13<sup>4</sup>-carbonil]oxi}propil)fosfónico  
*antineoplásico*

C<sub>57</sub>H<sub>66</sub>ClF<sub>4</sub>N<sub>6</sub>O<sub>11</sub>PS<sub>4</sub>

1619923-36-2



pexopiprantum

pexopiprant

{{8-chloro-3-[(4-chlorophényl)méthyl]-4-(difluorométhoxy)-2-éthylquinolin-5-yl}oxy}acetic acid  
*prostaglandin receptor antagonist*

pexopiprant

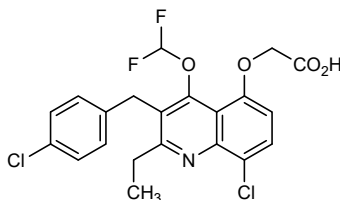
acide {{8-chloro-3-[(4-chlorophényl)méthyl]-4-(difluorométhoxy)-2-éthylquinoléin-5-yl}oxy}acétique  
*antagoniste du récepteur des prostaglandines*

pexopiprant

ácido {{8-cloro-3-[(4-clorofenil)metil]-4-(difluorometoxi)-2-etilquinolin-5-il}oxi}acético  
*antagonista del receptor de las prostaglandinas*

C<sub>21</sub>H<sub>17</sub>Cl<sub>2</sub>F<sub>2</sub>NO<sub>4</sub>

932708-14-0



**pimurutamabum #**  
pimurutamab

immunoglobulin G1-kappa, anti-[*Homo sapiens* EGFR (epidermal growth factor receptor, receptor tyrosine-protein kinase erbB-1, ERBB1, HER1, HER-1, ERBB)], humanized monoclonal antibody;  
gamma1 heavy chain humanized (1-449) [VH (*Homo sapiens* IGHV3-48\*03 (78.6%) -(IGHD) -IGHJ3\*01 (85.7%)) [8.7.13] (1-119) -*Homo sapiens* IGHG1\*03 (100%) G1m3, nG1m1 (CH1 R120 (216) (120-217), hinge 1-15 (218-232), CH2 (233-342), CH3 E12 (358), M14 (360) (343-447), CHS (448-449)) (120-449)], (222-214')-disulfide with kappa light chain humanized (1'-214') [V-KAPPA (*Homo sapiens* IGKV3-11\*01 (85.3%) -IGKJ4\*01 (90.9%)) [6.3.9] (1'-107') -*Homo sapiens* IGKC\*01 (100%) Km3 A45.1 (153), V101 (191) (108'-214')];  
dimer (228-228":231-231")-bisdisulfide, produced in Chinese hamster ovary (CHO) cells, glycoform alfa  
*immunomodulator, antineoplastic*

pimurutamab

immunoglobuline G1-kappa, anti-[*Homo sapiens* EGFR (récepteur du facteur de croissance épidermique, récepteur tyrosine-protéine kinase erbB-1, ERBB1, HER1, HER-1, ERBB)], anticorps monoclonal humanisé;  
chaîne lourde gamma1 humanisée (1-449) [VH (*Homo sapiens* IGHV3-48\*03 (78.6%) -(IGHD) -IGHJ3\*01 (85.7%)) [8.7.13] (1-119) -*Homo sapiens* IGHG1\*03 (100%) G1m3, nG1m1 (CH1 R120 (216) (120-217), charnière 1-15 (218-232), CH2 (233-342), CH3 E12 (358), M14 (360) (343-447), CHS (448-449)) (120-449)], (222-214')-disulfure avec la chaîne légère kappa humanisée (1'-214') [V-KAPPA (*Homo sapiens* IGKV3-11\*01 (85.3%) -IGKJ4\*01 (90.9%)) [6.3.9] (1'-107') -*Homo sapiens* IGKC\*01 (100%) Km3 A45.1 (153), V101 (191) (108'-214')];  
dimère (228-228":231-231")-bisdisulfure, produit dans des cellules ovariennes de hamster chinois (CHO), glycoforme alfa  
*immunomodulateur, antinéoplasique*

pimurutamab

inmunoglobulina G1-kappa, anti-[*Homo sapiens* EGFR (receptor del factor de crecimiento epidérmico, receptor tirosina-proteína kinasa erbB-1, ERBB1, HER1, HER-1, ERBB)], anticuerpo monoclonal humanizado;  
cadena pesada gamma1 humanizada (1-449) [VH (*Homo sapiens* IGHV3-48\*03 (78.6%) -(IGHD) -IGHJ3\*01 (85.7%)) [8.7.13] (1-119) -*Homo sapiens* IGHG1\*03 (100%) G1m3, nG1m1 (CH1 R120 (216) (120-217), bisagra 1-15 (218-232), CH2 (233-342), CH3 E12 (358), M14 (360) (343-447), CHS (448-449)) (120-449)], (222-214')-disulfuro con la cadena ligera kappa humanizada (1'-214') [V-KAPPA (*Homo sapiens* IGKV3-11\*01 (85.3%) -IGKJ4\*01 (90.9%)) [6.3.9] (1'-107') -*Homo sapiens* IGKC\*01 (100%) Km3 A45.1 (153), V101 (191) (108'-214')];  
dímero (228-228":231-231")-bisdisulfuro, producido por células ováricas de hamster chino (CHO), forma glicosilada alfa  
*immunomodulador, antineoplásico*

2251771-76-1

Heavy chain / Chaîne lourde / Cadena pesada

EVQLVESGGG LVQPGGSLRL SCAASGSFLT NYGVHWVRQA PGKLEWLVG 50  
 IWSGGNTDYG NEFTSRFTIS RDNAKNSLYL QMNSLRADT AVYYCARALD 100  
 YYDYEFAYWG QGTMTVYSSA STKGPSVFLP APSKSTSGG TAALGCLVKD 150  
 YFPEFVTVSN NSGALTSGVH TFPVLOSSG LYSLSVVTVV PSSSLGTQTY 200  
 ICNWNHKPSN TKYDKRVEPK SCDKTHTCPD CPAPPELLGGF SVFLFPPKPK 250  
 DTLMI SRTPE VTCVVVDVSH EDPEVKFNWY VDGVEVHNAK TKPREQYNS 300  
 TYRVSIVLTV LHQDMLNGKE YKCKVSNKAL PAPIEKTISK AKGQPREPQV 350  
 YTLFPPSREEM TKMQVSLTCL VKGFYPSDIA VEWESNGQPE NNYKTTPEVL 400  
 DSDGSEFFLYS KLTVDKSRWQ QGNVFSCSVM HEALHNHYTQ KSLSLSPGK 449

Light chain / Chaîne légère / Cadena ligera

EIVLTQSPAT LSLSPGERAT LSCRASQSIG TNIHWYQQKQ GPAPRLLIKY 50  
 ASESISGIPA RFSGGSGSTD FTLTISLLEP EDFAVYYCQO MNNWPTSEGG 100  
 GTKVEIKRTV AAPSVFIFPP SDEQLKSGTA SVVCLLNIFY PRAKVKWVK 150  
 DNALQSGNSQ ESVTEQDSKD STYLSSTLT LSKADYEHK K VYACEVTHQG 200  
 LSSFPVTKSFN RGEC 214

Post-translational modifications

Disulfide bridges location / Position des ponts disulfure / Posiciones de los puentes disulfuro

Intra-H (C23-C104) 22-95 146-202 263-323 369-427  
 22"-95" 146"-202" 263"-323" 369"-427"  
 Intra-L (C23-C104) 23'-88" 134'-194'  
 23"'-88"' 134"'-194"  
 Inter-H-L (h 5-CL 126) 222-214" 222"-214"  
 Inter-H-H (h 11, h 14) 228-228" 231-231"

N-glycosylation sites / Sites de N-glycosylation / Posiciones de N-glicosilación

HCH2 N84.4:

299, 299"

Fucosylated complex bi-antennary CHO-type glycans / glycanes de type CHO bi-antennaires

complexes fucosylés / glycanes de tipo CHO biantennarios complejos fucosilados

C-terminal lysine clipping:

HCHS K2:

449, 449"

**posenacftorum**  
 posenacftor

8-methyl-2-(3-methyl-1-benzofuran-2-yl)-5-[(1R)-1-(oxan-4-yl)ethoxy]quinoline-4-carboxylic acid  
*cystic fibrosis transmembrane regulator (CFTR) protein modulator*

posénacftor

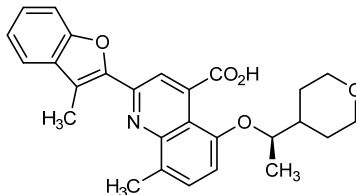
acide 8-méthyl-2-(3-méthyl-1-benzofuran-2-yl)-5-[(1R)-1-(oxan-4-yl)éthoxy]quinoléine-4-carboxylique  
*modulateur de la protéine régulatrice de la perméabilité transmembranaire impliquée dans la mucoviscidose (CFTR)*

posenacftor

ácido 8-metil-2-(3-metil-1-benzofuran-2-il)-5-[(1R)-1-(oxan-4-il)etoxi]quinolina-4-carboxílico  
*modulador de la proteína reguladora de la conductancia transmembrana de la fibrosis quística (CFTR)*

C<sub>27</sub>H<sub>27</sub>NO<sub>5</sub>

2095064-05-2





kappa light chain humanized (1'-214') [V-KAPPA (*Homo sapiens* IGKV1-6\*01 (81.6%) -IGKJ2\*02 (90.9%)) CDR-IMGT [6.3.9] (27-32.50-52.89-97) (1'-107') -*Homo sapiens* IGKC\*01 (100%) Km3 A45.1 (153), V101 (191) (108'-214')];  
dimer (224-224":227-227")-bisdisulfide, produced in Chinese hamster ovary (CHO) cells, glycoform alfa  
*immunomodulator, antineoplastic*

quavonlimab immunoglobuline G1-kappa, anti-[*Homo sapiens* CTLA4 (protéine 4 associée aux lymphocytes T cytotoxiques, CD152)], anticorps monoclonal humanisé;  
chaîne lourde gamma1 humanisée (1-445) [VH (*Homo sapiens* IGHV3-72\*01 (84.7%) -(IGHD) -IGHJ4\*01 (92.9%)) CDR-IMGT [8.10.6] (26-33.51-60.99-104) (1-115) -*Homo sapiens* IGHG1\*01 (100%) G1m17,1 (CH1 K120 (212) (116-213), charnière 1-15 (214-228), CH2 (229-338), CH3 D12 (354), L14 (356) (339-443), CHS (444-445)) (116-445)], (224-214')-disulfure avec la chaîne légère kappa humanisée (1'-214') [V-KAPPA (*Homo sapiens* IGKV1-6\*01 (81.6%) -IGKJ2\*02 (90.9%)) CDR-IMGT [6.3.9] (27-32.50-52.89-97) (1'-107') -*Homo sapiens* IGKC\*01 (100%) Km3 A45.1 (153), V101 (191) (108'-214')];  
dimère (224-224":227-227")-bisdisulfure, produit dans des cellules ovariennes de hamster chinois (CHO), glycoforme alfa  
*immunomodulateur, antinéoplasique*

quavonlimab inmunoglobulina G1-kappa, anti-[*Homo sapiens* CTLA4 (proteína 4 asociada a los linfocitos T citotóxicos, CD152)], anticuerpo monoclonal humanizado; cadena pesada gamma1 humanizada (1-445) [VH (*Homo sapiens* IGHV3-72\*01 (84.7%) -(IGHD) -IGHJ4\*01 (92.9%)) CDR-IMGT [8.10.6] (26-33.51-60.99-104) (1-115) -*Homo sapiens* IGHG1\*01 (100%) G1m17,1 (CH1 K120 (212) (116-213), bisagra 1-15 (214-228), CH2 (229-338), CH3 D12 (354), L14 (356) (339-443), CHS (444-445)) (116-445)], (224-214')-disulfuro con la cadena ligera kappa humanizada (1'-214') [V-KAPPA (*Homo sapiens* IGKV1-6\*01 (81.6%) -IGKJ2\*02 (90.9%)) CDR-IMGT [6.3.9] (27-32.50-52.89-97) (1'-107') -*Homo sapiens* IGKC\*01 (100%) Km3 A45.1 (153), V101 (191) (108'-214')];  
dímero (224-224":227-227")-bisdisulfuro, producido por células ováricas de hamster chino (CHO), forma glicosilada alfa  
*immunomodulador, antineoplásico*

2254059-25-9

Heavy chain / Chaîne lourde / Cadena pesada  
EVQLVESGGG LVQPGGSLRL SCAASGFTFS DNWMNWRQA PGKGLEWLAQ 50  
IRNKPYNRET YYSASVGRF TISRDDSKNS VYLQMNLSKT EDTGVYYCTA 100  
QFAYWGQGTL VTVSSASTKG PSVFPLAPSS KSTSGGTAAL GCLVKDYFPE 150  
FVTVSWNSGA LTVGVHTFPA VLQSSGLYSL SSVVTFPSS LGLTQYICNV 200  
NHKPSNTEVD KRVPRKSCDK THTCPCPAP ELLGGPSVFL FPPKPKDTLM 250  
ISRTPEVTCV VVDVSHEDPE VKFNWYVDGV EVHNAKTKER EEQYNSTYRV 300  
VSVLTVLHQD WMLGKEYKCK VSNRDLFAPF EKTISKARGQ PREPQVYITLP 350  
PSRDELTRKQ VSLTCLVKGK PSFSDIAVEWE SNGQPEFNHK TTPFVLDSDG 400  
SFFFLYSKLTV DKSRWQQGNV FSCSVMHREAL HNHYTEQKSLLS LSPGK 445

Light chain / Chaîne légère / Cadena ligera  
DIQMTQSPSS LLSASVGRVIT ITCRTSENIY GGLNWIYQRKP GKSPKLLIYG 50  
ATNLASGVSS RFSGSGSGTD YLTISLQFP EDVATYYCQN VLRSPTFTGS 100  
GTKLEIKRVT AAPSVPFIFPP SDEQLKSGTA SVVCLLNIFY PREAKVQWKV 150  
DNALQSGNSQ ESVTEDQSKD STYLSLSTLT LSKADYKHKH YVACEVTHGQ 200  
LSSPVTKSFN RGEK 214

Post-translational modifications  
Disulfide bridges location / Position des ponts disulfure / Posiciones de los puentes disulfuro  
Intra-H (C23-C104) 22-98 142-198 259-319 365-423  
22"-98" 142"-198" 259"-319" 365"-423"  
Intra-L (C23-C104) 23"-88" 134"-194"  
23"-88" 134"-194"  
Inter-H-L (h 5-CL 126) 218-214" 218"-214"  
Inter-H-H (h 11, h 14) 224-224" 227-227"

N-glycosylation sites / Sites de N-glycosylation / Posiciones de N-glicosilación  
H CH2 N84.4:  
295, 295"  
Fucosylated complex bi-antennary CHO-type glycans / glycanes de type CHO bi-antennaires complexes fucosylés / glicanos de tipo CHO biantennarios complejos fucosilados

C-terminal lysine clipping:  
H CHS K2:  
445, 445"

**ragifilimabum #**

## ragifilimab

immunoglobulin G1-kappa, anti-[*Homo sapiens* TNFRSF18 (tumor necrosis factor receptor (TNFR) superfamily member 18, activation-inducible TNFR family receptor, AITR, glucocorticoid-induced TNFR-related, GITR, CD375)], humanized monoclonal antibody;  
 gamma1 heavy chain humanized (1-447) [VH (*Homo sapiens* IGHV1-2\*02 (80.6%) -(IGHD) -IGHJ4\*01 (92.9%)) CDR-IMGT [8.8.11] (26-33.51-58.97-107) (1-118) -*Homo sapiens* IGHG1\*03 (100%) G1m3, nG1m1 (CH1 R120 (215) (119-216), hinge 1-15 (217-231), CH2 (232-341), CH3 E12 (357), M14 (359) (342-446), CHS K>del (447)) (119-447)], (221-220')-disulfide with kappa light chain humanized (1'-220') [V-KAPPA (*Homo sapiens* IGKV4-1\*01 (91.1%) -IGKJ2\*01 (100%)) CDR-IMGT [12.3.9] (27-38.56-58.95-103) (1'-113') -*Homo sapiens* IGKC\*01 (100%) Km3 A45.1 (159), V101 (197) (114'-220')];  
 dimer (227-227":230-230")-bisdisulfide, produced in Chinese hamster ovary (CHO) cells, glycoform alfa  
*immunomodulator, antineoplastic*

## ragifilimab

immunoglobuline G1-kappa, anti-[*Homo sapiens* TNFRSF18 (membre 18 de la superfamille des récepteurs du TNF, récepteur de la famille TNFR induit par activation, AITR, récepteur apparenté au TNFR et induit par les glucocorticoïdes, GITR, CD375), anticorps monoclonal humanisé;  
 chaîne lourde gamma1 humanisée (1-447) [VH (*Homo sapiens* IGHV1-2\*02 (80.6%) -(IGHD) -IGHJ4\*01 (92.9%)) CDR-IMGT [8.8.11] (26-33.51-58.97-107) (1-118) -*Homo sapiens* IGHG1\*03 (100%) G1m3, nG1m1 (CH1 R120 (215) (119-216), charnière 1-15 (217-231), CH2 (232-341), CH3 E12 (357), M14 (359) (342-446), CHS K>del (447)) (119-447)], (221-220')-disulfure avec la chaîne légère kappa humanisée (1'-220') [V-KAPPA (*Homo sapiens* IGKV4-1\*01 (91.1%) -IGKJ2\*01 (100%)) CDR-IMGT [12.3.9] (27-38.56-58.95-103) (1'-113') -*Homo sapiens* IGKC\*01 (100%) Km3 A45.1 (159), V101 (197) (114'-220')];  
 dimère (227-227":230-230")-bisdisulfure, produit dans des cellules ovariennes de hamster chinois (CHO), glycoforme alfa  
*immunomodulateur, antinéoplasique*

## ragifilimab

immunoglobulina G1-kappa, anti-[*Homo sapiens* TNFRSF18 (miembro 18 de la superfamilia de los receptores del TNF, receptor de la familia TNFR inducido por activación, AITR, receptor relacionado con el TNFR e inducido por los glucocorticoides, GITR, CD375), anticuerpo monoclonal humanizado;  
 cadena pesada gamma1 humanizada (1-447) [VH (*Homo sapiens* IGHV1-2\*02 (80.6%) -(IGHD) -IGHJ4\*01 (92.9%)) CDR-IMGT [8.8.11] (26-33.51-58.97-107) (1-118) -*Homo sapiens* IGHG1\*03 (100%) G1m3, nG1m1 (CH1 R120 (215) (119-216), bisagra 1-15 (217-231), CH2 (232-341), CH3 E12 (357), M14 (359) (342-446), CHS K>del (447)) (119-447)], (221-220')-disulfuro con la cadena ligera kappa humanizada (1'-220') [V-KAPPA (*Homo sapiens* IGKV4-1\*01 (91.1%) -IGKJ2\*01 (100%)) CDR-IMGT [12.3.9] (27-38.56-58.95-103) (1'-113') -*Homo sapiens* IGKC\*01 (100%) Km3 A45.1 (159), V101 (197) (114'-220')];  
 dímero (227-227":230-230")-bisdisulfuro, producido por células ováricas de hamster chino (CHO), forma glicosilada alfa  
*immunomodulador, antineoplásico*

2207590-51-8

Heavy chain / Chaîne lourde / Cadena pesada  
 QVQLVQSGAE VKKPGASVKV SKGSGYTFT DYAMYWVRQA PGQGLEWIGV 50  
 IRTYSGDVTY NQKFKDRATM TVDKSISTAY MELSLRSDS TAVVYCAKSG 100  
 TVRGFAYWQG GTLTVTSSAS TKGPSVFPLA PSKSTSGGT AALGCLVKDY 150  
 FPEFPTVSWN SGALTSQVHT FPAVLQSSGL YSLSSVTVTP SSSLGTQTYI 200  
 CNVNHKPSNT KVDKRVFKS CDKTHCTPCP PAPELLGGPS VFLFPPKPKD 250  
 TLMISRTEPV TCVVVDVSHK DPEVKFNWYV DGEVHNNAKT KPREEQYNST 300  
 YRVVSVLTVL HQDWLNKKEY KCKVSNKALP APIEKTI SKA KGQPREPQVY 350  
 TLPFSSREMT KNQVSLTCLV KGEYPSDIAV ENEENSGQPEN NYKTTTTPVLD 400  
 SDGSFFLYSK LTVDKSRWQQ GNVFSCSVMH EALHNHYTQK SLSLSPG 447

Light chain / Chaîne légère / Cadena ligera  
 DIVMTQSPDS LAVSLGERAT INCKSSQSLI NSGNQKNVLT WYQQKPGQPP 50  
 KLLIYWASTR ESGVPRDFSG SSGSTDFTLT ISSLQAEDVA VVHCQNDYSY 100  
 PYTFGQGTKL EIKRTVAAPS VFIFPPSDEQ LKSGTASVVC LLNNFYPREA 150  
 KVQWKVDNAL QSGNSQESVT EQDSKDSYIS LSSTLTLSKA DYERKHYVAC 200  
 EVTHQGLSPF VTKSFNRGEC 220

Post-translational modifications  
 Disulfide bridges location / Position des ponts disulfure / Posiciones de los puentes disulfuro  
 Intra-H (C23-C104) 22-96 145-201 262-322 368-426  
 22"-96" 145"-201" 262"-322" 368"-426"  
 Intra-L (C23-C104) 23"-94" 140"-200"  
 23"-94" 140"-200"  
 Inter-H-L (h 5-CL 126) 221-220" 221"-220"  
 Inter-H-H (h 11, h 14) 227-227" 230-230"

N-terminal glutaminy cyclization to pyroglutamy (pE, 5-oxoprolyl)  
 H V H Q I:  
 I, 1"

N-glycosylation sites / Sites de N-glycosylation / Posiciones de N-glicosilación  
 H CH2 N84.4:  
 298, 298"

Fucosylated complex bi-antennary CHO-type glycans / glycanes de type CHO bi-antennaires complexes fucosylés / glicanos de tipo CHO biantenaricos complejos fucosilados

**reciferceptum**  
 recifercept

human fibroblast growth factor receptor 3 (FGFR-3, CD333) (1-336)-(401-413) fragment (1-349) [soluble isoform (337-400>del, 414-784>del)-sFGFR3], produced in Chinese hamster ovary (CHO) cells, glycoform alfa  
*fibroblast growth factor receptor (FGFR) inhibitor*

récifercept

fragment (1-336)-(401-413) du récepteur 3 du facteur de croissance des fibroblastes humain (FGFR-3, CD333) (1-349) [isoforme soluble (337-400>del, 414-784>del)-sFGFR3], produit dans des cellules ovariennes de hamster chinois (CHO), glycoforme alfa  
*inhibiteur du récepteur du facteur de croissance des fibroblastes (FGFR)*

recifercept

fragmento (1-336)-(401-413) del receptor 3 del factor de crecimiento de los fibroblastos humanos (FGFR-3, CD333) (1-349) [isoforma soluble (337-400>del, 414-784>del)-sFGFR3], producido en las células ováricas de hamster chino (CHO), glicofoma alfa  
*inhibidor del receptor del factor de crecimiento de los fibroblastos (FGFR)*

2226238-09-9

Sequence / Séquence / Secuencia  
 ESLGTEQRVV GRAAEVPGPE PGQQEQQLVFG SGDAVELSCP PFGGPMGPT 50  
 VMVKDGTGLV PSEKRVLQV RLQVLNASHE DSGAYSCRQR LTRQVLCHFS 100  
 VRVTDAPSSG DDEGDEDAE DTGVDTGAPY WTRPERMDKK LLAVPAANTV 150  
 RFRCPAAGNP TFSISWLKNG REFRGHERIC GIKLRHQQWS LVMSVVPSPD 200  
 RGNVTCVVEN KFGSIRQTYT LDWLESPHR PILQAGLPAN QTAVLGSDVE 250  
 FHCKVYSDAQ PHIQWLKHE VNGSKVGPDG TPYVTVLKTA GANTTKDELE 300  
 VLSLHNVTPE DAGEYTCLAG NSIGFSHHA WLWVLPVLSLE SNAMSSNT 349

Post-translational modifications  
 Disulfide bridges location / Position des ponts disulfure / Posiciones de los puentes disulfuro  
 intra-chain 39-97 154-206 253-317  
 (Cys-SH: 87)

Glycosylation sites / Sites de glycosylation / Posiciones de glicosilación  
 N76, N203, N240, N272, N293, N306, N342  
 Fucosylated complex bi-antennary CHO-type glycans / Glycanes de type CHO bi-antennaires complexes fucosylés / Glicanos de tipo CHO biantenaricos complejos fucosilados

**relzomostat**

relzomostat

(3*R*,4*S*,5*S*,6*R*)-5-methoxy-4-[(2*R*,3*R*)-2-méthyl-3-(3-méthylbut-2-en-1-yl)oxiran-2-yl]-1-oxaspiro[2.5]octan-6-yl 6-(2,2-difluoroéthyl)-2,6-diazaspiro[3.3]heptane-2-carboxylate

*methionine aminopeptidase 2 (MetAP2) inhibitor*

relzomostat

6-(2,2-difluoroéthyl)-2,6-diazaspiro[3.3]heptane-2-carboxylate de (3*R*,4*S*,5*S*,6*R*)-5-méthoxy-4-[(2*R*,3*R*)-2-méthyl-3-(3-méthylbut-2-én-1-yl)oxiran-2-yl]-1-oxaspiro[2.5]octan-6-yle

*inhibiteur de la méthionine aminopeptidase 2 (MetAP2)*

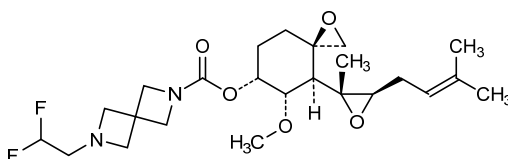
relzomostat

6-(2,2-difluoroetil)-2,6-diazaspiro[3.3]heptano-2-carboxilato de (3*R*,4*S*,5*S*,6*R*)-5-metoxi-4-[(2*R*,3*R*)-2-metil-3-(3-metilbut-2-en-1-il)oxiran-2-il]-1-oxaspiro[2.5]octan-6-ilo

*inhibidor de la metionina aminopeptidasa 2 (MetAP2)*

 $C_{24}H_{36}F_2N_2O_5$ 

2081078-92-2

**resiquimodum pegolum**

resiquimod pegol

2,2',2'',2'''-

{methanetetrayltetrakis[méthylènepoly(oxyéthylène-oxy)]tetrakis[*N*-(2-[[2-(éthoxyméthyl)-1-(2-hydroxy-2-méthylpropyl)-1*H*-imidazo[4,5-*c*]quinolin-4-yl]amino]-2-oxoéthyl)acétamide]

*immunomodulator*

résiquimod pégol

2,2',2'',2'''-

{méthanetétrayltétrakis[méthylènepoly(oxyéthylène-oxy)]tétrakis[*N*-(2-[[2-(éthoxyméthyl)-1-(2-hydroxy-2-méthylpropyl)-1*H*-imidazo[4,5-*c*]quinoléin-4-yl]amino]-2-oxoéthyl)acétamide]

*immunomodulateur*

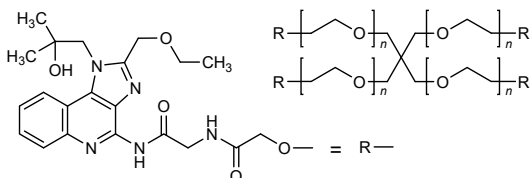
resiquimod pegol

2,2',2'',2'''-{metanotetraitetrakis[metilènpoli-(oxietilèno)oxi]}tetrakis[*N*-(2-[[2-(etoximetil)-1-(2-hidroxi-2-metilpropil)-1*H*-imidazo[4,5-*c*]quinolin-4-*il*]amino]-2-oxoetil)acetamida]

*immunomodulador*

 $C_{89}H_{112}N_{20}O_{20} \cdot (C_2H_4O)_{4n}$ 

2235369-93-2



**revdofilimabum #**

revdofilimab

immunoglobulin G1-kappa, anti-[*Homo sapiens* TNFRSF4 (tumor necrosis factor receptor (TNFR) superfamily member 4, ACT35, OX40, CD134)], monoclonal antibody;  
 gamma1 heavy chain (1-450) [VH (*Mus musculus* IGHV5-6-3\*01 (88.8%) -IGHJ4\*01 (93.8%)/*Homo sapiens* IGHV3-7\*01 (88.8%) -(IGHD) -IGHJ4\*01 (92.3%)) CDR-IMGT [8.8.13] (26-33.51-58.97-109) (1-120) -*Homo sapiens* IGHG1\*03v, G1m3>G1m17, nG1m1 (CH1 R120>K (217) (121-218), hinge 1-15 (219-233), CH2 (234-343), CH3 E12 (359), M14 (361) (344-448), CHS (449-450)) (121-450)], (223-218')-disulfide with kappa light chain (1'-218') [V-KAPPA (*Mus musculus* IGKV3-4\*01 (83.8%) -IGKJ1\*01 (90.9%)/*Homo sapiens* IGKV4-1\*01 (83.2%) -IGKJ4\*01 (100%)) CDR-IMGT [10.3.9] (27-36.54-56.93-101) (1'-111') -*Homo sapiens* IGKC\*01 (100%) Km3 A45.1 (157), V101 (195) (112'-218')];  
 dimer (229-229":232-232")-bisdisulfide, produced in Chinese hamster ovary (CHO) cells, glycoform alfa  
*immunomodulator, antineoplastic*

revdofilimab

immunoglobuline G1-kappa, anti-[*Homo sapiens* TNFRSF4 (membre 4 de la superfamille des récepteurs du facteur de nécrose tumorale, ACT35, OX40, CD134)], anticorps monoclonal;  
 chaîne lourde gamma1 (1-450) [VH (*Mus musculus* IGHV5-6-3\*01 (88.8%) -IGHJ4\*01 (93.8%)/*Homo sapiens* IGHV3-7\*01 (88.8%) -(IGHD) -IGHJ4\*01 (92.3%)) CDR-IMGT [8.8.13] (26-33.51-58.97-109) (1-120) -*Homo sapiens* IGHG1\*03v, G1m3>G1m17, nG1m1 (CH1 R120>K (217) (121-218), charnière 1-15 (219-233), CH2 (234-343), CH3 E12 (359), M14 (361) (344-448), CHS (449-450)) (121-450)], (223-218')-disulfure avec la chaîne légère kappa (1'-218') [V-KAPPA (*Mus musculus* IGKV3-4\*01 (83.8%) -IGKJ1\*01 (90.9%)/*Homo sapiens* IGKV4-1\*01 (83.2%) -IGKJ4\*01 (100%)) CDR-IMGT [10.3.9] (27-36.54-56.93-101) (1'-111') -*Homo sapiens* IGKC\*01 (100%) Km3 A45.1 (157), V101 (195) (112'-218')];  
 dimère (229-229":232-232")-bisdisulfure, produit dans des cellules ovariennes de hamster chinois (CHO), glycoforme alfa  
*immunomodulateur, antinéoplasique*

revdofilimab

immunoglobulina G1-kappa, anti-[*Homo sapiens* TNFRSF4 (miembro 4 de la superfamilia de los receptores del factor de necrosis tumoral, ACT35, OX40, CD134)], anticuerpo monoclonal;  
 cadena pesada gamma1 (1-450) [VH (*Mus musculus* IGHV5-6-3\*01 (88.8%) -IGHJ4\*01 (93.8%)/*Homo sapiens* IGHV3-7\*01 (88.8%) -(IGHD) -IGHJ4\*01 (92.3%)) CDR-IMGT [8.8.13] (26-33.51-58.97-109) (1-120) -*Homo sapiens* IGHG1\*03v, G1m3>G1m17, nG1m1 (CH1 R120>K (217) (121-218), bisagra 1-15 (219-233), CH2 (234-343), CH3 E12 (359), M14 (361) (344-448), CHS (449-450)) (121-450)], (223-218')-disulfuro con la cadena ligera kappa (1'-218') [V-KAPPA (*Mus musculus* IGKV3-4\*01 (83.8%) -IGKJ1\*01 (90.9%)/*Homo sapiens* IGKV4-1\*01 (83.2%) -IGKJ4\*01 (100%)) CDR-IMGT [10.3.9] (27-36.54-56.93-101) (1'-111') -*Homo sapiens* IGKC\*01 (100%) Km3 A45.1 (157), V101 (195) (112'-218')];  
 dímero (229-229":232-232")-bisdisulfuro, producido por células ováricas de hamster chino (CHO), forma glicosilada alfa  
*immunomodulador, antineoplásico*

2230138-89-1

## Heavy chain / Chaîne lourde / Cadena pesada

EVQLVESGGG LVQPGGSLRL SCAASGFTFS RYGMSWVRQA PGKGLELVAT 50  
 INSNNGRTYY PDSVKGRFTI SRDNAKNSLY LQMNSLRAED TAVYYCAREG 100  
 ITTAYAMDYV GGGTTVTVSS ASTKGPSVFP LAPSSKSTSG GTAALGLVK 150  
 DYFPEPVTVS WNSGALTSGV HTFPAVLQSS GLYSLSSVVT VPSSSLGTQT 200  
 YICNVNHKPS NTKVDKVEP KSCDKHTCP PCPAPPELLGG PSVFLPPPKP 250  
 KDTLMI SRTP EVTCVVVDVPS HEDPEVKFNW YVDGVEVHNA KTKPREEQYN 300  
 STYRVVSVLT VLHQDNLNGK EYKCKVSNKA LPAPIEKTIS KAKGQPREPQ 350  
 VYTLPPSREE MTRKQVSLTC LVKGFYPSDI AVEWESNGQP ENNYKTTTPV 400  
 LDDSGSFELY SKLTVDKSRW QQGNVFSCSV MHEALHNHYT QKSLSLSPGK 450

## Light chain / Chaîne légère / Cadena ligera

DIVMTQSPDS LAVSLGERAT INCKASQSVY YDGSYMHYV QOKPGQPPKL 50  
 LIYAAASILES GVPDRFSGSG SGTDFLTLS SLQAEDWAVY YCQQSNEDPR 100  
 TFGGGTKVEI KRTVAAPSVF I FPPSDEQLK SGTASVCLL NNFYPREAKV 150  
 QWKVDNALQS GNSQESVTEQ DSKDSTYSLT STLTLSKADY EKHKVYACEV 200  
 THQGLSSPVT KSFNRGEC 218

## Post-translational modifications

Disulfide bridges location / Position des ponts disulfure / Posiciones de los puentes disulfuro

Intra-H (C23-C104) 22-96 147-203 264-324 370-428  
 22"-96" 147"-203" 264"-324" 370"-428"

Intra-L (C23-C104) 23'-92" 138"-198"

23"-92" 138"-198"

Inter-H-L (h 5-CL 126) 223-218" 223"-218"

Inter-H-H (h 11, h 14) 229-229" 232-232"

N-glycosylation sites / Sites de N-glycosylation / Posiciones de N-glicosilación

HCH2 N84.4:

300, 300"

Fucosylated complex bi-antennary CHO-type glycans / glycanes de type CHO bi-antennaires complexes fucosylés / glicanos de tipo CHO biantenarijos complejos fucosilados

C-terminal lysine clipping:

HCHS K2:

450, 450"

**rezivertinibum**

rezivertinib

*N*-(2-[2-(diméthylamino)éthoxy]-4-méthoxy-5-[[4-(1-méthyl-1*H*-indol-3-yl)pyrimidin-2-yl]amino]phényl)prop-2-énamide  
*tyrosine kinase inhibitor, antineoplastic*

rézivertinib

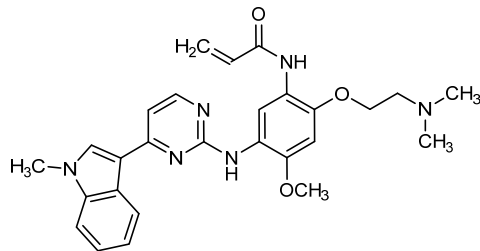
*N*-(2-[2-(diméthylamino)éthoxy]-4-méthoxy-5-[[4-(1-méthyl-1*H*-indol-3-yl)pyrimidin-2-yl]amino]phényl)prop-2-énamide  
*inhibiteur de la tyrosine kinase, antinéoplasique*

rezivertinib

*N*-(2-[2-(diméthylamino)éthoxy]-5-[[4-(1-méthyl-1*H*-indol-3-yl)pyrimidin-2-yl]amino]phényl)-4-méthoxyprop-2-énamide  
*inhibidor de la tirosina kinasa, antineoplásico*

C<sub>27</sub>H<sub>30</sub>N<sub>6</sub>O<sub>3</sub>

1835667-12-3

**rilematovirum**

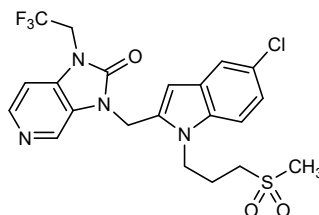
rilematovir

3-((5-chloro-1-[3-(methanesulfonyl)propyl]-1*H*-indol-2-yl)méthyl)-1-(2,2,2-trifluoroéthyl)-1,3-dihydro-2*H*-imidazo[4,5-*c*]pyridin-2-one  
*antiviral*

- rilématovir 3-({5-chloro-1-[3-(méthanesulfonyl)propyl]-1*H*-indol-2-yl)méthyl)-1-(2,2,2-trifluoroéthyl)-1,3-dihydro-2*H*-imidazo[4,5-*c*]pyridin-2-one  
*antiviral*
- rilematovir 3-({5-cloro-1-[3-(metanosulfonyl)propil]-1*H*-indol-2-il)métill)-1-(2,2,2-trifluoroéthyl)-1,3-dihydro-2*H*-imidazo[4,5-*c*]piridin-2-ona  
*antiviral*

C<sub>21</sub>H<sub>20</sub>ClF<sub>3</sub>N<sub>4</sub>O<sub>3</sub>S

1383450-81-4

**ripafollitropinum alfa (bovinum) #**

ripafollitropin alfa (bovine)

bovine follicle-stimulating hormone (synthetic analog):  
[follitropin (*Bos taurus*) subunit  $\beta$  (1-109)]-[human chorionic gonadotropin (hCG) C-terminal 28-peptide linker (110-137)]-[glycoprotein hormones  $\alpha$  chain (follitropin subunit  $\alpha$ ) (*Bos taurus*) (138-233)] fusion protein, produced in Chinese hamster ovary (CHO) cells, glycoform alfa  
*follicle stimulating hormone (veterinary use)*

ripafollitropine alfa (bovine)

hormone folliculostimulante bovine (analogie synthétique):  
protéine de fusion [follitropine (*Bos taurus*) sous-unité  $\beta$  (1-109)]-[peptide liant: 28-peptide C-terminal de la gonadotrophine chorionique humaine (hCG) (110-137)]-[chaîne  $\alpha$  des hormones glycoprotéiques (follitropine sous-unité  $\alpha$ ) (*Bos taurus*) (138-233)], produit par des cellules ovariennes de hamster chinois (CHO), forme glycosylée alfa  
*hormone folliculostimulante (usage vétérinaire)*

ripafollitropina alfa (bovina)

hormona estimulante del foliculo bovina (análogo sintético):  
proteína de fusión [folitropina (*Bos taurus*) subunidad  $\beta$  (1-109)]-[conector: 28-péptido C-terminal de la gonadotropina coriónica humana (hCG) (110-137)]-[cadena  $\alpha$  de las hormonas glicoproteicas (folitropina subunidad  $\alpha$ ) (*Bos taurus*) (138-233)], producida por células ováricas de hamster chino (CHO), forma glicosilada alfa  
*hormona estimulante del foliculo (uso veterinario)*

2376991-13-6

## Sequence / Séquence / Secuencia:

CELTNITITIV EKEECGFCIS INTTWCAGYC YTRDLVYRDP ARPNIQKTCT 50  
 FKELVYETVK VPGCAHHADS LYTPVATEC HCSKCDSDST DCTVRLGLPS 100  
 YCSFREIKES SSSKAPPSL PPSRLPGPS DTPILPQFPD GEFTMQGQPE 150  
 CKLKENKYFS KPDAPYQCM GCCFSRAYPT PARSKKTMLV PRNITSEATC 200  
 CVAKAFKAT VMGNVRVENH TECHCSTCY HKS 233

Disulfide bridge location / Position de la pont disulfure / Posición del puente disulfuro:  
 (predicted): 1-49, 15-64, 18-102, 26-80, 30-82, 85-92, 148-172,  
 151-201, 169-223, 173-225, 200-228

## Glycosylation sites / Sites de glycosylation / Posiciones de glicosilación

potential N-glycosylation: N5, N22, N193, N219  
 potential O-glycosylation: S113, S119, S124, S130

## Other post-translational modifications:

potential deamidation: N5, N22, N44, Q46, Q137, Q146,  
 N156, Q168, N193, N214, N219  
 potential S-oxidation: M145, M170, M188, M212

**ripertamabum #**  
 ripertamab

immunoglobulin G1-kappa, anti-[*Homo sapiens* MS4A1 (membrane-spanning 4-domains subfamily A member 1, CD20)], chimeric monoclonal antibody;  
 gamma1 heavy chain chimeric (1-451) [VH (*Mus musculus* IGHV1-12\*01 (91.8%) -(IGHD) -IGHJ1\*01 (87.5%)) CDR-IMGT [8.8.14] (26-33.51-58.97-110) (1-121) -*Homo sapiens* IGHG1\*01 (100%) G1m17,1 (CH1 K120 (218) (122-219), hinge 1-15 (220-234), CH2 (235-344), CH3 D12 (360), L14 (362) (345-449), CHS (450-451)) (122-451)], (224-213')-disulfide with kappa light chain chimeric (1'-213') [V-KAPPA (*Mus musculus* IGKV4-72\*01 (95.8%) -IGKJ1\*01 (100%)) CDR-IMGT [5.3.9] (27-31.49-51.88-96) (1'-106') -*Homo sapiens* IGKC\*01 (100%), Km3 A45.1 (152), V101 (190) (107'-213')];  
 dimer (230-230":233-233")-bisdisulfide, produced in Chinese hamster ovary (CHO) cells, glycoform alfa  
*immunomodulator, antineoplastic*

## ripertamab

immunoglobuline G1-kappa, anti-[*Homo sapiens* MS4A1 (membre 1 de la sous-famille A à 4 domaines transmembranaires, CD20)], anticorps monoclonal chimérique;  
 chaîne lourde gamma1 chimérique (1-451) [VH (*Mus musculus* IGHV1-12\*01 (91.8%) -(IGHD) -IGHJ1\*01 (87.5%)) CDR-IMGT [8.8.14] (26-33.51-58.97-110) (1-121) -*Homo sapiens* IGHG1\*01 (100%) G1m17,1 (CH1 K120 (218) (122-219), charnière 1-15 (220-234), CH2 (235-344), CH3 D12 (360), L14 (362) (345-449), CHS (450-451)) (122-451)], (224-213')-disulfure avec la chaîne légère kappa chimérique (1'-213') [V-KAPPA (*Mus musculus* IGKV4-72\*01 (95.8%) -IGKJ1\*01 (100%)) CDR-IMGT [5.3.9] (27-31.49-51.88-96) (1'-106') -*Homo sapiens* IGKC\*01 (100%), Km3 A45.1 (152), V101 (190) (107'-213')];  
 dimère (230-230":233-233")-bisdisulfure, produit dans des cellules ovariennes de hamster chinois (CHO), glycoforme alfa  
*immunomodulateur, antinéoplasique*

ripertamab

inmunoglobulina G1-kappa, anti-[*Homo sapiens* MS4A1 (miembro 1 de la subfamilia A con 4 dominios transmembranarios, CD20)], anticuerpo monoclonal quimérico;  
 cadena pesada gamma1 quimérica (1-451) [VH (*Mus musculus* IGHV1-12\*01 (91.8%) -(IGHD) -IGHJ1\*01 (87.5%)) CDR-IMGT [8.8.14] (26-33.51-58.97-110) (1-121) -*Homo sapiens* IGHG1\*01 (100%) G1m17,1 (CH1 K120 (218) (122-219), bisagra 1-15 (220-234), CH2 (235-344), CH3 D12 (360), L14 (362) (345-449), CHS (450-451)) (122-451)], (224-213')-disulfuro con la cadena ligera kappa quimérica (1'-213') [V-KAPPA (*Mus musculus* IGKV4-72\*01 (95.8%) -IGKJ1\*01 (100%)) CDR-IMGT [5.3.9] (27-31.49-51.88-96) (1'-106') -*Homo sapiens* IGKC\*01 (100%), Km3 A45.1 (152), V101 (190) (107'-213')];  
 dímero (230-230":233-233")-bisdisulfuro, producido por células ováricas de hamster chino (CHO), forma glicosilada alfa  
*immunomodulador, antineoplásico*

2249927-04-4

Heavy chain / Chaîne lourde / Cadena pesada

QVQLQQPGAE LVKPGASVKM SCKASGYTFT SYNMHVVKQT PGRGLEWIGA 50  
 IYFGNGDTSY NQKFKGKATL TADKSSSTAY MQLSSLTSED SAVYCARST 100  
 YYGDDWYFNVW WGAGTTVTVS AASTKGPSVF PLAPSKSSTS GGTAAALGCLV 150  
 KDYFPEPVTV SWNSGALTSG VHTFFAVLOS SGLYSLSSVV TFPSSSLGTQ 200  
 TYICNVNHPK SNTKVDKKEV PKSCDKTHTC PFCPAPELLG GPSVFLFPPK 250  
 PKDTLMSRTE PEVTCVVDV SHEDPEVKFN WYVDGVEVHN AKTKPREEQY 300  
 NSTYRVVSVL TVLHQDMLNG KEYKCKVSNK ALPAPIEKTI SKAKGQPREP 350  
 QVYTLPPSRD ELTKNQVSLT CLVKGYPSPD IAVEWESNGQ PENNYKTPP 400  
 VLDSGDSFFL YSKLTVDKSR WQQGNVFSCT VMHEALHNHY TQKSLSLSPG 450  
 K 451

Light chain / Chaîne légère / Cadena ligera

QIVLSQSPAI LSASPGKVT MTCRASSSVS YIHWFQQKPG SPPKFWIYAT 50  
 SNLASGVFVR FSGSGSGTSY SLTISRVEAE DAATYYCQQW TSNPPTFGGG 100  
 TKLEIKRTVA APSVFIFFPS DEQLKSGTAS VVCLLNFPY REAKVQWKVD 150  
 NALQSGNSQE SVTEQDSKDS TYSLSLTLT SKADYEKHKV YACEVTHQGL 200  
 SSPVTKSFNR GEC 213

Post-translational modifications

Disulfide bridges location / Position des ponts disulfure / Posiciones de los puentes disulfuro

Intra-H (C23-C104) 22-96 148-204 265-325 371-429  
 22"-96" 148"-204" 265"-325" 371"-429"

Intra-L (C23-C104) 23'-87' 133'-193'  
 23'''-87''' 133'''-193'''

Inter-H-L (h 5-CL 126) 224-213' 224"-213"  
 Inter-H-H (h 11, h14) 230-230" 233-233"

N-glycosylation sites / Sites de N-glycosylation / Posiciones de N-glicosilación

H CH2 N84.4:  
 301, 301"

Fucosylated complex bi-antennary CHO-type glycans / glycanes de type CHO bi-antennaires complexes fucosylés / glicanos de tipo CHO biantenarios complejos fucosilados

**rocakinogenum sifuplasmidum #**  
 rocakinogene sifuplasmid

A DNA plasmid encoding both subunits of human interleukin-12 (IL12), subunit alpha (IL12A, IL-12 subunit p35) and subunit beta (IL12B; IL-12 subunit p40), under the control of a human cytomegalovirus (CMV) immediate-early 1 (IE1) promoter and a simian cytomegalovirus (sCMV) promoter, respectively.  
*immunotherapy, antineoplastic*

rocakinogène sifuplasamide	plasmide dont l'ADN code pour les deux sous-unités de l'interleukine 12 humaine (IL-12), sous-unité alpha (IL12A, sous-unité p35 de l'IL-12) et sous-unité bêta (IL12B; sous-unité p40 de l'IL-12), sous le contrôle d'un activateur/promoteur immédiat-précoce 1 (IE1) du cytomegalovirus (CMV) et d'un promoteur du cytomegalovirus simiesque (sCMV), respectivement <i>immunothérapie, antinéoplasique</i>
rocakinogén sifuplasmidá	Un plásmido de DNA que codifica para ambas subunidades de la interleucina 12 (IL12) humana, la subunidad alfa (IL12A, IL-12 subunidad p35) y la subunidad beta (IL12B; IL-12 subunidad p40), bajo el control de un promotor inmediato-temprano 1 (IE1) del citomegalovirus (CMV) humano y un promotor del citomegalovirus de simio (sCMV), respectivamente. <i>immunoterapia, antineoplásico</i>
	2253753-17-0
<b>rosopatamabum #</b> rosopatamab	immunoglobulin G1-kappa, anti-[ <i>Homo sapiens</i> FOLH1 (folate hydrolase, prostate specific membrane antigen, PSMA)], monoclonal antibody; gamma1 heavy chain (1-445) [VH ( <i>Mus musculus</i> IGHV1-26*01 (78.4%) -(IGHD) -IGHJ2*01 (92.9%)/ <i>Homo sapiens</i> IGHV1-69-2*01 (76.3%) -(IGHD) -IGHJ4*01 (92.9%)] [8.8.8] (1-115) - <i>Homo sapiens</i> IGHG1*01 (100%) G1m17,1 (CH1 K120 (212) (116-213), hinge 1-15 (214-228), CH2 (229-338), CH3 D12 (354), L14 (356) (339-443), CHS (444-445)) (116-445)], (218-214')-disulfide with kappa light chain (1'-214') [V-KAPPA ( <i>Mus musculus</i> IGKV6-23*01 (80.9%) -IGKJ2*03 (72.7%)/ <i>Homo sapiens</i> IGKV1-13*02 (78.7%) -IGKJ3*01 (91.7%)] [6.3.9] (1'-107') - <i>Homo sapiens</i> IGKC*01 (100%) Km3 A45.1 (153), V101 (191) (108'-214')]; dimer (224-224":227-227")-bisdisulfide, produced in Chinese hamster ovary (CHO) cells, glycoform alfa <i>immunomodulator, antineoplastic</i>
rosopatamab	immunoglobuline G1-kappa, anti-[ <i>Homo sapiens</i> FOLH1 (folate hydrolase, antigène membranaire spécifique de la prostate, PSMA)], anticorps monoclonal; chaîne lourde gamma1 (1-445) [VH ( <i>Mus musculus</i> IGHV1-26*01 (78.4%) -(IGHD) -IGHJ2*01 (92.9%)/ <i>Homo sapiens</i> IGHV1-69-2*01 (76.3%) -(IGHD) -IGHJ4*01 (92.9%)] [8.8.8] (1-115) - <i>Homo sapiens</i> IGHG1*01 (100%) G1m17,1 (CH1 K120 (212) (116-213), charnière 1-15 (214-228), CH2 (229-338), CH3 D12 (354), L14 (356) (339-443), CHS (444-445)) (116-445)], (218-214')-disulfure avec la chaîne légère kappa (1'-214') [V-KAPPA <i>Mus musculus</i> IGKV6-23*01 (80.9%) -IGKJ2*03 (72.7%)/( <i>Homo sapiens</i> IGKV1-13*02 (78.7%) -IGKJ3*01 (91.7%)] [6.3.9] (1'-107') - <i>Homo sapiens</i> IGKC*01 (100%) Km3 A45.1 (153), V101 (191) (108'-214')]; dimère (224-224":227-227")-bisdisulfure, produit dans des cellules ovariennes de hamster chinois (CHO), glycoforme alfa <i>immunomodulateur, antinéoplasique</i>

rosopatamab

immunoglobulina G1-kappa, anti-[*Homo sapiens* FOLH1 (folato hidrolasa, antígeno membranario específico de la próstata, PSMA)], anticuerpo monoclonal;  
 cadena pesada gamma1 (1-445) [VH (*Mus musculus* IGHV1-26\*01 (78.4%) -(IGHD) -IGHJ2\*01 (92.9%)/*Homo sapiens* IGHV1-69-2\*01 (76.3%) - (IGHD) -IGHJ4\*01 (92.9%)) [8.8.8] (1-115) -*Homo sapiens* IGHG1\*01 (100%) G1m17,1 (CH1 K120 (212) (116-213), bisagra 1-15 (214-228), CH2 (229-338), CH3 D12 (354), L14 (356) (339-443), CHS (444-445)) (116-445)], (218-214')-disulfuro con la cadena ligera kappa (1'-214') [V-KAPPA *Mus musculus* IGKV6-23\*01 (80.9%) -IGKJ2\*03 (72.7%)/(*Homo sapiens* IGKV1-13\*02 (78.7%) -IGKJ3\*01 (91.7%)) [6.3.9] (1'-107') - *Homo sapiens* IGKC\*01 (100%) Km3 A45.1 (153), V101 (191) (108'-214')];  
 dímero (224-224":227-227")-bisdisulfuro, producido por células ováricas de hamster chino (CHO), forma glicosilada alfa  
*immunomodulador, antineoplásico*

2260767-49-3

Heavy chain / Chaîne lourde / Cadena pesada  
 EVQLVQSGPE VKKPGATVKI SCRKSGYTFE EYTIHWVKQA PGKGLEWIGN 50  
 INPNNGGTTY NQKPEDKATL TVDKSTDTAY MELSSLRSED TAVYCAAGW 100  
 NFDYWGGQTL LTVSSASTKG PSVFPLAPSS KSTSGGTAAL GCLVKDYFPE 150  
 PVTVSWNSGA LTVSGVTFPPA VLQSSGLYSL SSVVTVFSSS LGTQTYICNV 200  
 NHHKPSNTEVD KKVPEKSCDK THTCPPCPAE ELGGPSVFL FPPKPRDTLM 250  
 ISRTPEVTCV VVDVSHEDPE VKENWYVDG EVHNAKTKPR EEQYNSTYRV 300  
 VSVLTVLHQD WLVNGKEYKCK VSNKALPAPI EKTISKAKGQ PREPQVYTLR 350  
 PSRDELTKNQ VSLTCLVKGK YPSDIAVEWE SNGQPENNYK TTPPVLDSDG 400  
 SFFLYSKLTV DKSRWQQGNV FSCVMHEAL HNHYTQKSLR LSPGK 445

Light chain / Chaîne légère / Cadena ligera  
 DIQMTQSPSS LSTSVGDRVT LTCKASQDVG TAVDWYQQKQ GPSKLLIYW 50  
 ASTRHTGIPS RFGSGSGTD FTLTISLQP EDFADYCCQ YNSYPLTFGP 100  
 GTKVDIKRTV AAPSVEIFPP SDEQLKSGTA SVVCLLNIFY PREAKVQWKV 150  
 DNALQSGNSQ ESVTEQDSKD STYLSSTLT LSKADYKHKV VYACEVTHQG 200  
 LSSPVTKSFN RGEC 214

Post-translational modifications  
 Disulfide bridges location / Position des ponts disulfure / Posiciones de los puentes disulfuro  
 Intra-H (C23-C104) 22"-96" 142"-198" 259"-319" 365"-423"  
 22"-96" 142"-198" 259"-319" 365"-423"  
 Intra-L (C23-C104) 23"-88" 134"-194"  
 23"-88" 134"-194"  
 Inter-H-L (h 5-CL 126) 218-214" 218"-214"  
 Inter-H-H (h 11, h 14) 224-224" 227-227"

N-glycosylation sites / Sites de N-glycosylation / Posiciones de N-glicosilación  
 HCH2 N84.4:  
 29S, 29S"  
 Fucosylated complex bi-antennary CHO-type glycans / glycanes de type CHO bi-antennaires complexes fucosylés / glicanos de tipo CHO biantenaríos complejos fucosilados

**rosopatamabum tetraxetanum #**  
 rosopatamab tetraxetan

immunoglobulin G1-kappa, anti-[*Homo sapiens* FOLH1 (folate hydrolase, prostate specific membrane antigen, PSMA)], monoclonal antibody, *tetraxetan* conjugate;  
 gamma1 heavy chain (1-445) [VH (*Mus musculus* IGHV1-26\*01 (78.4%) -(IGHD) -IGHJ2\*01 (92.9%)/*Homo sapiens* IGHV1-69-2\*01 (76.3%) - (IGHD) -IGHJ4\*01 (92.9%)) [8.8.8] (1-115) -*Homo sapiens* IGHG1\*01 (100%) G1m17,1 (CH1 K120 (212) (116-213), hinge 1-15 (214-228), CH2 (229-338), CH3 D12 (354), L14 (356) (339-443), CHS (444-445)) (116-445)], (218-214')-disulfide with kappa light chain

	<p>(1'-214') [V-KAPPA (<i>Mus musculus</i> IGKV6-23*01 (80.9%) -IGKJ2*03 (72.7%)/<i>Homo sapiens</i> IGKV1-13*02 (78.7%) -IGKJ3*01 (91.7%))] [6.3.9] (1'-107') - <i>Homo sapiens</i> IGKC*01 (100%) Km3 A45.1 (153), V101 (191) (108'-214')]; dimer (224-224":227-227")-bisdisulfide; produced in Chinese hamster ovary (CHO) cells, glycoform alfa, <i>tetraxetan</i> (DOTA) conjugate (on an average of 3 to 5 lysyl, linked to the chelator by their N6) <i>immunomodulator, antineoplastic</i></p>
rosopatamab tétraxétan	<p>immunoglobuline G1-kappa, anti-[<i>Homo sapiens</i> FOLH1 (folate hydrolase, antigène membranaire spécifique de la prostate, PSMA)], anticorps monoclonal, conjugué au <i>tétraxétan</i>; chaîne lourde gamma1 (1-445) [VH (<i>Mus musculus</i> IGHV1-26*01 (78.4%) -(IGHD) -IGHJ2*01 (92.9%)/<i>Homo sapiens</i> IGHV1-69-2*01 (76.3%) - (IGHD) -IGHJ4*01 (92.9%))] [8.8.8] (1-115) -<i>Homo sapiens</i> IGHG1*01 (100%) G1m17,1 (CH1 K120 (212) (116-213), charnière 1-15 (214-228), CH2 (229-338), CH3 D12 (354), L14 (356) (339-443), CHS (444-445)) (116-445)], (218-214')-disulfure avec la chaîne légère kappa (1'-214') [V-KAPPA <i>Mus musculus</i> IGKV6-23*01 (80.9%) -IGKJ2*03 (72.7%)/(<i>Homo sapiens</i> IGKV1-13*02 (78.7%) -IGKJ3*01 (91.7%))] [6.3.9] (1'-107') - <i>Homo sapiens</i> IGKC*01 (100%) Km3 A45.1 (153), V101 (191) (108'-214')]; dimère (224-224":227-227")-bisdisulfure; produit dans des cellules ovariennes de hamster chinois (CHO), glycoforme alfa, conjugué au <i>tétraxétan</i> (DOTA) (avec une moyenne de 3 à 5 lysyl liés au chélateur par leur N6) <i>immunomodulateur, antinéoplasique</i></p>
rosopatamab tetraxetán	<p>immunoglobulina G1-kappa, anti-[<i>Homo sapiens</i> FOLH1 (folato hidrolasa, antígeno membranario específico de la próstata, PSMA)], anticuerpo monoclonal, conjugado con <i>tetraxetán</i> ; cadena pesada gamma1 (1-445) [VH (<i>Mus musculus</i> IGHV1-26*01 (78.4%) -(IGHD) -IGHJ2*01 (92.9%)/<i>Homo sapiens</i> IGHV1-69-2*01 (76.3%) - (IGHD) -IGHJ4*01 (92.9%))] [8.8.8] (1-115) -<i>Homo sapiens</i> IGHG1*01 (100%) G1m17,1 (CH1 K120 (212) (116-213), bisagra 1-15 (214-228), CH2 (229-338), CH3 D12 (354), L14 (356) (339-443), CHS (444-445)) (116-445)], (218-214')-disulfuro con la cadena ligera kappa (1'-214') [V-KAPPA <i>Mus musculus</i> IGKV6-23*01 (80.9%) -IGKJ2*03 (72.7%)/(<i>Homo sapiens</i> IGKV1-13*02 (78.7%) -IGKJ3*01 (91.7%))] [6.3.9] (1'-107') - <i>Homo sapiens</i> IGKC*01 (100%) Km3 A45.1 (153), V101 (191) (108'-214')]; dímero (224-224":227-227")-bisdisulfuro; producido por células ováricas de hamster chino (CHO), forma glicosilada alfa, conjugado con <i>tetraxetán</i> (DOTA) (con una media de 3 a 5 restos lisil unidos al quelante por sus respectivos N6) <i>immunomodulador, antineoplásico</i></p>

2260767-50-6

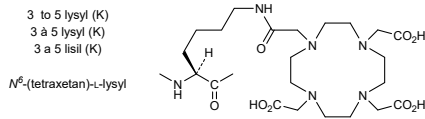
**Heavy chain / Chaîne lourde / Cadena pesada**  
 EVQLVQSGPE VKKPGATVKI SCKTSGYTFE EYTIHWVKQA PGKGLEWIGN 50  
 INPNNGGTTY NQKFEDKATL TVDKSTDTAY MELSSLRSED TAVYYCAAGW 100  
 NFDYWGQGTLLTVSSASTKG PSVFPLAPSS KSTSGGTAAL GCLVKDYFPE 150  
 PVTVSWNSGA LTVSGVHTFPA VLQSSGLYSL SSVVTVFSSS LGTQTYICNV 200  
 NHKPSNTKVD KKVPEKSCDK THTCPPCPAP ELLGGPSVFL FPPKPKDTLM 250  
 ISRTPEVTCV VVDVSHEDPE VFNWYVDGV EVHNAKTKPR EEQYNSTYRV 300  
 VSVLTVLHQD WLVGKEYKCK VSNKALPAPI EKTISKAKGQ PREPQVYTL 350  
 PSRDELTKNQ VSLTCLVKG F YPSDIAVEWE SNGQPENNYK TTPPVLDSDG 400  
 SFFLYSKLTV DKSRWQQGNV FSCVMHEAL HNHYTQKSL S LSPGK 445

**Light chain / Chaîne légère / Cadena ligera**  
 DIQMTQSPSS LSTSVGDRVT LTCKASQDVG TAVDWYQQKP GPSKLLIYW 50  
 ASTRHTGIPS RFSGSGSGTD FTLTISSLQP EDFADYCCQ YNSYPLTFPG 100  
 GTKVDIKRTV AAPSVFIFPP SDEQLKSGTA SVVCLLNIFY PREAKVQMKV 150  
 DNALQSGNSQ ESVTEQDSKD STYLSSTLT LSKADYEKHK VYACEVTHQG 200  
 LSSPVTKSFN RGECC 214

**Post-translational modifications**  
**Disulfide bridges location / Position des ponts disulfure / Posiciones de los puentes disulfuro**  
 Intra-H (C23-C104) 22°-96' 142°-198' 259°-319' 365°-423'  
 22°-96" 142"-198" 259"-319" 365"-423"  
 Intra-L (C23-C104) 23°-88' 134°-194'  
 23°-88" 134"-194"  
 Inter-H-L (h 5-CL 126) 218°-214' 218°-214"  
 Inter-H-H (h 11, h 14) 224°-224' 227°-227"

**N-glycosylation sites / Sites de N-glycosylation / Posiciones de N-glicosilación**  
 H CH2 N84.4:  
 295, 295"  
**Fucosylated complex bi-antennary CHO-type glycans / glycanes de type CHO bi-antennaires complexes fucosylés / glicanos de tipo CHO biantennarios complejos fucosilados**

**Potential modified residues / résidus modifiés potentiels / restos modificados potenciales**



**rulabricinum alfa #**  
 rulabricin alfa

human proteoglycan 4 (PRG4, lubricin, cartilage superficial zone proteoglycan, SZP, megakaryocyte-stimulating factor) isoform A, (S<sup>722</sup>>C)-variant, produced in Chinese hamster ovary (CHO) cells, glycoform alfa  
*proteoglycan 4 (lubricin) derivative*

rulabricine alfa

protéoglycane 4 humain (PRG4, lubricine, protéoglycane de la zone superficielle du cartilage, SZP, facteur de stimulation des mégakaryocytes) isoforme A, (S<sup>722</sup>>C)-variant, produit dans des cellules ovariennes de hamster chinois (CHO), glycoforme alfa  
*dérivé du protéoglycane 4 (lubricine)*

rulabricina alfa

proteoglicano 4 humano (PRG4, lubricina, proteoglicano de la zona superficial del cartílago, SZP, factor de estimulación de los megacariocitos) isoforma A, (S<sup>722</sup>>C)-variante, producido en las células ováricas de hamster chino (CHO), glicoforma alfa  
*derivado del proteoglicano 4 (lubricina)*

2252176-75-1

Sequence / Séquence / Secuencia:

QDLSSCAGRC	GEGYSRDTFC	NCDYNCQHYM	ECCPDFKRVCC	TAEIASCGRCC	50
FESFERGRECC	DCDAQCKKYD	KCCPDYSEFC	AEVHNPTSPF	SSKKAPPPSG	100
ASQTIKSTTK	RSKPPNKKK	TKKVIIESEI	TEEHSVSENQ	ESSSSSSSSS	150
SSSTIRKIKS	SKNSAANREL	QKRLKVDNKK	KNRTKKKPTP	KFPVVDKAGS	200
GLDNGDFKVT	TPDTSTTQHN	KVSTSPKITT	AKPNIKRPPL	PPNSDTSKET	250
SLTVNKETT	ETKETTITNK	QTSTDGKERT	TSAKETQSQIE	KTSAKDLAPT	300
SKVLAKPTPK	AETTKGPAAL	TTPKETPTT	PKEPASTTPK	EPTPTTIKSA	350
PTTFKEPAPT	TTKSAPTTPK	EPAPTITKEP	APTTPKEPAP	TTTKEPAPT	400
TKSAPTTFKE	PAPTTPKPPA	PTTPKEPAPT	TPKEPTPTT	KEPAPTITKEP	450
APTTPKEPAP	TAPKKPAPT	PKEPAPTTPK	EPAPTITKEP	SPTTPKEPAP	500
TTTKSAPTTP	KEPAPTITKS	APTTPKEPAP	TTTKEPAPT	PKEPAPTTPK	550
KPAPTTPKEP	APTTPKEPAP	TTTKKPAAPT	PKEPAPTTPK	ETAPTTPKLL	600
TPTTPEKLAP	TPEKPAAPT	PEELAPTPE	EPTPTTPEEP	APTTPKAAAP	650
NTPEKPAAPT	PKEPAPTTPK	EPAPTITKET	APTTPKGTAP	TTTKEPAPT	700
PKKPAKELA	PTTTPKEPTT	TCDKPAPTPE	KGTAPTITKE	PAPTTPKEPA	750
PTTTPKGTAPT	TLKEPAPTTP	KKPAKPELAP	TTTKGPTSTT	SDKPAPTITPK	800
ETAPTTPKEP	APTTPKPPAP	TPPETTPPTT	SEVSTPTTTC	EPTTIHKSPD	850
ESTFELSAEP	TPKALENSPK	EPGVPTTKTP	AATKPEMTT	AKDKTTERDL	900
RTTPETTTAA	PKMTEKAT	TEKTTESKIT	ATTTQVTSTT	TQDPTTPKIT	950
TLKTTTLAPK	VTTTKKTIIT	TEIMNKPEET	AKPKDRATNS	KATTPKPKQP	1000
TKAPKKPTST	KPKKTMPRVR	KPKTTTPTRK	MTSTMPLELN	TSRIAEAMLQ	1050
TTTRNQTPTN	SKLVEVNPKS	EDAGGAEGET	PHMLLRPHVF	MEPVEPTMDY	1100
LPRVFNQGI	INPMLSDEN	ICNGKPVDEL	TTLRNGTLVA	FRGHYFWMLS	1150
PFSPPSPARR	ITEVWGLPSP	IDTVFTRCNC	EGKTEFFKDS	QYWRFTNDIK	1200
DAGYKPIPK	FGGLTQGLV	AALSTAKYKN	WPESVYFFKR	GGSIQQYIYK	1250
QEPVQKCPGR	RPALNYPVYG	ETTQVRRRRR	ERAIGPSQTH	TIRIQYSPAR	1300
LAYQDKGVLH	NEVKVSIILWR	GLPNVVTSAI	SLPNIRKPDG	YDYIYAFSKDQ	1350
YYNIDVPSRT	ARAITTRSQG	TLSKVWYNCP			1380

Post-translational modifications  
 Disulfide bridges location / Position des ponts disulfure / Posiciones de los puentes disulfuro  
 6, 10, 20, 22, 26, 32, 33, 40, 46, 50, 60, 62, 66, 72, 73, 80, 1122, 1379  
 (linked pairs variable or undetermined)  
 Cys-SH: 722, 1257; unknown status: 1178, 1180

Glycosylation sites / Sites de glycosylation / Posiciones de glicosilación  
 N182, N1056, N1120, N1135  
 Fucosylated complex bi-antennary CHO-type glycans / Glycanes de type CHO bi-antennaires complexes fucosylés / Glicanos de tipo CHO biantenarijos complejos fucosilados

Potential O-glycosylation sites  
 26 Ser, 174 Thr  
 Sialylated and/or sulfated core 1 (Galβ1-3GalNAcβ1) CHO type O-glycans  
 Ser: 99, 102, 107, 112, 223, 225, 273, 282, 288, 293, 301, 336, 349, 364, 403, 491, 505, 529, 788, 848, 852, 857, 868, 938, 990, 1009;  
 Thr: 104, 108, 109, 216, 224, 229, 253, 258, 259, 265, 266, 267, 268, 272, 274, 280, 281, 286, 292, 300, 308, 321, 322, 327, 329, 330, 337, 338, 343, 345, 346, 352, 353, 360, 361, 362, 367, 368, 375, 376, 377, 383, 384, 391, 392, 393, 399, 400, 401, 406, 407, 414, 415, 422, 423, 430, 431, 436, 438, 439, 446, 447, 453, 454, 461, 469, 470, 477, 478, 485, 486, 487, 493, 494, 501, 502, 503, 508, 509, 510, 516, 517, 518, 523, 524, 531, 532, 533, 539, 540, 547, 548, 555, 556, 563, 564, 571, 572, 573, 579, 580, 587, 588, 592, 595, 603, 652, 659, 660, 667, 668, 675, 676, 680, 683, 688, 691, 692, 699, 700, 712, 733, 736, 737, 744, 745, 752, 753, 757, 760, 761, 768, 769, 781, 787, 789, 805, 813, 814, 843, 844, 853, 861, 876, 906, 907, 917, 919, 920, 921, 930, 932, 933, 934, 937, 939, 940, 941, 944, 951, 954, 955, 956, 962, 963, 964, 988, 1008, 1010, 1015, 1024, 1025, 1027, 1137

Gln1>Glp (pyroglutamyl, 5-oxoprolyl)

**sabatolimabum #**  
 sabatolimab

immunoglobulin G4-kappa, anti-[*Homo sapiens* HAVCR2 (hepatitis A virus cellular receptor 2, T-cell immunoglobulin mucin family member 3, Tim-3, TIM3, TIMD3, CD366)], humanized monoclonal antibody; gamma4 heavy chain humanized (1-444) [VH (*Homo sapiens* IGHV1-46\*01 (87.8%) -(IGHD) -IGHJ4\*01 (92.3%)) CDR-IMGT [8.8.11] (26-33.51-58.97-107) (1-118)-*Homo sapiens* IGHG4\*01, G4v5 h P10 (CH1 (119-216), hinge 1-12 S10>P (226) (217-228), CH2 (229-338), CH3 (339-443), CHS K>del (444)) (119-444)], (132-218')-disulfide with kappa light chain humanized (1'-218') [V-KAPPA (*Homo sapiens* IGKV1-39\*01 (81.6%) -IGKJ4\*01 (100%)) CDR-IMGT [10.3.9] (27-36.54-56.93-101) (1'-111') -*Homo sapiens* IGKC\*01 (100%), Km3 A45.1 (157), V101 (195) (112'-218')]; dimer (224-224":227-227")-bisdisulfide, produced in Chinese hamster ovary (CHO) cells, glycoform alpha immunomodulator, antineoplastic

sabatolimab

immunoglobuline G4-kappa, anti-[*Homo sapiens* HAVCR2 (récepteur cellulaire 2 du virus de l'hépatite A, CD366, membre 3 de la famille mucine immunoglobuline des cellules T, Tim-3, TIM3, TIMD3, CD366)], anticorps monoclonal humanisé; chaîne lourde gamma4 humanisée (1-444) [VH (*Homo sapiens* IGHV1-46\*01 (87.8%) -(IGHD) -IGHJ4\*01 (92.3%)) CDR-IMGT [8.8.11] (26-33.51-58.97-107) (1-118) -*Homo sapiens* IGHG4\*01, G4v5 h P10 (CH1 (119-216), charnière 1-12 S10>P (226) (217-228), CH2 (229-338), CH3 (339-443), CHS K>del (444)) (119-444)], (132-218')-disulfure avec la chaîne légère kappa humanisée (1'-218') [V-KAPPA (*Homo sapiens* IGKV1-39\*01 (81.6%) -IGKJ4\*01 (100%)) CDR-IMGT [10.3.9] (27-36.54-56.93-101) (1'-111') -*Homo sapiens* IGKC\*01 (100%), Km3 A45.1 (157), V101 (195) (112'-218')]; dimère (224-224":227-227")-bisdisulfure, produit dans des cellules ovariennes de hamster chinois (CHO), glycoforme alfa immunomodulateur, antinéoplasique

sabatolimab

immunoglobulina G4-kappa, anti-[*Homo sapiens* HAVCR2 (receptor celular 2 del virus de la hepatitis A, CD366, miembro 3 de la familia mucina immunoglobulina de las células T, Tim-3, TIM3, TIMD3, CD366)], anticuerpo monoclonal humanizado; cadena pesada gamma4 humanizada (1-444) [VH (*Homo sapiens* IGHV1-46\*01 (87.8%) -(IGHD) -IGHJ4\*01 (92.3%)) CDR-IMGT [8.8.11] (26-33.51-58.97-107) (1-118) -*Homo sapiens* IGHG4\*01, G4v5 h P10 (CH1 (119-216), bisagra 1-12 S10>P (226) (217-228), CH2 (229-338), CH3 (339-443), CHS K>del (444)) (119-444)], (132-218')-disulfuro con la cadena ligera kappa humanizada (1'-218') [V-KAPPA (*Homo sapiens* IGKV1-39\*01 (81.6%) -IGKJ4\*01 (100%)) CDR-IMGT [10.3.9] (27-36.54-56.93-101) (1'-111') -*Homo sapiens* IGKC\*01 (100%), Km3 A45.1 (157), V101 (195) (112'-218')]; dímero (224-224":227-227")-bisdisulfuro, producido por células ováricas de hamster chino (CHO), forma glicosilada alfa immunomodulador, antineoplásico

2252262-24-9

Heavy chain / Chaîne lourde / Cadena pesada

QVQLVQSGAE VVKPGSSSVKV SCKASGYTFT SYNMHVVRQA PGQGLEWMD 50  
 IYPNGDTSY NQKFKGRVTI TADKSTSTVY MELSLRSED TAVYYCARVG 100  
 GAFPMYWGQ GTTIVTSSAS TKGPSVFLPLA PCSRSTSEST AALGLKVDKY 150  
 FPEPVTYSWN KGALTSVGHV FPAVLQSSGL YSLGSSVTVF SSSLGTKTYT 200  
 CNVDHKFSNT KVDKRVESKY GPCCPPCPAP EFLGSPVFL FPFKDKTLM 250  
 ISRTPEVTCV VVDVQSDPE VQFNWYVDGV EVHNAKTKPR EEQFNSTYRV 300  
 VSVLTVLHQD WLNKEYKCK VSNKGLPSSI EKTISKAKGQ PREPQVYTLF 350  
 FSQEMTKNQ VSLTCLVKG F YPSDIAVEWE SNGQPENNYK TTPFVLDSDG 400  
 SFFLYSRLTV DKSRWQEGNV FSCSVMEAL HNHYTQKSL SLSL 444

Light chain / Chaîne légère / Cadena ligera

AIQLTQSPSS LSASVGDRTV ITCRASESVE YYGTSIMQWY QQKPGKAPKL 50  
 LIYAANVSES GVPSRFGSGG SGTDFTLTIS SLQPEDFATY FCQQSRKDP 100  
 TFGGGTKVEI KRTVAAPSVF IFPPSDEQLK SGTASVVCLL NNFYFREAKV 150  
 QWKVDNALQS GNSQESVTEQ DSKDSTYSL S TLTLSKADY EKHKVYACV 200  
 THQGLSSPVT KSFNRGEC 218

Post-translational modifications

Disulfide bridges location / Position des ponts disulfure / Posiciones de los puentes disulfuro

Intra-H (C23-C104) 22-96 145-201 259-319 365-423  
 22"-96" 145"-201" 259"-319" 365"-423"

Intra-L (C23-C104) 23'-92" 138"-198"  
 23'''-92''' 138'''-198'''

Inter-H-L (CH1 10-CL 126) 132-218" 132"-218"

Inter-H-H (h 8, h 11) 224-224" 227-227"

N-terminal glutaminyl cyclization to pyroglutamyl (pE, 5-oxoprolyl)

H VH Q1: 1, 1"

N-glycosylation sites / Sites de N-glycosylation / Posiciones de N-glicosilación

H CH2 N84.4:

295, 295"

Fucosylated complex bi-antennary CHO-type glycans / glycanes de type CHO bi-antennaires

complexes fucosylés / glicanos de tipo CHO biantenarios complejos fucosilados

**samelisantum**

samelisant

*N*-{4-[(1-cyclobutylpiperidin-4-yl)oxy]phenyl}-2-(morpholin-4-yl)acetamide  
*histamine H<sub>3</sub> receptor inverse agonist*

samélsant

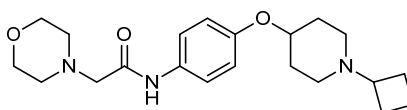
*N*-{4-[(1-cyclobutylpipéridin-4-yl)oxy]phényl}-2-(morpholin-4-yl)acétamide  
*agoniste inverse du récepteur H<sub>3</sub> de l'histamine*

samelisant

*N*-{4-[(1-ciclobutilpiperidin-4-il)oxi]fenil}-2-(morfolin-4-il)acetamida  
*agonista inverso del receptor H<sub>3</sub> de histamina*

C<sub>21</sub>H<sub>31</sub>N<sub>3</sub>O<sub>3</sub>

1394808-82-2

**samuraciclibum**

samuraciclib

(3*R*,4*R*)-4-({[7-(benzylamino)-3-(propan-2-yl)pyrazolo[1,5-*a*]pyrimidin-5-yl]amino}methyl)piperidin-3-ol  
*cyclin-dependent kinase inhibitor, antineoplastic*

samuraciclib

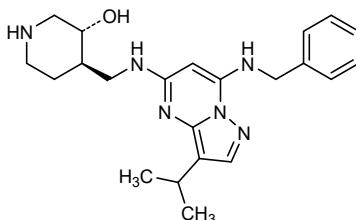
(3*R*,4*R*)-4-({[7-(benzylamino)-3-(propan-2-yl)pyrazolo[1,5-*a*]pyrimidin-5-yl]amino}méthyl)pipéridin-3-ol  
*inhibiteur des kinases dépendantes des cyclines, antinéoplasique*

samuraciclib

(3*R*,4*R*)-4-({[7-(benzilamino)-3-(propan-2-il)pirazolo[1,5-*a*]pirimidin-5-il]amino}metil)piperidin-3-ol  
*inhibidor de las kinasas dependientes de las ciclinas, antineoplásico*

C<sub>22</sub>H<sub>30</sub>N<sub>6</sub>O

1805833-75-3

**seralutinibum**

seralutinib

*N*-{3-[(1*S*)-1-[[6-(3,4-dimethoxyphenyl)pyrazin-2-yl]amino]ethyl]phenyl}-5-methylpyridine-3-carboxamide  
*tyrosine kinase inhibitor*

séralutinib

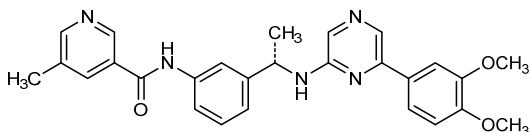
*N*-{3-[(1*S*)-1-[[6-(3,4-diméthoxyphényl)pyrazin-2-yl]amino]éthyl]phényl}-5-méthylpyridine-3-carboxamide  
*inhibiteur de la tyrosine kinase*

seralutinib

*N*-{3-[(1*S*)-1-[[6-(3,4-dimetoxyfenil)pirazin-2-il]amino]etil]fenil}-5-metilpiridina-3-carboxamida  
*inhibidor de la tirosina kinasa*

C<sub>27</sub>H<sub>27</sub>N<sub>5</sub>O<sub>3</sub>

1619931-27-9

**simoladagenum autotemcelum #**

simoladagene autotemcel

autologous CD34+ hematopoietic stem cells (HSC), obtained by leukapheresis or from bone marrow, transduced *ex vivo* with a non-replicating, self-inactivating (SIN) lentiviral vector encoding codon optimised human adenosine deaminase (ADA) under the internal control of elongation factor 1 $\alpha$  short promoter (EFS)  
*genetically modified cell (immunodeficiency)*

simoladagène autotemcel

cellules souches hématopoïétiques CD34+ autologues obtenues par leucophérese ou de la moëlle osseuse, transduites *ex vivo* avec un vecteur lentiviral non-répliquant, auto-inactivant (SIN) codant pour l'adénosine déaminase (ADA) humaine codon optimisé sous le contrôle interne d'un promoteur court du facteur d'élongation 1 $\alpha$  (EFS)  
*cellule génétiquement modifiée (immunodéficience)*

simoladagén autotemcel

células madre hematopoyéticas CD34+ autólogas obtenidas por leucoaféresis o de médula ósea, transducidas *ex vivo* con un vector lentiviral no replicativo y auto inactivante (SIN), que codifica para la adenosina deaminasa (ADA) humana con codones optimizados bajo el control interno del promotor corto del factor de elongación 1 $\alpha$  (EFS)  
*célula genéticamente modificada (immunodeficiencia)*

**sisunatovirum**

sisunatovir

1'-[[5-(aminomethyl)-1-(4,4,4-trifluorobutyl)-1*H*-benzimidazol-2-yl]methyl]-6'-fluorospiro[cyclopropane-1,3'-indol]-2'(1'*H*)-one  
*antiviral*

sisunatovir

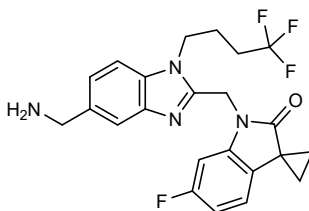
1'-[[5-(aminométhy)-1-(4,4,4-trifluorobutyl)-1*H*-benzimidazol-2-yl]méthy]-6'-fluoro-spiro[cyclopropane-1,3'-[3*H*]indol]-2'(1'*H*)-one  
*antiviral*

sisunatovir

1'-[[5-(aminometil)-1-(4,4,4-trifluorobutil)-1*H*-benzimidazol-2-il]metil]-6'-fluoro-spiro[ciclopropano-1,3'-[3*H*]indol]-2'(1'*H*)-ona  
*antiviral*

C<sub>23</sub>H<sub>22</sub>F<sub>4</sub>N<sub>4</sub>O

1903763-82-5

**sovesudilum**

sovesudil

propyl 2'-(aminométhyl)-5'-[(3-fluoropyridin-4-yl)carbamoyl][1,1'-biphényl]-3-carboxylate  
*Rho-associated protein kinase inhibitor*

sovésudil

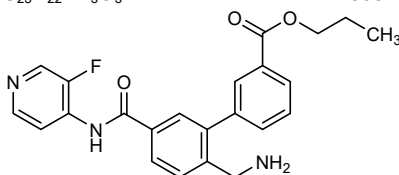
2'-(aminométhyl)-5'-[(3-fluoropyridin-4-yl)carbamoyl][1,1'-biphényl]-3-carboxylate de propyle  
*inhibiteur de la protéine kinase associée à Rho*

sovesudil

2'-(aminometil)-5'-[(3-fluoropiridin-4-il)carbamoil][1,1'-bifenil]-3-carboxilato de propilo  
*inhibidor de la proteína kinasa asociada al Rho*

C<sub>23</sub>H<sub>22</sub>FN<sub>3</sub>O<sub>3</sub>

1333400-14-8

**sugemalimabum #**

sugemalimab

immunoglobulin G4-lambda, anti-[*Homo sapiens* CD274 (programmed death ligand 1, PDL1, PD-L1, B7 homolog 1, B7H1)], *Homo sapiens* monoclonal antibody;

gamma4 heavy chain *Homo sapiens* (1-448) [VH (*Homo sapiens*IGHV3-23\*01 (98.0%) -(IGHD) -IGHJ4\*01 (100%)) [8.8.14] (1-121) -*Homo sapiens*IGHG4\*01, G4v5 h P10 (CH1 (122-219), hinge 1-12 S10>P (229) (220-231), CH2 (232-341), CH3 (342-446), CHS (447-448)) (122-448)], (135-213')-disulfide with lambda light chain *Homo sapiens* (1'-214') [V-LAMBDA (*Homo sapiens*IGLV3-21\*02 (100%) -IGLJ2\*01 (100%)) [6.3.11] (1'-108') -*Homo sapiens*IGLC2\*01 (100%) (109'-214')]; dimer (227-227'' : 230-230'')-bisdisulfide, produced in Chinese hamster ovary (CHO) cells, glycoform alfa  
*immunomodulator, antineoplastic*

sugémalimab

immunoglobuline G4-lambda, anti-[*Homo sapiens* CD274 (ligand 1 de mort programmée, PDL1, PD-L1, homologue 1 de B7, B7H1)], anticorps monoclonal *Homo sapiens*;

sugemalimab

chaîne lourde gamma4 *Homo sapiens* (1-448) [VH (*Homo sapiens* IGHV3-23\*01 (98.0%) -(IGHD) - IGHJ4\*01 (100%)) [8.8.14] (1-121) -*Homo sapiens* IGHG4\*01, G4v5 h P10 (CH1 (122-219), charnière 1-12 S10>P (229) (220-231), CH2 (232-341), CH3 (342-446), CHS (447-448)) (122-448)], (135-213')-disulfure avec la chaîne légère lambda *Homo sapiens* (1'-214') [V-LAMBDA (*Homo sapiens* IGLV3-21\*02 (100%) -IGLJ2\*01 (100%)) [6.3.11] (1'-108') -*Homo sapiens* IGLC2\*01 (100%) (109'-214')]; dimère (227-227'':230-230'')-bisdisulfure, producido por células ováricas de hamster chino (CHO), forma glicosilada alfa  
*immunomodulateur, antinéoplasique*

inmunoglobulina G4-lambda, anti-[*Homo sapiens* CD274 (ligando 1 de muerte programada, PDL1, PD-L1, homólogo 1 de B7, B7H1)], anticuerpo monoclonal *Homo sapiens*;  
cadena pesada gamma4 *Homo sapiens* (1-448) [VH (*Homo sapiens* IGHV3-23\*01 (98.0%) -(IGHD) - IGHJ4\*01 (100%)) [8.8.14] (1-121) -*Homo sapiens* IGHG4\*01, G4v5 h P10 (CH1 (122-219), bisagra 1-12 S10>P (229) (220-231), CH2 (232-341), CH3 (342-446), CHS (447-448)) (122-448)], (135-213')-disulfuro con la cadena ligera lambda *Homo sapiens* (1'-214') [V-LAMBDA (*Homo sapiens* IGLV3-21\*02 (100%) -IGLJ2\*01 (100%)) [6.3.11] (1'-108') -*Homo sapiens* IGLC2\*01 (100%) (109'-214')]; dímero (227-227'':230-230'')-bisdisulfuro, producido por células ováricas de hamster chino (CHO), forma glicosilada alfa  
*immunomodulador, antineoplásico*

2256084-03-2

Heavy chain / Chaîne lourde / Cadena pesada  
EVQLLESGGG LVQPGGSLRL SCAASGFTFS SYAMSWVRQA PGKGLEWVSG 50  
ISGSGGFTYY ADSVKGRFTI SRDNSKNTLY LQMNSLRAED TAVYYCAKPP 100  
RGNYGPFDDY WQGGTLTVTS SASTKGPSVF PLAPCSRSTS ESTALGCLV 150  
KDYFPEFVTV SWNSGALTSV VHTFFPAVLQS SGLYLSLSVV TVPSSSLGK 200  
TYTCNVDDHKP SNTKVDKQVE SKYVPPCPFC PAFPEFLGGPS VLFPPPKPKD 250  
TLMISRTPEV TCVVVDVQSE DPEVQFNWYV DGEVHNNAKT KPREEQFNST 300  
YRVVSVLTVL HQDWLNGKEY KCKVSNKGLP SSEIKTISKA KGQPFQPVY 350  
TLPPSQEEMT KNQVSLTCLV KGFYPSDIAV EWESNGQPEN NYKTTFPVLD 400  
SDGSFFLYSR LTVDKSRWQE GNVFSCSMH EALHNHYTQK SLSLSLGK 448

Light chain / Chaîne légère / Cadena ligera  
SYVLTQPPSV SVAFGQTARI TCGGNNIGSK SVHWYQKPG QAFVLVYVDD 50  
SDRPSGIPER FSGSNSGNTA TLTIISRVEAG DEADYYCQVW DSSSDHWVFG 100  
GGTKLTVLGG FKAAPSVTLF PPSSEELQAN KATLVCLISD FYFGAVTVAW 150  
KADSSPVKAG VETTTFSKQS NNKYAASSYL SLTPEQWKSH RYSYCSQWTHE 200  
GSTVEKTVAP TECS 214

Post-translational modifications  
Disulfide bridges location / Position des ponts disulfure / Posiciones de los puentes disulfuro  
Intra-H (C23-C104) 22-96 148-204 262-322 368-426  
22'-96" 148"-204" 262"-322" 368"-426"  
Intra-L (C23-C104) 22'-87" 136'-195"  
22"-87" 136"-195"  
Inter-H-L (CH1 10-CL 126) 135-213' 135"-213"  
Inter-H-H (h 8, h 11) 227-227" 230-230"

N-glycosylation sites / Sites de N-glycosylation / Posiciones de N-glicosilación  
H CH2 N84.4:  
298, 298"  
Fucosylated complex bi-antennary CHO-type glycans / glycanes de type CHO bi-antennaires complexes fucosylés / glicanos de tipo CHO biantenaricos complejos fucosilados

Deamidation sites / Sites de déamidation / Posiciones de desamidación  
H CH3 N44: 385, 385"  
H CH3 N114: 435, 435"  
Oxidation sites / Sites de oxydation / Posiciones de oxidación  
H CH2 M15.1: 253, 253"  
H CH3 M107: 429, 429"

**suvecaltamidum**

suvecaltamide

2-[4-(propan-2-yl)phényl]-N-((1R)-1-[5-(2,2,2-trifluoroéthoxy)pyridin-2-yl]éthyl)acétamide  
*voltage-activated calcium channel (Ca<sub>v</sub>) stabilizer, antiepileptic*

suvécaltamide

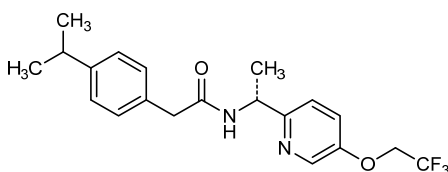
2-[4-(propan-2-yl)phényl]-N-((1R)-1-[5-(2,2,2-trifluoroéthoxy)pyridin-2-yl]éthyl)acétamide  
*stabilisateur des canaux calciques dépendants du voltage (Ca<sub>v</sub>), antiépileptique*

suvecaltamida

2-[4-(propan-2-il)fenil]-N-((1R)-1-[5-(2,2,2-trifluoroetoxi)piridin-2-il]etil)acetamida  
*estabilizador de los canales cálcicos dependientes del voltaje (Ca<sub>v</sub>), antiépileptico*

C<sub>20</sub>H<sub>23</sub>F<sub>3</sub>N<sub>2</sub>O<sub>2</sub>

953778-58-0

**tebotelimabum**

tebotelimab

immunoglobulin G4-kappa, anti-[*Homo sapiens* PDCD1 (programmed cell death 1, PD-1, PD1, CD279)] and anti-[*Homo sapiens* LAG3 (lymphocyte activating 3, lymphocyte-activation 3, CD223)], humanized monoclonal antibody, bispecific tetravalent;  
 gamma4 heavy chain scFv-h-CH2-CH3 humanized (1-496) [V-KAPPA anti-LAG3 (*Homo sapiens* IGKV1-39\*01 (88.4%) -IGKJ4\*01 (90.9%)) [6.3.9] (1-107) -8-mer linker (108-115) -VH anti-PDCD1 (*Homo sapiens* IGHV1-46\*01 (81.6%) -(IGHD) -IGHJ4\*01 (92.9%)) [8.8.12] (116-234) -6-mer diglycyl-cysteinyl-triglycyl linker (235-240) -E-coil motif (241-268) -*Homo sapiens* IGHG4\*01, G4v5 h P10, G4v21 CH2 Y15.1, T16, E18 (hinge 1-12 S10>P (278) (269-280), CH2 M15.1>Y (302), S16>T (304), T18>E (306) (281-390), CH3 (391-495), CHS K>del (496) (269-496))], (237-240':245-248')-bisdisulfide with kappa light chain humanized (1'-271') [V-KAPPA anti-PDCD1 (*Homo sapiens* IGKV3D-11\*02 (77.7%) -IGKJ4\*01 (100%)) [10.3.9] (1'-111') -8-mer linker (112'-119') -VH anti LAG3 (*Homo sapiens* IGHV1-18\*01 (86.7%) -(IGHD) -IGHJ4\*01 (82.7%)) [8.8.11] (120'-237') -6-mer diglycyl-cysteinyl-triglycyl linker (238'-243') -K-coil motif (244'-271')];  
 dimer (276-276":279-279")-bisdisulfide, produced in Chinese hamster ovary (CHO) cells, glycoform alfa  
*immunomodulator, antineoplastic*

tébotélimab

immunoglobuline G4-kappa, anti-[*Homo sapiens* PDCD1 (protéine 1 de mort cellulaire programmée, PD-1, PD1, CD279)] et anti-[*Homo sapiens* LAG3 (activateur 3 des lymphocytes, lymphocyte-activation 3, CD223)], anticorps monoclonal humanisé, bispécifique tétravalent;

chaîne lourde gamma4 scFv-h-CH2-CH3 humanisée (1-496) [V-KAPPA anti-LAG3 (*Homo sapiens* IGKV1-39\*01 (88.4%) -IGKJ4\*01 (90.9%))] [6.3.9] (1-107) -8-mer linker (108-115) -VH anti-PDCD1 (*Homo sapiens* IGHV1-46\*01 (81.6%) -(IGHD) -IGHJ4\*01 (92.9%)) [8.8.12] (116-234) -6-mer diglycyl-cystéinyl-triglycyl linker (235-240) -E-coil motif (241-268) -*Homo sapiens* IGHG4\*01, G4v5 h P10, G4v21 CH2 Y15.1, T16, E18 (charnière 1-12 S10>P (278) (269-280), CH2 M15.1>Y (302), S16>T (304), T18>E (306) (281-390), CH3 (391-495), CHS K>del (496) (269-496))), (237-240':245-248')-bisdisulfure avec la chaîne légère kappa humanisée (1'-271') [V-KAPPA anti-PDCD1 (*Homo sapiens* IGKV3D-11\*02 (77.7%) -IGKJ4\*01 (100%))] [10.3.9] (1'-111') -8-mer linker (112'-119') -VH anti-LAG3 (*Homo sapiens* IGHV1-18\*01 (86.7%) -(IGHD) -IGHJ4\*01 (82.7%))] [8.8.11] (120'-237') -6-mer diglycyl-cystéinyl-triglycyl linker (238'-243') -K-coil motif (244'-271');

dimère (276-276":279-279")-bisdisulfure, produit dans des cellules ovariennes de hamster chinois (CHO), glycoforme alfa  
*immunomodulateur, antinéoplasique*

tebotelimab

immunoglobulina G4-kappa, anti-[*Homo sapiens* PDCD1 (proteína 1 de muerte celular programada, PD-1, PD1, CD279)] y anti-[*Homo sapiens* LAG3 (activador 3 de los linfocitos, linfocito-activación 3, CD223)], anticuerpo monoclonal humanizado, biespecífico tetravalente;

cadena pesada gamma4 scFv-h-CH2-CH3 humanizada (1-496) [V-KAPPA anti-LAG3 (*Homo sapiens* IGKV1-39\*01 (88.4%) -IGKJ4\*01 (90.9%))] [6.3.9] (1-107) -conector octámero (108-115) -VH anti-PDCD1 (*Homo sapiens* IGHV1-46\*01 (81.6%) -(IGHD) -IGHJ4\*01 (92.9%)) [8.8.12] (116-234) -conector sexámero diglicil-cisteinil-triglicil (235-240) -E-coil motif (241-268) -*Homo sapiens* IGHG4\*01, G4v5 h P10, G4v21 CH2 Y15.1, T16, E18 (bisagra 1-12 S10>P (278) (269-280), CH2 M15.1>Y (302), S16>T (304), T18>E (306) (281-390), CH3 (391-495), CHS K>del (496) (269-496))), (237-240':245-248')-bisdisulfuro con la cadena ligera kappa humanizada (1'-271') [V-KAPPA anti-PDCD1 (*Homo sapiens* IGKV3D-11\*02 (77.7%) -IGKJ4\*01 (100%))] [10.3.9] (1'-111') -conector octámero (112'-119') -VH anti-LAG3 (*Homo sapiens* IGHV1-18\*01 (86.7%) -(IGHD) -IGHJ4\*01 (82.7%))] [8.8.11] (120'-237') -conector sexámero diglicil-cisteinil-triglicil (238'-243') -K-coil motif (244'-271');

dímero (276-276":279-279")-bisdisulfuro, producido por células ováricas de hamster chino (CHO), forma glicosilada alfa  
*immunomodulador, antineoplásico*

2245725-04-4

Heavy chain / Chaîne lourde / Cadena pesada

DIQMTQSPSS	LSASVGRVT	ITCRASQDVS	SVVAWYQQKF	GKAPKLLIYS	50
ASYRYTGVPS	RFGSGSGSDT	FLTIISLLQP	EDFATYYCQQ	HYSTPWTFFGG	100
GTKLEIKGGG	SGGGGQQLV	QSGAEVKKPG	ASVKVSKCAS	GYSFTSYWMN	150
WVRQAPGQGL	EWIGVIHPSD	SETWLDQKFK	DRVITITVDKS	TSTAYMELSS	200
LRSEDTAVYY	CAREHYGTSP	FAYWQGQTLV	TVSSGGCGGG	EVAACEKEVA	250
ALEKEVAALE	KEVAALEKES	KYGPCCPPCP	APEFLGGFSV	FLFPKPKPDT	300
LYITREPEVT	CVVVDVQED	PEVQFNWYVD	GVEVHNAKTK	PREEQFNSTY	350
RVVSVLTVLH	QDWLNGKEYK	CKVSNKGLPS	SIKTIISKAK	GQPREPQVYV	400
LPSPQEQEMTK	NQVSLTCLVK	GFYPDSIAVE	WESNGQPENN	YKTTTPVLDL	450
DGSFFLYSRL	TVDKSRWQEG	NVFSCSVME	ALHNYHTQKS	LSSLG	496

Light chain / Chaîne légère / Cadena ligera

EIVLTQSPAT	LSLSPGERAT	LSCRASESVD	NYGMSFMNWF	QQKPGQPPKL	50
LIHAASNQGS	GVPSRFSGSG	SGDTFTLTIS	SLEPEDFAVY	FCQQSKEVFPY	100
TPGGGKTVEI	KGGGSGGGGQ	VQLVQSGAEV	KKPGASVKVS	CKASGYTFTD	150
VNMDWVRQAP	GGGLEWGGDI	NPDNGVTIYN	QKFEGRVMT	TDSTSTAYM	200
ELRSLRSDDT	AVYYCAREAD	YFYFDVWGQG	TTLTVSSGGC	GGKVAACEKE	250
KVAALKEKVA	ALKEKVAALK	E			271

## Post-translational modifications

Disulfide bridges location / Position des ponts disulfure / Posiciones de los puentes disulfuro

Intra-H (C23-C104)	23-88	137-211	311-371	417-475
	23"-88"	137"-211"	311"-371"	417"-475"
Intra-L (C23-C104)	23'-92'	141'-215'		
	23"-92"	141"-215"		
Inter-H-L	237-240'	245-248"		
	237"-240"	245"-248"		
Inter-H-H (h 8, h 11)	276-276"	279-279"		

N-glycosylation sites / Sites de N-glycosylation / Posiciones de N-glicosilación

H CH2 N84.4:

347, 347"

Fucosylated complex bi-antennary CHO-type glycans / glycanes de type CHO bi-antennaires  
complexes fucosylés / glicanos de tipo CHO biantennarios complejos fucosilados

**telazolrimabum #**  
telazolrimab

immunoglobulin G1-kappa, anti-[*Homo sapiens* TNFRSF4 (tumor necrosis factor receptor (TNFR) superfamily member 4, ACT35, OX40, CD134)], humanized monoclonal antibody;  
gamma1 heavy chain humanized (1-448) [VH (*Homo sapiens*IGHV2-70\*10 (93.0%) -(IGHD) -IGHJ4\*01 (92.9%)) CDR-IMGT [10.7.10] (26-35.53-59.98-107) (1-118) -*Homo sapiens*IGHG1\*01 (100%), G1m17,1 (CH1 K120 (215) (119-216), hinge 1-15 (217-231), CH2 (232-341), CH3 D12 (357), L14 (359) (342-446), CHS (447-448)) (119-448)], (221-213')-disulfide with kappa light chain humanized (1'-213') [V-KAPPA (*Homo sapiens*IGKV3-11\*01 (87.4%) -IGKJ1\*01 (100%)) CDR-IMGT [5.3.9] (27-31.49-51.38-46) (1'-106') -*Homo sapiens*IGKC\*01 (100%) Km3 A45.1 (152), V101 (190) (107'-213')];  
dimer (227-227":230-230")-bisdisulfide, produced in Chinese hamster ovary (CHO) cells, glycoform alfa  
*immunomodulator*

## télazolrimab

immunoglobuline G1-kappa, anti-[*Homo sapiens* TNFRSF4 (membre 4 de la superfamille des récepteurs du facteur de nécrose tumorale, ACT35, OX40, CD134)], anticorps monoclonal humanisé;  
chaîne lourde gamma1 humanisée (1-448) [VH (*Homo sapiens*IGHV2-70\*10 (93.0%) -(IGHD) -IGHJ4\*01 (92.9%)) CDR-IMGT [10.7.10] (26-35.53-59.98-107) (1-118) -*Homo sapiens*IGHG1\*01 (100%), G1m17,1 (CH1 K120 (215) (119-216), charnière 1-15 (217-231), CH2 (232-341), CH3 D12 (357), L14 (359) (342-446), CHS (447-448)) (119-448)], (221-213')-disulfure avec la chaîne légère kappa humanisée (1'-213') [V-KAPPA (*Homo sapiens*IGKV3-11\*01 (87.4%) -IGKJ1\*01 (100%)) CDR-IMGT [5.3.9] (27-31.49-51.38-46) (1'-106') -*Homo sapiens*IGKC\*01 (100%) Km3 A45.1 (152), V101 (190) (107'-213')];  
dimère (227-227":230-230")-bisdisulfure, produit dans des cellules ovariennes de hamster chinois (CHO), glycoforme alfa  
*immunomodulateur*

telazolrimab

inmunoglobulina G1-kappa, anti-[*Homo sapiens* TNFRSF4 (miembro 4 de la superfamilia de los receptores del factor de necrosis tumoral, ACT35, OX40, CD134)], anticuerpo monoclonal humanizado;  
 cadena pesada gamma1 humanizada (1-448) [VH (*Homo sapiens* IGHV2-70\*10 (93.0%) -(IGHD)-IGHJ4\*01 (92.9%)) CDR-IMGT [10.7.10] (26-35.53-59.98-107) (1-118) -*Homo sapiens* IGHG1\*01 (100%), G1m17,1 (CH1 K120 (215) (119-216), bisagra 1-15 (217-231), CH2 (232-341), CH3 D12 (357), L14 (359) (342-446), CHS (447-448)) (119-448)], (221-213')-disulfuro con la cadena ligera kappa humanizada (1'-213') [V-KAPPA (*Homo sapiens* IGKV3-11\*01 (87.4%) -IGKJ1\*01 (100%)) CDR-IMGT [5.3.9] (27-31.49-51.38-46) (1'-106') -*Homo sapiens* IGKC\*01 (100%) Km3 A45.1 (152), V101 (190) (107'-213')];  
 dímero (227-227":230-230")-bisdisulfuro, producido por células ováricas de hamster chino (CHO), forma glicosilada alfa  
*immunomodulador*

2126777-87-3

Heavy chain / Chaîne lourde / Cadena pesada  
 QVTLKESGPA LVKFTQTLTL TCSFSGFSLT TSGMGVGVWIR QPFGKALEWI 50  
 AHIWDDDKY YNTALKRRLT ISKDTSKNQV VLTMTNMDPV DTATYYCARI 100  
 DWDGFAYWQQ GTLVTVSSAS TKGPSVFFLA PSSKSTSGGT AALGCLVKDY 150  
 FPEPVTVSWN SGALTSVGHV FPAVLQSSGL YSLSSVVTVP SSSLGTQTYI 200  
 CNVNHKPSNT KVDKVEPKS CDKTHTCFPC PAPELLGGPS VLFPPKPKD 250  
 TLMISRTPEV TCVVVDVSHS DPEVTFNWFV DGEVHNART KPREEQYNST 300  
 YRVVSVLTVL HQDWLNGKEY KCKVSNKALP APIEKTISKA KGQPREPQVY 350  
 TLPSPRDELT KNQVSLTCLV KGFYPSDMIA EWESNGQPEN NYKTTFPVLD 400  
 SDGSAFLYSK LTVDKSRWQQ GNVFSCSVMH EALHNYHTQK SLSLSPGK 448

Light chain / Chaîne légère / Cadena ligera  
 EIVLTQSPAT LSLSPGERAT LSCRASSSVS YMHVYQQKPK QAPRFWIYAT 50  
 SNRATGIPAR FSGSGSGTDY TLTISLSLEPE DFAVYYCQQW SSNPWFEGQG 100  
 TKVEIKRTVA APSVFIFFPS DEQLKSGTAS VVCLLNNFYP REAKVQWKVD 150  
 NALQSGNSQE SVTEQDSKDS TYSLSTLTLL SKADYEKKHV YACEVTHQGL 200  
 SSPVTKSFNR GEC 213

Post-translational modifications  
 Disulfide bridges location / Position des ponts disulfure / Posiciones de los puentes disulfuro  
 Intra-H (C23-C104) 22-97 145-201 262-322 368-426  
 22"-97" 145"-201" 262"-322" 368"-426"  
 Intra-L (C23-C104) 23'-87' 133'-193'  
 23"'-87"' 133"'-193"  
 Inter-H-L (h 5-CL 126) 221-213' 221"-213"  
 Inter-H-H (h 11, h 14) 227-227" 230-230"

N-glycosylation sites / Sites de N-glycosylation / Posiciones de N-glicosilación  
 H CH2 N84.4:  
 298, 298"  
 Fucosylated complex bi-antennary CHO-type glycans / glycanes de type CHO bi-antennaires  
 complexes fucosylés / glicanos de tipo CHO biantenarijos complejos fucosilados  
 C-terminal lysine clipping:  
 H CHS K2:  
 448, 448"

tesnatilimabum #  
 tesnatilimab

immunoglobulin G4-kappa, anti-[*Homo sapiens* KLRK1 (killer cell lectin like receptor K1, NKG2D, KLR, NKG2-D, CD314)], *Homo sapiens* monoclonal antibody;  
 gamma4 heavy chain *Homo sapiens* (1-442) [VH (*Homo sapiens* IGHV4-59\*01 (93.8%) -(IGHD)-IGHJ3\*02 (93.8%)) CDR-IMGT [8.7.9] (26-33.51-57.96-104) (1-115) -*Homo sapiens* IGHG4\*01, G4v5 h P10 (CH1 (116-213), hinge S10>P (223) (214-225), CH2 (226-335), CH3 (336-440), CHS (441-442)) (116-442)], (129-215')-disulfide with kappa light chain *Homo sapiens* (1'-215') [V-KAPPA (*Homo sapiens* IGKV3-20\*01 (100%) -IGKJ1\*01 (100%)) CDR-IMGT [7.3.9] (27-33.51-53.90-98) (1'-108') -*Homo sapiens* IGKC\*01 (100%), Km3 A45.1 (154), V101 (192) (109'-215')];  
 dimer (221-221":224-224")-bisdisulfide, produced in Chinese hamster ovary (CHO) cells, glycoform alfa  
*immunomodulador*

tesnatilimab

immunoglobuline G4-kappa, anti-[*Homo sapiens* KLRK1 (récepteur lectine like K1 de cellule tueuse, NKG2D, KLR, NKG2-D, CD314)], anticorps monoclonal *Homo sapiens*; chaîne lourde gamma1 *Homo sapiens* (1-442) [VH (*Homo sapiens* IGHV4-59\*01 (93.8%) -(IGHD) -IGHJ3\*02 (93.8%)) CDR-IMGT [8.7.9] (26-33.51-57.96-104) (1-115) - *Homo sapiens* IGHG4\*01, G4v5 h P10 (CH1 (116-213), charnière S10>P (223) (214-225), CH2 (226-335), CH3 (336-440), CHS (441-442)) (116-442)], (129-215')-disulfure avec la chaîne légère kappa *Homo sapiens* (1'-215') [V-KAPPA (*Homo sapiens* IGKV3-20\*01 (100%) -IGKJ1\*01 (100%)) CDR-IMGT [7.3.9] (21-33.51-53.90-98) (1'-108') - *Homo sapiens* IGKC\*01 (100%), Km3 A45.1 (154), V101 (192) (109'-215')]; dimère (221-221":224-224")-bisdisulfure, produit dans des cellules ovariennes de hamster chinois (CHO), glycoforme alfa  
*immunomodulateur*

tesnatilimab

inmunoglobulina G4-kappa, anti-[*Homo sapiens* KLRK1 (receptor lectina like K1 de célula asesina, NKG2D, KLR, NKG2-D, CD314)], anticuerpo monoclonal *Homo sapiens*; cadena pesada gamma1 *Homo sapiens* (1-442) [VH (*Homo sapiens* IGHV4-59\*01 (93.8%) -(IGHD) -IGHJ3\*02 (93.8%)) CDR-IMGT [8.7.9] (26-33.51-57.96-104) (1-115) - *Homo sapiens* IGHG4\*01, G4v5 h P10 (CH1 (116-213), bisagra S10>P (223) (214-225), CH2 (226-335), CH3 (336-440), CHS (441-442)) (116-442)], (129-215')-disulfuro con la cadena ligera kappa *Homo sapiens* (1'-215') [V-KAPPA (*Homo sapiens* IGKV3-20\*01 (100%) -IGKJ1\*01 (100%)) CDR-IMGT [7.3.9] (21-33.51-53.90-98) (1'-108') - *Homo sapiens* IGKC\*01 (100%), Km3 A45.1 (154), V101 (192) (109'-215')]; dímero (221-221":224-224")-bisdisulfuro, producido por células ováricas de hamster chino (CHO), forma glicosilada alfa  
*immunomodulador*

2242758-08-1

Heavy chain / Chaîne lourde / Cadena pesada  
 QVHLQESGPG LKPFSETLSL TCTVSDDSIS SYWWSWIRQP PGKLEWIGH 50  
 ISYSGSANYN PSLKSRVTIS VDTSKNQFSL KLSSTAAED AVYYCANWDD 100  
 AFNIWCGQTM VTVSSASTKG PSVFPLAPCS RSTSESTAAL GCLVKDYFPE 150  
 PVTYVNSGSA LTVGVHTFPA VLQSSGLYSL SSVTVRPSSS LGTKYITCVN 200  
 DHKPSNPKVD KRVESKYGPP CPCCPAPEFL GGPSVFLFPP KFKDTLMISR 250  
 TPEVTCVVD VSQEDPEVQP NWIVDGEVH NAKTKPREEQ FNSTYRVVSV 300  
 LTVLHQDWLN GREYKCKVSN KGLPSSIEKT ISKAKGQPRE PQVYTLPPSQ 350  
 EEMTKNQVSL TCLVKGFPYS DIAVEWESNG QFENNYKTFP PVLDSGGSFF 400  
 LYSRLTVDKS RWQEGNVFSC SVMHEALHNH YTQKLSLSL GK 442

Light chain / Chaîne légère / Cadena ligera  
 EIVLTQSPGT LSLSPGERAT LSCRASQSVS SSSLAWYQQK PGQAPRLIY 50  
 GASSRATGIP DRFSGSGSGT DFTLTISRLE PEDFAVYYCQ QYGGSPWTFG 100  
 QGTRKVEIKRT VAAPSFVIFP PSDEQLKSGT ASVVCLLNPF YPREAKVQWK 150  
 VDNALQSGNS QESVTEQDSK DSTYSLSTL TLSKADYERK KYVACEVTHQ 200  
 GLSSPVTKSF NRGEK 215

Post-translational modifications  
 Disulfide bridges location / Position des ponts disulfure / Posiciones de los puentes disulfuro  
 Intra-H (C23-C104) 22-95 142-198 256-316 362-420  
 22"-95" 142"-198" 256"-316" 362"-420"  
 Intra-L (C23-C104) 23"-89" 135"-195"  
 23"-89" 135"-195"  
 Inter-H-L (CH1 10-CL 126) 129-215' 129"-215"  
 Inter-H-H (h 8, h 11) 221-221" 224-224"

N-glycosylation sites / Sites de N-glycosylation / Posiciones de N-glicosilación  
 H CH2 N84.4:  
 292, 292"  
 Fucosylated complex bi-antennary CHO-type glycans / glycanes de type CHO bi-antennaires complexes fucosylés / glicanos de tipo CHO biantennarios complejos fucosilados

**tezatabepum matraxetanum #**

tezatabep matraxetan

three-alpha-helix binding protein, derived from an immunoglobulin G (IgG)-binding domain of a staphylococcal protein A (SpA), designed to bind receptor tyrosine-protein kinase erbB-2 (ERBB2, Neu, HER2), produced by peptide synthesis, conjugated at the C-terminal Cys<sup>61</sup> to one (3RS)-2,5-dioxo-1-(2-{[4,7,10-tris(carboxymethyl)-1,4,7,10-tetraazacyclododecan-1-yl]acetamido}ethyl)pyrrolidin-3-yl (*matraxetan*) group  
*radiodiagnostic agent*

tézatabep matraxétan

protéine à trois hélices alpha, dérivée du domaine de l'immunoglobuline G (IgG) se liant à la protéine staphylococcique A (SpA), mise au point pour se lier au récepteur tyrosine-protéine kinase erbB-2 (ERBB2, Neu, HER2), produite par synthèse peptidique, conjuguée sur la Cys<sup>61</sup> en sa partie C-terminale à un groupe (3RS)-2,5-dioxo-1-(2-{[4,7,10-tris(carboxyméthyl)-1,4,7,10-tétraazacyclododécan-1-yl]acétamido}éthyl)pyrrolidin-3-yle (*matraxétan*)  
*agent de radiodiagnostic*

tezatabep matraxetan

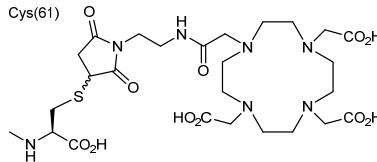
proteína de tres hélices alfa, derivada del dominio de la inmunoglobulina G (IgG) que se une a la proteína estafilocócica A (SpA), diseñada para unirse al receptor tirosina-proteína kinasa erbB-2 (ERBB2, Neu, HER2), producida por síntesis peptídica, conjugada con la Cys<sup>61</sup> en su parte C-terminal a un grupo (3RS)-2,5-dioxo-1-(2-{[4,7,10-tris(carboximetil)-1,4,7,10-tetraazacyclododecan-1-yl]acetamido}etil)pirrolidin-3-ilo (*matraxetan*)  
*agente de radiodiagnóstico*

1162059-45-1

Sequence / Séquence / Secuencia

AEAKYAKEMR NAYWEIALLP NLTNQQKRAF IRKLYDDPSQ SSELLSEAKK 50  
LNSQAPKVD C\* 61

Potential modified residues / résidus modifiés potentiels / restos modificados potenciales



**tifalibepum #**

tifalibep

fusion protein composed of 3 binding domains, each consisting of a three-alpha-helix motif derived from the immunoglobulin (Ig)-binding Z-domain of staphylococcal protein A (SpA), engineered for binding to the human neonatal Fc receptor (FcRn) with the two identical N- and C-terminal domains (1-58, 116-173), and for binding to the domain II of human serum albumin (HSA) with the central domain (59-110), connected via a G<sub>4</sub>S peptide linker (111-115);  
[FcRn-binding engineered SpA peptide (1-58)]-[HSA-binding engineered SpA peptide (59-110)]-[G<sub>4</sub>S linker (111-115)]-[FcRn-binding engineered SpA peptide (116-173)]  
fusion protein;  
produced in *Escherichia coli*  
*immunomodulator*

tifalibep

protéine de fusion composée de 3 domaines liants, chacun consistant en un motif à 3 hélices alfa dérivé du domaine Z de la protéine staphylococcique A (SpA) se liant à l'immunoglobuline (Ig), mis au point pour se lier au récepteur Fc néonatal humain (FcRn) avec les deux domaines N- et C-terminaux identiques (1-58, 116-173), et au domaine II de l'albumine sérique humaine (ASH, HSA) avec le domaine central (59-110), connecté via un peptide liant G<sub>4</sub>S (111-115) ;  
 protéine de fusion [peptide SpA mis au point pour se lier au FcRn (1-58)]-[peptide SpA mis au point pour se lier au HSA (59-110)]-[peptide liant G<sub>4</sub>S (111-115)]-[peptide SpA mis au point pour se lier au FcRn (116-173)];  
 produite par *Escherichia coli*  
*immunomodulateur*

tifalibep

proteína de fusión compuesta de 3 dominios de unión, cada uno consistente en un motivo con 3 hélices alfa derivado del dominio Z de la proteína estafilocócica A (SpA) que se une a la inmunoglobulina (Ig), diseñada para unirse al receptor Fc neonatal humano (FcRn) con los dos dominios N- y C-terminal idénticos (1-58, 116-173), y con el dominio II de la albúmina sérica humana (ASH, HSA) con el dominio central (59-110), conectado a través de un péptido linker G<sub>4</sub>S (111-115) ;  
 proteína de fusión [péptido SpA diseñado para unirse al FcRn (1-58)]-[péptido SpA diseñado para unirse al HSA (59-110)]-[G<sub>4</sub>S linker (111-115)]-[péptido SpA diseñado para unirse al FcRn (116-173)];  
 producida por *Escherichia coli*  
*immunomodulador*

2226130-04-5

## Sequence / Séquence / Secuencia

AEAKFAKEWQ	QAAHEIRWLP	NLTFDQRVAF	IHKLRDDPSQ	SSELLSEAKK	50
LSESQAPKAS	GSLAEAKEAA	NAELDSYGVV	DFYKRLIDKA	KTVEGVEALK	100
DALLAALPFGT	GGGGSAAEAKF	AKEWQAAHE	IRWLPNLTFD	QRVAFIRKLR	150
DDPSQSSELL	SEAKLSESQ	APK			173

## Post-translational modifications / Modifications post-traductionnelles / Modificaciones postraducionales

None / aucune / ninguna

**tilogotamabum #**  
 tilogotamab

immunoglobulin G1-kappa, anti-[*Homo sapiens* TNFRSF10B (tumor necrosis factor receptor (TNFR) superfamily member 10B, death receptor 5, DR5, TNF-related apoptosis-inducing ligand receptor 2, TRAILR2, TRAIL-R2, TR-2, CD262)], humanized monoclonal antibody;  
 gamma1 heavy chain humanized (1-447) [VH (*Homo sapiens* IGHV1-3\*01 (84.7%) -(IGHD) -IGHJ4\*01 (93.3%)) CDR-IMGT [8.8.11] (26-33.51-58.97-107) (1-118) -*Homo sapiens* IGHG1\*03, G1m3, nG1m1, G1v34 CH3 G109 (CH1 R120 (215) (119-216), hinge 1-15 (217-231), CH2 (232-341), CH3 E12 (357), M14 (359), E109>G (431) (342-446), CHS K>del (447)) (119-447)], (221-213')-disulfide with kappa light chain humanized (1'-213') [V-KAPPA (*Homo sapiens* IGKV1-16\*01 (83.2%) -IGKJ4\*01 (100%)) CDR-IMGT [5.3.9] (27-31.49-51.88-96) (1'-106') -*Homo sapiens* IGKC\*01 (100%) Km3 A45.1 (152), V101 (190) (107'-213')];  
 dimer (227-227":230-230")-bisdisulfide, produced in Chinese hamster ovary (CHO) cells, glycoform alfa  
*immunomodulator, antineoplastic*

tilogotamab

immunoglobuline G1-kappa, anti-[*Homo sapiens* TNFRSF10B (membre 10B de la superfamille des récepteurs du facteur de nécrose tumorale (TNFR), récepteur de mort 5, DR5, TRAILR2, TRAIL-R2, TR-2, CD262)], anticorps monoclonal humanisé; chaîne lourde gamma1 humanisée (1-447) [VH (*Homo sapiens*IGHV1-3\*01 (84.7%) -(IGHD) -IGHJ4\*01 (93.3%)) CDR-IMGT [8.8.11] (26-33.51-58.97-107) (1-118) -*Homo sapiens* IGHG1\*03, G1m3, nG1m1, G1v34 CH3 G109 (CH1 R120 (215) (119-216), charnière 1-15 (217-231), CH2 (232-341), CH3 E12 (357), M14 (359), E109>G (431) (342-446), CHS K>del (447)) (119-447)], (221-213')-disulfure avec la chaîne légère kappa humanisée (1'-213') [V-KAPPA (*Homo sapiens* IGKV1-16\*01 (83.2%) -IGKJ4\*01 (100%)) CDR-IMGT [5.3.9] (27-31.49-51.88-96) (1'-106') -*Homo sapiens* IGKC\*01 (100%) Km3 A45.1 (152), V101 (190) (107'-213')]; dimère (227-227":230-230")-bisdisulfure, produit dans des cellules ovariennes de hamster chinois (CHO), glycoforme alfa *immunomodulator, antineoplastic*

tilogotamab

immunoglobulina G1-kappa, anti-[*Homo sapiens* TNFRSF10B (miembro 10B de la superfamilia de los receptores del factor de necrosis tumoral (TNFR), receptor de muerte 5, DR5, TRAILR2, TRAIL-R2, TR-2, CD262)], anticuerpo monoclonal humanizado; cadena pesada gamma1 humanizada (1-447) [VH (*Homo sapiens*IGHV1-3\*01 (84.7%) -(IGHD) -IGHJ4\*01 (93.3%)) CDR-IMGT [8.8.11] (26-33.51-58.97-107) (1-118) -*Homo sapiens* IGHG1\*03, G1m3, nG1m1, G1v34 CH3 G109 (CH1 R120 (215) (119-216), bisagra 1-15 (217-231), CH2 (232-341), CH3 E12 (357), M14 (359), E109>G (431) (342-446), CHS K>del (447)) (119-447)], (221-213')-disulfuro con la cadena ligera kappa humanizada (1'-213') [V-KAPPA (*Homo sapiens* IGKV1-16\*01 (83.2%) -IGKJ4\*01 (100%)) CDR-IMGT [5.3.9] (27-31.49-51.88-96) (1'-106') -*Homo sapiens* IGKC\*01 (100%) Km3 A45.1 (152), V101 (190) (107'-213')]; dímero (227-227":230-230")-bisdisulfuro, producido por células ováricas de hamster chino (CHO), forma glicosilada alfa *immunomodulador, antineoplásico*

2109731-10-2

Heavy chain / Chaîne lourde / Cadena pesada

QVQLVQSGAE VKKPGASVKY SCKASGENIK DTHMHVVRQA PGQRLEWIGR 50  
 IDPANGNTEY DQKFKGRVTI TVDTSASTAY MELSSLRSED TAVYICARWG 100  
 TNVYFAYWGQ GTLVTVSSAS TKGPSVFPLA PSKSTSGGT AALGCLVKDY 150  
 FPEFVTVSWN SGALTSQVHT FPAVLQSSGL YLSSVVTVP SSSLTQTYI 200  
 CNVNHKPSNT KVDKRVPEKS CDKTHTCPPC PAPELLGGPS VFLFPPKPKD 250  
 TLMISRTTEV TCVVVDVSH E DPEVKFNWV DGVEVHNAKT KPREEQYNST 300  
 YRVVSVLTVL HQDWLNGKEY KCKVSKALP APIEKTISK A KGQPREPQVY 350  
 TLPFSSREMT KNQVSLTCLV KGFYPSDIAV EWESNGQFEN NYKTTPEVLD 400  
 SDGSFFLYSK LTVDKSRWQQ GNVFSCSVMH GALHNYTQK SLSLSPG 447

Light chain / Chaîne légère / Cadena ligera

DIQLTQSPSS LSASVGDRTV ITCSASSSVS YMYVQQKPG KAPKPIYRT 50  
 SNLASGVESR FSGSGSGTDF TLTISSLQPE DFATYYCQQY HSYPTFGGG 100  
 TKVEIKRTVA AFSVFIPPS DEQLKSGTAS VVCLLNFPY REAKVQWKVD 150  
 NALQSGNSQE SVTEQDSKDS TYSLSSTLTL SKADYEKHKV YACEVTHQGL 200  
 SSPVTKSNR GEC 213

Post-translational modifications

Disulfide bridges location / Position des ponts disulfure / Posiciones de los puentes disulfuro

Intra-H (C23-C104) 22-96 145-201 262-322 368-426  
 22"-96" 145"-201" 262"-322" 368"-426"  
 Intra-L (C23-C104) 23'-87' 133'-193'  
 23"-87'" 133"-193'"  
 Inter-H-L (h 5-CL 126) 221-213' 221"-213"  
 Inter-H-H (h 11, h 14) 227-227" 230-230"

N-glycosylation sites / Sites de N-glycosylation / Posiciones de N-glicosilación

HCH2 N84.4:  
 298, 298"

Fucosylated complex bi-antennary CHO-type glycans / glicanos de tipo CHO bi-antennaires complexes fucosylés / glicanos de tipo CHO biantennarios complejos fucosilados

**tolebrutinibum**

tolebrutinib

4-amino-3-(4-phenoxyphenyl)-1-[(3*R*)-1-(prop-2-enoyl)piperidin-3-yl]-1,3-dihydro-2*H*-imidazo[4,5-*c*]pyridin-2-one*Bruton tyrosine kinase inhibitor*

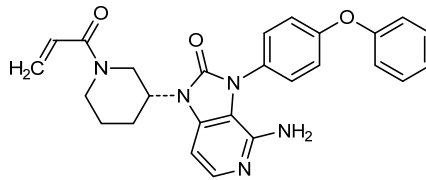
tolébrutinib

4-amino-3-(4-phénoxyphényl)-1-[(3*R*)-1-(prop-2-énoyl)pipéridin-3-yl]-1,3-dihydro-2*H*-imidazo[4,5-*c*]pyridin-2-one*inhibiteur de la tyrosine kinase de Bruton*

tolebrutinib

4-amino-3-(4-fenoxifenil)-1-[(3*R*)-1-(prop-2-enoil)piperidin-3-il]-1,3-dihidro-2*H*-imidazo[4,5-*c*]piridin-2-ona*inhibidor de la tirosina kinasa de Bruton*C<sub>26</sub>H<sub>25</sub>N<sub>5</sub>O<sub>3</sub>

1971920-73-6

**tovinontrinum**

tovinontrine

6-[(3*S*,4*S*)-4-methyl-1-[(pyrimidin-2-yl)methyl]pyrrolidin-3-yl]-3-(oxan-4-yl)imidazo[1,5-*a*]pyrazin-8(7*H*)-one*phosphodiesterase 9 (PDE9) inhibitor*

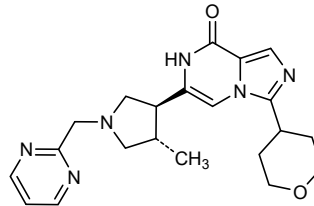
tovinontrine

6-[(3*S*,4*S*)-4-méthyl-1-[(pyrimidin-2-yl)méthyl]pyrrolidin-3-yl]-3-(oxan-4-yl)imidazo[1,5-*a*]pyrazin-8(7*H*)-one*inhibiteur de la phosphodiesterase 9 (PDE9)*

tovinontrina

6-[(3*S*,4*S*)-4-metil-1-[(pirimidin-2-il)metil]pirrolidin-3-il]-3-(oxan-4-il)imidazo[1,5-*a*]pirazin-8(7*H*)-ona*inhibidor de la fosfodiesterasa 9 (PDE9)*C<sub>21</sub>H<sub>26</sub>N<sub>6</sub>O<sub>2</sub>

2062661-53-2

**udonitrectagum**

udonitrectag

(1*S*,4*R*,5*R*,7*S*)-3,4-dibenzyl-2-oxo-6,8-dioxa-3-azabicyclo[3.2.1]octane-7-carboxylic acid*neurotrophin mimetic*

udonitrectag

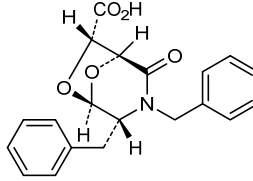
acide (1*S*,4*R*,5*R*,7*S*)-3,4-dibenzyl-2-oxo-6,8-dioxa-3-azabicyclo[3.2.1]octane-7-carboxylique*mimétique des neurotrophines*

udonitrectag

ácido (1*S*,4*R*,5*R*,7*S*)-3,4-dibencil-2-oxo-6,8-dioxa-3-azabicyclo[3.2.1]octano-7-carboxílico  
*mimético de las neurotrofinas*

C<sub>20</sub>H<sub>19</sub>NO<sub>5</sub>

1458063-04-1



**upifitamabum #**  
upifitamab

immunoglobulin G1-kappa, anti-[*Homo sapiens* SLC34A2 (solute carrier family 34 (sodium phosphate) member 2, sodium/phosphate cotransporter 2B, NaPi2b, NaPi3b)], monoclonal antibody; gamma1 heavy chain (1-449) [VH (*Homo sapiens*IGHV1-46\*01 (81.6%) -(IGHD) -IGHJ4\*01 (92.9%)) [8.8.12] (1-119) -glycyl (120) -*Homo sapiens*IGHG1\*03, G1m3, nG1m1 (CH1 R120 (217) (121-218), hinge 1-15 (219-233), CH2 (234-343), CH3 E12 (359), M14 (361) (344-448), CHS K>del (449)) (121-449)], (223-215')-disulfide with kappa light chain (1'-215') [V-KAPPA (*Mus musculus* IGKV10-94\*01 (84.2%) -IGKJ5\*01 (91.7%)/*Homo sapiens* IGKV1-16\*01 (83.2%) -IGKJ2\*01 (90.9%)) [6.3.9] (1'-107') -arginyl (108') -*Homo sapiens* IGKC\*01 (100%) Km3 A45.1 (154), V101 (192) (109'-215')]; dimer (229-229":232-232")-bisdisulfide, produced in Chinese hamster ovary (CHO) cells, glycoform alfa  
*immunomodulator, antineoplastic*

upifitamab

immunoglobuline G1-kappa, anti-[*Homo sapiens* SLC34A2 (membre 2 de la famille 34 (phosphate de sodium) de transporteurs de solutés, cotransporteur 2B de sodium/phosphate, NaPi2b, NaPi3b)], anticorps monoclonal; chaîne lourde gamma1 (1-449) [VH (*Homo sapiens*IGHV1-46\*01 (81.6%) -(IGHD) -IGHJ4\*01 (92.9%)) [8.8.12] (1-119) -glycyl (120) -*Homo sapiens*IGHG1\*03, G1m3, nG1m1 (CH1 R120 (217) (121-218), charnière 1-15 (219-233), CH2 (234-343), CH3 E12 (359), M14 (361) (344-448), CHS K>del (449)) (121-449)], (223-215')-disulfure avec la chaîne légère kappa (1'-215') [V-KAPPA (*Mus musculus* IGKV10-94\*01 (84.2%) -IGKJ5\*01 (91.7%)/*Homo sapiens* IGKV1-16\*01 (83.2%) -IGKJ2\*01 (90.9%)) [6.3.9] (1'-107') -arginyl (108') -*Homo sapiens* IGKC\*01 (100%) Km3 A45.1 (154), V101 (192) (109'-215')]; dimère (229-229":232-232")-bisdisulfure, produit dans des cellules ovariennes de hamster chinois (CHO), glycoforme alfa  
*immunomodulateur, antinéoplasique*

upifitamab

immunoglobulina G1-kappa, anti-[*Homo sapiens* SLC34A2 (miembro 2 de la familia 34 (fosfato de sodio) de transportadores de solutos, cotransportador 2B de sodio/fosfato, NaPi2b, NaPi3b)], anticuerpo monoclonal; cadena pesada gamma1 (1-449) [VH (*Homo sapiens* IGHV1-46\*01 (81.6%) -(IGHD) -IGHJ4\*01 (92.9%)) [8.8.12] (1-119) -glicil (120) -*Homo sapiens* IGHG1\*03, G1m3, nG1m1 (CH1 R120 (217) (121-218), bisagra 1-15 (219-233), CH2 (234-343), CH3 E12 (359), M14 (361) (344-448), CHS K>del (449)) (121-449)], (223-215')-disulfuro con la cadena ligera kappa (1'-215') [V-KAPPA (*Mus musculus* IGKV10-94\*01 (84.2%) -IGKJ5\*01 (91.7%))/*Homo sapiens* IGKV1-16\*01 (83.2%) -IGKJ2\*01 (90.9%)) [6.3.9] (1'-107') -arginil (108') -*Homo sapiens* IGKC\*01 (100%) Km3 A45.1 (154), V101 (192) (109'-215')]; dímero (229-229":232-232")-bisdisulfuro, producido por células ováricas de hamster chino (CHO), forma glicosilada alfa  
*immunomodulador, antineoplásico*

2254118-43-7

## Heavy chain / Chaîne lourde / Cadena pesada

```

QVQLVQSGAE VVKPGASVKM SCKASGYTFT GYNIHVVKQA PGQGLEWIGA 50
IYPNGDTSY KQKFRGRATL TADTSTSTVY MELSSLRSED SAVYYCARGE 100
TARATFAYWG QGTLVTVSSG ASTKGPSVFP LAPSSKSTSG GTAALGCLVK 100
DYFPEPVTVS WNSGALTSVG HTFPAVLQSS GLYSLSVWT VPSSSLGTQT 200
YICNVNHKPS NTKVDKRVPE KSCDKHTHCP PCPAPPELLGG PSVFLPPPKP 250
KDTLMISRTF EIVTCVVVDV HEDPEVKFNW YVDGVEVHNA KTKPREEQYN 300
STYRVVSVLT VILHQLWLNK EYKCKVSNKA LPAPIEKTIS KAKGQPREPQ 350
VYTLPPSREE MTKNQVSLT LVKGFYPSDI AVENESNGQP ENNYKTTTPV 400
LSDSGSFFLY SKLTVDKSRW QQGNVFCSCV MHEALHNHYT QKSLSLSPG 449

```

## Light chain / Chaîne légère / Cadena ligera

```

DIQMTQSPFS LSASVGRVIT ITCSASQDIG NFLNHWYQQKPK GRTKVKVLLIY 50
TSSLYSGVPS RFSGSGSGTD YTLTISSLQP EDFATYTCQQ YSKLPLTFPG 100
CTKLELKRRT VAAPSVFIFP PSDEQLKSGT ASVVCCLANF YPREAKVQWK 150
VDNALQSGNS QESVTEQDSK DSTYLSSTL TLSKADYEKH KVYACEVTHQ 200
GLSSPVTKSF NRGEC 215

```

## Post-translational modifications

Disulfide bridges location / Position des ponts disulfure / Posiciones de los puentes disulfuro

Intra-H (C23-C104) 22-96 147-203 264-324 370-428  
 22"-96" 147"-203" 264"-324" 370"-428"  
 Intra-L (C23-C104) 23"-88" 135"-195"  
 23"-88" 135"-195"  
 Inter-H-L (h 5-CL 126) 223-215" 223"-215"  
 Inter-H-H (h 11, h 14) 229-229" 232-232"

N-glycosylation sites / Sites de N-glycosylation / Posiciones de N-glicosilación

H CH2 N84.4:

300, 300"

Fucosylated complex bi-antennary CHO-type glycans / glycanes de type CHO bi-antennaires complexes fucosylés / glicanos de tipo CHO biantenarios complejos fucosilados

**urabrelimab #**  
 urabrelimab

immunoglobulin G4-kappa, anti-[*Homo sapiens* CD47 (integrin associated protein, IAP, MER6, OA3)], *Homo sapiens* monoclonal antibody; gamma4 heavy chain *Homo sapiens* (1-452) [VH (*Homo sapiens* IGHV4-4\*02 (94.9%) -(IGHD) -IGHJ6\*01 (94.7%)) CDR-IMGT [9.7.18] (26-34.52-58.97-114) (1-125)-*Homo sapiens* IGHG4\*01 (CH1 (126-223), hinge 1-12 (224-235), CH2 (236-345), CH3 (346-450), CHS (451-452)) (126-452)], (139-212')-disulfide with kappa light chain *Homo sapiens* (1'-212') [V-KAPPA (*Homo sapiens* IGKV3-11\*01 (94.7%) -IGKJ4\*01 (91.7%)) CDR-IMGT [6.3.8] (27-32.50-52.89-96) (1'-106') -*Homo sapiens* IGKC\*01 (100%), Km3 A45.1 (151), V101 (189) (107'-212')]; dimer (231-231":234-234")-bisdisulfide, produced in Chinese hamster ovary (CHO) cells, glycoform alfa  
*immunomodulador, antineoplásico*

urabrélímab

immunoglobuline G4-kappa, anti-[*Homo sapiens* CD47 (protéine associée à l'intégrine, IAP, MER6, OA3)], anticorps monoclonal *Homo sapiens*;  
chaîne lourde gamma4 *Homo sapiens* (1-452) [VH (*Homo sapiens* IGHV4-4\*02 (94.9%) -(IGHD) -IGHJ6\*01 (94.7%)) CDR-IMGT [9.7.18] (26-34.52-58.97-114) (1-125)-*Homo sapiens* IGHG4\*01 (CH1 (126-223), charnière 1-12 (224-235), CH2 (236-345), CH3 (346-450), CHS (451-452))] (126-452)], (139-212')-disulfure avec la chaîne légère kappa *Homo sapiens* (1'-212') [V-KAPPA (*Homo sapiens* IGKV3-11\*01 (94.7%) -IGKJ4\*01 (91.7%)) CDR-IMGT [6.3.8] (27-32.50-52.89-96) (1'-106') -*Homo sapiens* IGKC\*01 (100%), Km3 A45.1 (151), V101 (189) (107'-212')];  
dimère (231-231":234-234")-bisdisulfure, produit dans des cellules ovariennes de hamster chinois (CHO), glycoforme alfa  
*immunomodulateur, antinéoplasique*

urabrelimab

immunoglobulina G4-kappa, anti-[*Homo sapiens* CD47 (proteína asociada a la integrina, IAP, MER6, OA3)], anticuerpo monoclonal *Homo sapiens*;  
cadena pesada gamma4 *Homo sapiens* (1-452) [VH (*Homo sapiens* IGHV4-4\*02 (94.9%) -(IGHD) -IGHJ6\*01 (94.7%)) CDR-IMGT [9.7.18] (26-34.52-58.97-114) (1-125)-*Homo sapiens* IGHG4\*01 (CH1 (126-223), bisagra 1-12 (224-235), CH2 (236-345), CH3 (346-450), CHS (451-452)) (126-452)], (139-212')-disulfuro con la cadena ligera kappa *Homo sapiens* (1'-212') [V-KAPPA (*Homo sapiens* IGKV3-11\*01 (94.7%) -IGKJ4\*01 (91.7%)) CDR-IMGT [6.3.8] (27-32.50-52.89-96) (1'-106') -*Homo sapiens* IGKC\*01 (100%), Km3 A45.1 (151), V101 (189) (107'-212')];  
dímero (231-231":234-234")-bisdisulfuro, producido por células ováricas de hamster chino (CHO), forma glicosilada alfa  
*immunomodulador, antineoplásico*

2249722-58-3

Heavy chain / Chaîne lourde / Cadena pesada  
QVQLQESGPG LVKPSGTLSEL TCAVSGVSIIR SINWNWVVRQ PPGKLEWIG 50  
EYHSGSTNY NPSLKSRTVI SVDRSKNQFS LKLSVTAAD TAVYYCARDG 100  
GIAVTDYIYY GLDVWGQGT TTVSSASTRG PSVFPLAPCS RSTSESTAAL 150  
GCLVKDYFPE PVTVSWNSGA LTVSGVHTFPA VLQSSGLYSL SSVVTVPSSS 200  
LGTKTYTCNV DHPKSNTEKVD KRVESKYGPF CPSCAPEFL GGPSEVLEFP 250  
KPKDTLMISR TPEVTCVVVD VSQEDPEVQF NNYVDGVEVH NAKTKPREEQ 300  
FNSTYRVVSV LTVLAHQDWLN GKEYKCKVSN KGLPSSIEKT ISKAKGQPRE 350  
FQVYTLPPSQ EEMTKNQVSL TCVLKGFYPS DIAVEWESNG QFENNYKTT 400  
FVLDSGDSFF LYSRLTVDKS RWQEGNVFSC SVMHEALHNN YIQKLSLSL 450  
GK 452

Light chain / Chaîne légère / Cadena ligera  
EIVLTQSPAT LSLSPGERAT LSCRASEVSV SNLAWYQQK QGAPRLLIY 50  
AFNRATGIPA RFGSGSGSGT FTLTISSELP EDFAVYYCQQ RSDWTFGGG 100  
TKVEIKTVA PSVFIFPPSD EQLKSGTASV VCLLNNFYPR EAKVQWKVDN 150  
ALQSGNSQES VTEQDSKDT YLSSTLTLS KADYERHKVY ACEVTHQGLS 200  
SPVTKSFNRG EC 212

Post-translational modifications  
Disulfide bridges location / Position des ponts disulfure / Posiciones de los puentes disulfuro  
Intra-H (C23-C104) 22-96 152-208 266-326 372-430  
22"-96" 152"-208" 266"-326" 372"-430"  
Intra-L (C23-C104) 23"-88" 132"-192"  
23"-88"" 132"-192""  
Inter-H-L (CH1 10-CL 126) 139-212" 139"-212"  
Inter-H-H (h 8, h 11) 231-231" 234-234"

N-glycosylation sites / Sites de N-glycosylation / Posiciones de N-glicosilación  
H CH2 N84.4:  
302, 302"  
Fucosylated complex bi-antennary CHO-type glycans / glycanes de type CHO bi-antennaires complexes fucosylés / glicanos de tipo CHO biantennarios complejos fucosilados

**uzansertibum**

uzansertib

*N*-{[(7*R*)-4-[(3*R*,4*R*,5*S*)-3-amino-4-hydroxy-5-methylpiperidin-1-yl]-7-hydroxy-6,7-dihydro-5*H*-cyclopenta[*b*]pyridin-3-yl]-6-(2,6-difluorophenyl)-5-fluoropyridine-2-carboxamide  
*antineoplastica*

uzansertib

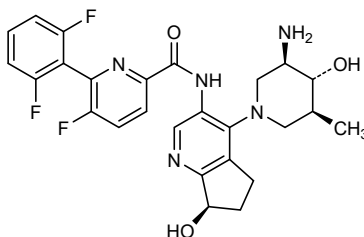
*N*-{[(7*R*)-4-[(3*R*,4*R*,5*S*)-3-amino-4-hydroxy-5-méthylpipéridin-1-yl]-7-hydroxy-6,7-dihydro-5*H*-cyclopenta[*b*]pyridin-3-yl]-6-(2,6-difluorophényl)-5-fluoropyridine-2-carboxamide  
*antineoplasique*

uzansertib

*N*-{[(7*R*)-4-[(3*R*,4*R*,5*S*)-3-amino-4-hidroxi-5-metilpiperidin-1-il]-7-hidroxi-6,7-dihidro-5*H*-ciclopenta[*b*]piridin-3-il]-6-(2,6-difluorofenil)-5-fluoropiridina-2-carboxamida  
*antineoplásico*

C<sub>26</sub>H<sub>26</sub>F<sub>3</sub>N<sub>5</sub>O<sub>3</sub>

1620012-39-6

**vebicorvirum**

vebicorvir

5,5,11-trioxo-*N*-[[2-(trifluoromethyl)-1,3-thiazol-5-yl]methyl]-10,11-dihydro-5*H*-5λ<sup>6</sup>-dibenzo[*b*,*f*][1,4]thiazepine-8-carboxamide  
*antiviral*

vébicorvir

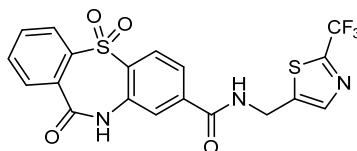
5,5,11-trioxo-*N*-[[2-(trifluorométhyl)-1,3-thiazol-5-yl]méthyl]-10,11-dihydro-5*H*-5λ<sup>6</sup>-dibenzo[*b*,*f*][1,4]thiazépine-8-carboxamide  
*antiviral*

vebicorvir

5,5,11-trioxo-*N*-[[2-(trifluorometil)-1,3-tiazol-5-il]metil]-10,11-dihidro-5*H*-5λ<sup>6</sup>-dibenzo[*b*,*f*][1,4]tiazepina-8-carboxamida  
*antiviral*

C<sub>19</sub>H<sub>12</sub>F<sub>3</sub>N<sub>3</sub>O<sub>4</sub>S<sub>2</sub>

2090064-66-5



**velmupressinum**

velmupressin

1,5-anhydro{4-chloro-L-phenylalanyl-3-(thiophen-2-yl)-L-alanyl-L-valyl-L-asparaginyl-S-(3-carboxypropyl)-L-cysteinyl-N-[4-(carbamimidoylamino)butyl]-L-prolinamide}  
*vasoconstrictor*

velmupressine

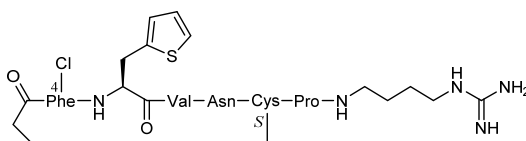
1,5-anhydro{4-chloro-L-phénylalanyl-3-(thiophén-2-yl)-L-alanyl-L-valyl-L-asparaginyl-S-(3-carboxypropyl)-L-cystéinyl-N-[4-(carbamimidoylamino)butyl]-L-prolinamide}  
*vasoconstricteur*

velmupresina

1,5-anhidro{4-cloro-L-fenilalanyl-3-(tiofen-2-il)-L-alanyl-L-valil-L-asparaginil-S-(3-carboxipropil)-L-cisteinil-N-[4-(carbamimidoilamino)butil]-L-prolinamida}  
*vasoconstrictor*

C<sub>42</sub>H<sub>60</sub>ClN<sub>11</sub>O<sub>8</sub>S<sub>2</sub>

1647119-61-6

**velufenacinum**

velufenacin

[(3*R*)-1-methylpyrrolidin-3-yl]methyl (3'-chloro-4'-fluoro[1,1'-biphenyl]-2-yl)carbamate  
*muscarinic receptor antagonist*

vélufénacine

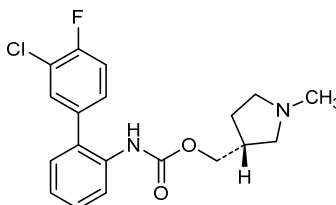
(3'-chloro-4'-fluoro[1,1'-biphényl]-2-yl)carbamate de [(3*R*)-1-méthylpyrrolidin-3-yl]méthyle  
*antagoniste des récepteurs muscariniques*

velufenacina

(3'-cloro-4'-fluoro[1,1'-bifenil]-2-il)carbamato de [(3*R*)-1-metilpirrolidin-3-il]metilo  
*antagonista de los receptores muscarinicos*

C<sub>19</sub>H<sub>20</sub>ClFN<sub>2</sub>O<sub>2</sub>

1648737-78-3

**verbrinacogenum setparvovecum #**

verbrinacogene setparvovec

A recombinant non-replicating adeno-associated virus of a modified liver-tropic serotype (S3) (rAAV Rep2-CapS3) vector, encoding a gain-of-function variant (R338L; Padua) of codon-optimised human coagulation factor IX (hFIX) under the control of a liver-specific promoter (FRE1) comprising a truncated version of the human apolipoprotein E locus control region (i.e. enhancer) with a truncated version of the human alpha-1-antitrypsin promoter.  
*gene therapy (hemophilia B)*

verbrinacogène setparavec	vecteur viral adéno-associé recombinant, non-répliquant, d'un sérotype hépatotropique modifié (S3) (rAAV Rep2-CapS3), codant pour le variant Padua (R338L) du facteur de coagulation IX humain (F9, Facteur IX, FIX) dont les codons sont optimisés, sous le contrôle du promoteur spécifique du foie (FRE1) comprenant une version tronquée de la région de contrôle du locus de l'apoprotéine E humaine (c.-à-d. amplificateur) avec une version tronquée du promoteur de l'antitrypsine alpha-1 humaine. <i>thérapie génique (hémophilie B)</i>
verbrinacogén setparavec	Un vector de virus adeno-asociado recombinante, no replicativo, de un serotipo hepatotrópico modificado (S3) (rAAV Rep2-CapS3), que codifica una variante de ganancia de función (R338L; Padua) del factor de coagulación IX humano (hFIX) con codones optimizados, bajo el control de un promotor específico de hígado (FRE1) que consta de una versión truncada de la región de control del locus de la apolipoproteína E humana (es decir, potenciador) con una versión truncada del promotor de la alfa-1-antitripsina humana. <i>terapia génica (hemofilia B)</i>
	2364604-87-3
<b>vilobelimabum #</b> vilobelimab	immunoglobulin G4-kappa, anti-[ <i>Homo sapiens</i> C5 (complement 5) anaphylatoxin (C5a, C5 Pr678-751)], chimeric monoclonal antibody; gamma4 heavy chain chimeric (1-446) [VH ( <i>Mus musculus</i> IGHV1-61*01 (81.6%) -(IGHD) -IGHJ3*01 (92.9%)/ <i>Homo sapiens</i> IGHV1-46*01 (62.2%) -(IGHD) -IGHJ4*01 (92.9%)) [8.8.13] (1-119) - <i>Homo sapiens</i> IGHG4*01 (CH1 (120-217), hinge 1-12 (218-229), CH2 (230-339), CH3 (340-444), CHS (445-446)) (120-446)], (133-218')-disulfide with kappa light chain chimeric (1'-218') [V-KAPPA ( <i>Mus musculus</i> IGKV3-4*01 (98.0%) -IGKJ2*01 (100%)/ <i>Homo sapiens</i> IGKV3D-11*02 (69.1%) -IGKJ2*01 (91.7%)) [10.3.9] (1'-111') - <i>Homo sapiens</i> IGKC*01 (100%), Km3 A45.1 (157), V101 (195) (112'-218')]; dimer (225-225":228-228")-bisdisulfide, produced in Chinese hamster ovary (CHO) cells, glycoform alfa <i>immunomodulator</i>
vilobélimab	immunoglobuline G4-kappa, anti-[ <i>Homo sapiens</i> C5 (complément 5) anaphylatoxine (C5a, C5 Pr678-751)], anticorps monoclonal chimérique; chaîne lourde gamma4 chimérique (1-446) [VH ( <i>Mus musculus</i> IGHV1-61*01 (81.6%) -(IGHD) -IGHJ3*01 (92.9%)/ <i>Homo sapiens</i> IGHV1-46*01 (62.2%) -(IGHD) -IGHJ4*01 (92.9%)) [8.8.13] (1-119) - <i>Homo sapiens</i> IGHG4*01 (CH1 (120-217), charnière 1-12 (218-229), CH2 (230-339), CH3 (340-444), CHS (445-446)) (120-446)], (133-218')-disulfure avec la chaîne légère kappa chimérique (1'-218') [V-KAPPA ( <i>Mus musculus</i> IGKV3-4*01 (98.0%) -IGKJ2*01 (100%)/ <i>Homo sapiens</i> IGKV3D-11*02 (69.1%) -IGKJ2*01 (91.7%)) [10.3.9] (1'-111') - <i>Homo sapiens</i> IGKC*01 (100%), Km3 A45.1 (157), V101 (195) (112'-218')]; dimère (225-225":228-228")-bisdisulfure, produit dans des cellules ovariennes de hamster chinois (CHO), glycoforme alfa <i>immunomodulateur</i>

vilobelimab

inmunoglobulina G4-kappa, anti-[*Homo sapiens* C5 (complemento 5) anafilatoxina (C5a, C5 Pr678-751)], anticuerpo monoclonal quimérico; cadena pesada gamma4 quimérica (1-446) [VH (*Mus musculus* IGHV1-61\*01 (81.6%) -(IGHD) -IGHJ3\*01 (92.9%)/*Homo sapiens* IGHV1-46\*01 (62.2%) -(IGHD) -IGHJ4\*01 (92.9%))] [8.8.13] (1-119) -*Homo sapiens* IGHG4\*01 (CH1 (120-217), bisagra 1-12 (218-229), CH2 (230-339), CH3 (340-444), CHS (445-446)) (120-446)], (133-218')-disulfuro con la cadena ligera kappa quimérica (1'-218') [V-KAPPA (*Mus musculus* IGKV3-4\*01 (98.0%) -IGKJ2\*01 (100%)/*Homo sapiens*IGKV3D-11\*02 (69.1%) -IGKJ2\*01 (91.7%))] [10.3.9] (1'-111') -*Homo sapiens* IGKC\*01 (100%), Km3 A45.1 (157), V101 (195) (112'-218'); dímero (225-225":228-228")-bisulfuro, producido por células ováricas de hamster chino (CHO), forma glicosilada alfa  
*inmunomodulador*

2250440-41-4

Heavy chain / Chaîne lourde / Cadena pesada  
 QVQLQSGSPQ LVRPQTSVKI SCKASGYSFT TFWMDWVKQR PGQGLEWIGR 50  
 IDPSDSESR L DQRFKDRATL TVDKSSSTVY MQLSSPTSED SAVYYCARGN 100  
 DGYYGFAWYG QGTLVTVSSA STKGPSVFP L APCSRSTSES TAALGCLVKD 150  
 YFPEPVTVSW NSGALTSQVH TFPVAVLQSSG LYSLSSTVTV PSSSLGTRKY 200  
 TCVNDHKPSN TKVDKRVESK YGPPCPSCPA PEFLLGGPSVY LFPPKPKDTL 250  
 MISRTPEVTC VVVDVSEQEDP EVQFNWYVDG VEVHNAKTKP REEQFNSTYR 300  
 VVSVLTVLHQ DWLNGKEYKC KVSNGKLPS S IEKTIKSKAKG QRPPEQVYTL 350  
 PPSQEEMTKN QVSLTCLVKG FYPSDIAVEW ESNQPENNY KTTTPVLDSD 400  
 GSFFLYSRLT VDKSRWQEGN VFSCVMHEA LHNHYTKSL SLSLKG 446

Light chain / Chaîne légère / Cadena ligera  
 DIVLTQSPAS LAVSLGQRAT ISCKASQSD YDGDSYMKWY QQKPGQPPKL 50  
 LIYAASNLQS GIPARFSGSG SGTDFTLNIH PVVEEDAATY YCQQSNEDPY 100  
 TFGGGTKLEI KRTVAAPSVF IFPPSDEQLK SGTASVVCLL NNFYPREAKV 150  
 QWKVDNALQS GNSQESVTEQ DSKDSTYSL S STLTLKADY EKHKVYACEV 200  
 THQGLSSPVT KSFNRGEC 218

Post-translational modifications  
 Disulfide bridges location / Position des ponts disulfure / Posiciones de los puentes disulfuro  
 Intra-H (C23-C104) 22"-96" 146"-202" 260"-320" 366"-424"  
 22"-96" 146"-202" 260"-320" 366"-424"  
 Intra-L (C23-C104) 23"-92" 138"-198"  
 23"-92" 138"-198"  
 Inter-H-L (CH1 10-CL 126) 133"-218" 133"-218"  
 Inter-H-H (h 8, h 11) 225-225" 228-228"

N-glycosylation sites / Sites de N-glycosylation / Posiciones de N-glicosilación  
 HCH2 N84.4:  
 296, 296"  
 Fucosylated complex bi-antennary CHO-type glycans / glycanes de type CHO bi-antennaires complexes fucosylés / glicanos de tipo CHO biantenarios complejos fucosilados

C-terminal lysine clipping:  
 HCHS K2:  
 446, 446"

**vonafexorum**  
 vonafexor

4-chloro-5-[4-(2,6-dichlorobenzene-1-sulfonyl)piperazin-1-yl]-1-benzofuran-2-carboxylic acid  
*farnesoid X receptor agonist*

vonafexor

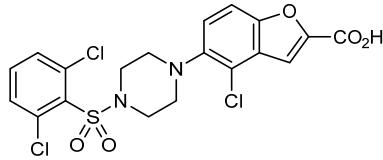
acide 4-chloro-5-[4-(2,6-dichlorobenzène-1-sulfonyl)pipérazin-1-yl]-1-benzofuran-2-carboxylique  
*agoniste du récepteur farnésioïde X*

vonafexor

ácido 4-cloro-5-[4-(2,6-diclorobenceno-1-sulfonyl)piperazin-1-il]-1-benzofuran-2-carboxílico  
*agonista del receptor de farnesoide X*

C<sub>19</sub>H<sub>15</sub>Cl<sub>3</sub>N<sub>2</sub>O<sub>5</sub>S

1192171-69-9

**vosilasarmum**

vosilasarm

2-chloro-4-(((1*R*,2*S*)-1-[5-(4-cyanophenyl)-1,3,4-oxadiazol-2-yl]-2-hydroxypropyl)amino)-3-methylbenzothionitrile  
*nonsteroidal selective androgen receptor modulator (SARM), antineoplastic*

vosilasarm

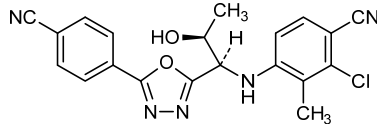
2-chloro-4-(((1*R*,2*S*)-1-[5-(4-cyanophényl)-1,3,4-oxadiazol-2-yl]-2-hydroxypropyl)amino)-3-méthylbenzothionitrile  
*modulateur non-stéroïdien sélectif des récepteurs androgéniques (SARM), antinéoplasique*

vosilasarm

4-(((1*R*,2*S*)-1-[5-(4-cianofenil)-1,3,4-oxadiazol-2-il]-2-hidroxiopropil)amino)-2-cloro-3-metilbenzotnitrilo  
*modulador no esteroideo selectivo de los receptores androgénicos (SARM), antineoplásico*

C<sub>20</sub>H<sub>16</sub>ClN<sub>5</sub>O<sub>2</sub>

1182367-47-0

**vulinacimabum #**

vulinacimab

immunoglobulin G1-kappa, anti-[*Homo sapiens* VEGFR2 (vascular endothelial growth factor receptor 2, KDR, kinase insert domain receptor, FLK1, CD309)], *Homo sapiens* monoclonal antibody; gamma1 heavy chain *Homo sapiens* (1-447) [VH (*Homo sapiens*IGHV3-23\*04 (90.8%) -(IGHD) -IGHJ1\*01 (100%)) [8.8.10] (1-117) -*Homo sapiens*IGHG1\*03v, G1m3>G1m17, nG1m1 (CH1 R120>K (214) (118-215), hinge 1-15 (216-230), CH2 (231-340), CH3 E12 (356), M14 (358) (341-445), CHS (446-457)) (118-447)], (220-219')-disulfide with kappa light chain *Homo sapiens* (1'-219') [V-KAPPA (*Homo sapiens*IGKV2-30\*01 (83.0%) -IGKJ2\*01 (100%)) [11.3.9] (1'-112')] -*Homo sapiens*IGKC\*01 (100%) Km3 A45.1 (158), V101 (196) (113'-219')]; dimer (226-226":229-229")-bisdisulfide, produced in Chinese hamster ovary (CHO) cells, glycoform alfa  
*angiogenesis inhibitor, antineoplastic*

vulinacimab

immunoglobuline G1-kappa, anti-[*Homo sapiens* VEGFR2 (récepteur 2 du facteur de croissance endothélial vasculaire, KDR, récepteur à domaine insert kinase, FLK1, CD309)], *Homo sapiens* anticorps monoclonal;

chaîne lourde gamma1 *Homo sapiens* (1-447) [VH (*Homo sapiens* IGHV3-23\*04 (90.8%) -(IGHD) -IGHJ1\*01 (100%)) [8.8.10] (1-117) -*Homo sapiens* IGHG1\*03v, G1m3>G1m17, nG1m1 (CH1 R120>K (214) (118-215), charnière 1-15 (216-230), CH2 (231-340), CH3 E12 (356), M14 (358) (341-445), CHS (446-457)) (118-447)], (220-219')-disulfure avec la chaîne légère kappa *Homo sapiens* (1'-219') [V-KAPPA (*Homo sapiens* IGKV2-30\*01 (83.0%) -IGKJ2\*01 (100%)) [11.3.9] (1'-112') -*Homo sapiens* IGKC\*01 (100%) Km3 A45.1 (158), V101 (196) (113'-219')]; dimère (226-226":229-229")-bisdisulfure, produit dans des cellules ovariennes de hamster chinois (CHO), glycoforme alfa  
*angiogenesis inhibitor, antinéoplasique*

vulinacimab

inmunoglobulina G1-kappa, anti-[*Homo sapiens* VEGFR2 (receptor 2 del factor de crecimiento endotelial vascular, KDR, receptor con dominio inserto kinasa, FLK1, CD309)], *Homo sapiens* anticuerpo monoclonal;  
cadena pesada gamma1 *Homo sapiens* (1-447) [VH (*Homo sapiens* IGHV3-23\*04 (90.8%) -(IGHD) -IGHJ1\*01 (100%)) [8.8.10] (1-117) -*Homo sapiens* IGHG1\*03v, G1m3>G1m17, nG1m1 (CH1 R120>K (214) (118-215), bisagra 1-15 (216-230), CH2 (231-340), CH3 E12 (356), M14 (358) (341-445), CHS (446-457)) (118-447)], (220-219')-disulfuro con la cadena ligera kappa *Homo sapiens* (1'-219') [V-KAPPA (*Homo sapiens* IGKV2-30\*01 (83.0%) -IGKJ2\*01 (100%)) [11.3.9] (1'-112') -*Homo sapiens* IGKC\*01 (100%) Km3 A45.1 (158), V101 (196) (113'-219')]; dímero (226-226":229-229")-bisdisulfuro, producido por células ováricas de hamster chino (CHO), forma glicosilada alfa  
*inhibidor de la angiogenesis, antineoplásico*

2250342-36-8

Heavy chain / Chaîne lourde / Cadena pesada  
 QVQLVQSGGG LVQPGGSLRL SCAASGFSYS TYAMSWVRQA PGKLEWVSG 50  
 ISGSGGTHYI ADSVKGRFTI SRDMSKNTVN LQMNSLRAED TAVYYCAKGL 100  
 WFGEGLVQGG TLVTSSAST KGPSVFLAP SSRKSTSGGTA ALGCLVRKDYF 150  
 PEPVTVSWNS GALTSGVHTF PAVLQSSGLY SLSSVVTVPS SSLGQTQYIC 200  
 NVNHKPSNTK VDKKVEPKSC DKHTTCPPCP APELLGGPSV FLFPPKPKDT 250  
 LMSRTEPEVT CVVVDVSHED PEVKFNWYVD GVEVHNAKT PREEQYNSTY 300  
 RVVSVLTVLH QDWLNGKEYK CKVSNKALPA PIEKTIKAK GQPREPQVYT 350  
 LPFSSREEMTK NQVSLTCLVK GFYPSDIAVE WESNGQPENN YKTTTPVLD 400  
 DGSFFLYSKL TVDKSRWQQG NVFSCSVME ALHNHYTQKS LSLSPGK 447

Light chain / Chaîne légère / Cadena ligera  
 DVVMTQSPLS LPVTLGQPAS ISCRSSQSLY YRSGYTFLDW YVQKPGQSPQ 50  
 LLIYQSSKRD SGVPDRISGS GSGTDFTLRI SRVEAEDVGV YYCFQGTWHP 100  
 YTFGQGTKLE IKRTVAAPSV FIFPPSDEQL KSGTASVVCL LNNFYPREAK 150  
 VQWKVDNALQ SGNSESVEE QDSKSTYSL SSTLTLSKAD YEKHKVYACE 200  
 VTHQGLSSPV TKSFNREGC 219

Post-translational modifications  
 Disulfide bridges location / Position des ponts disulfure / Posiciones de los puentes disulfuro  
 Intra-H (C23-C104) 22-96 144-200 261-321 367-425  
                                   22"-96" 144"-200" 261"-321" 367"-425"  
 Intra-L (C23-C104) 23'-93' 139'-199"  
                                   23"'-93"' 139"'-199"  
 Inter-H-L (h 5-CL 126) 220-219' 220"-219"  
 Inter-H-H (h 11, h 14) 226-226" 229-229"

N-glycosylation sites / Sites de N-glycosylation / Posiciones de N-glicosilación  
 H CH2 N84.4:  
 297, 297"  
 Fucosylated complex bi-antennary CHO-type glycans / glycanes de type CHO bi-antennaires  
 complexes fucosylés / glicanos de tipo CHO biantennarios complejos fucosilados

C-terminal lysine clipping:  
 H CHS K2:  
 447, 447"

**xevinapantum**

xevinapant

(5*S*,8*S*,10*aR*)-*N*-(diphénylméthyl)-5-[(2*S*)-2-(méthylamino)propanamido]-3-(3-méthylbutanoïl)-6-oxodécahydropyrrolo[1,2-*a*][1,5]diazocine-8-carboxamide  
*antineoplastique*

xévinapant

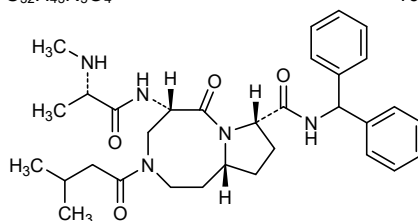
(5*S*,8*S*,10*aR*)-*N*-(diphénylméthyl)-5-[(2*S*)-2-(méthylamino)propanamido]-3-(3-méthylbutanoïl)-6-oxodécahydropyrrolo[1,2-*a*][1,5]diazocine-8-carboxamide  
*antinéoplasique*

xevinapant

(5*S*,8*S*,10*aR*)-*N*-(difenilmetil)-5-[(2*S*)-2-(metilamino)propanamido]-3-(3-metilbutanoil)-6-oxodécahidropirrol[1,2-*a*][1,5]diazocina-8-carboxamida  
*antineoplásico*

C<sub>32</sub>H<sub>43</sub>N<sub>5</sub>O<sub>4</sub>

1071992-99-8

**zandelisibum**

zandelisib

4-[2-(difluorométhyl)-1*H*-benzimidazol-1-yl]-*N*-[2-méthyl-1-[2-(1-méthylpipéridin-4-yl)phényl]propan-2-yl]-6-(morpholin-4-yl)-1,3,5-triazin-2-amine  
*phosphatidylinositol 3-kinase (PI3K) inhibitor, antineoplastique*

zandélisib

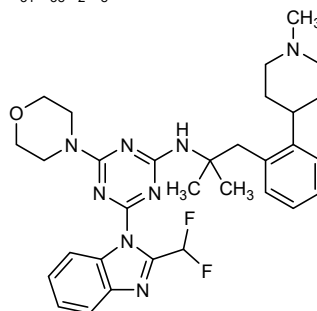
4-[2-(difluorométhyl)-1*H*-benzimidazol-1-yl]-*N*-[2-méthyl-1-[2-(1-méthylpipéridin-4-yl)phényl]propan-2-yl]-6-(morpholin-4-yl)-1,3,5-triazin-2-amine  
*inhibiteur de phosphatidylinositol 3-kinase (PI3K), antinéoplasique*

zandelisib

4-[2-(difluorometil)-1*H*-benzimidazol-1-il]-*N*-[2-metil-1-[2-(1-metilpipéridin-4-il)fenil]propan-2-il]-6-(morfolin-4-il)-1,3,5-triazin-2-amina  
*inhibidor de fosfatidilinositol 3-kinasa (PI3K), antineoplásico*

C<sub>31</sub>H<sub>38</sub>F<sub>2</sub>N<sub>8</sub>O

1401436-95-0



**zoligratinibum**

zoligratinib

[5-amino-1-(2-methyl-1*H*-benzimidazol-5-yl)-1*H*-pyrazol-4-yl](1*H*-indol-2-yl)methanone  
*tyrosine kinase inhibitor, antineoplastic*

zoligratinib

[5-amino-1-(2-méthyl-1*H*-benzimidazol-5-yl)-1*H*-pyrazol-4-yl](1*H*-indol-2-yl)methanone  
*inhibiteur de la tyrosine kinase, antinéoplasique*

zoligratinib

[5-amino-1-(2-metil-1*H*-benzimidazol-5-il)-1*H*-pirazol-4-il](1*H*-indol-2-il)metanona  
*inhibidor de la tirosina kinasa, antineoplásico*

C<sub>20</sub>H<sub>16</sub>N<sub>6</sub>O

1265229-25-1

**zotiraciclibum**

zotiraciclib

(8*E*)-6-methyl-12-oxa-3,6-diaza-2(4,2)-pyrimidina-1,4(1,3)-dibenzencyclododecaphan-8-ene  
*cyclin-dependent kinase inhibitor, antineoplastic*

zotiraciclib

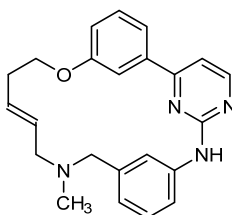
(8*E*)-6-méthyl-12-oxa-3,6-diaza-2(4,2)-pyrimidina-1,4(1,3)-dibenzencyclodécaphan-8-ène  
*inhibiteur des kinases dépendantes des cyclines, antinéoplasique*

zotiraciclib

(8*E*)-6-metil-12-oxa-3,6-diaza-2(4,2)-pirimidina-1,4(1,3)-dibencenaciclododecafan-8-eno  
*inhibidor de las kinasas dependientes de las ciclinas, antineoplásico*

C<sub>23</sub>H<sub>24</sub>N<sub>4</sub>O

1204918-72-8

**zuberitamabum #**

zuberitamab

immunoglobulin G1-kappa, anti-[*Homo sapiens* MS4A1 (membrane spanning 4-domains subfamily A member 1, CD20)], chimeric monoclonal antibody;

- gamma1 heavy chain chimeric (1-452) [VH (*Mus musculus* IGHV1-12\*01 (96.9%) -(IGHD) -IGHJ1\*03 (100%)/*Homo sapiens* IGHV1-46\*01 (70.4%) -(IGHD) -IGHJ1\*03 (85.7%)) [8.8.15] (1-122) -*Homo sapiens* IGHG1\*01 (100%) G1m17,1 (CH1 K120 (219) (123-220), hinge 1-15 (221-235), CH2 (236-345), CH3 D12 (361), L14 (363) (346-450), CHS (451-452)) (123-452)], (225-213')-disulfide with kappa light chain chimeric (1'-213') [V-KAPPA (*Mus musculus* IGKV4-72\*01 (96.8%) -IGKJ1\*01 (90.9 %)/*Homo sapiens* IGKV3-11\*01 (64.9%) -IGKJ2\*01 (90.9%)) [5.3.9] (1'-106') -*Homo sapiens* IGKC\*01 (100%), Km3 A45.1 (152), V101 (190) (107'-213')];  
dimer (231-231":234-234")-bisulfide, produced in Chinese hamster ovary (CHO) cells, glycoform alfa  
*immunomodulator, antineoplastic*
- zubéritamab
- immunoglobuline G1-kappa, anti-[*Homo sapiens* MS4A1 (membre 1 de la sous-famille A à 4 domaines transmembranaires, CD20)], anticorps monoclonal chimérique;  
chaîne lourde gamma1 chimérique (1-452) [VH (*Mus musculus* IGHV1-12\*01 (96.9%) -(IGHD) -IGHJ1\*03 (100%)/*Homo sapiens* IGHV1-46\*01 (70.4%) -(IGHD) -IGHJ1\*03 (85.7%)) [8.8.15] (1-122) -*Homo sapiens* IGHG1\*01 (100%) G1m17,1 (CH1 K120 (219) (123-220), charnière 1-15 (221-235), CH2 (236-345), CH3 D12 (361), L14 (363) (346-450), CHS (451-452)) (123-452)], (225-213')-disulfure avec la chaîne légère kappa chimérique (1'-213') [V-KAPPA (*Mus musculus* IGKV4-72\*01 (96.8%) -IGKJ1\*01 (90.9 %)/*Homo sapiens* IGKV3-11\*01 (64.9%) -IGKJ2\*01 (90.9%)) [5.3.9] (1'-106') -*Homo sapiens* IGKC\*01 (100%), Km3 A45.1 (152), V101 (190) (107'-213')];  
dimère (231-231":234-234")-bisulfure, produit dans des cellules ovariennes de hamster chinois (CHO), glycoforme alfa  
*immunomodulateur, antinéoplasique*
- zuberitamab
- immunoglobulina G1-kappa, anti-[*Homo sapiens* MS4A1 (miembro 1 de la subfamilia A con 4 dominios transmembranarios, CD20)], anticuerpo monoclonal quimérico;  
cadena pesada gamma1 quimérica (1-452) [VH (*Mus musculus* IGHV1-12\*01 (96.9%) -(IGHD) -IGHJ1\*03 (100%)/*Homo sapiens* IGHV1-46\*01 (70.4%) -(IGHD) -IGHJ1\*03 (85.7%)) [8.8.15] (1-122) -*Homo sapiens* IGHG1\*01 (100%) G1m17,1 (CH1 K120 (219) (123-220), bisagra 1-15 (221-235), CH2 (236-345), CH3 D12 (361), L14 (363) (346-450), CHS (451-452)) (123-452)], (225-213')-disulfuro con la cadena ligera kappa quimérica (1'-213') [V-KAPPA (*Mus musculus* IGKV4-72\*01 (96.8%) -IGKJ1\*01 (90.9 %)/*Homo sapiens* IGKV3-11\*01 (64.9%) -IGKJ2\*01 (90.9%)) [5.3.9] (1'-106') -*Homo sapiens* IGKC\*01 (100%), Km3 A45.1 (152), V101 (190) (107'-213')];  
dímero (231-231":234-234")-bisulfuro, producido por células ováricas de hamster chino (CHO), forma glicosilada alfa  
*immunomodulador, antineoplásico*

2251143-19-6

## Heavy chain / Chaîne lourde / Cadena pesada

EVQLQQSGAE LVRPGASVKM SCKASGYTFT SYNMHWVKQT PRQGLEWIGA 50  
 IYPFGNDTSY NQKFKGKATL TVDKSSSTAY MQLSSLTSED SAVYFCARVV 100  
 YYSNSYWFYD VWGTGTTVTV SSASTKGPSV FLAPFSSKST SGGTAALGCL 150  
 VKDYFPEPVV VSNNSGALTS GVHTPPAVLQ SGLYSLSSV VTPVSSSLGT 200  
 QTYICNVNHK PSNTKVDKVK EPKSCDKRTHT CPPCPAPELL GGPSVFLPPP 250  
 KPKDTLMISR TPEVTCVVVD VSHEDPEVKF NQYVDGVEVH NAKTKPREEQ 300  
 YNSTYRVVSV LTVLHQDWLW GKEYKCKVSN KALPAPTEKT ISKAKGQPRE 350  
 FQVYTLPPSR DELTKNQVSL TCLVKGFPYS DIAVEWESNG QPENNYKTFP 400  
 FVLDSDGSFF LYSKLTVDKS RWQGNVFCV SVMHEALHMH YTKQSLSLSP 450  
 GK 452

## Light chain / Chaîne légère / Cadena ligera

DIELSPSPAI LSASPGKVT MTCRASSSVS YMHVYQQKPG SSPKPIIYAP 50  
 SNLASGVFAR FSGSGGTSY SLTISRVEAE DAATYYCQW SFNPPTFGAG 100  
 TKLEIKRTVA APSVFIFFPS DEQLKSGTAS VVCLNNFYP REAKVQWKVD 150  
 NALQSGNSQE SVTEQDSKDS TYSLSTLTL SKADYEKHKV YACEVTHQGL 200  
 SSPVTKSFNR GEC 213

## Post-translational modifications

## Disulfide bridges location / Position des ponts disulfure / Posiciones de los puentes disulfuro

Intra-H (C23-C104) 22-96 149-205 266-326 372-430  
 22"-96" 149"-205" 266"-326" 372"-430"

Intra-L (C23-C104) 23'-87' 133'-193'  
 23"-87" 133"-193"

Inter-H-L (h5-CL 126) 225-213' 225"-213"

Inter-H-H (h 11, h 14) 231-231" 234-234"

## N-glycosylation sites / Sites de N-glycosylation / Posiciones de N-glicosilación

HCH2 N84.4:

302, 302"

Fucosylated complex bi-antennary CHO-type glycans / glycanes de type CHO bi-antennaires

complexes fucosylés / glicanos de tipo CHO biantenarios complejos fucosilados

C-terminal lysine clipping:

HCHS K2:

452, 452"

# Electronic structure available on Mednet: <http://mednet.who.int/>

# Structure électronique disponible sur Mednet: <http://mednet.who.int/>

# Estructura electrónica disponible en Mednet: <http://mednet.who.int/>

\* <http://www.who.int/medicines/services/inn/publication/en/>

### Names for Radicals, Groups and others

Some substances for which a proposed international nonproprietary name has been established may be used in the form of salts or esters. The radicals or groups involved may be of complex composition and it is then inconvenient to refer to them in a systematic chemical nomenclature. Consequently, shorter nonproprietary names for some radicals and groups have been devised or selected, and they are suggested for use with the proposed international nonproprietary names.

### Dénominations applicables aux radicaux, groupes et autres

Certaines substances pour lesquelles une dénomination commune internationale proposée a été établie sont parfois utilisées sous forme de sels ou d'esters. Les radicaux ou groupes correspondants sont alors quelques fois si complexes qu'il est malcommode de les désigner conformément à la nomenclature chimique systématique. Des dénominations communes abrégées ont donc été formées ou choisies pour certains d'entre eux et il est suggéré de les employer avec les dénominations communes internationales proposées.

### Denominaciones para radicales, grupos y otros

Ciertas sustancias para las cuales hay establecidas una denominación común internacional pueden usarse en forma de sales o de ésteres. Los radicales o grupos correspondientes pueden llegar a tener una composición tan compleja que resulte incómodo referirse a ellos mediante la nomenclatura química sistemática. Las siguientes denominaciones comunes abreviadas han sido ideadas o elegidas para algunos de estos radicales y grupos y se sugiere que se empleen con las denominaciones comunes internacionales propuestas

#### matraxetanum

matraxetan

(3*RS*)-2,5-dioxo-1-(2-{2-[4,7,10-tris(carboxymethyl)-1,4,7,10-tetraazacyclododecan-1-yl]acetamido}ethyl)pyrrolidin-3-yl

matraxétan

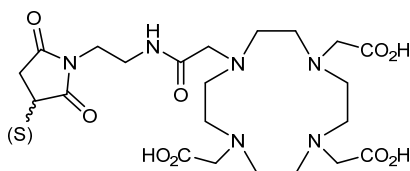
(3*RS*)-2,5-dioxo-1-(2-{2-[4,7,10-tris(carboxyméthyl)-1,4,7,10-tétraazacyclododécán-1-yl]acétamido}éthyl)pyrrolidin-3-yle

matraxetán

(3*RS*)-2,5-dioxo-1-(2-{2-[4,7,10-tris(carboximetil)-1,4,7,10-tetraazaciclododecan-1-il]acetamido}etil)pirrolidin-3-ilo

C<sub>22</sub>H<sub>35</sub>N<sub>6</sub>O<sub>9</sub>

1006711-90-5 (for the reagent)



**AMENDMENTS TO PREVIOUS LISTS  
MODIFICATIONS APPORTÉES AUX LISTES ANTÉRIEURES  
MODIFICACIONES A LAS LISTAS ANTERIORES**

**Proposed International Nonproprietary Names (Prop. INN): Lists 51, 57 and 58**  
**Dénominations communes internationales proposées (DCI Prop.): Listes 51, 57 et 58**  
**Denominaciones Comunes Internacionales Propuestas (DCI Prop.): Listas 51, 57 y 58**  
*(WHO Chronicle, Vol. 38, No. 2, Suppl., 1984; WHO Drug Information, Vol. 1, No. 2, No. 3, 1987)*

**ademetoniumum**

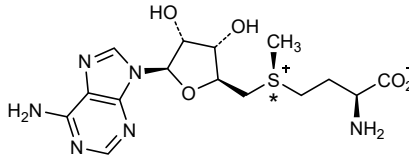
ademetonine *replace the chemical name, CAS Registry Number and structure by the following ones*  
 adémétionine *remplacer le nom chimique, le numéro de registre du CAS et la structure par les suivants*  
 ademetonina *sustitúyase el nombre químico, el número de registro del CAS y la estructura por los siguientes*

(2S)-2-amino-4-[(S/R)-(5'-deoxyadenosin-5'-yl)(methyl)sulfaniumyl]butanoate

(2S)-2-amino-4-[(S/R)-(5'-désoxyadénosin-5'-yl)(méthyl)sulfaniumyl]butanoate

(2S)-2-amino-4-[(S/R)-(5'-desoxiadenosin-5'-il)(metil)sulfaniumil]butanoato

29908-03-0

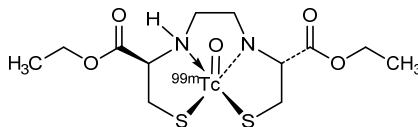


and less than 40% of epimer at S\*  
 et moins de 40% d'épimère en S\*  
 y menos de 40% del epímero al S\*

**Proposed International Nonproprietary Names (Prop. INN): List 65**  
**Dénominations communes internationales proposées (DCI Prop.): Liste 65**  
**Denominaciones Comunes Internacionales Propuestas (DCI Prop.): Lista 65**  
*(WHO Drug Information, Vol. 5, No. 2, 1991)*

p.19 **technetium (<sup>99m</sup>Tc) bicasas**  
 technetium (<sup>99m</sup>Tc) bicasate  
 bicasate de technétium (<sup>99m</sup>Tc)  
 bicasato de tecnecio (<sup>99m</sup>Tc)

*replace the structure by the following one*  
*remplacer la structure par la suivante*  
*sustitúyase la estructura por la siguiente*



**Proposed International Nonproprietary Names (Prop. INN): List 78**  
**Dénominations communes internationales proposées (DCI Prop.): Liste 78**  
**Denominaciones Comunes Internacionales Propuestas (DCI Prop.): Lista 78**  
**(WHO Drug Information, Vol. 11, No. 4, 1997)**

- p.271 **denileukinum diftitoxum #**  
 denileukin diftitox *replace the molecular formula by the following one*  
 dénileukine diftitox *remplacer la formule moléculaire brute par la suivante*  
 denileukina diftitox *sustitúyase la fórmula molecular por la siguiente*  
 $C_{2560}H_{4038}N_{678}O_{799}S_{17}$

**Proposed International Nonproprietary Names (Prop. INN): List 107**  
**Dénominations communes internationales proposées (DCI Prop.): Liste 107**  
**Denominaciones Comunes Internacionales Propuestas (DCI Prop.): Lista 107**  
**(WHO Drug Information, Vol. 26, No. 2, 2012)**

- p.199 **rabusertibum**  
 rabusertib *replace the chemical name by the following one*  
 rabusertib *remplacer le nom chimique par le suivant*  
 rabusertib *sustitúyase el nombre químico por el siguiente*  
  
 $N-(5-bromo-4-methyl-2-((2S)-morpholin-2-yl)methoxy)phenyl)-N'-(5-methylpyrazin-2-yl)urea$   
 $N-(5-bromo-4-méthyl-2-((2S)-morpholin-2-yl)méthoxy)phényl)-N'-(5-méthylpyrazin-2-yl)urée$   
 $N-(5-bromo-4-metil-2-((2S)-morfolin-2-il)metoxi)fenil)-N'-(5-metilpirazin-2-il)urea$

**Proposed International Nonproprietary Names (Prop. INN): List 108**  
**Dénominations communes internationales proposées (DCI Prop.): Liste 108**  
**Denominaciones Comunes Internacionales Propuestas (DCI Prop.): Lista 108**  
**(WHO Drug Information, Vol. 26, No. 4, 2012)**

- p.421 **flortanidazolom (<sup>18</sup>F)**  
 flortanidazole (<sup>18</sup>F) *replace the CAS registry number by the following one*  
 flortanidazole (<sup>18</sup>F) *remplacer le numéro de registre du CAS par le suivant*  
 flortanidazol (<sup>18</sup>F) *sustitúyase el número de registro del CAS por el siguiente*  
  
 1070878-86-2

**Proposed International Nonproprietary Names (Prop. INN): List 114**  
**Dénominations communes internationales proposées (DCI Prop.): Liste 114**  
**Denominaciones Comunes Internacionales Propuestas (DCI Prop.): Lista 114**  
**(WHO Drug Information, Vol. 29, No. 4, 2015)**

- p.522 **edasalonexentum**  
 edasalonexent *replace the molecular formula by the following one*  
 édasalonexent *remplacer la formule moléculaire brute par la suivante*  
 edasalonexento *sustitúyase la fórmula molecular por la siguiente*  
  
 $C_{31}H_{42}N_2O_3$

**Proposed International Nonproprietary Names (Prop. INN): List 115**  
**Dénominations communes internationales proposées (DCI Prop.): Liste 115**  
**Denominaciones Comunes Internacionales Propuestas (DCI Prop.): Lista 115**  
*(WHO Drug Information, Vol. 30, No. 2, 2016)*

- p.299 **pegvorhyaluronidasum alfa #**  
 -300 pegvorhyaluronidase alfa *replace the description and the structure by the following ones*  
 pègvorhyaluronidase alfa *remplacer la description et la structure par les suivantes*  
 pegvorhialuronidasa alfa *sustitúyase la descripción y la estructura por las siguientes*

human hyaluronidase PH-20 (hyaluronoglucosaminidase PH-20, sperm adhesion molecule 1, EC 3.2.1.35) precursor-(36-482)-peptide (mature (1-447)-peptide), produced in Chinese hamster ovary (CHO) cells, glycoform alfa, substituted on an average of 4 to 5 sites among N<sup>2</sup> of Leu1 and N<sup>6</sup> of lysyl residues with 4-[ω-methoxypoly(oxyethylene)-α-yl]butanoyl groups (~30 kDa each)

hyaluronidase PH-20 humaine (hyaluronoglucosaminidase PH-20, molécule adhésive 1 du sperme, EC 3.2.1.35) précurseur-(36-482)-peptide (à maturité-(1-447)-peptide), produite par des cellules ovariennes de hamster chinois (CHO), forme glycosylée alfa, substituée sur une moyenne de 4 à 5 sites parmi le N<sup>2</sup> du résidu Leu1 et N<sup>6</sup> des résidus lysyl par des groupes 4-[ω-méthoxypoly(oxyéthylène)-α-yl]butanoyle (~30 kDa chacun)

hialuronidasa PH-20 humana (hialuronoglucosaminidasa PH-20, molécula de adhesión 1 de esperma, EC 3.2.1.35) precursor-(36-482)-péptido (maduro-(1-447)-péptido), producida por células ováricas de hamster chino (CHO), forma glicosilada alfa, sustituida pro termino medio de 4 a 5 sitios entre el N<sup>2</sup> del residuo Leu1 y el N<sup>6</sup> de los residuos lisil por grupos 4-[ω-metoxipoli(oxietileno)-α-yl]butanoilo (~ 30 kDa cada uno)

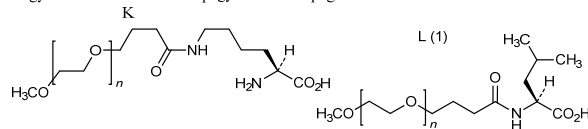
**C-terminal number / numéro C-terminal / número C-terminal:**

... EEPQIFY 447 instead of 457

LNFRAFPVIV NVPFLWAWNA PSEFCGLGKFD EPLDMSLFSF IGSPRINATG 50  
 QGVITIFYVDR LGGYPIYIDSI TGVTVNGGIP QKISLQDHL D KAKKDITFYM 100  
 PVDNLGMAVI DWEWRPTWA RNWPKPDVYK NRSIELVQQQ NVQLSLTEAT 150  
 EKAKQEFEKA GKDFLIVETIK LGKLLRPNHL WGYLFPDCY NHHYKPGYN 200  
 GSCFNVEIKR NDDLWLVNE STALYPSIYL NTQQSPVAAT LYVRNRVREA 250  
 IRVSKIPIPAK SFLPVFAYTR IVFTDQVLKF LSQDELVYTF GETVALGASG 300  
 IVIWTLSIM RSMKSCLLLD NYMETILNPY IINVTLAAM CSQVLCQEQG 350  
 VCIRKNWNSS DYHLNPDNF AIQLERGGKF TVRGKPTLED LEQFSEKFCY 400  
 SCYSTLSCKE KADVKTDAV DVCIADGVCI DAFLKPPMET EEPQIFY 447

Disulfide bridges location / Position des ponts disulfure / Posiciones de los puentes disulfuro  
 25-316 189-203 341-352 346-400 402-408 423-429

Pegylated residues / Résidus pégylés / Restos pegilados



Glycosylation sites (N) / Sites de glycosylation (N) / Posiciones de glicosilación (N)  
 Asn-47 Asn-131 Asn-200 Asn-219 Asn-333 Asn-358

**Proposed International Nonproprietary Names (Prop. INN): List 120**  
**Dénominations communes internationales proposées (DCI Prop.): Liste 120**  
**Denominaciones Comunes Internacionales Propuestas (DCI Prop.): Lista 120**  
**(WHO Drug Information, Vol. 32, No. 4, 2018)**

p.568 **balstilimabum #**

balstilimab  
 balstilimab  
 balstilimab

*replace the structure by the following one*  
*remplacer la structure par la suivante*  
*sustitúyase la estructura por la siguiente*

Heavy chain / Chaîne lourde / Cadena pesada  
 QVQLVSGGG VVQPSGRSLR SCAASGFTFS SYGMHWVRQA PGKLEWVAV 50  
 IWYDGSNKYY ADSVKGRFTI SRDNSKNTLY LQMNSLRAD TAVYYCASNG 100  
 DHWGQGLT VSSASTKGPS VFPLAPCSRS TSESTALGC LVKDYFPEPV 150  
 TVSWNSGALT SGVHTFFAVL QSSGLYSLSS VVTPSSSLG TKTYCNVDH 200  
 KPSNTRKVDKR VESKYFPFPC PCPAPEFLGG PSVFLFPPPK KDTLMISRTP 250  
 EVTCVVVDVS QEDPEVQFNM YVDGVEVHNA KTKPREEQFN STYRVVSLT 300  
 VLHQDWLNGK EYKCKVSNKG LPSSIEKTS KAKQPREPQ VYTLPPSQEE 350  
 MTKNQVSLTCL LVKGFYFSDI AVEWESNGQP ENNYKTPPV LQDSGSEFLY 400  
 SRLTVDKSRW QEGNVFSCSV MHEALHNHT QKSLSLSLGK 440

Light chain / Chaîne légère / Cadena ligera  
 EIVMTQSPAT LSVSPGERAT LSCRASQSVS SMLAWYQQKQ GPAPRLLIYG 50  
 ASTRATGIPA RFGSGSGSTE FTLTISSLQD EDFAVYYCQ YNNWPRTFQG 100  
 GTKVEIKRTV AAPSVFIFPP SDEQLKSGTA SVVCLLNNEY PREAKVQWKV 150  
 DNALQSGNSQ ESVTEQDSKD STYLSLSTLT LSKADYEKHK VYACEVTHQG 200  
 LSSPVTKSFN RGEK 214

Post-translational modifications  
 Disulfide bridges location / Position des ponts disulfure / Posiciones de los puentes disulfuro

Intra-H (C23-C104) 22-96 140-196 254-314 360-418  
 22-96\* 140\*-196\* 254\*-314\* 360\*-418\*

Intra-L (C23-C104) 23-88\* 134-194\*  
 23"-88" 134"-194"

Inter-H-L (CHI 10-CL 126) 127-214\* 127"-214"

Inter-H-H (h 8, h 11) 219-219\* 222-222\*

N-glycosylation sites / Sites de N-glycosylation / Posiciones de N-glicosilación  
 H CH2 N84.4:

290, 290\*

Fucosylated complex bi-antennary CHO-type glycans / glycanes de type CHO bi-antennaires  
 complexes fucosylés / glicanos de tipo CHO biantennarios complejos fucosilados

N-terminal glutaminyl cyclization to pyroglutaminyl (pE, 5-oxoprolyl)

H VH Q1:

1, 1\*

C-terminal lysine clipping / Coupeure de la lysine C-terminale / Recorte de lisina C-terminal

H CHS K2:

440, 440\*\*

p.602 **ieramilimabum #**

ieramilimab  
 ieramilimab  
 ieramilimab

*replace the structure by the following one*  
*remplacer la structure par la suivante*  
*sustitúyase la estructura por la siguiente*

Heavy chain / Chaîne lourde / Cadena pesada  
 QVQLVQSGAE VVKPGASVKV SKASGFTLT NYGMNWRVQA RGQRLEWIGW 50  
 INTDTGPEPTV ADDPKGRFVF SLDTSVSTAY LQISSLKAEAD TAVYYCARNP 100  
 PYYVGTNNAE AMDYWGQGTI TVTSSASTKG PSVFLAPCS RSTSESTAL 150  
 GCLVKDYFPE PVTVSWNSGA LTVSGVHTFPA VLQSSGLYSL SSVVTPSSS 200  
 LGTKTYTCNV DHPKPSNTKVD KRVESKYGPP CPCAFAPEFL GGPSVFLFPP 250  
 KPKDTLMISR TPEVTCVVVD VSQEDPEVQF NMYVDGVEVH NARTKPREEQ 300  
 FNSTYRVVSV LTVLHQDWLNL GKEYCKVSN KGLPSSIEKT ISKARQQPRE 350  
 PQVYTLPEPQ EEMTRNQVSL TCLVKGIFYPS DIAVEWESNG QPENNYKTP 400  
 PVLDSGSEFL LYSRLTVDKS RWQEGNVFSC SVMHEALHNH YTKKSLSLSL 450  
 G 451

Light chain / Chaîne légère / Cadena ligera  
 DIQMTQSPFS LSASVGRDRTV ITCCSSQDIS NYLWYLQKQ GQSPQLLIYY 50  
 TSTLHLGVPS RFGSGSGSTE FTLTISSLQD DDFATYYCQ YNNLPWTFQG 100  
 GTKVEIKRTV AAPSVFIFPP SDEQLKSGTA SVVCLLNNEY PREAKVQWKV 150  
 DNALQSGNSQ ESVTEQDSKD STYLSLSTLT LSKADYEKHK VYACEVTHQG 200  
 LSSPVTKSFN RGEK 214

Post-translational modifications  
 Disulfide bridges location / Position des ponts disulfure / Posiciones de los puentes disulfuro

Intra-H (C23-C104) 22-96 152-208 266-326 372-430  
 22"-96" 152"-208" 266"-326" 372"-430"

Intra-L (C23-C104) 23-88\* 134-194\*  
 23"-88" 134"-194"

Inter-H-L (CHI 10-CL 126) 139-214\* 139"-214"

Inter-H-H (h 8, h 11) 231-231\* 234-234\*

N-terminal glutaminyl cyclization to pyroglutaminyl (pE, 5-oxoprolyl)

H VH Q1:

1, 1\*

N-glycosylation sites / Sites de N-glycosylation / Posiciones de N-glicosilación

H CH2 N84.4:

302, 302\*

Fucosylated complex bi-antennary CHO-type glycans / glycanes de type CHO bi-antennaires  
 complexes fucosylés / glicanos de tipo CHO biantennarios complejos fucosilados

p.612 **maftivimab #**  
 maftivimab *replace the structure by the following one*  
 maftivimab *remplacer la structure par la suivante*  
 maftivimab *sustitúyase la estructura por la siguiente*

Heavy chain / Chaîne lourde / Cadena pesada  
 EQVLVESGGG LVQPGGSLRL SCAASGTTSS SYAMNWRQA PGKGLEWVST 50  
 ISGMGGSTYY ADSVKGRFTI SRDNSKNTLY LQMNSLRAED TAVYYCAKRG 100  
 YPHSFDIWGQ GTMVTVSSAS TKGPSVFPLA PSSKSTSGGT AALGCLVKDY 150  
 FPEPVTWSN SGALTSQVHT FPAVLQSSGL YSLSSVTVTP SSSLGTQTYI 200  
 CNVNHKPSNT KVDKVEPKS CDKTHTCPPC PAPELLGGPS VFLFPPKPKD 250  
 TLMISRTPEV TCVVVDVDSHE DPEVKENYVY DGEVHNAKT KPREEQYNST 300  
 YRVVSVLTVL HQDVLNGREY KCKVSNKALP APIEKTISKA KGQPREPQVY 350  
 TLPFSDRELT KNQVSLTCLV KGFYPSDIAV EWESNGQPEN NYKTTTTPVLD 400  
 SDGSFFLYSK LTVDKSRWQQ GNVFSCSMH EALHNHYTQK SLSLSPGK 448

Light chain / Chaîne légère / Cadena ligera  
 DIQMTQSPFSS LSASVGRVYIT ITCRASQGIS SFLNWIYQQK GKAPKLLIYA 50  
 ASSLQSGVPS RFSGGSGSDT FLTISSSLQP EDFATYVQQ SYSLTFPQQG 100  
 TRLEIKETVA AEPVFIFFPS DEQLKSGTAS VVCLLNNFY REAKVQWVKD 150  
 NALQSGNSQE SVTEQDSKDS TYSLSSTLTL SKADYEKHKV YACEVTHQGL 200  
 SSPVTKSFNR GEC 213

Post-translational modifications

Disulfide bridges location / Position des ponts disulfure / Posiciones de los puentes disulfuro

Intra-H (C23-C104) 22-96 145-201 262-322 368-426  
 22"-96" 145"-201" 262"-322" 368"-426"

Intra-L (C23-C104) 23"-88" 133"-193"  
 23"-88" 133"-193"

Inter-H-L (h 5-CL 126) 221-213" 221"-213"

Inter-H-H (h 11, h 14) 227-227" 230-230"

N-glycosylation sites / Sites de N-glycosylation / Posiciones de N-glicosilación

H CH2 N84.4:

298, 298"

Fucosylated complex bi-antennary CHO-type glycans / glycanes de type CHO bi-antennaires  
 complexes fucosylés / glicanos de tipo CHO biantennarios complejos fucosilados

p.617 *delete/supprimer/suprimése* *insert/insérer/insertese*  
**nidanilimab** **nadunolimab**  
 nidanilimab nadunolimab  
 nidanilimab nadunolimab  
 nidanilimab nadunolimab

p.665 **zalifrelimab #**  
 zalifrelimab *replace the structure by the following one*  
 zalifrélimab *remplacer la structure par la suivante*  
 zalifrelimab *sustitúyase la estructura por la siguiente*

Heavy chain / Chaîne lourde / Cadena pesada  
 EQVLVESGGG LVKPGGSLRL SCAASGTFSS SYSMNWRQA PGKGLEWVSS 50  
 ISSSSSIYY ADSVKGRFTI SRDNAKNSLY LQMNSLRAED TAVYYCARVG 100  
 LMGPFDIWGQ GTMVTVSSAS TKGPSVFPLA PSSKSTSGGT AALGCLVKDY 150  
 FPEPVTWSN SGALTSQVHT FPAVLQSSGL YSLSSVTVTP SSSLGTQTYI 200  
 CNVNHKPSNT KVDKVEPKS CDKTHTCPPC PAPELLGGPS VFLFPPKPKD 250  
 TLMISRTPEV TCVVVDVDSHE DPEVKENYVY DGEVHNAKT KPREEQYNST 300  
 YRVVSVLTVL HQDVLNGREY KCKVSNKALP APIEKTISKA KGQPREPQVY 350  
 TLPFSDRELT KNQVSLTCLV KGFYPSDIAV EWESNGQPEN NYKTTTTPVLD 400  
 SDGSFFLYSK LTVDKSRWQQ GNVFSCSMH EALHNHYTQK SLSLSPGK 448

Light chain / Chaîne légère / Cadena ligera

BIVLTQSPGT SLSLSPGERAT LSCRASQSVS RYLGWYQQK GQAPRLLIYG 50  
 ASTRATGIPD RFSGGSGSDT FLTIITRLEP EDFAVIYCCQ YGSSPWTFGQ 100  
 GTKVETKRTV AAPSVEFIFFP SDEQLKSGTA SVVCLLNNFY PREAKVQWVK 150  
 DNALQSGNSQ ESVTEQDSKDT STYLSSTLTL LSKADYEKHKV YVACEVTHQG 200  
 LSSPVTKSFN RGEC 214

Post-translational modifications

Disulfide bridges location / Position des ponts disulfure / Posiciones de los puentes disulfuro

Intra-H (C23-C104) 22-96 145-201 262-322 368-426  
 22"-96" 145"-201" 262"-322" 368"-426"

Intra-L (C23-C104) 23"-88" 134"-194"  
 23"-88" 134"-194"

Inter-H-L (h 5-CL 126) 221-214" 221"-214"

Inter-H-H (h 11, h 14) 227-227" 230-230"

N-glycosylation sites / Sites de N-glycosylation / Posiciones de N-glicosilación

H CH2 N84.4:

298, 298"

Fucosylated complex bi-antennary CHO-type glycans / glycanes de type CHO bi-antennaires  
 complexes fucosylés / glicanos de tipo CHO biantennarios complejos fucosilados

C-terminal lysine clipping:

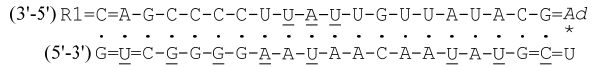
H CHS K2:

448, 448"

**Proposed International Nonproprietary Names (Prop. INN): List 121**  
**Dénominations communes internationales proposées (DCI Prop.): Liste 121**  
**Denominaciones Comunes Internacionales Propuestas (DCI Prop.): Lista 121**  
*(WHO Drug Information, Vol. 33, No. 2, 2019)*

p.310 **olpasiranum**  
 olpasiran  
 olpasiran  
 olpasirán

*replace the structure by the following one*  
*remplacer la structure par la suivante*  
*sustitúyase la estructura por la siguiente*

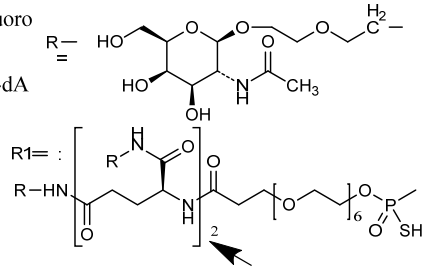
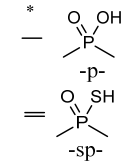


Legend

X : 2'-deoxy-2'-fluoro

X : 2'-O-methyl

=Ad : -(3'→3')-sp-dA



p.339 **sovateltidum**  
 sovateltide  
 sovateltida

*remplacer la propriété/indication structure par la suivante*  
*sustitúyase la acción/uso por la siguiente*

*agoniste du récepteur de l'endothéline*  
*agonista del receptor de la endotelina*

## ANNEX 1

**PROCEDURE FOR THE SELECTION OF RECOMMENDED INTERNATIONAL NONPROPRIETARY NAMES FOR PHARMACEUTICAL SUBSTANCES<sup>1</sup>**

The following procedure shall be followed by the World Health Organization (hereinafter also referred to as "WHO") in the selection of recommended international nonproprietary names for pharmaceutical substances, in accordance with resolution WHA3.11 of the World Health Assembly, and in the substitution of such names.

*Article 1* - Proposals for recommended international nonproprietary names and proposals for substitution of such names shall be submitted to WHO on the form provided therefore. The consideration of such proposals shall be subject to the payment of an administrative fee designed only to cover the corresponding costs of the Secretariat of WHO ("the Secretariat"). The amount of this fee shall be determined by the Secretariat and may, from time to time, be adjusted.

*Article 2* - Such proposals shall be submitted by the Secretariat to the members of the Expert Advisory Panel on the International Pharmacopoeia and Pharmaceutical Preparations designated for this purpose, such designated members hereinafter referred to as "the INN Expert Group", for consideration in accordance with the "General principles for guidance in devising International Nonproprietary Names for Pharmaceutical Substances", annexed to this procedure<sup>2</sup>. The name used by the person discovering or first developing and marketing a pharmaceutical substance shall be accepted, unless there are compelling reasons to the contrary.

*Article 3* - Subsequent to the examination provided for in article 2, the Secretariat shall give notice that a proposed international nonproprietary name is being considered.

a) Such notice shall be given by publication in *WHO Drug Information*<sup>3</sup> and by letter to Member States and to national and regional pharmacopoeia commissions or other bodies designated by Member States.

i) Notice shall also be sent to the person who submitted the proposal ("the original applicant") and other persons known to be concerned with a name under consideration.

b) Such notice shall:

i) set forth the name under consideration;

ii) identify the person who submitted the proposal for naming the substance, if so requested by such person;

iii) identify the substance for which a name is being considered;

iv) set forth the time within which comments and objections will be received and the person and place to whom they should be directed;

v) state the authority under which WHO is acting and refer to these rules of procedure.

---

<sup>1</sup> See Annex 1 in WHO Technical Report Series, No. 581, 1975. The original text was adopted by the Executive Board in resolution EB15.R7 and amended in resolutions EB43.R9 and EB115.R4.

<sup>2</sup> See Annex 2.

<sup>3</sup> Before 1987, lists of international nonproprietary names were published in the *Chronicle of the World Health Organization*.

c) In forwarding the notice, the Secretariat shall request that Member States take such steps as are necessary to prevent the acquisition of proprietary rights in the proposed name during the period it is under consideration by WHO.

*Article 4* - Comments on the proposed name may be forwarded by any person to WHO within four months of the date of publication, under article 3, of the name in *WHO Drug Information*.

*Article 5* - A formal objection to a proposed name may be filed by any interested person within four months of the date of publication, under article 3, of the name in *WHO Drug Information*.

Such objection shall:

- i) identify the person objecting;
- ii) state his or her interest in the name;
- iii) set forth the reasons for his or her objection to the name proposed.

*Article 6* - Where there is a formal objection under article 5, WHO may either reconsider the proposed name or use its good offices to attempt to obtain withdrawal of the objection. Without prejudice to the consideration by WHO of a substitute name or names, a name shall not be selected by WHO as a recommended international nonproprietary name while there exists a formal objection thereto filed under article 5 which has not been withdrawn.

*Article 7* - Where no objection has been filed under article 5, or all objections previously filed have been withdrawn, the Secretariat shall give notice in accordance with subsection (a) of article 3 that the name has been selected by WHO as a recommended international nonproprietary name.

*Article 8* - In forwarding a recommended international nonproprietary name to Member States under article 7, the Secretariat shall:

- a) request that it be recognized as the nonproprietary name for the substance; and
- b) request that Member States take such steps as are necessary to prevent the acquisition of proprietary rights in the name and to prohibit registration of the name as a trademark or trade name.

*Article 9*

a) In the extraordinary circumstance that a previously recommended international nonproprietary name gives rise to errors in medication, prescription or distribution, or a demonstrable risk thereof, because of similarity with another name in pharmaceutical and/or prescription practices, and it appears that such errors or potential errors cannot readily be resolved through other interventions than a possible substitution of a previously recommended international nonproprietary name, or in the event that a previously recommended international nonproprietary name differs substantially from the nonproprietary name approved in a significant number of Member States, or in other such extraordinary circumstances that justify a substitution of a recommended international nonproprietary name, proposals to that effect may be filed by any interested person. Such proposals shall be submitted on the form provided therefore and shall:

- i) identify the person making the proposal;
- ii) state his or her interest in the proposed substitution; and

iii) set forth the reasons for the proposal; and

iv) describe, and provide documentary evidence regarding the other interventions undertaken in an effort to resolve the situation, and the reasons why these other interventions were inadequate.

Such proposals may include a proposal for a new substitute international nonproprietary name, devised in accordance with the General principles, which takes into account the pharmaceutical substance for which the new substitute international nonproprietary name is being proposed.

The Secretariat shall forward a copy of the proposal, for consideration in accordance with the procedure described in subsection (b) below, to the INN Expert Group and the original applicant or its successor (if different from the person bringing the proposal for substitution and provided that the original applicant or its successor is known or can be found through diligent effort, including contacts with industry associations).

In addition, the Secretariat shall request comments on the proposal from:

i) Member States and national and regional pharmacopoeia commissions or other bodies designated by Member States (by including a notice to that effect in the letter referred to in article 3(a), and

ii) any other persons known to be concerned by the proposed substitution.

The request for comments shall:

i) state the recommended international nonproprietary name that is being proposed for substitution (and the proposed substitute name, if provided);

ii) identify the person who submitted the proposal for substitution (if so requested by such person);

iii) identify the substance to which the proposed substitution relates and reasons put forward for substitution;

iv) set forth the time within which comments will be received and the person and place to whom they should be directed; and

v) state the authority under which WHO is acting and refer to these rules of procedure.

Comments on the proposed substitution may be forwarded by any person to WHO within four months of the date of the request for comments.

b) After the time period for comments referred to above has elapsed, the Secretariat shall forward any comments received to the INN Expert Group, the original applicant or its successor and the person bringing the proposal for substitution. If, after consideration of the proposal for substitution and the comments received, the INN Expert Group, the person bringing the proposal for substitution and the original applicant or its successor all agree that there is a need to substitute the previously recommended international nonproprietary name, the Secretariat shall submit the proposal for substitution to the INN Expert Group for further processing.

Notwithstanding the foregoing, the original applicant or its successor shall not be entitled to withhold agreement to a proposal for substitution in the event the original applicant or its successor has no demonstrable continuing interest in the recommended international nonproprietary name proposed for substitution.

In the event that a proposal for substitution shall be submitted to the INN Expert Group for further processing, the INN Expert Group will select a new international nonproprietary name in accordance with the General principles referred to in article 2 and the procedure set forth in articles 3 to 8 inclusive. The notices to be given by the Secretariat under article 3 and article 7, respectively, including to the original applicant or its successor (if not the same as the person proposing the substitution, and provided that the original applicant or its successor is known or can be found through diligent effort, including contacts with industry associations), shall in such event indicate that the new name is a substitute for a previously recommended international nonproprietary name and that Member States may wish to make transitional arrangements in order to accommodate existing products that use the previously recommended international nonproprietary name on their label in accordance with national legislation.

If, after consideration of the proposal for substitution and the comments received in accordance with the procedure described above, the INN Expert Group, the original applicant or its successor and the person bringing the proposal for substitution do not agree that there are compelling reasons for substitution of a previously recommended international nonproprietary name, this name shall be retained (provided always that the original applicant or its successor shall not be entitled to withhold agreement to a proposal for substitution in the event that the original applicant or its successor has no demonstrable continuing interest in the recommended international nonproprietary name proposed to be substituted). In such an event, the Secretariat shall advise the person having proposed the substitution, as well as the original applicant or its successor (if not the same as the person proposing the substitution, and provided that the original applicant or its successor is known or can be found through diligent effort, including contacts with industry associations), Member States, national and regional pharmacopoeia commissions, other bodies designated by Member States, and any other persons known to be concerned by the proposed substitution that, despite a proposal for substitution, it has been decided to retain the previously recommended international nonproprietary name (with a description of the reason(s) why the proposal for substitution was not considered sufficiently compelling).

## ANNEX 2

### GENERAL PRINCIPLES FOR GUIDANCE IN DEVISING INTERNATIONAL NONPROPRIETARY NAMES FOR PHARMACEUTICAL SUBSTANCES<sup>1</sup>

1. International Nonproprietary Names (INN) should be distinctive in sound and spelling. They should not be inconveniently long and should not be liable to confusion with names in common use.
2. The INN for a substance belonging to a group of pharmacologically related substances should, where appropriate, show this relationship. Names that are likely to convey to a patient an anatomical, physiological, pathological or therapeutic suggestion should be avoided.

*These primary principles are to be implemented by using the following secondary principles:*

3. In devising the INN of the first substance in a new pharmacological group, consideration should be given to the possibility of devising suitable INN for related substances, belonging to the new group.

4. In devising INN for acids, one-word names are preferred; their salts should be named without modifying the acid name, e.g. "oxacillin" and "oxacillin sodium", "ibufenac" and "ibufenac sodium".
5. INN for substances which are used as salts should in general apply to the active base or the active acid. Names for different salts or esters of the same active substance should differ only in respect of the name of the inactive acid or the inactive base.  
For quaternary ammonium substances, the cation and anion should be named appropriately as separate components of a quaternary substance and not in the amine-salt style.
6. The use of an isolated letter or number should be avoided; hyphenated construction is also undesirable.
7. To facilitate the translation and pronunciation of INN, "f" should be used instead of "ph", "t" instead of "th", "e" instead of "ae" or "oe", and "i" instead of "y"; the use of the letters "h" and "k" should be avoided.
8. Provided that the names suggested are in accordance with these principles, names proposed by the person discovering or first developing and marketing a pharmaceutical preparation, or names already officially in use in any country, should receive preferential consideration.
9. Group relationship in INN (see General principle 2) should if possible be shown by using a common stem. The following list contains examples of stems for groups of substances, particularly for new groups. There are many other stems in active use.<sup>2</sup> Where a stem is shown without any hyphens it may be used anywhere in the name.

<i>Latin</i>	<i>English</i>	
<i>-acum</i>	<i>-ac</i>	anti-inflammatory agents, ibufenac derivatives
<i>-adolum</i>	<i>-adol }</i>	analgesics
<i>-adol-</i>	<i>-adol- }</i>	
<i>-astum</i>	<i>-ast</i>	antiasthmatic, antiallergic substances not acting primarily as antihistaminics
<i>-astinum</i>	<i>-astine</i>	antihistaminics
<i>-azepamum</i>	<i>-azepam</i>	diazepam derivatives
<i>bol</i>	<i>bol</i>	steroids, anabolic
<i>-cain-</i>	<i>-cain-</i>	class I antiarrhythmics, procainamide and lidocaine derivatives
<i>-cainum</i>	<i>-caine</i>	local anaesthetics
<i>cef-</i>	<i>cef-</i>	antibiotics, cephalosporanic acid derivatives
<i>-cillinum</i>	<i>-cillin</i>	antibiotics, 6-aminopenicillanic acid derivatives
<i>-conazolom</i>	<i>-conazole</i>	systemic antifungal agents, miconazole derivatives
<i>cort</i>	<i>cort</i>	corticosteroids, except prednisolone derivatives
<i>-coxibum</i>	<i>-coxib</i>	selective cyclo-oxygenase inhibitors

<sup>1</sup> In its Twentieth report (WHO Technical Report Series, No. 581, 1975), the WHO Expert committee on Nonproprietary Names for Pharmaceutical Substances reviewed the general principles for devising, and the procedures for selecting, INN in the light of developments in pharmaceutical compounds in recent years. The most significant change has been the extension to the naming of synthetic chemical substances of the practice previously used for substances originating in or derived from natural products. This practice involves the use of a characteristic "stem" indicative of a common property of the members of a group. The reason for, and the implications of, the change are fully discussed.

The guiding principles were updated during the 13<sup>th</sup> consultation on nonproprietary names for pharmaceutical substances (Geneva, 27-29 April 1983) (PHARM S/NOM 928 13 May 1983, revised 18 August 1983).

<sup>2</sup> A more extensive listing of stems is contained in the working document WHO/EMP/RHT/TSN/2018.1 which is regularly updated and can be requested from the INN Programme, WHO, Geneva.

-entanum	-entan	endothelin receptor antagonists
<i>gab</i>	<i>gab</i>	gabamimetic agents
<i>gado-</i>	<i>gado-</i>	diagnostic agents, gadolinium derivatives
- <i>gatanum</i>	- <i>gatan</i>	thrombin inhibitors, antithrombotic agents
<i>gest</i>	<i>gest</i>	steroids, progestogens
<i>gli</i>	<i>gli</i>	antihyperglycaemics
<i>io-</i>	<i>io-</i>	iodine-containing contrast media
- <i>metacinum</i>	- <i>metacin</i>	anti-inflammatory, indometacin derivatives
- <i>mycinum</i>	- <i>mycin</i>	antibiotics, produced by <i>Streptomyces</i> strains
- <i>nidazolum</i>	- <i>nidazole</i>	antiprotozoal substances, metronidazole derivatives
- <i>ololum</i>	- <i>olol</i>	$\beta$ -adrenoreceptor antagonists
- <i>oxacinum</i>	- <i>oxacin</i>	antibacterial agents, nalidixic acid derivatives
- <i>platinum</i>	- <i>platin</i>	antineoplastic agents, platinum derivatives
- <i>poetinum</i>	- <i>poetin</i>	erythropoietin type blood factors
- <i>pril(at)um</i>	- <i>pril(at)</i>	angiotensin-converting enzyme inhibitors
- <i>profenum</i>	- <i>profen</i>	anti-inflammatory substances, ibuprofen derivatives
<i>prost</i>	<i>prost</i>	prostaglandins
- <i>relinum</i>	- <i>relin</i>	pituitary hormone release-stimulating peptides
- <i>sartanum</i>	- <i>sartan</i>	angiotensin II receptor antagonists, antihypertensive (non-peptidic)
- <i>vaptanum</i>	- <i>vaptan</i>	vasopressin receptor antagonists
<i>vin-</i> / - <i>vin-</i>	<i>vin-</i> / - <i>vin-</i>	vinca-type alkaloids

## ANNEXE 1

### PROCEDURE A SUIVRE EN VUE DU CHOIX DE DENOMINATIONS COMMUNES INTERNATIONALES RECOMMANDEES POUR LES SUBSTANCES PHARMACEUTIQUES<sup>1</sup>

L'Organisation mondiale de la Santé (également désignée ci-après sous l'appellation « OMS ») observe la procédure exposée ci-dessous pour l'attribution de dénominations communes internationales recommandées pour les substances pharmaceutiques, conformément à la résolution WHA3.11 de l'Assemblée mondiale de la Santé, et pour le remplacement de telles dénominations.

*Article 1* - Les propositions de dénominations communes internationales recommandées et les propositions de remplacement de telles dénominations sont soumises à l'OMS sur la formule prévue à cet effet. L'examen de telles propositions est soumis au paiement d'une taxe administrative destinée uniquement à couvrir les coûts correspondants assumés par le Secrétariat de l'OMS (« le Secrétariat »). Le montant de cette taxe est déterminé par le Secrétariat et peut être modifié de temps à autre.

*Article 2* - Ces propositions sont soumises par le Secrétariat aux experts désignés à cette fin parmi les personnalités inscrites au Tableau d'experts de la Pharmacopée internationale et des Préparations pharmaceutiques, ci-après désignés sous l'appellation « le Groupe d'experts des DCI » ; elles sont examinées par les experts conformément aux « Directives générales pour la formation de dénominations communes internationales pour les substances pharmaceutiques » reproduites ci-après<sup>2</sup>. La dénomination acceptée est la dénomination employée par la personne qui découvre ou qui, la première, fabrique et lance sur le marché une substance pharmaceutique, à moins que des raisons majeures n'obligent à s'écarter de cette règle.

<sup>1</sup> Voir annexe 1 dans OMS, Série de Rapports techniques, N° 581, 1975. Le texte original a été adopté par le Conseil exécutif dans sa résolution EB15.R7 et amendé dans ses résolutions EB43.R9 et EB115.R4.

<sup>2</sup> Voir annexe 2.

*Article 3* - Après l'examen prévu à l'article 2, le Secrétariat notifie qu'un projet de dénomination commune internationale est à l'étude.

a) Cette notification est faite par une insertion dans *WHO Drug Information*<sup>1</sup> et par l'envoi d'une lettre aux Etats Membres et aux commissions nationales et régionales de pharmacopée ou autres organismes désignés par les Etats Membres.

i) Notification est également faite à la personne qui a soumis la proposition (« le demandeur initial ») et à d'autres personnes portant à la dénomination mise à l'étude un intérêt notoire.

b) Cette notification contient les indications suivantes :

i) dénomination mise à l'étude;

ii) nom de l'auteur de la proposition tendant à attribuer une dénomination à la substance, si cette personne le demande ;

iii) définition de la substance dont la dénomination est mise à l'étude ;

iv) délai pendant lequel seront reçues les observations et les objections à l'égard de cette dénomination ; nom et adresse de la personne habilitée à recevoir ces observations et objections ;

v) mention des pouvoirs en vertu desquels agit l'OMS et référence au présent règlement.

c) En envoyant cette notification, le Secrétariat demande aux Etats Membres de prendre les mesures nécessaires pour prévenir l'acquisition de droits de propriété sur la dénomination proposée pendant la période au cours de laquelle cette dénomination est mise à l'étude par l'OMS.

*Article 4* - Des observations sur la dénomination proposée peuvent être adressées à l'OMS par toute personne, dans les quatre mois qui suivent la date de publication de la dénomination dans *WHO Drug Information* (voir l'article 3).

*Article 5* - Toute personne intéressée peut formuler une objection formelle contre la dénomination proposée dans les quatre mois qui suivent la date de publication de la dénomination dans *WHO Drug Information* (voir l'article 3).

Cette objection doit s'accompagner des indications suivantes :

i) nom de l'auteur de l'objection ;

ii) intérêt qu'il ou elle porte à la dénomination en cause ;

iii) raisons motivant l'objection contre la dénomination proposée.

*Article 6* - Lorsqu'une objection formelle est formulée en vertu de l'article 5, l'OMS peut soit soumettre la dénomination proposée à un nouvel examen, soit intervenir pour tenter d'obtenir le retrait de l'objection. Sans préjudice de l'examen par l'OMS d'une ou de plusieurs

---

<sup>1</sup> Avant 1987, les listes de dénominations communes internationales étaient publiées dans la *Chronique de l'Organisation mondiale de la Santé*.

appellations de remplacement, l'OMS n'adopte pas d'appellation comme dénomination commune internationale recommandée tant qu'une objection formelle présentée conformément à l'article 5 n'est pas levée.

*Article 7* - Lorsqu'il n'est formulé aucune objection en vertu de l'article 5, ou que toutes les objections présentées ont été levées, le Secrétariat fait une notification conformément aux dispositions du paragraphe a) de l'article 3, en indiquant que la dénomination a été choisie par l'OMS en tant que dénomination commune internationale recommandée.

*Article 8* - En communiquant aux Etats Membres, conformément à l'article 7, une dénomination commune internationale recommandée, le Secrétariat :

- a) demande que cette dénomination soit reconnue comme dénomination commune de la substance considérée ; et
- b) demande aux Etats Membres de prendre les mesures nécessaires pour prévenir l'acquisition de droits de propriété sur cette dénomination et interdire le dépôt de cette dénomination comme marque ou appellation commerciale.

*Article 9* -

a) Dans le cas exceptionnel où une dénomination commune internationale déjà recommandée donne lieu à des erreurs de médication, de prescription ou de distribution ou en comporte un risque démontrable, en raison d'une similitude avec une autre appellation dans la pratique pharmaceutique et/ou de prescription, et où il apparaît que ces erreurs ou ces risques d'erreur ne peuvent être facilement évités par d'autres interventions que le remplacement éventuel d'une dénomination commune internationale déjà recommandée, ou dans le cas où une dénomination commune internationale déjà recommandée diffère sensiblement de la dénomination commune approuvée dans un nombre important d'Etats Membres, ou dans d'autres circonstances exceptionnelles qui justifient le remplacement d'une dénomination commune internationale recommandée, toute personne intéressée peut formuler une proposition dans ce sens. Cette proposition est présentée sur la formule prévue à cet effet et doit s'accompagner des indications suivantes :

- i) nom de l'auteur de la proposition ;
- ii) intérêt qu'il ou elle porte au remplacement proposé ;
- iii) raisons motivant la proposition ; et
- iv) description, faits à l'appui, des autres interventions entreprises pour tenter de régler le problème et exposé des raisons pour lesquelles ces interventions ont échoué.

Les propositions peuvent comprendre une proposition de nouvelle dénomination commune internationale de remplacement, établie conformément aux Directives générales, compte tenu de la substance pharmaceutique pour laquelle la nouvelle dénomination commune internationale de remplacement est proposée.

Le Secrétariat transmet une copie de la proposition pour examen, conformément à la procédure exposée plus loin au paragraphe b), au Groupe d'experts des DCI et au demandeur initial ou à son successeur (s'il s'agit d'une personne différente de celle qui a formulé la proposition de remplacement et pour autant que le demandeur initial ou son successeur soit connu ou puisse être retrouvé moyennant des efforts diligents, notamment des contacts avec les associations industrielles).

De plus, le Secrétariat demande aux entités et personnes ci-après de formuler des observations sur la proposition :

i) les Etats Membres et les commissions nationales et régionales de pharmacopée ou d'autres organismes désignés par les Etats Membres (en insérant une note à cet effet dans la lettre mentionnée à l'article 3.a), et

ii) toutes autres personnes portant au remplacement proposé un intérêt notoire.

La demande d'observations contient les indications suivantes :

i) dénomination commune internationale recommandée pour laquelle un remplacement est proposé (et la dénomination de remplacement proposée, si elle est fournie) ;

ii) nom de l'auteur de la proposition de remplacement (si cette personne le demande) ;

iii) définition de la substance faisant l'objet du remplacement proposé et raisons avancées pour le remplacement ;

iv) délai pendant lequel seront reçus les commentaires et nom et adresse de la personne habilitée à recevoir ces commentaires ; et

v) mention des pouvoirs en vertu desquels agit l'OMS et référence au présent règlement.

Des observations sur la proposition de remplacement peuvent être communiquées par toute personne à l'OMS dans les quatre mois qui suivent la date de la demande d'observations.

b) Une fois échu le délai prévu ci-dessus pour la communication d'observations, le Secrétariat transmet les observations reçues au Groupe d'experts des DCI, au demandeur initial ou à son successeur et à l'auteur de la proposition de remplacement. Si, après avoir examiné la proposition de remplacement et les observations reçues, le Groupe d'experts des DCI, l'auteur de la proposition de remplacement et le demandeur initial ou son successeur reconnaissent tous qu'il est nécessaire de remplacer la dénomination commune internationale déjà recommandée, le Secrétariat soumet la proposition de remplacement au Groupe d'experts des DCI pour qu'il y donne suite.

Nonobstant ce qui précède, le demandeur initial ou son successeur n'est pas habilité à refuser son accord à une proposition de remplacement au cas où il ne peut être démontré qu'il porte un intérêt durable à la dénomination commune internationale recommandée qu'il est proposé de remplacer.

Dans le cas où une proposition de remplacement est soumise au Groupe d'experts des DCI pour qu'il y donne suite, le Groupe choisit une nouvelle dénomination commune internationale conformément aux Directives générales mentionnées à l'article 2 et selon la procédure décrite dans les articles 3 à 8 inclus. La notification faite par le Secrétariat en vertu de l'article 3 et de l'article 7, respectivement, y compris au demandeur initial ou à son successeur (si ce n'est pas la même personne que celle qui a proposé le remplacement et pour autant que le demandeur initial ou son successeur soit connu ou puisse être retrouvé moyennant des efforts diligents, notamment des contacts avec les associations industrielles), doit dans un tel cas indiquer que la nouvelle dénomination remplace une dénomination commune internationale déjà recommandée et que les Etats Membres peuvent souhaiter prendre des mesures transitoires pour les produits existants qui utilisent la dénomination commune internationale déjà recommandée sur leur étiquette conformément à la législation nationale.

Si, après examen de la proposition de remplacement et des observations communiquées conformément à la procédure exposée plus haut, le Groupe d'experts des DCI, le demandeur initial ou son successeur et l'auteur de la proposition de remplacement ne s'accordent pas sur le fait qu'il y a des raisons impératives de remplacer une dénomination commune internationale déjà recommandée, cette dernière est conservée (étant entendu toujours que le demandeur initial ou son successeur n'est pas habilité à refuser son accord à une proposition de remplacement au cas où il ne peut être démontré qu'il porte un intérêt durable à la dénomination commune internationale recommandée qu'il est proposé de remplacer). Dans un tel cas, le Secrétariat informe l'auteur de la proposition de remplacement, ainsi que le demandeur initial ou son successeur (s'il s'agit d'une personne différente de celle qui a formulé la proposition de remplacement et pour autant que le demandeur initial ou son successeur soit connu ou puisse être retrouvé moyennant des efforts diligents, notamment des contacts avec les associations industrielles), les Etats Membres, les commissions nationales et régionales de pharmacopée, les autres organismes désignés par les Etats Membres et toutes autres personnes portant un intérêt notoire au remplacement proposé que, malgré une proposition de remplacement, il a été décidé de conserver la dénomination commune internationale déjà recommandée (avec une brève description de la ou des raisons pour lesquelles la proposition de remplacement n'a pas été jugée suffisamment impérative).

## ANNEXE 2

### DIRECTIVES GENERALES POUR LA FORMATION DE DENOMINATIONS COMMUNES INTERNATIONALES APPLICABLES AUX SUBSTANCES PHARMACEUTIQUES<sup>1</sup>

1. Les dénominations communes internationales (DCI) devront se distinguer les unes des autres par leur consonance et leur orthographe. Elles ne devront pas être d'une longueur excessive, ni prêter à confusion avec des appellations déjà couramment employées.

2. La DCI de chaque substance devra, si possible, indiquer sa parenté pharmacologique. Les dénominations susceptibles d'évoquer pour les malades des considérations anatomiques, physiologiques, pathologiques ou thérapeutiques devront être évitées dans la mesure du possible.

*Outre ces deux principes fondamentaux, on respectera les principes secondaires suivants :*

3. Lorsqu'on formera la DCI de la première substance d'un nouveau groupe pharmacologique, on tiendra compte de la possibilité de former ultérieurement d'autres DCI appropriées pour les substances apparentées du même groupe.

4. Pour former des DCI des acides, on utilisera de préférence un seul mot. Leurs sels devront être désignés par un terme qui ne modifie pas le nom de l'acide d'origine : par exemple «oxacilline» et «oxacilline sodique», «ibufénac» et «ibufénac sodique».

5. Les DCI pour les substances utilisées sous forme de sels devront en général s'appliquer à la base active (ou à l'acide actif). Les dénominations pour différents sels ou esters d'une même substance active ne différeront que par le nom de l'acide inactif (ou de la base inactif).

---

<sup>1</sup> Dans son vingtième rapport (OMS, Série de Rapports techniques, N° 581, 1975), le Comité OMS d'experts des Dénominations communes pour les Substances pharmaceutiques a examiné les directives générales pour la formation des dénominations communes internationales et la procédure à suivre en vue de leur choix, compte tenu de l'évolution du secteur pharmaceutique au cours des dernières années. La modification la plus importante a été l'extension aux substances de synthèse de la pratique normalement suivie pour désigner les substances tirées ou dérivées de produits naturels. Cette pratique consiste à employer des syllabes communes ou groupes de syllabes communes (segments-clés) qui sont caractéristiques et indiquent une propriété commune aux membres du groupe des substances pour lequel ces segments-clés ont été retenus. Les raisons et les conséquences de cette modification ont fait l'objet de discussions approfondies. Les directives ont été mises à jour lors de la treizième consultation sur les dénominations communes pour les substances pharmaceutiques (Genève, 27-29 avril 1983) (PHARM S/NOM 928, 13 mai 1983, révision en date du 18 août 1983).

En ce qui concerne les substances à base d'ammonium quaternaire, la dénomination s'appliquera de façon appropriée au cation et à l'anion en tant qu'éléments distincts d'une substance quaternaire. On évitera de choisir une désignation évoquant un sel aminé.

6. On évitera d'ajouter une lettre ou un chiffre isolé ; en outre, on renoncera de préférence au trait d'union.

7. Pour simplifier la traduction et la prononciation des DCI, la lettre « f » sera utilisée à la place de « ph », « t » à la place de « th », « e » à la place de « ae » ou « oe », et « i » à la place de « y » ; l'usage des lettres « h » et « k » sera aussi évité.

8. On retiendra de préférence, pour autant qu'elles respectent les principes énoncés ici, les dénominations proposées par les personnes qui ont découvert ou qui, les premières, ont fabriqué et lancé sur le marché les préparations pharmaceutiques considérées, ou les dénominations déjà officiellement adoptées par un pays.

9. La parenté entre substances d'un même groupe (voir Directive générale 2) sera si possible indiquée dans les DCI par l'emploi de segments-clés communs. La liste ci-après contient des exemples de segments-clés pour des groupes de substances, surtout pour des groupes récents. Il y a beaucoup d'autres segments-clés en utilisation active.<sup>1</sup> Les segments-clés indiqués sans trait d'union pourront être insérés n'importe où dans une dénomination.

Latin	Français	
<i>-acum</i>	<i>-ac</i>	substances anti-inflammatoires du groupe de l'ibufénac analgésiques
<i>-adolum</i>	<i>-adol</i> }	
<i>-adol-</i>	<i>-adol-</i> }	
<i>-astum</i>	<i>-ast</i>	antiasthmatiques, antiallergiques n'agissant pas principalement en tant qu'antihistaminiques
<i>-astinum</i>	<i>-astine</i>	antihistaminiques
<i>-azepamum</i>	<i>-azépam</i>	substances du groupe du diazépam
<i>bol</i>	<i>bol</i>	stéroïdes anabolisants
<i>-cain-</i>	<i>-caïn-</i>	antiarythmiques de classe I, dérivés du procainamide et de la lidocaïne
<i>-cainum</i>	<i>-caïne</i>	anesthésiques locaux
<i>cef-</i>	<i>céf-</i>	antibiotiques, dérivés de l'acide céphalosporanique
<i>-cillinum</i>	<i>-cilline</i>	antibiotiques, dérivés de l'acide 6-aminopénicillanique
<i>-conazolom</i>	<i>-conazole</i>	agents antifongiques systémiques du groupe du miconazole
<i>cort</i>	<i>cort</i>	corticostéroïdes, autres que les dérivés de la prednisolone
<i>-coxibum</i>	<i>-coxib</i>	inhibiteurs sélectifs de la cyclo-oxygénase
<i>-entanum</i>	<i>-entan</i>	antagonistes du récepteur de l'endothéline
<i>gab</i>	<i>gab</i>	gabamimétiques
<i>gado-</i>	<i>gado-</i>	agents diagnostiques, dérivés du gadolinium
<i>-gatrnum</i>	<i>-gatrnum</i>	antithrombines, antithrombotiques
<i>gest</i>	<i>gest</i>	stéroïdes progestogènes
<i>gli</i>	<i>gli</i>	antihyperglycémiant
<i>io-</i>	<i>io-</i>	produits de contraste iodés
<i>-metacinum</i>	<i>-métacine</i>	substances anti-inflammatoires du groupe de l'indométacine
<i>-mycinum</i>	<i>-mycine</i>	antibiotiques produits par des souches de <i>Streptomyces</i>

<sup>1</sup> Une liste plus complète de segments-clés est contenue dans le document de travail WHO/EMP/RHT/TSN/2018.1 qui est régulièrement mis à jour et qui peut être demandé auprès du programme des DCI, OMS, Genève.

<i>-nidazolium</i>	<i>-nidazole</i>	substances antiprotozoaires du groupe du métronidazole
<i>-ololum</i>	<i>-olol</i>	antagonistes des récepteurs $\beta$ -adrénergiques
<i>-oxacinum</i>	<i>-oxacine</i>	substances antibactériennes du groupe de l'acide nalidixique
<i>-platinum</i>	<i>-platine</i>	antinéoplasiques, dérivés du platine
<i>-poetinum</i>	<i>-poétine</i>	facteurs sanguins de type érythropoïétine
<i>-pril(at)um</i>	<i>-pril(ate)</i>	inhibiteurs de l'enzyme de conversion de l'angiotensine
<i>-profenum</i>	<i>-profène</i>	substances anti-inflammatoires du groupe de l'ibuprofène
<i>prost</i>	<i>prost</i>	prostaglandines
<i>-relinum</i>	<i>-réline</i>	peptides stimulant la libération d'hormones hypophysaires
<i>-sartanum</i>	<i>-sartan</i>	antagonistes d'un récepteur de l'angiotensine II, antihypertenseurs (non peptidiques)
<i>-vaptanum</i>	<i>-vaptan</i>	antagonistes du récepteur de la vasopressine
<i>vin-</i>	<i>vin-</i> }	alcaloïdes du type vinca
<i>-vin-</i>	<i>-vin-</i> }	

## ANEXO 1

## PROCEDIMIENTO DE SELECCIÓN DE DENOMINACIONES COMUNES INTERNACIONALES RECOMENDADAS PARA SUSTANCIAS FARMACÉUTICAS<sup>1</sup>

La Organización Mundial de la Salud (OMS) seguirá el procedimiento que se expone a continuación tanto para seleccionar denominaciones comunes internacionales recomendadas para las sustancias farmacéuticas, de conformidad con lo dispuesto en la resolución WHA3.11, como para sustituir esas denominaciones.

*Artículo 1* - Las propuestas de denominaciones comunes internacionales recomendadas y las propuestas de sustitución de esas denominaciones se presentarán a la OMS en los formularios que se proporcionen a estos efectos. El estudio de estas propuestas estará sujeto al pago de una tasa destinada a sufragar los costos de administración que ello suponga para la Secretaría de la OMS («la Secretaría»). La Secretaría establecerá la cuantía de esa tasa y podrá ajustarla periódicamente.

*Artículo 2* - Estas propuestas serán sometidas por la Secretaría a los miembros del Cuadro de Expertos en Farmacopea Internacional y Preparaciones Farmacéuticas encargados de su estudio, en adelante designados como «el Grupo de Expertos en DCI», para que las examinen de conformidad con los «Principios generales de orientación para formar denominaciones comunes internacionales para sustancias farmacéuticas», anexos a este procedimiento.<sup>2</sup> A menos que haya poderosas razones en contra, la denominación aceptada será la empleada por la persona que haya descubierto o fabricado y comercializado por primera vez esa sustancia farmacéutica.

*Artículo 3* - Tras el examen al que se refiere el artículo 2, la Secretaría notificará que está en estudio un proyecto de denominación internacional.

a) Esa notificación se hará mediante una publicación en *Información Farmacéutica OMS*<sup>3</sup> y el envío de una carta a los Estados Miembros y a las comisiones nacionales y regionales de las farmacopeas u otros organismos designados por los Estados Miembros.

<sup>1</sup> Véase el anexo 1 en OMS, Serie de Informes Técnicos, N° 581, 1975. El texto vigente fue adoptado por el Consejo Ejecutivo en su resolución EB15.R7 y modificado en las resoluciones EB43.R9 y EB115.R4.

<sup>2</sup> Véase el anexo 2.

<sup>3</sup> Hasta 1987 las listas de DCI se publicaban en la *Crónica de la Organización Mundial de la Salud*.

i) La notificación será enviada también a la persona que haya presentado la propuesta («el solicitante inicial») y a otras personas que tengan un interés especial en una denominación objeto de estudio.

b) En esa notificación se incluirán los siguientes datos:

i) la denominación sometida a estudio;

ii) la identidad de la persona que ha presentado la propuesta de denominación de la sustancia, si lo pide esa persona;

iii) la identidad de la sustancia cuya denominación está en estudio;

iv) el plazo fijado para recibir observaciones y objeciones, así como el nombre y la dirección de la persona a quien deban dirigirse; y

v) los poderes conferidos para el caso a la OMS y una referencia al presente procedimiento.

c) Al enviar esa notificación, la Secretaría solicitará de los Estados Miembros la adopción de todas las medidas necesarias para impedir la adquisición de derechos de patente sobre la denominación propuesta, durante el periodo en que la OMS la tenga en estudio.

*Artículo 4* - Toda persona puede formular a la OMS observaciones sobre la denominación propuesta dentro de los cuatro meses siguientes a su publicación en *Información Farmacéutica OMS*, conforme a lo dispuesto en el artículo 3.

*Artículo 5* - Toda persona interesada puede presentar una objeción formal a una denominación propuesta dentro de los cuatro meses siguientes a su publicación en *Información Farmacéutica OMS*, conforme a lo dispuesto en el artículo 3.

Esa objeción deberá acompañarse de los siguientes datos:

i) la identidad de la persona que formula la objeción;

ii) las causas que motivan su interés por la denominación; y

iii) las causas que motivan su objeción a la denominación propuesta.

*Artículo 6* - Cuando se haya presentado una objeción formal en la forma prevista en el artículo 5, la OMS podrá reconsiderar el nombre propuesto o utilizar sus buenos oficios para intentar lograr que se retire la objeción. La OMS no seleccionará como denominación común internacional una denominación a la que se haya hecho una objeción formal, presentada según lo previsto en el artículo 5, que no haya sido retirada, todo ello sin perjuicio de que la Organización examine otra denominación o denominaciones sustitutivas.

*Artículo 7* - Cuando no se haya formulado ninguna objeción en la forma prevista en el artículo 5, o cuando todas las objeciones presentadas hayan sido retiradas, la Secretaría notificará, conforme a lo dispuesto en el párrafo a) del artículo 3, que la denominación ha sido seleccionada por la OMS como denominación común internacional recomendada.

*Artículo 8* - Al comunicar a los Estados Miembros una denominación común internacional, conforme a lo previsto en el artículo 7, la Secretaría:

a) solicitará que esta denominación sea reconocida como denominación común para la sustancia de que se trate; y

b) solicitará a los Estados Miembros que adopten todas las medidas necesarias para impedir la adquisición de derechos de patente sobre la denominación, y prohíban que sea registrada como marca de fábrica o como nombre comercial.

#### Artículo 9

a) En el caso excepcional de que, debido a su semejanza con otra denominación utilizada en las prácticas farmacéuticas y/o de prescripción, una denominación común internacional recomendada anteriormente ocasione errores de medicación, prescripción o distribución, o suponga un riesgo manifiesto de que esto ocurra, y parezca que tales errores o potenciales errores no sean fácilmente subsanables con otras medidas que no sean la posible sustitución de esa denominación común internacional recomendada anteriormente; en el caso de que una denominación común internacional recomendada anteriormente difiera considerablemente de la denominación común aprobada en un número importante de Estados Miembros, o en otras circunstancias excepcionales que justifiquen el cambio de una denominación común internacional recomendada, cualquier persona interesada puede presentar propuestas en este sentido. Esas propuestas se presentarán en los formularios que se proporcionen a estos efectos e incluirán los siguientes datos:

- i) la identidad de la persona que presenta la propuesta;
- ii) las causas que motivan su interés en la sustitución propuesta;
- iii) las causas que motivan la propuesta; y
- iv) una descripción, acompañada de pruebas documentales, de las otras medidas que se hayan adoptado con el fin de resolver la situación y de los motivos por los cuales dichas medidas no han sido suficientes.

Entre esas propuestas podrá figurar una relativa a una nueva denominación común internacional sustitutiva, formulada con arreglo a los Principios generales y que tenga en cuenta la sustancia farmacéutica para la que se proponga la nueva denominación común internacional sustitutiva.

La Secretaría enviará al Grupo de Expertos en DCI y al solicitante inicial o a su sucesor (en el caso de que sea una persona diferente de la que ha presentado la propuesta de sustitución y siempre que el solicitante inicial o su sucesor sean conocidos o puedan ser encontrados mediante esfuerzos diligentes, como el contacto con las asociaciones industriales) una copia de la propuesta, para que sea examinada de conformidad con el procedimiento descrito en el párrafo b) *infra*.

Además, la Secretaría solicitará observaciones sobre la propuesta:

- 1) a los Estados Miembros y a las comisiones nacionales y regionales de las farmacopeas u otros organismos designados por los Estados Miembros (ello se hará incluyendo una notificación a tal efecto en la carta a la que se refiere el párrafo a) del artículo 3), y
- 2) a cualquier persona que tenga un interés especial en la sustitución propuesta.

Al solicitar que se formulen estas observaciones se facilitarán los siguientes datos:

- 1) la denominación común internacional recomendada que se propone sustituir (y la denominación sustitutiva propuesta, si se ha facilitado);

- ii)* la identidad de la persona que ha presentado la propuesta de sustitución (si lo pide esa persona);
- iii)* la identidad de la sustancia a la que se refiere la sustitución propuesta y las razones para presentar la propuesta de sustitución;
- iv)* el plazo fijado para recibir observaciones, así como el nombre y la dirección de la persona a quien deban dirigirse; y
- v)* los poderes conferidos para el caso a la OMS y una referencia al presente procedimiento.

Toda persona puede formular a la OMS observaciones sobre la sustitución propuesta dentro de los cuatro meses siguientes a la fecha en que se realizó la solicitud de observaciones.

*b)* Una vez agotado el mencionado plazo para la formulación de observaciones, la Secretaría enviará todos los comentarios recibidos al Grupo de Expertos en DCI, al solicitante inicial o a su sucesor, y a la persona que haya presentado la propuesta de sustitución. Si después de examinar la propuesta de sustitución y las observaciones recibidas, el Grupo de Expertos en DCI, la persona que haya presentado la propuesta de sustitución y el solicitante inicial, o su sucesor, están de acuerdo en la necesidad de sustituir la denominación común internacional recomendada anteriormente, la Secretaría remitirá la propuesta de sustitución al Grupo de Expertos en DCI para que la tramite.

No obstante lo anterior, el solicitante inicial o su sucesor no tendrán derecho a impedir el acuerdo sobre una propuesta de sustitución en el caso de que hayan dejado de tener un interés demostrable en la denominación común internacional cuya sustitución se propone.

En caso de que la propuesta de sustitución sea presentada al Grupo de Expertos en DCI para que la tramite, este grupo seleccionará una nueva denominación común internacional de conformidad con los Principios generales a los que se refiere el artículo 2 y al procedimiento establecido en los artículos 3 a 8 inclusive. En ese caso, en las notificaciones que la Secretaría ha de enviar con arreglo a los artículos 3 y 7, respectivamente, incluida la notificación al solicitante inicial o a su sucesor (en el caso de que no sea la misma persona que propuso la sustitución y siempre que el solicitante inicial o su sucesor sean conocidos o puedan ser encontrados mediante esfuerzos diligentes, como el contacto con las asociaciones industriales), se indicará que la nueva denominación sustituye a una denominación común internacional recomendada anteriormente y que los Estados Miembros podrán, si lo estiman oportuno, adoptar disposiciones transitorias aplicables a los productos existentes en cuya etiqueta se utilice, con arreglo a la legislación nacional, la denominación común internacional recomendada anteriormente que se haya sustituido.

En caso de que, después de haber estudiado la propuesta de sustitución y los comentarios recibidos de conformidad con el procedimiento descrito anteriormente, el Grupo de Expertos en DCI, el solicitante inicial o su sucesor y la persona que haya presentado la propuesta de sustitución no lleguen a un acuerdo sobre la existencia de razones poderosas para sustituir una denominación común internacional recomendada anteriormente, esta denominación se mantendrá (siempre en el entendimiento de que el solicitante inicial o su sucesor no tendrán derecho a impedir el acuerdo sobre una propuesta de sustitución en el caso de que hayan dejado de tener un interés demostrable en la denominación común internacional cuya sustitución se propone). En ese caso, la Secretaría comunicará a la persona que haya propuesto la sustitución, así como al solicitante inicial o a su sucesor (en el caso de que no sea la misma persona que propuso la sustitución y siempre que el solicitante inicial o su sucesor sean conocidos o puedan ser encontrados mediante esfuerzos diligentes, como el contacto con las asociaciones industriales), a los Estados Miembros, a las comisiones

nacionales y regionales de las farmacopeas o a otros organismos designados por los Estados Miembros y a cualquier otra persona que tenga interés en la sustitución propuesta, que, pese a la presentación de una propuesta de sustitución, se ha decidido mantener la denominación común internacional recomendada anteriormente (con una descripción de la o las razones por las que se ha considerado que la propuesta de sustitución no estaba respaldada por razones suficientemente poderosas).

## ANEXO 2

### PRINCIPIOS GENERALES DE ORIENTACIÓN PARA FORMAR DENOMINACIONES COMUNES INTERNACIONALES PARA SUSTANCIAS FARMACÉUTICAS<sup>1</sup>

1. Las denominaciones comunes internacionales (DCI) deberán diferenciarse tanto fonética como ortográficamente. No deberán ser incómodamente largas, ni dar lugar a confusión con denominaciones de uso común.

2. La DCI de una sustancia que pertenezca a un grupo de sustancias farmacológicamente emparentadas deberá mostrar apropiadamente este parentesco. Deberán evitarse las denominaciones que puedan tener connotaciones anatómicas, fisiológicas, patológicas o terapéuticas para el paciente.

*Estos principios primarios se pondrán en práctica utilizando los siguientes principios secundarios:*

3. Al idear la DCI de la primera sustancia de un nuevo grupo farmacológico, deberá tenerse en cuenta la posibilidad de poder formar DCI convenientes para las sustancias emparentadas que se agreguen al nuevo grupo.

4. Al idear DCI para ácidos, se preferirán las de una sola palabra; sus sales deberán denominarse sin modificar el nombre del ácido: p. ej. «oxacilina» y «oxacilina sódica», «ibufenaco» y «ibufenaco sódico».

5. Las DCI para las sustancias que se usan en forma de sal deberán en general aplicarse a la base activa o al ácido activo. Las denominaciones para diferentes sales o ésteres de la misma sustancia activa solamente deberán diferir en el nombre del ácido o de la base inactivos. En los compuestos de amonio cuaternario, el catión y el anión deberán denominarse adecuadamente por separado, como componentes independientes de una sustancia cuaternaria y no como sales de una amina.

6. Deberá evitarse el empleo de letras o números aislados; también es indeseable el empleo de guiones.

7. Para facilitar la traducción y la pronunciación, se emplearán de preferencia las letras «f» en lugar de «ph», «t» en lugar de «th», «e» en lugar de «ae» u «oe», e «i» en lugar de «y»; se deberá evitar el empleo de las letras «h» y «k».

8. Siempre que las denominaciones propuestas estén de acuerdo con estos principios, recibirán una consideración preferente las denominaciones propuestas por la persona que haya descubierto las sustancias, o que fabrique y comercialice por primera vez una sustancia farmacéutica, así como las denominaciones ya adoptadas oficialmente en cualquier país.

<sup>1</sup> En su 20º informe (OMS, Serie de Informes Técnicos, N° 581, 1975), el Comité de Expertos de la OMS en Denominaciones Comunes para las Sustancias Farmacéuticas revisó los Principios generales para formar denominaciones comunes internacionales (DCI), y su procedimiento de selección, a la luz de las novedades registradas en los últimos años en materia de compuestos farmacéuticos. El cambio más importante había consistido en hacer extensivo a la denominación de sustancias químicas sintéticas el método utilizado hasta entonces para las sustancias originadas en productos naturales o derivadas de éstos. Dicho método conlleva la utilización de una «partícula» característica que indica una propiedad común a los miembros de un grupo. En el citado informe se examinan en detalle las razones y consecuencias de este cambio.

Los Principios generales de orientación se actualizaron durante la 13ª consulta sobre denominaciones comunes para sustancias farmacéuticas (Ginebra, 27 a 29 de abril de 1983) (PHARM S/NOM 928, 13 de mayo de 1983, revisado el 18 de agosto de 1983).

9. El parentesco entre sustancias del mismo grupo se pondrá de manifiesto en las DCI (véase el Principio 2) utilizando una partícula común. En la lista que figura a continuación se indican ejemplos de partículas para grupos de sustancias, en particular para grupos nuevos. Existen muchas otras partículas que se usan habitualmente.<sup>1</sup> Cuando una partícula aparece sin guión al final, puede utilizarse en cualquier lugar de la palabra.

Latin	Español	
- <i>acum</i>	- <i>aco</i>	antiinflamatorios derivados del ibufenaco
- <i>adolum</i>	- <i>adol</i> )	analgésicos
- <i>adol-</i>	- <i>adol-</i> )	
- <i>astum</i>	- <i>ast</i>	antiasmáticos, sustancias antialérgicas cuya acción principal no es la antihistamínica
- <i>astinum</i>	- <i>astina</i>	antihistamínicos
- <i>azepamum</i>	- <i>azepam</i>	derivados del diazepam
<i>bol</i>	<i>bol</i>	esteroides anabolizantes
- <i>cain-</i>	- <i>caina-</i>	antiarrítmicos de clase I, derivados de procainamida y lidocaína
- <i>cainum</i>	- <i>caina-</i>	anestésicos locales
- <i>cef-</i>	- <i>cef-</i>	antibióticos, derivados del ácido cefalosporánico
- <i>cillinum</i>	- <i>cilina</i>	antibióticos derivados del ácido 6-aminopenicilánico
- <i>conazolom</i>	- <i>conazol</i>	antifúngicos sistémicos derivados del miconazol
<i>cort</i>	<i>cort</i>	corticosteroides, excepto derivados de prednisolona
- <i>coxibum</i>	- <i>coxib</i>	inhibidores selectivos de ciclooxigenasa
- <i>entanum</i>	- <i>entán</i>	antagonistas del receptor de endotelina
<i>gab</i>	<i>gab</i>	gabamiméticos
<i>gado-</i>	<i>gado-</i>	agentes para diagnóstico derivados de gadolinio
- <i>gartranum</i>	- <i>gatrán</i>	inhibidores de la trombina antitrombóticos
<i>gest</i>	<i>gest</i>	esteroides progestágenos
<i>gli</i>	<i>gli</i>	hipoglucemiantes, antihiper glucémicos
<i>io-</i>	<i>io-</i>	medios de contraste iodados
- <i>metacinum</i>	- <i>metacina</i>	antiinflamatorios derivados de indometacina
- <i>mycinum</i>	- <i>micina</i>	antibióticos producidos por cepas de <i>Streptomyces</i>
- <i>nidazolom</i>	- <i>nidazol</i>	antiprotozoarios derivados de metronidazol
- <i>ololum</i>	- <i>olol</i>	antagonistas de receptores $\beta$ -adrenérgicos
- <i>oxacinum</i>	- <i>oxacino</i>	antibacterianos derivados del ácido nalidíxico
- <i>platinum</i>	- <i>platino</i>	antineoplásicos derivados del platino
- <i>poetinum</i>	- <i>poetina</i>	factores sanguíneos similares a la eritropoyetina
- <i>pril(at)um</i>	- <i>pril(at)</i>	inhibidores de la enzima convertora de la angiotensina
- <i>profenum</i>	- <i>profeno</i>	antiinflamatorios derivados del ibuprofeno
<i>prost</i>	<i>prost</i>	prostaglandinas
- <i>relinum</i>	- <i>relina</i>	péptidos estimulantes de la liberación de hormonas hipofisarias
- <i>sartanum</i>	- <i>sartán</i>	antihipertensivos (no peptídicos) antagonistas del receptor de angiotensina II
- <i>vaptanum</i>	- <i>vaptán</i>	antagonistas del receptor de vasopresina
<i>vin-</i>	<i>vin-</i> )	alcaloides de la vinca
- <i>vin-</i>	- <i>vin-</i> )	

<sup>1</sup> En el documento de trabajo WHO/EMP/RHT/TSN/2018.1, que se actualiza periódicamente y puede solicitarse al Programa sobre Denominaciones Comunes Internacionales, OMS, Ginebra, figura una lista más amplia de partículas.